

**YILDIZ TEKNİK ÜNİVERSİTESİ
FEN BİLİMLERİ ENSTİTÜSÜ**

85069

**BİTÜMLÜ KARIŞIM DEĞİŞKENLERİNİN
PERFORMANS
ÜZERİNDEKİ ETKİLERİNİN ARAŞTIRILMASI
ve
HİZMET ÖMRÜ TAHMİNİ
İÇİN BİR MODEL KURULMASI**

İnş. Y. Müh. Halit ÖZEN

F.B.E. İnşaat Mühendisliği Anabilim Dalı Ulaştırma Programında
Hazırlanan

DOKTORA TEZİ

**TC. YÜKSEKOĞRETİM KURULU
DOKÜmantasyon MERKEZİ**

Tez Savunma Tarihi : 03/12/1999
Tez Danışmanı : Doç. Dr. Mustafa İLICALI (YTÜ)
Jüri Üyeleri : Prof. Dr. Emine AĞAR (İTÜ)
Doç. Dr. Güven ÖZTAŞ (İTÜ)

85069
H. Öz
E. Ağar
G. Öztaş

İSTANBUL, 1999

İÇİNDEKİLER

| | Sayfa |
|---|-------|
| SİMGELİSTESİ..... | v |
| ŞEKİL LİSTESİ..... | vii |
| ÇİZELGE LİSTESİ..... | xi |
| ÖNSÖZ | xv |
| ÖZET | xvi |
| ABSTRACT | xvii |
| 1. BAĞLAYICI TİP VE KARIŞIM DEĞİŞKENLERİ..... | 1 |
| 1.1 Bitüm | 1 |
| 1.2 Katkı Maddeleri | 5 |
| 1.3 Karışım Değişkenleri | 7 |
| 2. YORULMA KAVRAMININ TANIMI | 9 |
| 2.1 Bir Mukavemet Problemi Olarak Yorulma | 9 |
| 2.2 Asfalt Karışıntılarında Yorulma | 11 |
| 3. BİTÜMLÜ KARIŞIMLARIN YORULMA DİRENİMİ DENEY YÖNTEMLERİ ve DENEY DEĞİŞKENLERİNİN YORULMA DİRENİMİ ÜZERİNE ETKİLERİ..... | 13 |
| 3.1 Yükleme Modu | 13 |
| 3.2 Yük ve Çevre Değişkenleri | 15 |
| 3.3 Deney Yöntemleri ve Gelişimi | 18 |
| 3.3.1 Basit Eğilme Deneyi | 24 |
| 3.3.1.1 Orta ve Üç Nokta Yüklemesi Deneyi | 24 |
| 3.3.1.2 Konsol Yükleme Deneyi | 26 |
| 3.3.2 Mesnetli Eğilme | 30 |
| 3.3.3 Doğrudan Eksenel Yükleme Deneyi | 30 |
| 3.3.3.1 Çekme | 30 |
| 3.3.3.2 Çekme/Basınç | 32 |
| 3.3.4 Dairesel Deney | 32 |
| 3.3.5 Üç Eksenli Deney | 35 |
| 3.3.6 Dinamik Sünme Deneyi | 39 |
| 3.3.7 Tekerlek İzi Oluşumu Deneyleri | 40 |
| 3.3.7.1 Laboratuar Tekerlek İzi Deneyi | 40 |
| 3.3.7.2 Gerçek Boyutlu Deneyler | 41 |
| 3.3.8 Deney Yöntemlerinin Değerlendirilmesi | 44 |

| | | |
|-----------|--|------------|
| 4. | NUMUNE HAZIRLAMA YÖNTEMİ VE KARIŞIM DEĞİŞKENLERİNİN YORULMA DİRENİMİ ÜZERİNE ETKİSİNİN DEĞERLENDİRİLMESİNE YÖNELİK LİTERATÜR ARAŞTIRMASI..... | 48 |
| 4.1 | Numune Hazırlama ve Sıkıştırma Yönteminin Yorulma Direnimine Etkisi | 48 |
| 4.1.1 | Statik Sıkıştırma | 49 |
| 4.1.2 | Darbeli Sıkıştırma | 50 |
| 4.1.3 | Yoğurmali Sıkıştırma | 50 |
| 4.1.4 | Dönel Sıkıştırma..... | 52 |
| 4.1.5 | Tekerlek Altında Sıkıştırma | 53 |
| 4.1.6 | Numune Hazırlama Metotlarının Değerlendirilmesi | 53 |
| 4.2 | Karışım Değişkenlerinin Yorulma Direnimi Üzerine Etkisi | 55 |
| 5. | BİTÜMLÜ KARIŞIMLARIN PERFORMANSLARININ DEĞERLENDİRİLMESİ | 61 |
| 5.1 | Yorulma Dayanımı Modelleri | 62 |
| 5.2 | Tekerlek İzi Oluşumu Modelleri | 65 |
| 5.3 | Karışım Performansının Değerlendirilmesinde Uygulanan Bazı Deneyler | 67 |
| 5.3.1 | Bitümlü Karışımların Dolaylı Çekme Mukavemeti..... | 67 |
| 5.3.2 | Bitümlü Karışımların Elastisite Modülü için Dolaylı Çekme Deneyi | 70 |
| 5.3.3 | Bitümlü Karışımların Sünme Modülü Deneyi | 74 |
| 6. | ÇALIŞMADA KULLANILAN MALZEMELER VE UYGULANAN DENEYLER | 79 |
| 6.1 | Giriş | 79 |
| 6.2 | Çalışmada Kullanılan Malzemeler | 79 |
| 6.2.1 | Agrega | 79 |
| 6.2.2 | Bağlayıcı | 81 |
| 6.2.3 | Katkı Malzemesi | 81 |
| 6.3 | Uygulanan Deneyler ve Sonuçları | 83 |
| 6.3.1 | Giriş | 83 |
| 6.3.2 | Marshall Stabilite Deneyi | 84 |
| 6.3.3 | Dolaylı Çekme Mukavemeti Deneyi | 91 |
| 6.3.4 | Dolaylı Çekme Deneyi | 94 |
| 6.3.4.1 | Karışım Değişkenlerinin Elastisite Modülü Üzerine Etkisi | 96 |
| 6.3.4.2 | Yükleme Periyodu ve Hızının Elastisite Modülü Üzerine Etkisi | 107 |
| 6.3.5 | Statik Sünme Deneyi | 110 |
| 6.3.6 | Tekrarlı Sünme Deneyi | 115 |
| 6.4 | Deney Sonuçlarının Değerlendirilmesi..... | 118 |
| 6.4.1 | Karışım Elastisite Modüllerine Ait Değerlendirme..... | 118 |
| 6.4.2 | Tekerlek İzi Oluşumu Potansiyeline Ait Değerlendirme..... | 118 |
| 7. | TEKERLEK İZİ OLUŞUMU MODELİNİN KURULMASI VE KARIŞIM PERFORMANSLARINI DEĞERLENDİRME YÖNTEMİ..... | 123 |
| 7.1 | Tekerlek izi Oluşumu Modelinin Kurulması..... | 123 |

| | | |
|-------|--|-----|
| 7.2 | Seçilen Yorulma Modellerinden Ülkemiz Koşullarına Uyan Modelin Tespiti. | 128 |
| 7.3 | Karışım Performanslarının Değerlendirme Yöntemi..... | 129 |
| 7.3.1 | Karışım Stabilitelerine Ait Değerlendirme..... | 129 |
| 7.3.2 | Karışımın Esneklik ve Yorulma Dayanımı Bakımından Değerlendirilmesi..... | 130 |
| 7.3.3 | Karışımın Tekerlek İzi Derinliğine Ait Değerlendirme..... | 133 |
| 7.4 | Genel Değerlendirme..... | 136 |
| 8. | SONUÇ VE ÖNERİLER..... | 138 |
| | KAYNAKLAR | 141 |
| | EKLER | 144 |
| | ÖZGEÇMİŞ | 181 |

SİMGE LİSTESİ

| | |
|------------------|---|
| σ | : Gerilme |
| σ_r | : Çekme Gerilmesi |
| σ_z | : Basınç Gerilmesi |
| MD | : Mod faktörü |
| 2a | : Dairesel yayılı yük çapı |
| P | : Uygulanan yük |
| h | : Yükseklik |
| 2 α | : yük çubuğuun genişliği ile orijinin birleştiği nokta arasındaki açı |
| a | : Yük çubuğuun genişliği |
| N _f | : Yorulma ömrü |
| ϵ | : Deformasyon |
| S _{mix} | : Karışımın Esneklik Modülü |
| T _{RB} | : Yumuşamam Noktası |
| V | : Hacimce Boşluk (%) |
| V _b | : Hacimce Bitüm Yüzdesi (%) |
| VFA | : Asfaltla Dolu Boşluk (%) |
| VMA | : Mineral Agrega İçerisindeki Boşluk (%) |
| P _B | : Ağırlıkça Bitüm Oranı (%) |
| E | : Elastisite Modülü |
| RR | : Tekerlek İzi Oranı |
| m _c | : Statik Sünme Eğrisinin doğru olduğu kesimdeki eğim |
| X | : Geri dönme <u>k</u> abiliyeti |
| v | : Poisson oranı |
| optAC | : Katkısız karışım için optimum bitüm miktarı (%) |
| optACv | : Katkılı karışım için optimum bitüm miktarı (%) |
| S _t | : Dolaylı Çekme Mukavemeti |
| YPE | : Yükleme Periyodu Etkisi |
| YHE | : Yükleme Hızı Etkisi |

- CM : Sünme Modülü
 ε_t : Kalıcı Deformasyon
 ε_p : Geri Dönен Deformasyon
AC : Asfalt Çimentosu
EVA : Etil-vinil-asetat
PVC : Polivinil klorid

ŞEKİL LİSTESİ

| | Sayfa |
|--|-------|
| Şekil 1.1 Yol Malzemesi Olarak Bitüm Çeşitleri | 2 |
| Şekil 2.1 Gerilme Durumları | 10 |
| Şekil 2.2 Karayolu Üstyapısı Kesiti | 11 |
| Şekil 3.1 Laboratuarda Uygulanan Genel Yük Şekilleri | 16 |
| Şekil 3.2 Yüklü sürenin üstyapı derinliği ile hızla bağlı olarak dağılımı | 17 |
| Şekil 3.3 Üç Noktalı Eğilme Deney Aparatı | 25 |
| Şekil 3.4 Orta Nokta Eğilme Aparatı (vanDijk, 1972) | 27 |
| Şekil 3.5 Eğilme Aparatı (Pell) | 28 |
| Şekil 3.6 Deformasyon Kontrollü Burkulma Makinesi | 29 |
| Şekil 3.7 Bükme Yorulması Deney Makinesi | 29 |
| Şekil 3.8 Yorulma Deney Makinesi | 31 |
| Şekil 3.9 Doğrudan Eksenel Yorulma Deneyinin Şematik Temsili | 33 |
| Şekil 3.10 Dairesel Yükleme Deneyi Konfigürasyonu ve Kırılma | 36 |
| Şekil 3.11 Dairesel Yükleme Deneyi Gerilme Dağılımı | 36 |
| Şekil 3.12 Üç Eksenli Yorulma Yükleme Deney Aleti | 37 |
| Şekil 3.13 Üç Eksenli Eksenel ve Radyal Yük Kontrollü Deney Alet | 38 |
| Şekil 3.14 Dinamik Sünme Deneyi | 39 |
| Şekil 3.15 Yükün Uygulama Şekli | 39 |
| Şekil 3.16 Tekerlek İzi Deneyi | 40 |
| Şekil 3.17 Gerçek Boyutlu Deney (Dairesel) | 43 |
| Şekil 3.18 Gerçek Boyutlu Deney (Boyuna) | 43 |
| Şekil 4.1 Sıkıştırma Metodunun İzafi Karışım Stabilitesine Oranı | 51 |
| Şekil 4.2 Dönerek sıkıştırma çalışma prensibi | 52 |
| Şekil 4.3 Farklı Sıkıştırma Ekipmanları ile sıkıştırılan numunelerin Dolaylı Çekme Mukavemeti Değerlerinin Karşılaştırılması (AAMAS, 1992) .. | 54 |
| Şekil 4.4 Farklı Sıkıştırma Ekipmanları ile sıkıştırılan numunelerin Esneklik Modülü Değerlerinin Karşılaştırılması (AAMAS, 1992) .. | 54 |
| Şekil 4.5 Dolaylı Çekme Deneyin de Esneklik Modülünün Boşluk Yüzdesi ile Değişimi | 56 |

| | | |
|------------|--|-----|
| Şekil 4.6 | Asfalt muhtevasına bağlı olarak karışımların stabilité ve durabilite ilişkisi (C. L. Monismith, vd., 1989) | 58 |
| Şekil 4.7 | Sıcaklık Elastisite Modülü ilişkisi (S. F. Safwat, 1996) | 59 |
| Şekil 4.8 | Sıcaklık Elastisite Modülü İlkisi (S. J. Biczysko, 1990) | 60 |
| Şekil 5.1 | Dolaylı Çekme Deneyi | 71 |
| Şekil 5.2 | Yükün uygulanma ve deformasyon şekli | 72 |
| Şekil 5.3 | Tek Eksenli Basınç | 75 |
| Şekil 6.1 | Agrega Gradasyonu | 80 |
| Şekil 6.2 | % 7 Vestoplast Katkılı Karışım ve Geleneksel Karışımın Mukavemetlerinin Karşılaştırılması | 82 |
| Şekil 6.3 | Karışım Deneyle Akış Şeması ve Numune Sayıları | 83 |
| Şekil 6.4 | Marshall Stabilitesi-Bitüm Muhtevası İlişkisi | 85 |
| Şekil 6.5 | Özgül Ağırlık-Bitüm Muhtevası İlişkisi | 86 |
| Şekil 6.6 | Boşluk(%) - Bitüm Muhtevası İlişkisi | 86 |
| Şekil 6.7 | Asfaltla Dolu Boşluk (%) - Bitüm Muhtevası İlişkisi | 87 |
| Şekil 6.8 | Akma-Bitüm Muhtevası İlişkisi | 88 |
| Şekil 6.9 | Marshall Stabilitesi-Bitüm Muhtevası İlişkisi | 88 |
| Şekil 6.10 | Özgül Ağırlık-Bitüm Muhtevası İlişkisi | 89 |
| Şekil 6.11 | Boşluk(%) - Bitüm Muhtevası İlişkisi | 89 |
| Şekil 6.12 | Asfaltla Dolu Boşluk (%) - Bitüm Muhtevası İlişkisi | 90 |
| Şekil 6.13 | Akma-Bitüm Muhtevası İlişkisi | 91 |
| Şekil 6.14 | Dolaylı Çekme Mukavemeti-Bitüm Muhtevası İlişkisi | 93 |
| Şekil 6.15 | Düşey Deformasyon-Bitüm Muhtevası İlişkisi | 93 |
| Şekil 6.16 | Deney Uygulama Sıralaması ve Deney Numunelerinin Kodlama Sistemi | 95 |
| Şekil 6.17 | Bitüm Muhtevası-Elastisite Modülü İlişkisi (Yükleme Hızı 40 ms) | 97 |
| Şekil 6.18 | Bitüm Muhtevası-Elastisite Modülü İlişkisi (Yükleme Hızı 60 ms) | 98 |
| Şekil 6.19 | Bitüm Muhtevası-Elastisite Modülü İlişkisi (Yükleme Hızı 80 ms) | 99 |
| Şekil 6.20 | Boşluk-Elastisite Modülü İlişkisi (Yükleme Hızı 40 ms) | 101 |
| Şekil 6.21 | Boşluk-Elastisite Modülü İlişkisi (Yükleme Hızı 60 ms) | 102 |
| Şekil 6.22 | Boşluk-Elastisite Modülü İlişkisi (Yükleme Hızı 80 ms) | 103 |

| | | |
|------------|---|-----|
| Şekil 6.23 | Asfalt la Dolu Boşluk-Elastisite Modülü İlişkisi (Yükleme Hızı 40 ms) | 104 |
| Şekil 6.24 | Asfaltla Dolu Boşluk-Elastisite Modülü İlişkisi (Yükleme Hızı 60 ms) | 105 |
| Şekil 6.25 | Asfaltla Dolu Boşluk-Elastisite Modülü İlişkisi (Yükleme Hızı 80 ms) | 106 |
| Şekil 6.26 | Yükleme Periyodunun Elastisite Modülü Üzerindeki Etkisi | 108 |
| Şekil 6.27 | Yükleme Hızının Elastisite Modülü Üzerindeki Etkisi | 109 |
| Şekil 6.28 | Farklı bitüm muhtevaları için zaman-deformasyon ilişkisi (5 °C Sıcaklık) | 111 |
| Şekil 6.29 | Farklı bitüm muhtevaları için zaman-deformasyon ilişkisi (15 °C Sıcaklık) | 112 |
| Şekil 6.30 | Farklı bitüm muhtevaları için zaman-deformasyon ilişkisi (25 °C Sıcaklık) | 113 |
| Şekil 6.31 | Farklı bitüm muhtevaları için zaman-deformasyon ilişkisi (40 °C Sıcaklık) | 114 |
| Şekil 6.32 | Tekrarlı Yük ve Uygulama Süresi | 115 |
| Şekil 6.33 | Yük Tekerrür Sayısı Kalıcı Deformasyon İlişkisi | 116 |
| Şekil 6.34 | Boşluk-Kalıcı Deformasyon İlişkisi | 117 |
| Şekil 6.35 | Asfaltla Dolu Boşluk-Kalıcı Deformasyon İlişkisi | 117 |
| Şekil 6.36 | Bitüm Oranlarına Göre Elastisite Modülü Değerlerinin Uygunluğu..... | 119 |
| Şekil 6.37 | Karışımın Bitüm Muhtevalarına Göre tekerlek İzi Oluşumu Potansiyelleri (5 °C)..... | 120 |
| Şekil 6.38 | Karışımın Bitüm Muhtevalarına Göre tekerlek İzi Oluşumu Potansiyelleri (15 °C) | 120 |
| Şekil 6.39 | Karışımın Bitüm Muhtevalarına Göre tekerlek İzi Oluşumu Potansiyelleri (25 °C) | 121 |
| Şekil 6.40 | Karışımın Bitüm Muhtevalarına Göre tekerlek İzi Oluşumu Potansiyelleri (40 °C) | 121 |
| Şekil 7.1 | Model ve Gerçek A Değerleri Arasındaki İlişki | 126 |
| Şekil 7.2 | Model ve Gerçek B Değerleri Arasındaki İlişki..... | 127 |
| Şekil 7.3 | Stabilite Değerleri Arası Farklılık..... | 130 |
| Şekil 7.4 | Katkılı ve Katkısız Karışımın Elastisite Modülü Değerlerinin Uygunluğu..... | 131 |

| | | |
|------------|--|-----|
| Şekil 7.5 | Seçilen Üstyapı Kesiti..... | 132 |
| Şekil 7.6 | Yorulma Ömürleri arası Farklılık..... | 133 |
| Şekil 7.7 | Katkılı ve Katkısız Karışımların Tekerlek İzi Oluşumu Riski (5 °C)..... | 134 |
| Şekil 7.8 | Katkılı ve Katkısız Karışımların Tekerlek İzi Oluşumu Riski (15 °C)..... | 134 |
| Şekil 7.9 | Katkılı ve Katkısız Karışımların Tekerlek İzi Oluşumu Riski (25 °C)..... | 135 |
| Şekil 7.10 | Katkılı ve Katkısız Karışımların Tekerlek İzi Oluşumu Riski (40 °C)..... | 135 |

ÇİZELGE LİSTESİ

| | Sayfa |
|---|-------|
| Çizelge 1.1 Katkı Maddelerinin Genel Sınıflandırması | 7 |
| Çizelge 1.2 Karışım Malzeme ve Değişkenleri | 8 |
| Çizelge 3.1 Gerilme Kontrollü ve Deformasyon Kontrollü Yükleme Durumlarının Karşılaştırılması (Monismith, vd., 1990) | 14 |
| Çizelge 3.2 Yükleme Modu ve Karışım Değişkenlerinin Yorulma ve Rijitlik Üzerine Olan etkisi (Monosimith, vd., 1990) | 15 |
| Çizelge 3.3 Dalga şeklinin yorulma direnimi üzerine olan etkisi (Monosimith, vd., 1990) | 17 |
| Çizelge 3.4 Yorulma Deney karakteristikleri | 20 |
| Çizelge 3.5 Yorulma deney metot ve değerlendirmelerinin kronolojisi | 21 |
| Çizelge 3.6 Gerçek Boyutlu Deney Alanları (NCHRP Synthesis 235) | 41 |
| Çizelge 3.7 Deney metodlarının değerlendirilmesi (J. Matthews, C. L. Monismith ve J. Craus, 1993) | 46 |
| Çizelge 4.1 Karışım Özellikleri (C. L. Monismith, vd., 1989) | 57 |
| Çizelge 6.1 Agrega Gradasyonu | 80 |
| Çizelge 6.2 Kaba ve İnce Agrega Özgül Ağırlıkları | 81 |
| Çizelge 6.3 Bitümlü Bağlayıcı Özellikleri | 81 |
| Çizelge 6.4 Dolaylı Çekme Mukavemeti | 92 |
| Çizelge 6.5 Yükleme Periyodu ve Yükleme Hızı | 94 |
| Çizelge 6.6 Bitüm Muhtevasının Elastisite Modülü Üzerindeki Etkisi | 96 |
| Çizelge 6.7 Yükleme Periyodu Etkisi (YPE) | 107 |
| Çizelge 6.8 Yükleme Hızı Etkisi (YHE) | 109 |
| Çizelge 6.9 Karışım Değişkenleri ve 20. Saat Sonunda Oluşan Kalıcı Deformasyon | 116 |
| Çizelge 7.1 Yük Tekerrür Sayısı-Kalıcı Deformasyon Regresyon Analizi Sonuçları | 124 |
| Çizelge 7.2 Model Çalışmasında Kullanılan Bağımsız Değişkenler..... | 124 |
| Çizelge 7.3 Korelasyon Matrisi..... | 125 |
| Çizelge 7.4 Regresyon ve Gerçek Yorulma Denklemleri..... | 127 |

| | | |
|--------------|---|-----|
| Çizelge 7.5 | K ve n Regresyon Katsayıları..... | 129 |
| Çizelge 7.6 | Katkılı ve Katksız Karışım Stabiliteleri..... | 130 |
| Çizelge 7.7 | Yorulma Ömrü Tahmini..... | 132 |
| Çizelge 7.8 | Karışım Performanslarının Değerlendirilmesi..... | 137 |
| Çizelge A.1 | Geleneksel Bağlayıcılı Karışım Dizaynı | 145 |
| Çizelge A.2 | Vestoplast Katkılı Karışım Dizaynı | 146 |
| Çizelge B.1 | Dolaylı Çekme Deneyi Sonuçları (5 °C sıcaklık ve % 4,5 Bitüm Muhtevası) | 148 |
| Çizelge B.2 | Dolaylı Çekme Deneyi Sonuçları (5 °C sıcaklık ve % 5 Bitüm Muhtevası) | 148 |
| Çizelge B.3 | Dolaylı Çekme Deneyi Sonuçları (5 °C sıcaklık ve % 5,5 Bitüm Muhtevası) | 149 |
| Çizelge B.4 | Dolaylı Çekme Deneyi Sonuçları (5 °C sıcaklık ve % 6,0 Bitüm Muhtevası) | 149 |
| Çizelge B.5 | Dolaylı Çekme Deneyi Sonuçları (5 °C sıcaklık ve % 6,5 Bitüm Muhtevası) | 150 |
| Çizelge B.6 | Dolaylı Çekme Deneyi Sonuçları (5 °C sıcaklık ve OptAC Bitüm Muhtevası) | 150 |
| Çizelge B.7 | Dolaylı Çekme Deneyi Sonuçları (5 °C sıcaklık ve OptACv Bitüm Muhtevası) | 151 |
| Çizelge B.8 | Dolaylı Çekme Deneyi Sonuçları (15 °C sıcaklık ve % 4,5 Bitüm Muhtevası) | 151 |
| Çizelge B.9 | Dolaylı Çekme Deneyi Sonuçları (15 °C sıcaklık ve % 5 Bitüm Muhtevası) | 152 |
| Çizelge B.10 | Dolaylı Çekme Deneyi Sonuçları (15 °C sıcaklık ve % 5,5 Bitüm Muhtevası) | 152 |
| Çizelge B.11 | Dolaylı Çekme Deneyi Sonuçları (15 °C sıcaklık ve % 6,0 Bitüm Muhtevası) | 153 |
| Çizelge B.12 | Dolaylı Çekme Deneyi Sonuçları (15 °C sıcaklık ve % 6,5 Bitüm Muhtevası) | 153 |

| | | |
|--------------|--|-----|
| Çizelge B.13 | Dolaylı Çekme Deneyi Sonuçları (15 °C sıcaklık ve OptAC Bitüm Muhtevası) | 154 |
| Çizelge B.14 | Dolaylı Çekme Deneyi Sonuçları (15 °C sıcaklık ve OptACv Bitüm Muhtevası) | 154 |
| Çizelge B.15 | Dolaylı Çekme Deneyi Sonuçları (25 °C sıcaklık ve % 4,5 Bitüm Muhtevası) | 155 |
| Çizelge B.16 | Dolaylı Çekme Deneyi Sonuçları (25 °C sıcaklık ve % 5 Bitüm Muhtevası) | 155 |
| Çizelge B.17 | Dolaylı Çekme Deneyi Sonuçları (25 °C sıcaklık ve % 5,5 Bitüm Muhtevası) | 156 |
| Çizelge B.18 | Dolaylı Çekme Deneyi Sonuçları (25 °C sıcaklık ve % 6,0 Bitüm Muhtevası) | 156 |
| Çizelge B.19 | Dolaylı Çekme Deneyi Sonuçları (25 °C sıcaklık ve % 6,5 Bitüm Muhtevası) | 157 |
| Çizelge B.20 | Dolaylı Çekme Deneyi Sonuçları (25 °C sıcaklık ve OptAC Bitüm Muhtevası) | 157 |
| Çizelge B.21 | Dolaylı Çekme Deneyi Sonuçları (25 °C sıcaklık ve OptACv Bitüm Muhtevası) | 158 |
| Çizelge B.22 | Dolaylı Çekme Deneyi Sonuçları (40 °C sıcaklık ve % 4,5 Bitüm Muhtevası) | 158 |
| Çizelge B.23 | Dolaylı Çekme Deneyi Sonuçları (40 °C sıcaklık ve % 5 Bitüm Muhtevası) | 159 |
| Çizelge B.24 | Dolaylı Çekme Deneyi Sonuçları (40 °C sıcaklık ve % 5,5 Bitüm Muhtevası) | 159 |
| Çizelge B.25 | Dolaylı Çekme Deneyi Sonuçları (40 °C sıcaklık ve % 6,0 Bitüm Muhtevası) | 160 |
| Çizelge B.26 | Dolaylı Çekme Deneyi Sonuçları (40 °C sıcaklık ve % 6,5 Bitüm Muhtevası) | 160 |
| Çizelge B.27 | Dolaylı Çekme Deneyi Sonuçları (40 °C sıcaklık ve OptAC Bitüm Muhtevası) | 161 |

| | | |
|--------------|---|-----|
| Çizelge B.28 | Dolaylı Çekme Deneyi Sonuçları | |
| | (40 °C sıcaklık ve OptACv Bitüm Muhtevası) | 161 |
| Çizelge C.1 | 5 ve 15 °C Statik Sünme Deformasyonu (in./in. $\times 10^{-6}$) | 163 |
| Çizelge C.2 | 25 ve 40 °C Statik Sünme Deformasyonu (in./in. $\times 10^{-6}$) | 167 |
| Çizelge C.3 | Statik Sünme Modülü (psi) (5-15-25-40 °C)..... | 172 |
| Çizelge D.1 | Tekrarlı Sünme Deneyi Sonuçları (in./in. $\times 10^{-6}$) | 174 |

ÖNSÖZ

Birlikte çalışmaya başladığım süre içerisinde gerek Doktora Tezim gerekse ulaşımın diğer konularında uygulamaya yönelik bilgiler kazanmamda, birikimi ve tecrübesiyle yararlandığım örnek insan Tez Danışmanım Doç. Dr. Mustafa ILICALI'ya,

Bu tezin hazırlanmasında sürekli yardım ve desteklerini gördüğüm Anabilim Dalı Başkanı Prof. Dr. Zerrin BAYRAKDAR ve mesai arkadaşım ve sürekli desteğini gördüğüm İnş. Y. Müh. Süreyya TAYFUR'a

Tezimin basılmaya hazır hale getirilmesi için, büyük bir zaman ayırarak katkı sağlayan değerli hocalarım, Prof. Dr. Emine AĞAR ve Doç. Dr. Güven ÖZTAŞ'a,

Tezin özellikle deneysel çalışmalarının yapılmasında en geniş imkanları sağlayan İstanbul Büyükşehir Belediyesi İstanbul Asfalt Fabrikaları (İSFALT) A. Ş. Eski Genel Müdürü Abdülalim KARABIYIK ve yeni Genel Müdürü Hasan ARPACI ve Laboratuar çalışanları Kalite Kontrol Müdürü Bekir Kadri EREN, Laboratuar Şefi Gülağa KARADAĞ, Laboratuar Teknisyenleri Erol TUNÇ, Levent GÜL, Servet HAN, Mustafa KOCABEY ve Muhittin ERGUN'a ve diğer çalışanlarına,

Tezin yazılmasında katkıları için arkadaşım Yük. Şehir Plancısı Salim KÜÇÜK, Şehir Plancısı Vedat USLU ve İnş. Müh. Bülent KORKMAZ'a

Sabırla bana maddi ve manevi destek veren aileme,

En içten teşekkürlerimi ve şükranlarımı sunarım.

Halit ÖZEN

ÖZET

Karayollarına olan talebin sürekli artması, taşıt teknolojisindeki gelişmeler, karayolunun ağır taşıt trafik yüklerine maruz kalması, olumsuz çevre koşulları gibi nedenler yapılan yolların tahmin edilen süreden çok daha önce bozulmalarına neden olmaktadır. Yoldaki bozulmaya çok sayıda faktör sebep olmakla birlikte ülkemizde bugüne kadar yapılan hizmet ömrü tahmin yöntemlerinin de yeniden gözden geçirilmesi yararlı olacaktır.

Bu çalışmada, asfalt tabakalarının performanslarının değerlendirilmesinde bazı ülkelerde kullanılan bozulma parametreleri olan;

- Yorulma çatlakları,
- Tekerlek izi veya kalıcı deformasyonlar

ayı ayrı değerlendirilmektedir. Bunun için literatür araştırmasından elde edilen teorik çalışmalarдан yararlanılarak, ileriki bölümlerde açıklanan deneyler yapılmaktadır. Sonuç olarak geliştirilen bir yöntemle asfalt karışımının hizmet ömrü tahmininde çok önemli olan bilgiler verilmektedir. Yapılan bu çalışmalara ilişkin bir özeti aşağıda verilmektedir.

Yapılan laboratuar çalışmalarında geleneksel ve katkılı karışımlara **Marshall Dizaynı**, **Dolaylı Çekme Mukavemeti**, **Dolaylı Çekme**, **Statik Sünme**, **Tekrarlı Sünme** gibi deneyler uygulanmıştır.

Hizmet ömrünün tesbitinde önemli göstergelerden olan karışım değişkenlerinin karışımın elastisite ve sünme modülü üzerindeki etkisini ortaya koymak, karışım performansını değerlendirmek için örnek bir deneyelik çalışma programı hazırlanmıştır. Ayrıca karışımların, hizmet ömrünün hesaplanması için bir Tekerlek İzi Tahmin Modeli kurulmuş ve yorulma performanslarının değerlendirilmesi için kurulmuş olan modellerden ülkemiz koşullarına uygun olanı tesbit edilmiştir. Böylece bu değerlendirmelerle karışımların yorulma ve tekerlek izi performanslarını tahmin etmek mümkün olmaktadır.

Günümüzde asfalt, bazı katkı maddeleri ile modifiye edilerek kullanılmakta ve ileride bu şekilde uygulamaların daha yaygınlaşacağı tahmin edilmektedir. Geleneksel bağlayıcı veya karışımlara katkı maddelerinin ilave edilmesi ile hazırlanan modifiye karışımların bu tezde ortaya konan yöntemle değerlendirilmesini sağlamak ve bu konuda bir boşluk oluşturmak için laboratuvarımız imkanları içerisinde hazır bulunan Vestoplast malzemesi ile katkılı asfalt karışımları da üretilerek model çalışmasına dahil edilip ilave bir değişken olarak değerlendirilmesi sağlanmıştır. Burada vurgulanması gereken, katkıının cinsi değil, asfaltın farklı malzemelerle de karıştırılarak kullanılabileceği durumuna bir örnek teşkil etmesidir.

Deneylerden elde edilen sonuçlar yardımıyla bitümlü karışım değişkenlerinin karışımın performansı üzerine olan etkisi değerlendirilmiş ve hizmet ömrü tahminine yönelik olarak bir model kurulmuştur. Bu modele, ileride yapılacak olan yeni çalışmalarla başka değişkenlerin de ilave edilmesi ile anlatılan yönteme göre model geliştirilecek, böylece deney yapmadan daha doğru bir hizmet ömrü tahmin edilmesi sağlanmış olacaktır.

ABSTRACT

The continuous increase of demand to the highways, developments vehicle technology, the effect of heavy traffic loads and negative impacts of climate conditions damage on the highways before the end of expected service lives. There are numerous factors, that cause damages on the highways so it will be beneficial to check "Service Life Estimated Methods", which have been in our country to date once more.

In this study, the rotten parameters (fatigue cracks, rutting or permanent deformation etc.) which are being used in some countries to evaluate the performance of asphalt layers are presented. By using the theatrical knowledge, which was provided by examining the related literature, the experiments which are presented in the following sections are being executed. As a result, such a method was achieved that some very important knowledge is given about the estimation of service lives of the asphalt mixtures. A summary regarding these studies are presented below.

Marshall Design, Indirect Tensile Strength Test, Indirect Tensile Test, Static Creep Test and Repeated Creep Test were performed on both conventional and modified mixtures during laboratory studies.

A sample experimental studying program was prepared to point out the effects of mixture variables on the elasticity and creep moduli, which serve as an important indicator on the evaluation of service life and evaluate the performance of mixture. Moreover, a rutting estimation model for our country was determined among several fatigue performance evaluation models. In this way, it will be possible to estimate the rutting and fatigue performances of the mixtures.

Nowadays asphalt is being modified by some additives and most probably the usage of these additives will be more common in the near future. In order to evaluate the modified mixtures, prepared by using additives in the mixtures or binders, by the model presented in this thesis; Vestoplast additives was used . By using Vestoplast, some modified mixtures were produced and it was made to serve as an addition variable. The remarkable point here is not the type of additive, but the possibility of modifying asphalt by using some different materials.

By the results obtained from the experiments, the effects of mixtures variables on mixture performance were evaluated, also a model established to estimate the service life, This model was so prepared that it will be possible to add some more variables as a result of future studies, which will let more precise service life estimations even without any experimental studies.

1. BAĞLAYICI TİP VE KARIŞIM DEĞİŞKENLERİ

Sıcak asfalt karışımımları ;

-bağlayıcı (bitüm)

-agrega

-katkı maddeleri (bağlayıcıya veya karışımıma katılan) olmak üzere üç ana bileşenden oluşmaktadır.

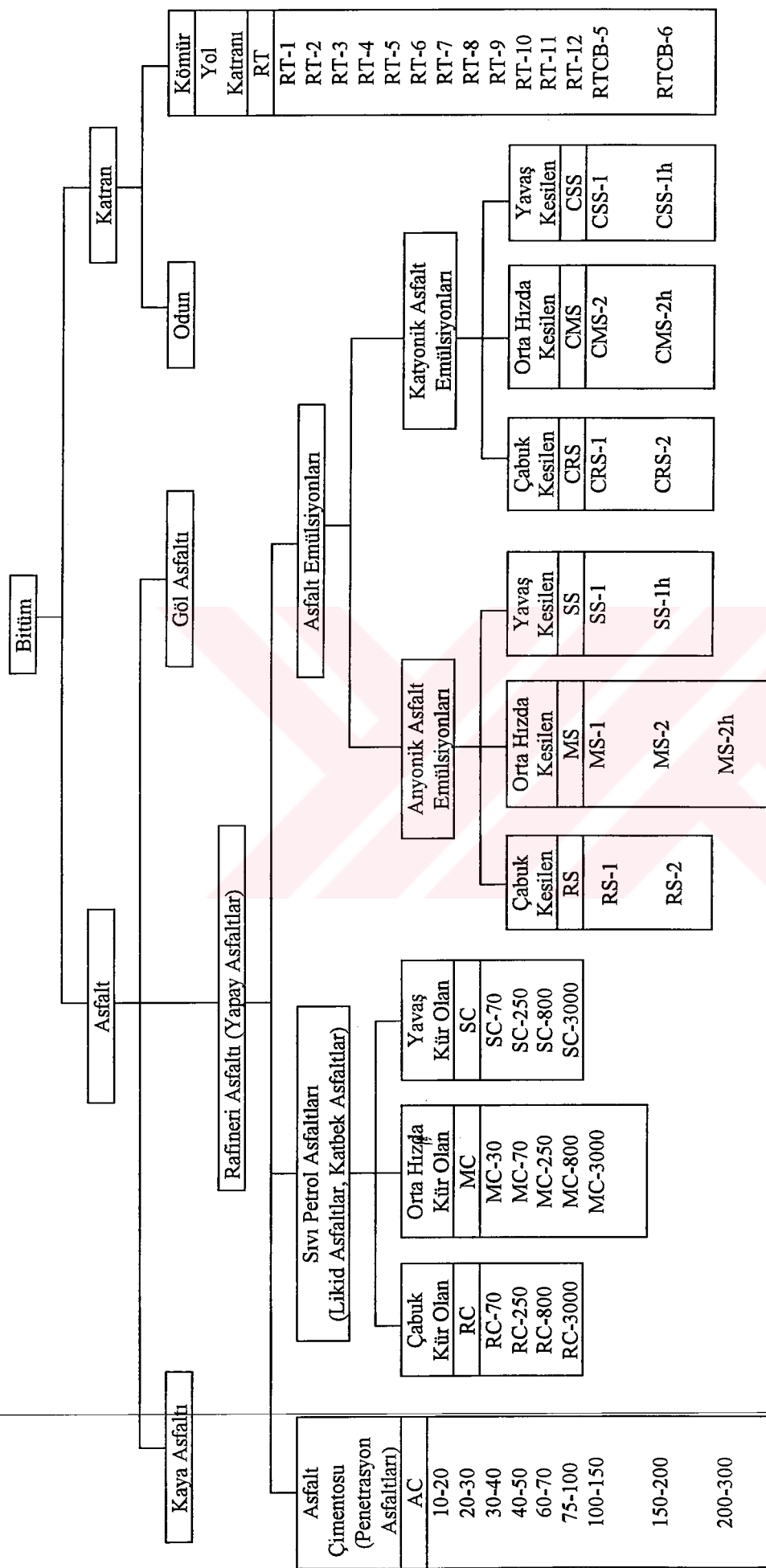
1.1 Bitüm

Sıcak asfalt karışımımlarında bağlayıcı olarak bitüm kullanılmaktadır. Bitüm, doğal kökenli hidrokarbonların bir karışımı veya pirojenik kökenli (doğal, ısı etkisiyle meydana gelen ergime sonucu oluşan) hidrokarbonların bir karışımı ya da bunların her ikisinin bir kombinasyonu olup çok defa bunlar gaz, sıvı, yarı-katı veya katı halde olabilen, metal dışı türevleri ile bir arada bulunan, yapıştırıcı özellikleri olan ve karbondisulfürde tamamen çözülen madde olarak tanımlanır (Keçeciler vd., 1988). Yol malzemesi olarak kullanılan bitümlü malzemeler Şekil 1.1'de gösterilmiştir. Bitüm asfalt ve katran olmak üzere iki ana bölüme ayrılmaktadır.

Asfalt

Koyu kahverenk'ten - siyaha kadar değişen, kuvvetli bağlayıcı özelliği olan, kıvamlılık bakımından katı, yarı-katı veya sıvı halde olabilen, doğal halde bulunan veya ham petrolün arıtılmasından elde edilen ve başlıca hidrokarbonlardan oluşan bir maddedir. Asfaltlar, kökenlerine göre doğal asfaltlar ve yapay asfaltlar olarak iki gruba ayrılabilir

Doğal asfaltlar, doğada genellikle mineral maddelerle karışmış halde bulunurlar. Bunlar da Kaya ve Gol asfaltı olarak ikiye ayrılırlar. Göl Asfaltı % 55 bitüm, % 35 mineral madde ve % 10 organik madde içerir. En iyi bilineni Trinidad Göl Asfaltıdır. Kaya asfaltları ise % 90 mineral madde ve % 10 bitüm içerirler.



Şekil 1.1 Yol malzemesi olarak bitüm çeşitleri

Yapay asfaltlar, ham petrolün arıtılmasından elde edilirler.

Petrol kuyularından çıkarılan ham petrol rafinerilerden pompalarla tanklara, buradan da ısıtma kulelerine gönderilerek sıcaklığı yükseltilir, daha sonra damıtma kulelerine gelir. Kolay uçucu olan kısımlar bu kulelerin üst kısmından çıkar ve soğutucularda yoğunlaştırılarak ayrılır. Bunlar hafif ürünleri, daha az uçucu olanlar aynı şekilde orta ürünler, en ağır uçanlar ise ağır ürünleri meydana getirirler (Keçeciler vd., 1988).

Asfaltı içeren kalıntı maddeleri ise kulenin dibinde birikir. Bu şekilde ham petrol başlıca beş kısma ayrılmış olur:

- 1-Benzin (Gazolin),
- 2-Gaz yağı (Kerosen),
- 3-Dizel yağları (Mazot),
- 4-Yağlama yağları,
- 5-Ağır kalıntı maddeleri .

Bunların hepsine gerektiğinde tekrar damıtma işlemi uygulanarak daha değişik petrol ürünleri elde edilir (Keçeciler vd., 1988).

Asfalt çimentoları (Penetrasyon Asfaltı);

Kalıntı maddelerinin daha ileri damıtılmasından SC sınıfı yavaş kür olan yol yağları elde edilir ve geriye asfalt çimentosu kalır. Asfalt çimentoları AC ile gösterilirler ve 10-300 arasında değişen penetrasyon derecelerine göre sınıflandırılırlar. Bu penetrasyon asfaltlarının bir kısmı daha sert olanların daha yumuşak olanlar ile karıştırılmasından elde dildiği gibi, sert olanların yüksek kaynama noktalı bir yağı ile yumuşatılması suretiyle de elde edilebilir (Keçeciler vd., 1988).

Yol üst yapılarında kullanılan asfalt çimentoları, özellik ve kıvam bakımından doğrudan doğruya bitümlü kaplamalarda kullanılmak üzere hazırlanmış petrol kökenli asfaltlardır. Penetrasyon asfaltlarının tamamı agregalar ile karıştırılmadan önce belirli derecelere kadar ısıtılmaya ihtiyaç gösterirler.

Sıvı petrol asfaltları (Katbek Asfaltı);

Sıvı petrol asfaltları, asfalt çimentolarının farklı özellikli çözücülerle karıştırılarak işlenebilir hale getirilmesi ile elde edilirler. Asfalt çimentosu ile kaynama noktası düşük, yani kolay uçan bir çözücü (benzin, nafta) ile karıştırılarak çabuk kür olan RC Sıvı Petrol Asfaltları, orta derecede uçucu bir çözücüün (kerosen, gaz yağı) karıştırılması ile orta hızda kür olan MC Sıvı Petrol Asfaltları ve ağır yağlarla inceltilerek yavaş kür olan SC Sıvı Petrol Asfaltları elde edilir.

Ayrıca sıvı petrol asfaltlarının her biri kendi aralarında kinematik viskozite değerlerine göre tiplere ayrılırlar. Sıvı petrol asfaltları, asfalt malzemesi ve çimentolu temel tabakalarının yüzeylerinde yapıştırma malzemesi olarak kullanılırlar (Keçeciler vd., 1988). Ayrıca bitümlü makadam ve ince daneli soğuk asfalt yapımında da kullanılmaktadır.

Asfalt emülsyonları;

Emülsyon, bir biri içinde çözünemeyen iki sıvıdan birinin diğerini içerisinde küçük küre tanecikleri halinde homojen olarak dağılmışıdır. Asfalt emülsyonları da asfalt çimentosu (dağılan faz) küreciklerinin su (dağıtan faz) içinde dağılmasından oluşur. Bu işlem mekanik olarak yapılır, ancak asfalt küreciklerinin birbirine yapışarak sudan ayrılmalarını önlemek için emülgatör (emülsyon verici madde) denilen katkı maddeleri kullanılır.

Asfalt emülsyonları emülgatörün cinsine göre Anyonik ve Katyonik Asfalt Emülsyonları olmak üzere ikiye ayrılır:

Bir asfalt emülsyonu agrega ile karıştırıldığı veya bir yolun yüzeyine püskürtüldüğünde emülsyon kesilir, yani asfalt kürecikleri sıvı ortamdan ayrılarak aggreganın üzerine yapışırlar. Serbest kalan su buharlaşır. Yolda kullanılan asfalt emülsyonları kesilme hızlarına göre:

- 1-Çabuk kesilen RS asfalt emülsyonları,
- 2-Orta hızda kesilen MS asfalt emülsyonları,
- 3-Yavaş kesilen SS asfalt emülsyonları olarak üçe ayrırlırlar (Keçeciler vd., 1988).

Asfalt emülsiyonlarının, dünyadaki kullanım miktarları her geçen yıl hızla artmaktadır. Ancak ülkemizde asfalt emülsiyonu tüketimi istenilen seviyeye ulaşmamıştır. Asfalt emülsiyonları belli başlı olarak;

- 1-Sathi kaplamalarda,
- 2-Karışım kaplamalarda,
- 3-Harç kaplamalarda,
- 4-Yama ve tamir işlerinde,
- 5-Penetrasyon makadam yol kaplamalarında, kullanılmaktadır (KAV, 1992).

Katran

Katran, kömürün veya odunun kapalı bir sistem içerisinde kuru kuruya damıtılmasından elde edilir. Bu şekilde elde edilen katrana ham katran denir. Genellikle, katran bu şekli ile değil, arıtıldıkten sonra kullanılır. Yol kaplamalarında bağlayıcı olarak kullanılan katranın kömür kökenli olması tercih edilir.

RT simbolü ile gösterilen yol katranları kıvamlılıklarına göre RT-1, RT-2 RT-12 ve RTCB-5, RTCB-6 olmak üzere 14 sınıfa ayrırlırlar. Numaralar büyüğükçe kıvamlılık artar.

1.2 Katkı Maddeleri

Esnek üst yapı karışımlarında kullanılan bitümün, asfalt çimentosu, emülsiyonlar, katbekler gibi bütün çeşitlerinin modifiye edilmesi mümkündür.

Piyasada çok çeşitli olarak bulunan katkı maddelerinin hepsinin tâmaçlanan iyileştirmeyi sağlayamadığı görülmektedir. Bunlardan bazıları sadece endüstriyel atıklardan oluşur ve katkı maddesi olarak piyasaya sürülür. Diğerleri ise yine bazı endüstri kollarının yan ürünleri yse de bağlayıcıdaki fiziksel ve kimyasal değişimleri sağlamak için formülé edilirler. İşte bu tip ürünler, özellikleri açıkça ortaya koymak suretiyle bitüm modifikasyonunda kullanılırlar. Her ürünün özellikleri belirli bir problemi çözebilmek için dikkatlice değerlendirilmeli ve bu şekilde istenen iyileştirmeler elde edilmelidir.

Karışımın özelliklerinin değiştirilebilmesi için karışım tasarımını değiştirmek veya bitüm miktarıyla oynamak yeterli olur gibi görünmekteyse de katkı kullanımı yeni olasılıklar ve seçenekler ortaya koymaktadır.

Modifikasyon işlemi genel olarak iki türlü yapılabilmektedir. Bunlar:

- 1- Katkı maddesi bitüme katılarak, 'modifiye bitüm' elde edilir.
- 2- Katkı maddesi, asfalt plentinde doğrudan doğruya karışına katılarak, 'modifiye karışım' elde edilir.

Bitümün modifikasyonunda, modifiye bitüm çeşitli standart test yöntemleri uygulanarak bitüm özelliklerindeki değişimlerin tespit edilmesi mümkün olabilmektedir. Böylece, modifiye bitümün özelliklerinin belirlenmesi ve değerlendirmesi yapılabilmektedir. Ancak, bitümün modifiye edilmesi yönteminde, bu işlem için genellikle ilave ekipmanlar gerekmekte, hazırlanan modifiye bitümün depolanması, taşınması gibi sorunlar söz konusu olmaktadır.

Karışımın modifikasyonunda ise, katkı maddesi asfalt plentinde karışına katılabiligidinden ilave karıştırma ekipmanı gerekmemekte, depolama, taşıma v.s. gibi sorunlarla karşılaşılmamakta, ancak bu durumda da karışımından modifiye bitümü çekerek özelliklerinin belirlenmesi ve değerlendirilmesi pratik olmamaktadır.

Bilindiği gibi bağlayıcı özelliklerin belirlenmesinde uygulanan test yöntemleri, karışım özelliklerinin belirlenmesinde uygulanan test yöntemlerine göre daha pratik ve daha kısa sürelerde yapılabilmektedir. Karışma yönelik testlerde, daha uzun sürelerde, daha fazla işlemelere ve daha kapsamlı test ekipmanlarına gereksinim duyulmakla birlikte üstyapı performansının belirlenmesi ve değerlendirilmesinde daha temsili olmaktadır. Ancak, ülkemizde konuya ilgili kurumlardaki laboratuarlarda karışımlara yönelik test imkanlarının gelişmiş ülkelerdekine göre düşük seviyede olduğu bilinmektedir. Karışma yönelik test imkanlarının ülkemize transfer edilmesi ile gerek klasik üstyapı karışımlarının performanslarının daha sağlıklı bir şekilde tespit edilmesi bakımından gerekse bu karışımların iyileştirilmesi amacıyla kullanılacak katkı maddelerinin amacına uygun

seçilmelerinde büyük faydalar sağlanacaktır. Çizelge 1.1'de bitüm katkı maddelerinin genel bir sınıflandırılması verilmiştir.

Çizelge 1.1 Katkı maddelerinin genel sınıflandırılması

| TİP | ÖZELLİKLER | Modifiyerlerin Asfalt Çimentosunun Kıvamına Genel Etkisi |
|--|--|---|
| 1- Filler | <ul style="list-style-type: none"> • Mineral Filler : Taş tozu Kireç Portland çimentosu Uçucu kül • Karbon siyahı • Sülfür | Sertleştirme |
| 2- Uzatıcı (Extender) | <ul style="list-style-type: none"> • Sülfür • Liginin (Odun özü) | Sertleştirme |
| 3- Kauçuk a) Doğal lateks b) Yapay lateks c) Blok copolymer d) İşlenmiş kauçuk | <ul style="list-style-type: none"> • Doğal kauçuk • Strene -butadien veya SBR • Strene-butadien-Strene veya SBS • Dönüşürtülmüş kauçuk | * |
| 4-Plastik | <ul style="list-style-type: none"> • Polietilen • Polipropilen • Etil-vinil-asetat, EVA • Polivinil klorid, PVC | Sertleştirme |
| 5- Bileşim | <ul style="list-style-type: none"> • 3 ve 4'deki polimerlerin karışımı | * |
| 6- Fiber | <ul style="list-style-type: none"> • Doğal : Asbest Taş yünü • Yapay : Polipropilen Polyester Fiberglass | Sertleştirme |
| 7- Oksidan | <ul style="list-style-type: none"> • Manganez tuzu | Sertleştirme |
| 8- Antioksidan | <ul style="list-style-type: none"> • Kurşun karışımıları • Karbon • Kalsiyum tuzu | Yumuşatma |
| 9- Hidrokarbon | <ul style="list-style-type: none"> • Yeniden kullanma ve yenileştirme yağları • Sertleştirme ve doğal asfaltlar | Yumuşama Veya Setleştirme |
| 10- Soyulma önleyici | <ul style="list-style-type: none"> • Aminler • Kireç | Yumuşatma |

*Bazı malzemeler, sıcaklık sırasına bağlı olarak asfalt çimentosunu sertleştirir yada yumuşatır.

2.3 Karışım Değişkenleri

Asfalt betonu karışımı Çizelge 1.2 'de verilen karışım değişkenlerinden oluşmaktadır.

Bu karışım değişkenleri asfalt betonu karışımının performansı üzerinde önemli bir etkiye sahiptirler.

Çizelge 1.2 Karışım Malzeme ve Değişkenleri

| | |
|-----------------|--|
| Asfalt | Tipi Sertliği |
| Agrega | Tipi |
| | Granülometrisi |
| Katkı Malzemesi | Bitümün Modifiye Edilmesi |
| | Karışımın Modifiye Edilmesi |
| Karışım | Bağlayıcı oranı |
| | Boşluk Yüzdesi |
| | Asfaltla Dolu Boşluk Yüzdesi |
| | Mineral Agrega İçerisindeki Boşluk Yüzdesi |

Çizelge 1.2'de verilenlerin dışında karışım değişkenleri olarak karışımların su hassasiyeti, sıkıştırma derecesi gibi değişkenler de bulunmaktadır. Ancak Çizelge'de sadece bu çalışmada değerlendirilen karışım değişkenleri yer almaktadır.

2. YORULMA KAVRAMININ TANIMI

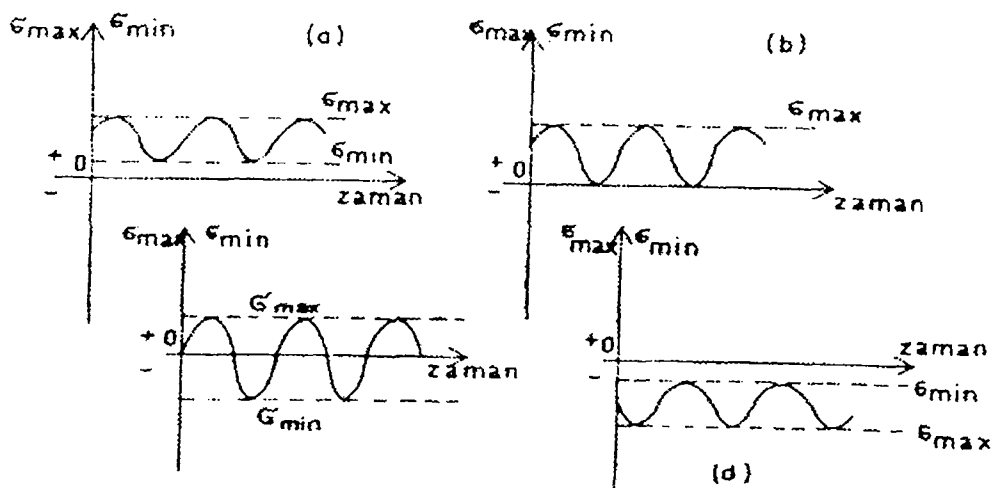
Bu bölümde karışım performansının değerlendirilmesinde önemli bir gösterge olan yorulma incelenmiştir.

2.1 Bir Mukavemet Problemi Olarak Yorulma

Herhangi bir yapıyı oluşturan malzemelerin üzerine genel olarak yük etkisi

- statik
- dinamik

olmak üzere iki şekilde etkimektedir. Yapı içerisinde etkiyen bu yüklerden dolayı gerilme ve deformasyonlar ortaya çıkmaktadır. Yapı malzemesi statik yük etkisi dışında oluşan dinamik yük etkisinden dolayı farklı şiddet ve tipte (basınç ve çekme) gerilmelere maruz kalmaktadır. Bu durum nedeniyle yapı malzemesinin herhangi bir kesitine ait bir noktada σ_{\min} ile σ_{\max} arasında değişen gerilmeler oluşmaktadır. Oluşan bu gerilmelerin muhtemel durumları sinüzoidal bir yükleme durumuna göre Şekil 2.1'de gösterilmiştir. Bu şekil üzerinde çekme gerilmeleri (+) işaretli olarak gösterilmiştir. Bu duruma göre (a)'da malzeme yalnız değişken çekme gerilmelerine maruz kalmaktadır. (b) de cisim yine çekme gerilmelerinin tesiri altında ise de burada σ_{\min} sıfıra eşittir. (c) halinde ise $-\sigma_{\max} = \sigma_{\min}$ dır. Yani malzemeye aynı değerde maksimum çekme ve basınç gerilmesi arasında değişen gerilmeler tesir etmektedir. Yorulmada bu sonuncu durum özel bir hal olup buna alternatif gerilme hali denir. (d) de ise malzeme yalnız değişken basınç gerilmelerinin tesiri altındadır (Postacıoğlu, 1981).



Şekil 2.1 Gerilme Durumları

Malzeme bir defaya mahsus olmak üzere sabit hızda artan yüklerle maruz bırakıldığı zaman belirli bir gerilme sınır değerinden sonra malzeme kopmakta ve bu kopmaya sebep olan gerilme ise malzemenin "statik mukavemeti" olarak tanımlanmaktadır.

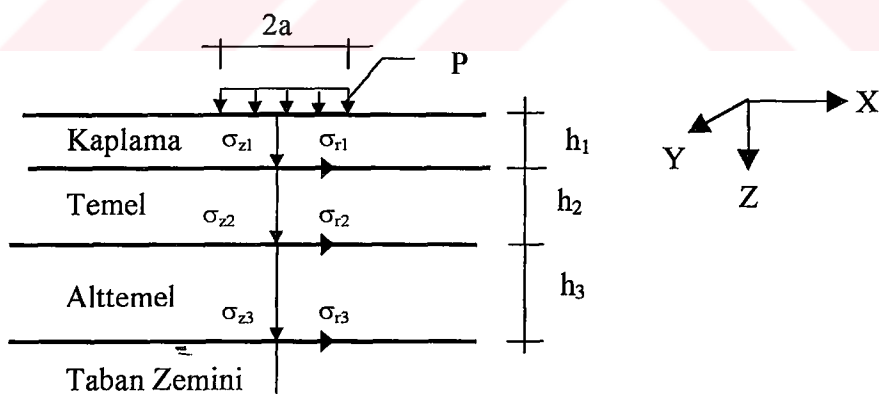
Hal böyle olmakla beraber deneyler gösteriyor ki, yükü belirli iki düzey arasında tutarak değiştirmek ve değişmenin sayısını yeter derecede artırmakla bir malzemeyi statik sınırların çok altında da bozmak mümkündür. Yükleme ve boşaltmanın periyodik olarak çok tekerrü, cisim içinde husule gelen ısisal ve mekanik olaylar yüzünden çözülme, yıpranma ve ayrılımlar doğurmaktadır. Burada kopma ve ayrılmının ilk nedeni, yükün şiddetinden çok onun periyodik olarak uzun bir süre değişmesidir. İç mekanizması çok karışık olan bu olaya kısaca malzemenin yorulması denilmektedir.

Yorulmada kopma, çok defa, yüksek gerilmeli veya iç bünyede hata bulunan bir noktadan başlar, yükleme ve boşaltmanın tekrarlanmasıyla bu gevşek yerde ilerler, yıpranma yavaş yavaş bütün kesite yayılır; cisimde, statik denemedi olduğu gibi, büyük ve haber verici bir uzama ve bozulma görülmez. Yıpranma yeter derecede ilerledikten sonra, kesitin geri kalan kısmı, yükü taşıyamaz hale gelir ve birden bire kopma olur; son ayrılma gerilmenin statik mukavemetini aşması nedeniyle oluşur (İnan, 1981).

Genel olarak, yorulma deneylerinde ise (σ_{\min}) ve (σ_{\max}) seçildikten sonra bu limitler arasında muayyen bir frekansla yükleme ameliyeleri yapılmaktadır. Alette mevcut bir sayaçtan yapılan toplam yükleme adedinin her an değerini bulmak kabil olmamaktadır. (σ_{\max}) değeri kafi derecede büyük ise yükleme adedinin muayyen bir değere ulaşması halinde malzeme mukavemetini kaybederek kırılır. Yorulma tesiriyle kırılmaya sebep olacak (σ_{\max}) birçok hallerde malzemenin çekme mukavemetinden ve hatta elastik limitinden bir hayli küçük bulunmaktadır.

2.2 Asfalt Karışımlarında Yorulma

Karayolu esnek üstyapısı, alttemel, temel ve kaplama tabakalarından oluşan tabakalı bir sistemdir (Şekil 2.2). Trafiğin ve iklimin bozucu etkilerine doğrudan doğruya maruz kalan kaplama tabakası esnek üstyapılarda bitümlü karışımlardan yapılır. Kaplama tabakasının altındaki temel tabakası, bağlayıcısız ya da bir bağlayıcı ile işlem görmüş olan, belirli granülometrideki malzemeden oluşur. Temel tabakası; bağlayıcı olarak bitüm kullanılması durumunda bitümlü temel, çimento kullanılması durumunda ise çimentolu temel olarak isimlendirilmektedir. Alttemel ise belirli granülometrideki bağlayıcısız malzemeden oluşturulur (Umar vd., 1985; İlcalı, 1988).



Şekil 2.2 Karayolu Üstyapısı Kesiti

Şekil 2.2'den de görülebileceği gibi karayolu üstyapısında gerilmeler; trafik yükleri ve çevresel etkilerden dolayı oluşan değişimler sonucunda oluşmaktadır. Bu gerilmeler neticesinde üstyapı içerisinde çekme ve basınç gerilmeleri oluşmakta ve üstyapı bu gerilmelerin etkisi ile bozulmaktadır.

Asfalt karışımı olarak imal edilen, trafik ve çevresel etkilere maruz kalan kaplama ve bitümlü temel tabakasında oluşan yorulma olayı, taşıt yüklerinin tekrarı neticesinde ortaya çıkmaktadır. Heukelom ve Klomp yorulmayı; "çevresel etkiler sonucunda sürekli değişimlerin yığışımı olarak toplanıp, uygulanan gerilmenin, gerilme dayanımına eşit olmasını sağlayan durum" olarak tanımlamışlardır. Deacon ise yorulmayı "malzemede şartlara bağlı olarak sürekli olarak ilerleyen lokal ve sürekli gerilmelerdir ki, belirli nokta veya noktalarda değişken gerilmeler ve deformasyonlar oluşturur ve yeterli yüklemelerden sonra çatlak veya komple bir kırıga sebep olur" diye tanımlamıştır. Araştırmacılar yorgunluk olgusunu, asfaltlı sistemlerde çatlakların başlaması ve büyümesi olarak; yorgunluk ömrünü ise başlangıç sürecini kritik ölçülerdeki bir veya birkaç çatlağa çeviren tekrarlı yük devinimi olarak tarif etmişlerdir. İlicalı ise Malzemedeki yorulmayı; "tekrarlı ve değişen yükler altında malzeme içinde yer yer yapı değişikliklerinin ve çatlakların olması, bu etkilerin giderek malzeme mukavemetini de aşarak kırılmaya neden olması" olarak tanımlamaktadır (Yüce, 1972; İlicalı 1988). Harvey vd ise yorulmayı "karışımın bozulmaksızın tekrarlı yüklerle karşı koyma yeteneği" olarak tanımlamaktadır (Harvey v.d., 1997).

3. BİTÜMLÜ KARIŞIMLARIN YORULMA DİRENİMİ DENYE YÖNTEMLERİ ve DENYE DEĞİŞKENLERİNİN YORULMA DİRENİMİ ÜZERİNE ETKİLERİ

Bitümün reolojik bir yapıya sahip olması nedeniyle; yük altındaki davranışı, yükün uygulanma süresine, şekline ve sıcaklığa bağlı olarak değişiklikler gösterebilmektedir (Yağız vd., 1967). Bu nedenle, asfalt karışımının yorulma direnimlerinin tespiti için çok farklı deney yöntemleri geliştirilmiştir. Bu bölümde laboratuar çalışmalarında uygulanan deney yöntemleri, deneylerin uygulanma aşamalarında asfalt karışımının yorulma direnimleri üzerinde etkili olan değişkenler tanımlanmakta ve bu değişkenlerin yorulma direnimi üzerinde olan etkisi açıklanmaktadır.

3.1 Yükleme Modu

Yükleme modu yorulma direniminin laboratuar deneyleri sırasında yük tekrarında gerilme ve deformasyon için tanımlanan sınırlamalardır. Ayrıca, yorulma direnimi de yükleme modunun bir fonksiyonudur. **Kontrollü Gerilme** modunda yük ve gerilme genliği, **Kontrollü Deformasyon** modunda ise yer değiştirme ve deformasyon genliği sabit kalmaktadır. Sıcaklığa (bundan dolayı rijitliğe) bağlı olarak bu deneylerin sonuçları oldukça farklı olabilmektedir. Deney sonuçları karışım tasarımlarını da yönlendirmektedir.

Yükleme modu faktörü ile ilgili olarak;

$$MF = \frac{A - B}{A + B}$$

MF: Mod faktörü

- A: C'nin rijitliğindeki azalmadan dolayı gerilmedeki değişmenin yüzdesi
- B: C'nin rijitliğindeki azalmadan dolayı deformasyondaki değişmenin yüzdesi
- C: Keyfi bir değerdir. Fakat tekrarlı yüklemeler altında kümülatif yorulma bozulmasından sonuçlanan rijitlikteki sabitleşmiş azalmadır.

Mod faktörünün kontrollü deformasyon durumu için +1 ve kontrollü gerilme durumu için -1 gibi bir değer alacağı farz edilir. Araştırmacılar iki yükleme modunun bir kaç karakteristiğini değerlendirmiştir. Bununla ilgili olarak Çizelge 3.1 'de bir özet sunulmuştur.

Çizelge 3.1 Gerilme Kontrollü ve Deformasyon Kontrollü Yükleme Durumlarının Karşılaştırılması (Monismith, vd., 1990)

| Değişkenler | Gerilme (yük) Kontrollü | Deformasyon (yerdeğiştirme) Kontrollü |
|--|--|--|
| Asfalt Tabaka Kalınlığı | Kalın asfalt tabakaları | İnce asfalt tabakaları <3" |
| Kırılma anı; yük tekerrür sayısı | Numunenin kırıldığı ana göre tespit edilmektedir | Deney esnasında keyfi olarak belirlenmektedir. (başlangıç deformasyonunun % 50 'si gibi) |
| Yorulma deneydatalarının dağılımı | Az dağınık | Daha fazla dağınık |
| Gerekli numune sayısı | Az | Fazla |
| Uzun dönemli etkilerin tanımlanması | Yaşlanma sonucu rıjitleğin artması ve muhtemel yorulma ömrü artışı | Rıjitleğin artması sonucu yorulma ömrünün azalması |
| Yorulma ömrü büyülüğu | Kısa | Uzun |
| Karışım değişkenlerinin etkisi | Hassas | Daha az hassas |
| Enerji harcama oranı | Hızlı | Yavaş |
| Çatlak yayılma oranı | Arazideki değerden daha hızlı | Arazi koşullarını daha iyi temsil etmekte |
| Yük uygulanma periyodunun etkisi | Faydalı | Daha az faydalı |

Çizelge 3.2'de ise karışım özellikleri ve yükleme moduna bağlı olarak, asfalt karışımının yorulma ve rıjilik modülündeki değişim verilmiştir.

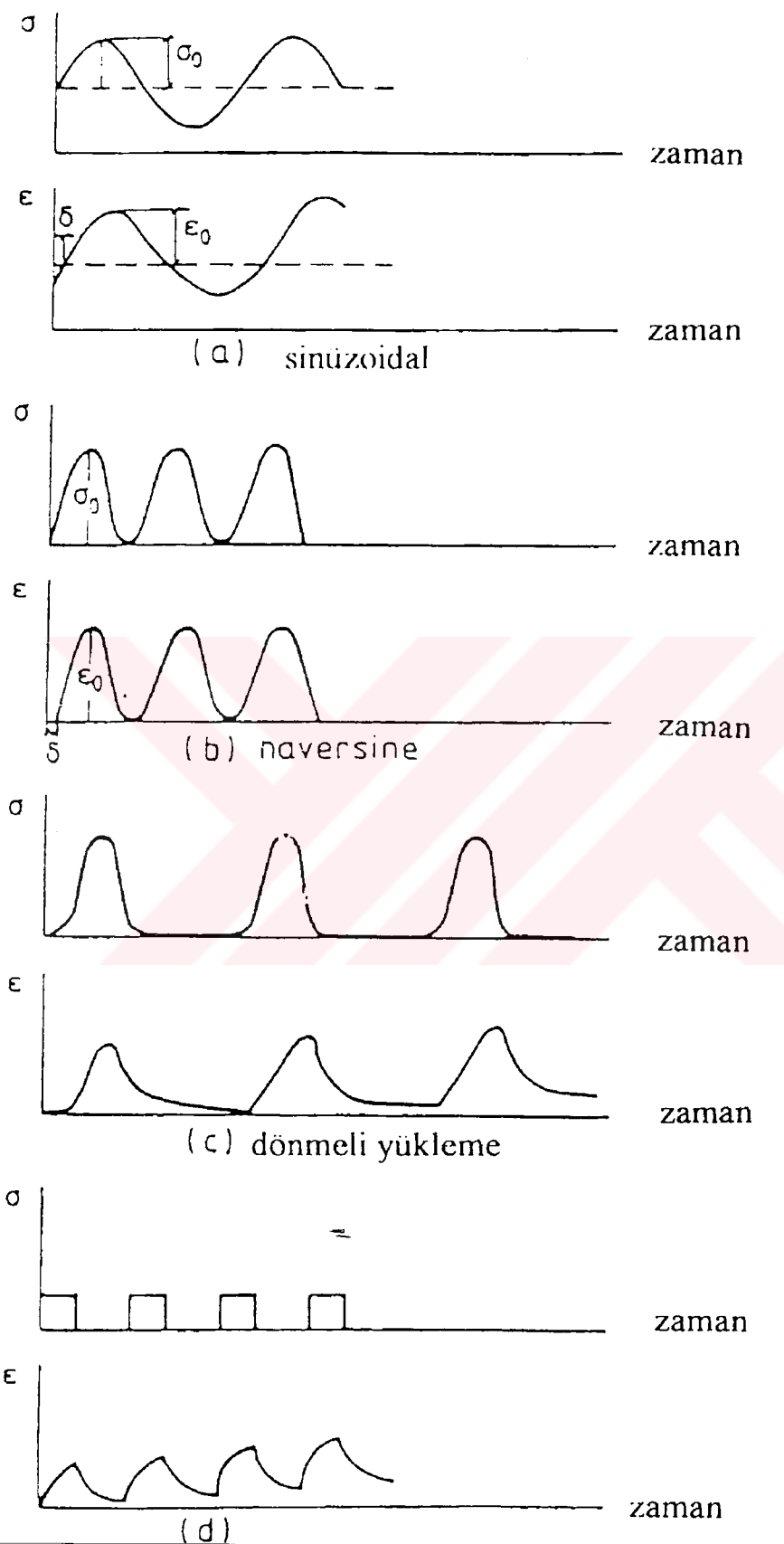
Çizelge 3.2 Yükleme Modu ve Karışım Değişkenlerinin Yorulma ve Rijitlik Üzerine Olan Etkisi (Monosimith, vd., 1990)

| Karışım Özellikleri | Değişim | Değişimin Rijitlik Üzerindeki Etkisi | Değişimin Yorulma Üzerindeki Etkisi | |
|---------------------|----------|--------------------------------------|-------------------------------------|----------|
| | | Gerilme-Kontrollü Mod | Deformasyon-Kontrollü Mod | |
| Asf. Viskozite | Artınca | Artıyor | Artıyor | Azalıyor |
| Asf. Muhtevası | Artınca | Artıyor | Artıyor | Artıyor |
| Gradasyon | Açılıncı | Artıyor | Artıyor | Azalıyor |
| Boşluk | Azalınca | Artıyor | Artıyor | Artıyor |
| Sıcaklık | Azalınca | Artıyor | Artıyor | Azalıyor |

Çizelge 3.2 incelenirse karışımın rijitliğinin karışım değişkenleri ile değişmesi ile gerilme-kotrollü yükleme modunun yorulma direnimi üzerindeki etkileri arasında birbir benzerlik olmasına rağmen aynı durumu deformasyon-kotrollü yükleme modu için söylemek söz konusu olmamaktadır.

3.2 Yük ve Çevre Değişkenleri

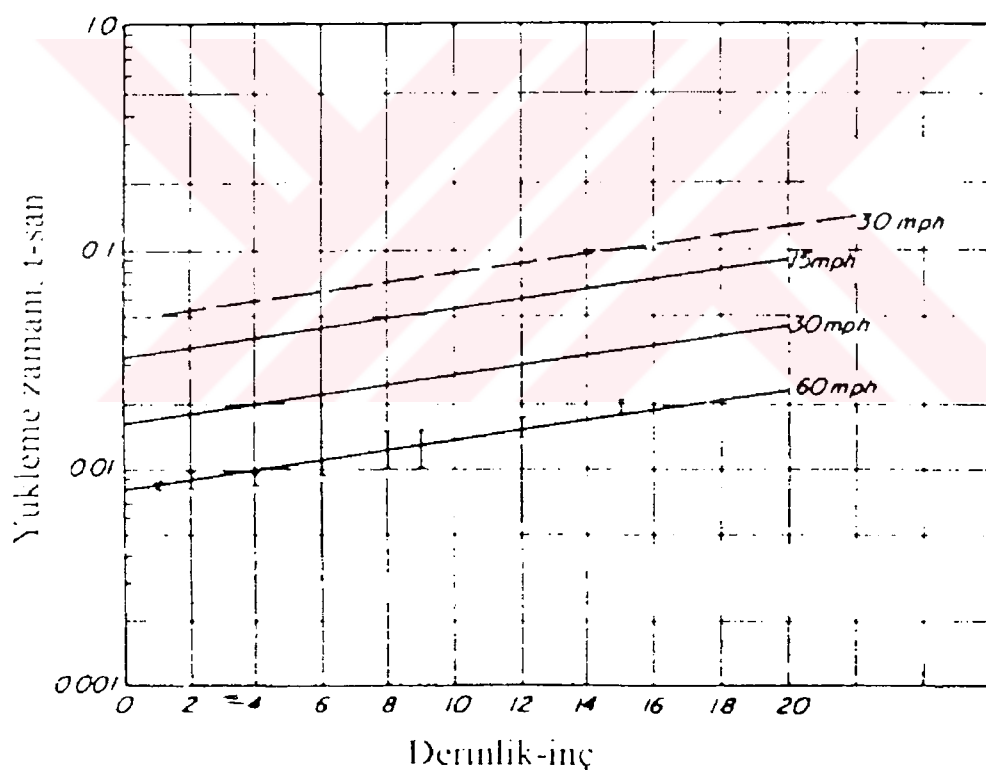
Yük ve çevre değişkenlerinin her ikisi de doğrudan veya dolaylı olarak yorulma direnimi üzerinde etkendirler. Doğrudan etkiler olarak laboratuar şartlarında uygulanan yükün uygulanma süresi ve şekli ile deney sıcaklığı verilebilir. Şekil 3.2'de laboratuarda uygulanan yorulma deney metodlarında kullanılan genel yük şekilleri gösterilmiştir. Ayrıca Çizelge 3.3'de ise yük uygulaması dalgalanma şeklinin yorulma direnimi üzerinde olan



Şekil 3.1 Laboratuarda Uygulanan Genel Yük Şekilleri

Çizelge 3.3 Dalga şeklinin yorulma direnimi üzerine olan etkisi (Monosmith, vd., 1990)

| Dalga Şekli | Sıcaklık °C | Gerilme MN/m ² | Başlangıç Defomasyonu | Yorulma Ömrü | İzafî Ömür |
|-------------|----------------|------------------------------|--------------------------|-----------------|---------------|
| | 25 | | $1,7 \times 10^{-4}$ | 24690 | 0,42 |
| | 25 | $\pm 0,33$ (48 psi) | $1,2 \times 10^{-4}$ | 58950 | 1,0 |
| | 25 | | $0,67 \times 10^{-4}$ | 85570 | 1,45 |



Şekil 3.2 Yüklü sürenin üstyapı derinliği ile hızla bağlı olarak dağılımı

Ağır trafik yüklü üstyapılarda karışım rıjitliğinin artması diğer değişkenlerin sabit kalması durumunda yorulma ömrü artmaktadır. Yaşlanma nedeniyle arazi karışımlarının rıjitliği artmaktadır. Bunun da trafikten dolayı bozulma ve tabii durumdaki hava boşluğunundaki yükselmenin etkisini dengelemesinden dolayı oluşmaktadır. Ancak yaşlanmadan dolayı

asfaltın sertliğinin artması onun soğuk havalardaki kırılma direnimini (kırılganlık nedeniyle) azalttığı da gözönünde tutulmak gereklidir. Trafik nedeniyle oluşan sıkışma da yorulma direnimini etkilemektedir. Raintby ve Ramshaw'nın (1972) bulduklarına göre numunenin geniş deney plağının trafikten dolayı sıkışması, verilen bir gerilme düzeyi için yorulma ömrünü ve dinamik rıjtliğini %60 oranında artırmıştır. Rıjtlikteki azalma ve hava boşluğundaki artış da yorulma ömrünü etkilemektedir (Monosmith, vd., 1990).

3.3 Deney Yöntemleri ve Gelişimi

Yorulma deneylerindeki ana düşünce, numuneye tekrarlı yüklemeler altında elastik olmayan deformasyona izin vermektedir. Trafik yükleri altında üstyapı, karışım yoğunluklarının artması, kayma kuvvetleri ve temelin oturmasından dolayı elastik olmayan deformasyonlara maruz kalarak deform olabilmektedir. Tüm bunlar ile birlikte projesine ve inşa yöntemlerine uygun olarak yapılan üstyapılarda kalıcı deformasyonlar çok az olmaktadır ve ayrıca bu deformasyonlar er veya geç (temelde olan oturmalarla birlikte oluşan) durmaktadır.

Bazı laboratuar deneylerinde tersinir gerilme uygulanmaktadır. Bu da kümülatif deformasyonları azaltmak veya bitirmek ve arazideki trafik yükleri altındaki gerilme durumunu daha iyi temsil etmektedir. Diğer dairesel ve bazı eksenel tip deneylerde ve mesnetli eğilme deneylerinde bu yapılamamaktadır.

Laboratuar yorulma deneylerinde, tek vuruşlu yüklemeden daha çok üstyapı üzerinde yuvarlanan tekerlek yükü tarafından uygulanan üç sürekli yükleme vuruşunun uygulanması tercih edilir. Kritik bölge olan asfalt betonu tabakanın tabanı, tekerlek yaklaşırken basınç gerilmelerine; sonra tekerlek bu nokta üzerinden uzaklaşırken çekme gerilmelerine maruz kalmakta ve sonuçta tekerlek uzakta iken basınç gerilmelerine maruz kalmaktadır. Tabakanın tabanındaki ilk basınç deformasyonunun büyülüüğü çekme deformasyonunun yaklaşık yedide birine eşittir (Raithby vd., 1972). Bu basınç gerilmelerinin olmaması durumunda yorulma ömründe yaklaşık %10-15'lik bir artma meydana geldiği görülmektedir (Barksdale, 1977).

Çizelge 3.4'de üç nokta yükleme, orta nokta yükleme, konsol eğilmeli, burulmalı konsol, tek eksenli, dairesel ve mesnetli eğilme durumları için yorulma deneylerinin temel karakteristikleri hakkında bir özet verilmiştir. Ayrıca Çizelge 3.5'de yorulma deneylerinin kronolojik bir sıralaması gösterilmiştir. Karakteristikleri ise yük konfigürasyonu, gerilme dağılımı, yük dalgasının şekli, yük frekansı, kalıcı deformasyonun oluşumu, gerilme durumu ve üniform gerilme zonunun görünümüdür. Bu çizelgeden tekrarlı dairesel yükleme deneyi ile diğerlerin farklılığı açıkça görülmektedir. Dairesel deney tek eksenli bir gerilme durumuna sahip iken diğer deneyler eksenel olmayan gerilme durumuna sahiptirler.

Burkulmalı konsol deneyi sürekli sinüzoidal yükleme şekline sahiptir. Eğilmeli deneyler tipik olarak kalıcı deformasyonları yok eden tersinir yüklü veya yüksüz çeşitli vuruş şekillerinde (üçgensel, dairesel, v.d.) yapılırlar. Eksenel deneylerde dinlenme periyotlu veya peryodsuz sinüzoidal veya yarı sinüzoidal vuruşlar kullanılır. Dönen konsol ve eksenel deneylerde eğilmeli ve dairesel deneylere nazaran daha yüksek frekanslar kullanılmıştır. Üstyapı içerisinde dinlenme periyodu her bir yük vuruşunun uygulanmasından sonra oluşur. Sürekli yükleme modeli (dinlenme periyotsuz) daha kısa yorulma ömrü vermektedir. Bu nedenle de laboratuar deneyleri daha hızlı bir şekilde tamamlanabilmektedir.

Çizelge 3.4 Yorulma Deney karakteristikleri

| Deney | Yükleme Durumu | Gerilme Durumu | Dalga Tipi | Yükleme Frekansı | Performans Deformasyouna Izin Var mı? | Gerilme Durumu | Kırılma Olusuyor mu? |
|---------------------|----------------|----------------|-----------------------------|-----------------------------|---------------------------------------|----------------|----------------------|
| Üç Noktalı Eğilme | | | Yarı Sinüzoidal | 1-1,67 | hayır | Tek Eksenli | evet |
| Orta Noktalı Eğilme | | | Sin. Üçgensel Diktörtgensel | 1:100 | hayır | Tek Eksenli | hayır |
| Konsol | | | Sin. Üçgensel Diktörtgensel | 25(Bonnot) 1:100 (Van Dijk) | hayır | Tek Eksenli | hayır |
| Dönen Konsol | | | | 16,67 | hayır | Tek Eksenli | evet |
| Eksenel | | | | 8,33-25,0 | hayır | Tek Eksenli | evet |
| Dairesel | | | | 1,0 | evet | İki Eksenli | hayır |
| Destekli Eğilme | | | Yarı Sinüzoidal | 0,75 | evet | Tek Eksenli | hayır |

Daha sonraki bölümlerde detaylı olarak açıklanacaktır.

Çizelge 3.5 Yorulma deney metot ve değerlendirmelerinin kronolojisi

| Yıl | Araştırmacı | Deney Yöntemi | Değerlendirme Yöntemi |
|---|---------------------------------|---|---|
| 1989 Dr. Engg.UC Berkeley | Rao | Üç Noktalı Eğilme | Gerilme Kontrollü |
| 1989 OSU ve Oregon DOT | Scholz, Hicks ve Scholl | Dairesel | Gerilme Kontrollü |
| 1988 AAPT | Gerritsin ve Jongeneel | Konsol Yükleme | Deformasyon Kontrollü |
| 1987 AAPT | Button, Little, Kim ve Ahmed | Eğilme | Gerilme Kntröllü, Deformasyon Kontrollü ve Bozulma Mekanizmaları |
| 1986 TRR 1096 | Bonnot | Doğrudan Gerilme ve Konsol Yükleme | Gerilme Kontrollü |
| 1985 AAPT | Monosmith, Epps ve Finn | Üç Noktalı Eğilme | Gerilem Kontrollü, Deformasyon Kontrollü |
| 1984 AAPT | Molenaar | Dinamik Gerilme | Gerilme Kontrollü ve Bozulma Mekanizması |
| 1983 | Little ve Richey | Dairesel | Gerilme Kontrollü ve Gerilme zarfı |
| 1982 | Bonnaure, Gravois ve Udrone | Orta Noktalı Eğilme | Deformasyon Kontrollü |
| 1982 5. Intl. Conf. On Str. Des. Of Asp. Pavem. | Mhoney ve Terrel | Destekli kirişler ve tekerlek izi | Orta nokta yükleme modu |
| 1981 AAPT | Monismith | Üç Noktalı Eğilme | |
| 1980 | Bonnaure ve, Gravois ve Udrone | Çeşitli Uzmanların, temel test yöntemlerini içeren 146 yorulma eğrisinin regresyonu | Gerilme kontrollü ve deformasyon kontrollü |
| 1979 AAPT | Ulidz | | Gerilme Kontrollü, bozulma mekanizması ve gözlenmesel korelasyon faktörleri |
| 1978 AAPT | Braksadale | Destekli Kirişler | Orta Yükleme Uygulaması |
| 1977 4. Intl. Conf. On Str. Des. Of Asp. Pavem | Classen, Edwards, Sommer ve Uge | Enerjinin sabitliği yöntemi | Gerilme deformasyon limiti kriteri |
| 1977 AAPT | Van Dijk | Konsol yükleme ve ort ,3+a nokta yüklemesi | Gerilme kontrollü, deformasyon kontrollü, enerjinin sabitliği teorisi |
| 1977 AAPT | Ruth, Garry ve Oslan | Eğilme ve Dairesel | Gerilme Kontrollü ve Deformasyon Kontrollü |
| GIT-7305 | Barksdale | Destekli Kirişler | Orta yükleme yöntemi |
| 1976 FHWR791 ve 92 | Majidezadeh | Destekli Kirişler | Bozulma mekanizması |
| 1976 AAPT | Finn | | |
| 1975 AAPT | Pell ve Cooper | Döner eğilme eksenel yorulma | Gerilme kontrollü |
| 1973 HRB Özel rapor 140 | Monismith | Üç noktalı eğilme | Gerilme kontrollü ve deformasyon kontrollü |
| 1973 HRB Özel rapor 140 | Pell | Döner eğilme | Gerilme Kontrollü, deformasyon kontrollü ile karşılaşmalıdır |
| 1973 HRB Özel rapor 140 | Deacon | | Gerilme Kontrollü, deformasyon kontrollü ve sayısal yöntemler |
| 1973 HRB Özel rapor 140 | Finn | Servis kabiliyeti indeksi | Servis kabiliyeti ile çatlama derecesi arasında kurulan korelasyon |

| | | | |
|--|---|---|---|
| 1973 HRB Özel rapor 140 | Terrel | Monismith , Kingdam ve Kallas'ın çalışmalarından örnekler | Gerilme Kontrollü, deformasyon kontrollü |
| 1973 HRB Özel rapor 140 | Witzak | AASHO yol testi sonuçları ve bilgisayar programları | Verilen yük tekerrürune denk gelen müsaade edilebilir deformasyon |
| 1972 3. Intl. Conf. On Str. Des. Of Asp. Pavem | Bennot | Konsol Yükleme | Gerilme Kontrollü, deformasyon kontrollü |
| 1972 3. Intl. Conf. On Str. Des. Of Asp. Pavem | Kirk | Üç noktalı eğilme | Gerilme Kontrollü |
| 1972 3. Intl. Conf. On Str. Des. Of Asp. Pavem | Witzak | Kingham'ın Yorulma sonuçları, AASHO'nun tam derinlikli asfalt betonunun yorulma bağıntıları | Müsaade edilebilir eğilme deformasyonu kriteri |
| 1972 3. Intl. Conf. On Str. Des. Of Asp. Pavem | Kingham ve Kallas | Orta noktalı eğilme | Gerilme Kontrollü, deformasyon kontrollü |
| 1972 3. Intl. Conf. On Str. Des. Of Asp. Pavem | Van Dijk, Moreaud, Quedeville ve Uge | Konsol ve orta noktalı eğilme | Gerilme Kontrollü, deformasyon kontrollü |
| 1972 3. Intl. Conf. On Str. Des. Of Asp. Pavem | Vertsraeten | Konsol yükleme | Gerilme Kontrollü |
| 1972 RRL LR496 | Raithbay ve Sterling | Silindirik eksenel gerilme deneysleri | Gerilme Kontrollü |
| 1972 AAPT | Monismith ve Salam | Üç noktalı eğilme | Gerilme Kontrollü |
| 1971 Ph. D., Natal Üniversitesi | Freeme | Konsol Yükleme | Gerilme Kontrollü, deformasyon kontrollü |
| 1969 AAPT | Pell ve Taylor | Dönmeli Konsol Yükleme | Gerilme Kontrollü |
| 1969 Ph. D., UC Berkeley | Epps | Üç noktalı eğilme | Gerilme Kontrollü, deformasyon kontrollü |
| 1969 AAPT | Epps ve Monismith | Üç noktalı eğilme | Gerilme kontrollü |
| 1969 AAPT | Santucci ve Schmidt | Üç noktalı eğilme | Deformasyon kontrollü |
| 1967 2. Intl. Conf. On Str. Des. Of Asp. Pavem | Kallas ve Riley | Üç noktalı eğilme | Gerilme kontrollü |
| 1967 HRR 158 | Deacon ve Monismith | Üç noktalı eğilme | Gerilme kontrollü |
| 1965 D. Engg. UC Berkeley | Deacon | Üç noktalı eğilme | Gerilme Kontrollü, deformasyon kontrollü |
| 1964 TE 64-2 ITTE, UC Berkeley | Monismith | Üç noktalı eğilme | Gerilme kontrollü |
| 1964 TE 64-2 ITTE, UC Berkeley | Monismith | Üç noktalı eğilme | Gerilme Kontrollü, deformasyon kontrollü |
| 1962 Intl. Conf. On Str. Des. Of Asp. Pavem | Pell | Eğilme ve Bükülme | Gerilme Kontrollü, deformasyon kontrollü |
| 1961 AAPT | Monismith, Secor ve Blackmer | Destekli kırışır | Orta modlu yükleme |
| 1959 AAPT | Papazian ve Baker | Destekli orta nokta yüklemesi | Orta modlu yükleme |
| 1958 AAPT | Monismith | Destekli orta nokta yüklemesi | Orta modlu yükleme |
| 1955 HRB Bulletin 114 | Hveem | | |
| 1953 AAPT | Nijboer ve Van Der Poel Yol vibrasyonu aletleri | | |
| 1948 HRB | Hveem ve Carmany | Üstyapıda tekrarlı yükler nedeniyle oluşan eğilmeler | |

Asfalt betonunun yorulma davranışının ölçümünde kullanılan yöntemlerin genel sınıflandırması;

1. Basit Eğilme (Simple Flexure): Yorulma ömrü, gerilme/deformasyon ilişkisi basit eğilme, üç nokta veya orta nokta yükleme konfigürasyonundaki kırışların sinüzoidal veya tek vuruşlu yüklerle maruz bırakılması şeklinde geliştirilmiştir. Dönen konsol kırışlar ve trapezoidal konsol kırışlar sadece sinüzoidal yüze maruz bırakılırlar.
2. Mesnetli Eğilme (Supported Flexure): Yorulma ömrü ve gerilme/deformasyon ile doğrudan ilişkili olan bu deney yönteminde kırışlar veya plaklar arazideki yükleme modu ve gerilme durumunu temsil edecek şekilde mesnetlenirler.
3. Doğrudan Eksenel (Direct Axial): Bu deneyde yükler, vuruşlu veya sinüzoidal olarak eksenel olamayacak şekilde tersinir gerilmeli veya gerilmesiz olarak uygulanmaktadır.
4. Dairesel (Diametral): Bu deney silindirik numunelere, ekseni doğrultusunda vuruş uygulanması şeklinde yapılmaktadır.
5. Üç Eksenli (Triaxial): Bu deney sınırlamalarla, doğrudan eksenel deneylere benzer şekilde uygulanmaktadır.
6. Kırılma (Bozulma) Deneyi (Fracture): Yorulma ömrünü tahmin etmek için bozulma mekanizmasının prensiplerinin kullanıldığı deneylerdir.
7. Tekerlek-İzi Deneyi (Wheel-Tracking): Tam ölçekli ve laboratuar olmak üzere iki şekilde düzenlenmiş olan bu deney, çatlama miktarı, yük tekrar sayısı ve ölçümler ve/veya gerilmelerin kaydedilmesi ile doğrudan ilişkili deneylerdir. Tam ölçekli deneyler için doğrusal ve dairesel yolların her ikisi de kullanılmaktadır.

3.3.1 Basit Eğilme Deneyleri

Çoğunlukla yorulma deneyi bilgileri, basit eğilme deneylerinde numunelere uygun olmayan karışım karakteristikleri sergileyinceye veya bozuluncaya kadar gerilme ve deformasyon tekrarlarına maruz bırakılmasıyla elde edilmektedir.

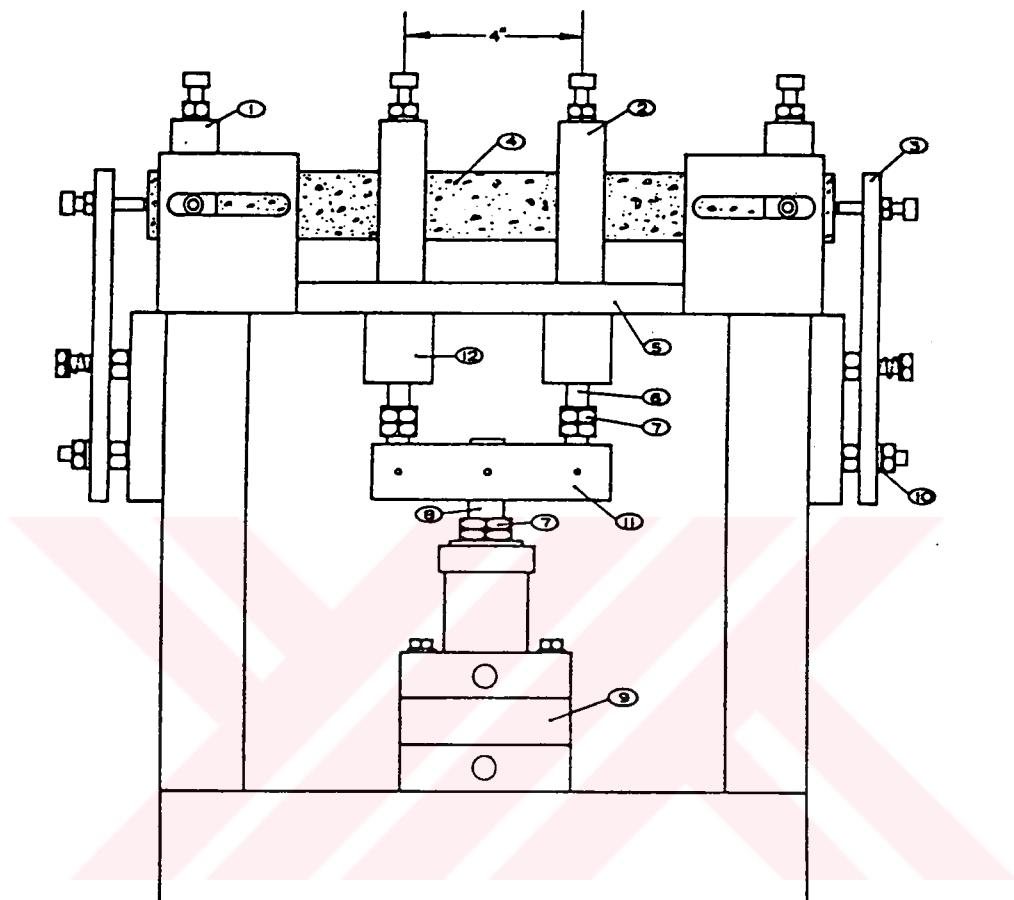
Asfalt betonu karışımının yorulma karakteristiklerinin araştırmak için farklı tipte Basit Eğilme deneyleri geliştirilmiştir. Bunlar;

1. Yükün sinüzoidal veya vuruşlu olarak uygulandığı orta nokta veya üç nokta yükleme deneyleri.
2. Sinüzoidal yükle maruz bırakılan Dönen Konsol kırışları,
3. Sinüzoidal yük veya deformasyona maruz bırakılan Trapez Konsol kırış deneyleridir.

3.3.1.1 Orta ve Üç Nokta Yüklemesi Deneyi

Her iki, üç nokta veya orta nokta yüklemesinde de basit mesnetlenmiş numuneler kontrollü yük veya şekil değiştirmeye maruz bırakılırlar.

Örnek ekipmanlar olarak, Berkeley'de University of California ve Asphalt Institute tarafından kullanılan ekipmanlar verilebilir (Şekil 3.3). University of California ekipmanı için $1,5 \times 1,5 \times 15$ in. ve Asphalt Institute ekipmanı ise daha büyük boyutta $3 \times 3 \times 15$ in. boyutlarında numuneler kullanılmaktadır.



Şekil 3.3 Üç Noktalı Eğilme Deney Aparatı

yük iki tane tıraş uyuşmazlığı. Bu tıraş uyuşmazlığı ile 0,1 sn'da yükleme zamanına sahip yük vuruşları uygulanmaktadır. Kontrollü yük (gerilme) ve şekil değiştirme (deformasyon) yük modlarının her ikisi de yapılabilmektedir.

Amsterdam'da bulunan, The Shell Laboratory Şekil 3.4'de gösterilen orta nokta yükleme ekipmanı kullanmaktadır. Numune boyutları 30 mm (1,2 in.)x40mm(1,6 in.)x230 mm(9,2 in.)'dir ve numuneler kontrollü-şekil değiştirme (deformasyon) modunda test edilmektedirler.

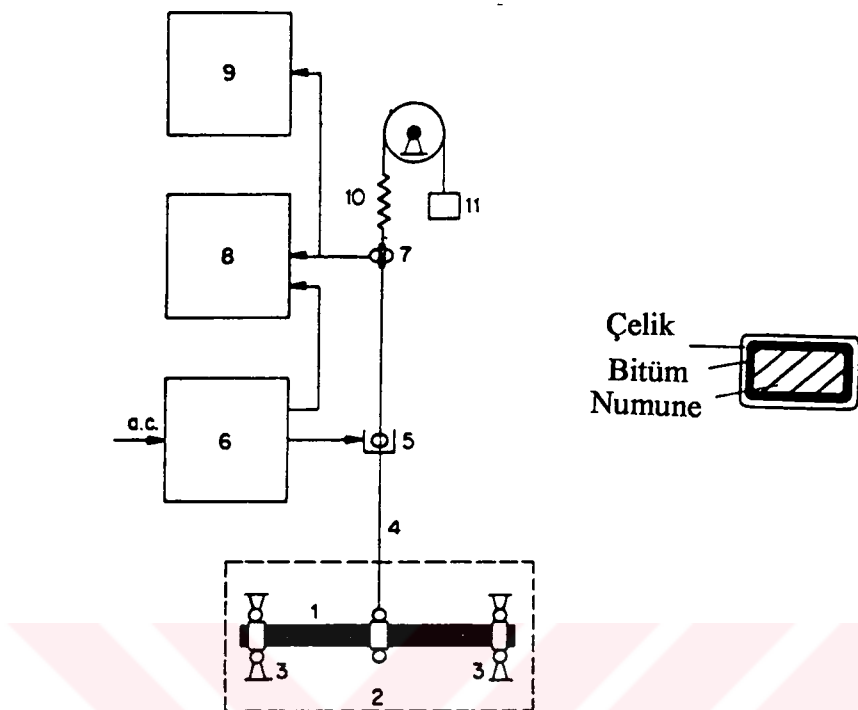
3.3.1.2 Konsol Yükleme Deneyi

Dönen Yükleme: University of Nottingham'da (Pell vd., 1975 ve 1973), dönen konsol bir kol üzerine dik olarak monte edilen numuneye yük uygulayan ve numunenin içerisinde sabit genlikte bir gerilme oluşturan Dönen Konsol Makine kullanılmaktadır (Şekil 3.5). Deneylerin çoğunuğu 1.000 rpm hızında ve 10 °C sıcaklıkta yapılmaktadır. Diğer bir makine ile sabit sinüzoidal genlikte deformasyon uygulanarak dinamik rıjilik ölçülmektedir. Hatta Pell bitümlü malzemelerin bazı yorulma deneyleri için Şekil 3.6'da gösterilen kontrollü-deformasyon burulma yorulma makinesi kullanılmıştır.

Trapezoidal Kırışlıkların Sinüzoidal Olarak Yüklenmesi: Trapezoidal numuneler üzerinde deneyler Shell araştırmacıları (van Dijk, 1975) Belçikalı araştırmacılar ve LCPC (Bannet, 1986) tarafından yürütülmüştür. Şekil 3.7'de LCPC ekipmanı gösterilmiştir.

Trapez numunenin daha büyük kenarı sabitlenmiş ve daha küçük kenarına sinüzoidal olarak deformasyon (Bannet, 1986; van Dijk, 1975 ve Verstraeten, 1972) ve gerilmeden (Kunst, 1989) herhangi biri uygulanmıştır.

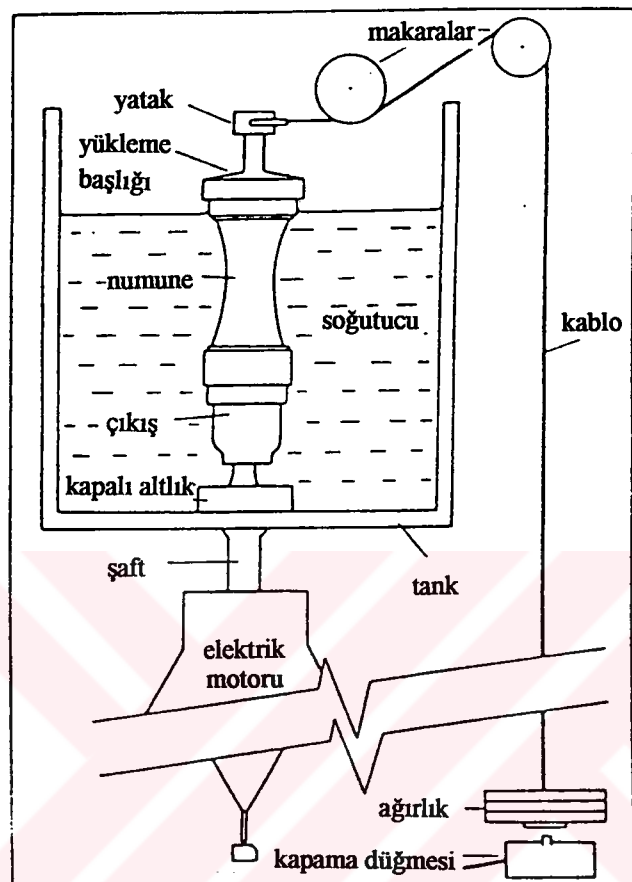
Doğru trapez boyutlarının seçilmesi ile numuneler büyük kesitlerden ziyade en büyük eğilme gerilmesinin olduğu numunenin yaklaşık olarak orta noktasından bozulacaktır. Van



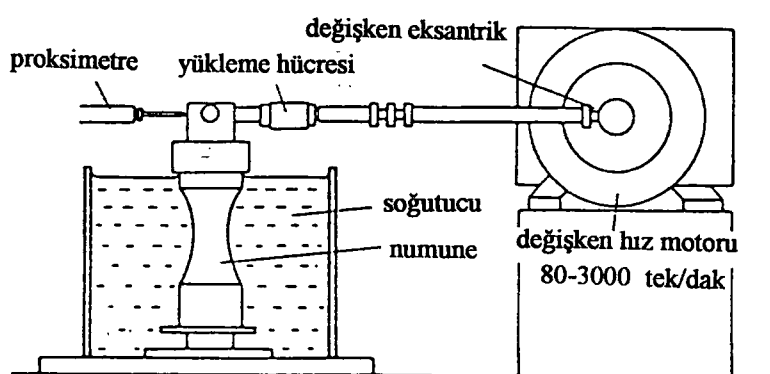
1. Çelik köşebent içindeki numune
2. Termostat
3. Sabit köşebentler
4. Vibratör mili
5. Elektrodinamik vibratör
6. Akım ölçer
7. Elektrodinamik transduser
8. Faz açı ölçer
9. Voltmetre
10. Yumuşak yay taşıyıcısı
11. Dengeleyici ağırlık

Çelik
Bitüm
Numune

Şekil 3.4 Orta Nokta Eğilme Aparatı (vanDijk, 1972)

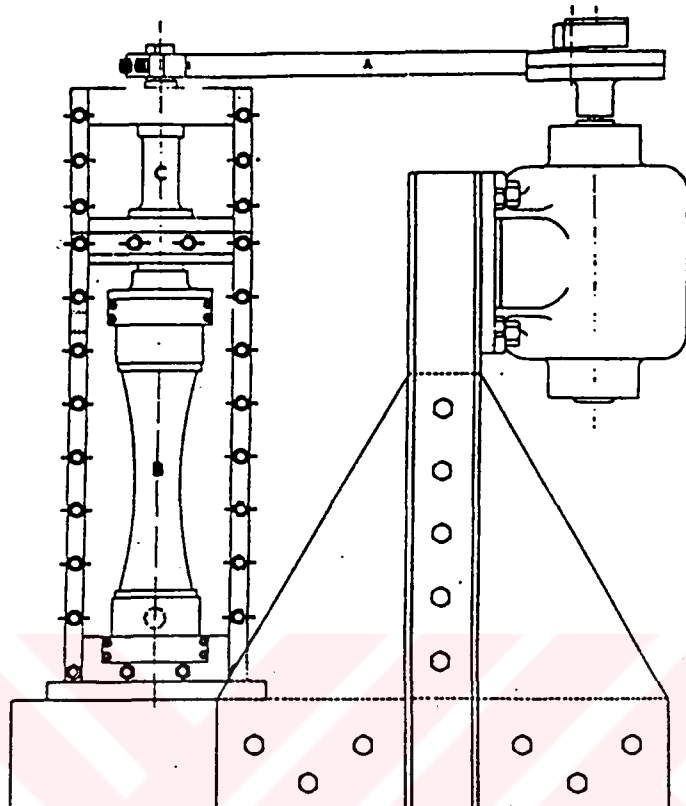


(a) Gerilme kontrollü Dönen eğilme

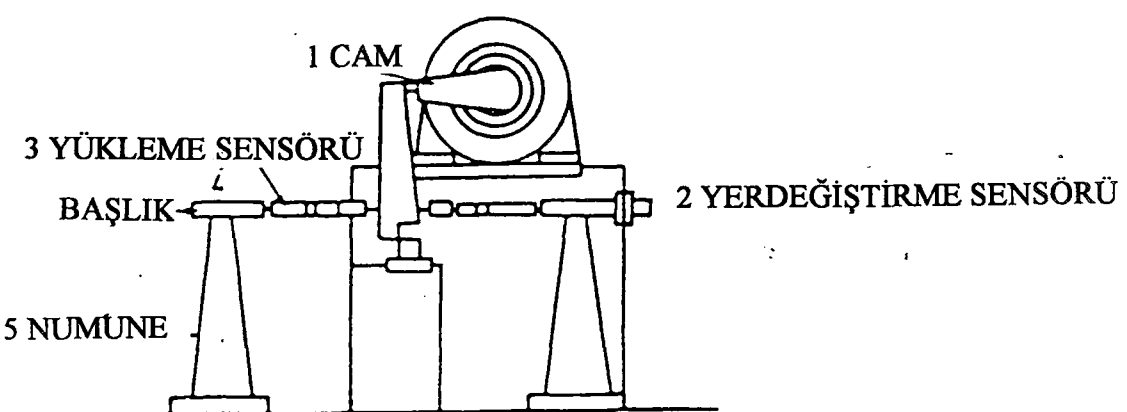


(b) rijitlik makinesi

Şekil 3.5 Eğilme Aparatı (Pell)



Şekil 3.6 Deformasyon Kontrollü Burkulma Makinesi



Şekil 3.7 Bükme Yorulması Deney Makinesi

3.3.2 Mesnetli Eğilme Deneyi

Arazideki yükleme modunu daha iyi temsil etmektedir. Birkaç araştırmacı bir hava yastığı (Jimenez vd., 1962) veya bir lastik yataktan herhangi biri ile mesnetlenmiş olan dairesel plaka numuneleri kullanmışlardır. Plakaların ortasına arazide oluşan gerilme durumu ile benzer şekilde gerilme oluşturacak dairesel şekilli tekrarlı yük uygulanmaktadır.

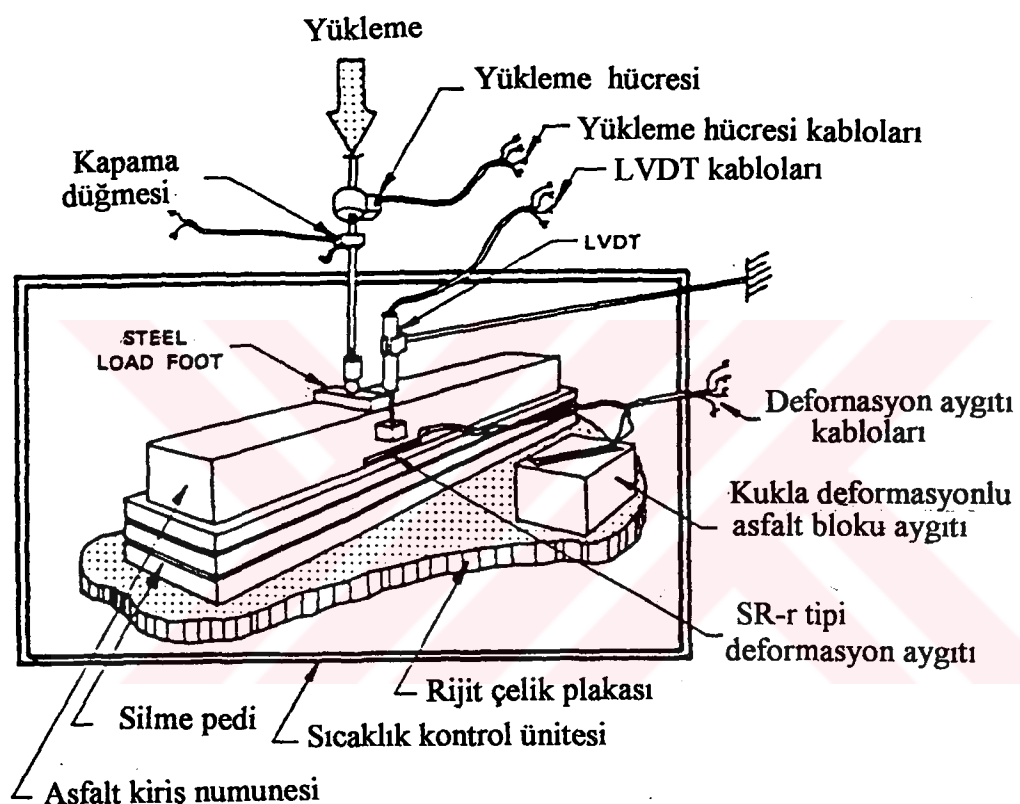
Ayrıca Barksdale (1977) tarafından asfalt betonu temellerin yorulma karakteristiklerini tespit etmek için kırış yorulma deneyleri kullanmıştır. Bu yöntemde, arazideki mesnetlenme şartlarına benzetmek için lastik yataklar üzerine kırışlar yerleştirilmiştir (Şekil 3.8). Yorulma deney ekipmanı bir yük hücresi, bir 4 in. Kalınlıklı (102 mm) lastik yatak (284 pci veya $7,861 \text{ gr/cm}^3$ taban zemini reaksiyon modüllü) destekli kırış ve bir hava basıncılı yükleme sisteminden ibarettir. Numuneler ve lastik destek 80°F (27°C)’de sabit bırakılmış olan sıcaklık kontrollü bir hücre içerisinde yerleştirilmiştir. Yük vuruşu yaklaşık yarı sinüzoidal şekilli 0,06 saniye yüklemelidir. Frekans olarak ise 45 cpm kullanılmaktadır.

3.3.3 Doğrudan Eksenel Yükleme Deneyleri

3.3.3.1 Çekme

TRRL (The Transport and Road Research Laboratory) İngiltere’de 0-1 saniye arasında değişen dinlenme periyodlu, 40 ms lik yükleme zamanlı ve 25 Hz frekansta yük uygulayarak tersinir gerilme olmaksızın tek eksenli çekme deneyleri yapmıştır. Rathby’da göre çok kısa dinlenme peryotlarından başlanılarak dinlenme periyodunun kritik 0,4 saniyeye ulaşana kadar artırılması ile yorulma ömrü artmaktadır. Bunun haricinde dinlenme periyodundaki süreklilik yorulmayı çok az etkilemektedir. Bu deneyler kontrollü-gerilme modunda gerçekleştirilmiştir.

Son zamanlarda Hollanda’da (Kunst, 1989) 1 ve 0,1 Hz’lik freksnlarda tek eksenli çekme deneyleri yapılmıştır. Ancak şu anda Hollandalıların deneyleri henüz değerlendirilmemiştir.



Şekil 3.8 Yorulma Deney Makinesi

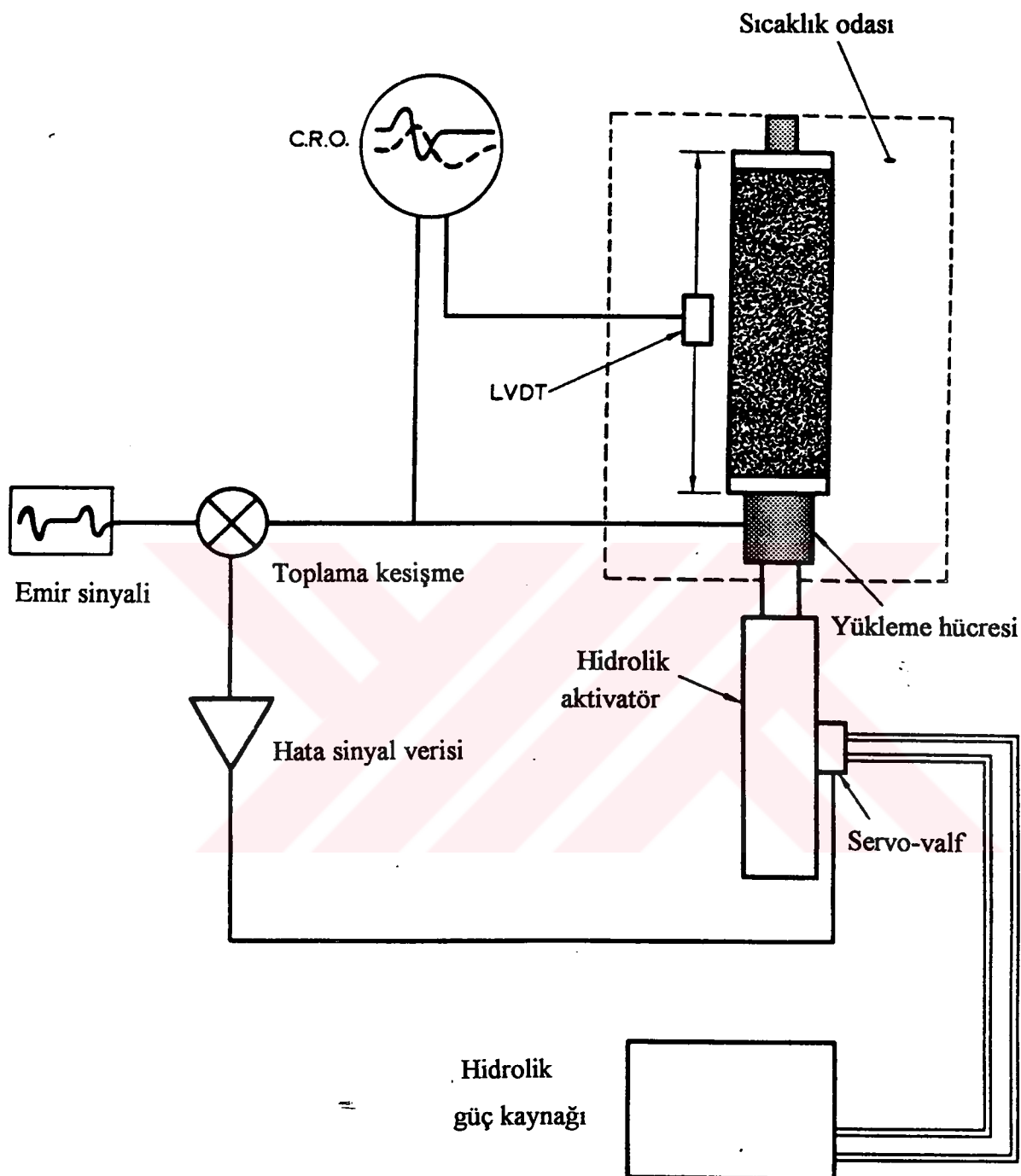
3.3.3.2 Çekme/Basınç

Yorulma deneyinin bu şekli TRRL (Raithby, 1972) tarafından geliştirilmiştir. Bir servo kontrollü elektro hidrolik makine kullanılarak eksenel çekme ve basınç yükü uygulanmaktadır. Numuneler, 75 mm^2 kesit alanlı 255 mm uzunluklu prizmalardır (Şekil 3.9). Yük frekansları 16,7 ve 25 Hz dir ve dinlenme periyodunun etkisi, deformasyonun etkisi, deformasyonun şekli ve yük uygulaması sırasının (basınç/çekme, çekme/basınç, sadece basınç, sadece çekme) etkisi dahi değerlendirilmektedir. Raithby'ın bu deney ekipmanı ile yapmış olduğu çalışmalarдан elde etmiş olduğu sonuçlar aşağıda sıralanmıştır. Bunlar;

1. Pratikte olduğu gibi birbirini izleyen aks yükleri arasında oluşan ve yorulma ömrü üzerinde önemli etkiye sahip dinlenme periyotlarına benzer periyotlar uygulanmaktadır.
2. 1 saniye dinlenme periyotlu yüklemeye oluşan yorulma ömrü ile 25 Hz'lik sürekli yüklemektedeki karşılaştırıldığında yorulma ömrünün 25 katına varana kadar arttığı görülmektedir ve sıcaklığa bağlı olarak ta ömür artmaktadır. 25°C -üzerinde kısa dinlenme periyotlarının yorulma ömrü üzerindeki etkisinin azaldığı görülmektedir.
3. Yükleme şeklinin (örneğin sinüzoidal, trapezoidal ve üçgensel) etkisi çok büyük değildir. Bu nedenle de laboratuar deneyleri için sinüzoidal yükleme önerilmektedir.
4. En büyük yorulma ömrü sadece basınç tekrarlı yükleme, daha sonra ise sırasıyla çekme/gerilme, sadece çekme ve basınç/çekme tekrarlı yüklemeler izlemektedir. Çekme/basınç ve basınç/çekme yüklemelerinin yorulma ömrü üzerindeki etkileri arasındaki farklılık yaklaşık % 30'dur.

3.3.4 Dairesel Deney

Dairesel yorulma deneyi bir silindirik numuneye ekseni boyunca yük uygulanması şeklinde yapılır. Bu yük konfigürasyonunda uygulanan yük doğrultusuna ve dik çap boyuna dik doğrultuda oldukça üniform bir çekme gerilmesi ortaya çıkar.



Şekil 3.9 Doğrudan Eksenel Yorulma Deneyinin Şematik Temsili

Bu deneyi uygulamak için uygulama açısından oldukça basit ve temel karakteristiklerin tespit edilmesi için efektif bir metottur (TRR, 1492). Bir çok araştırmacı malzemeleri değerlendirmek ve üstyapayı analiz etmek için bu deneyden yararlanmıştır. (Kennedy vd., 1983 ve 1968; Scholz, Hicks vd., 1989; Khasla vd., 1985; Schmidt, 1971)

Ekipman ve Prosedür: Yükleme konfigürasyonu, yüklemelerin elektro-hidrolik veya havalı sistemler gibi farklı yöntemler ile uygulanabilir. Genellikle yarı sinüzoidal yükleme uygulanır. Kennedy ve Ömer (1985) dakikada 20 tekerrürlük frekans ve 0,05 saniyelik yükleme zamanı kullanmıştır.

Deney numuneleri genellikle 4 in. çapında ve 2,5 in. yüksekliktedir. Yük 0,5 in. genişlikli bir silindir ile dairesel silindirik numuneye ilettilir.

Gerilmelerin hesaplanması : Kennedy ve Huson'a göre, uygun büyüklükteki yük altında bulunan numune yük hattı boyunca basınçtan dolayı bozulmaktadır. Basınç gerilmeleri yayılı yükün dağıılması ile oldukça azalmakta ancak önemli bir büyüklükteki yük dik çap boyunca çekme bozulmasına sebep olmaktadır.

Yaylı yük altında (Şekil 3.10 ve 3.11) numunenin merkezindeki gerilmeler;

$$\sigma_t = \left[\frac{2P}{\pi a h} \right] * \left[\sin(2a) - \frac{a}{2R} \right]$$

$$\sigma_c = \left[\frac{-6P}{\pi a h} \right] * \left[\sin(2a) - \frac{a}{2R} \right]$$

Bağıntılarından hesaplanır.

P=Uygulanan yük

a=yük çubuğuun genişliği

h=numunenin yüksekliği

R=numunenin yarıçapı

2α =yük çubuğuun genişliği ile orijinin birleştiği nokta arasındaki açı

σ_t =Dolaylı çekme gerilmesi (yatay)

σ_t =Dolaylı çekme gerilmesi (dikey)

Numunenin merkezinde dik yöndeki basınç gerilmesi yatay çekme gerilmesinin üç katıdır. İlave olarak eğilmeli kırış ve dairesel yorulma deneyleri arasında iki tane daha farklılık mevcuttur. Bunlar;

1. Eğilmeli yorulma deneylerinde kalıcı deformasyon sınırlanmıştır, ancak dairesel yorulma deneylerinde izin verilmiştir.
2. Gerilme geri dönüşleri dairesel deneyler için pratik değildir.

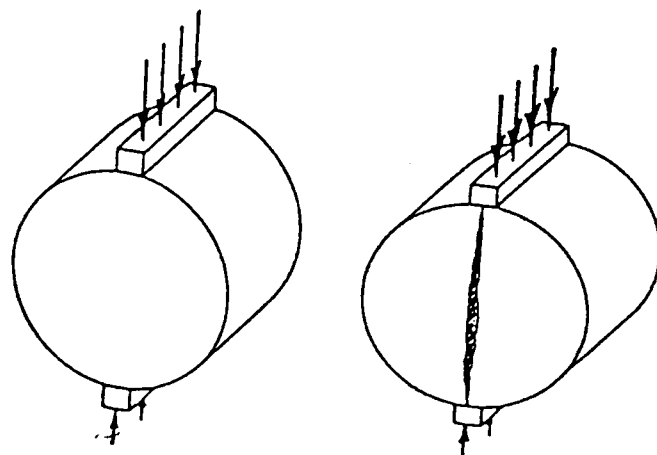
Bu farklılıklardan dolayı dairesel yorulma deneylerinde elde edilen yorulma ömrü eğilmeli deneylere nazaran daha kısalıdır.

3.3.5 Üç Eksenli Deney

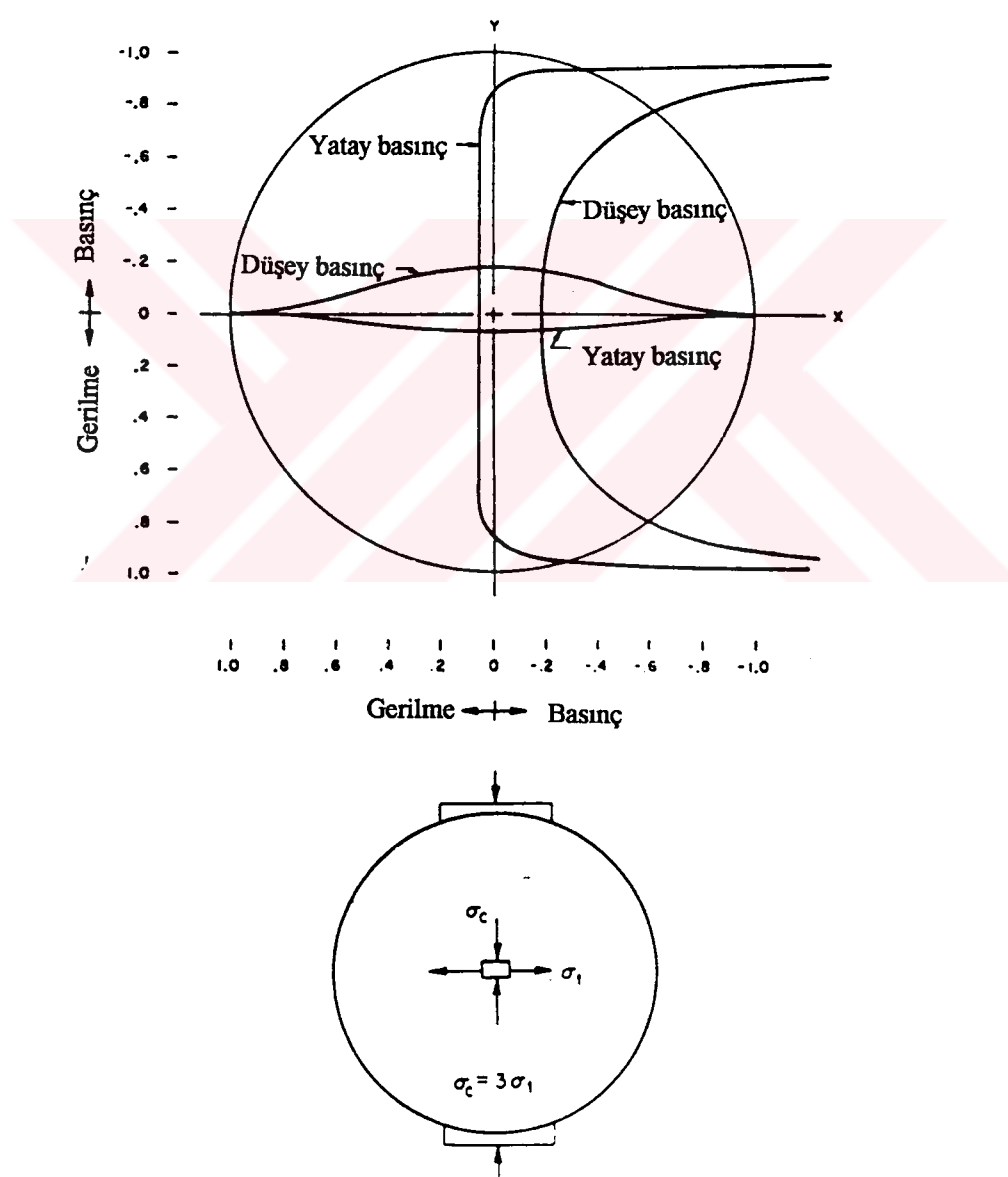
Bu tip yorulma deney ekipmanına örnek olacak olan bir tanesi Nottingham'da geliştirilmiştir. Bu ekipmana ait deney aleti Şekil 3.12'de verilmiştir (Pell vd., 1972 ve Cooper vd., 1975). Numuneler 4 in. çapında ve 8 in. yüksekliğindedir. Numuneler sinüzoidal olarak değişen eksenel gerilmeye maruz bırakılırlar. Bu ekipman gerilme sınırlı ve sınırlımsız çekme-basınç deneyleri içinde kullanılmıştır.

Radyal ve eksenel gerilmelerin bağımsız olarak uygalandığı diğer bir üç eksenli tekrarlı yorulma deneyi de kullanılmıştır. Mc Lean (1974) de asfalt karışımının normal çekme ve basınç gerilmesi altında tekerlek izi oluşumu ile ilgili çalışmasında Şekil 3.13'de verilen bunun gibi bir deney ekipmanı kullanmıştır.

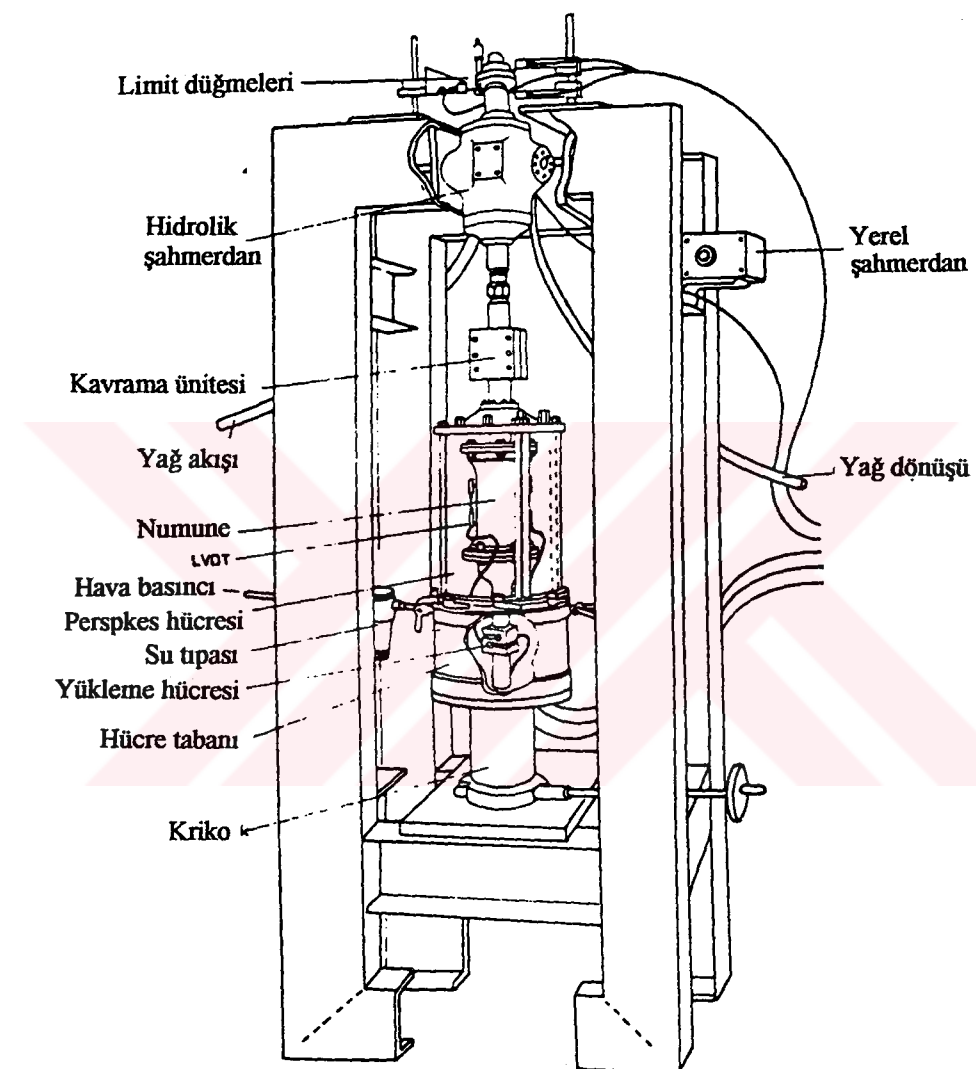
Bununla birlikte California'da içi boş silindir olarak üretilen numuneler üzerinde, dairesel gerilme ile birlikte dönмел (tekrarlı ve sabit) kayma deformasyonu uygulayan deney ekipmanı geliştirilmiştir. Bu tarihte sadece kayma yorulması deneyleri uygulanmıştır. Daha sonraları; içi boş silindir içerisinde doğru vuruş üreten tekrarlı çekme gerilmeleri uygulayan bir ekipman olarak geliştirilmiş ve böylece de kayma gerilmesi ve çekme gerilmesi şartları simülle edilmiştir.



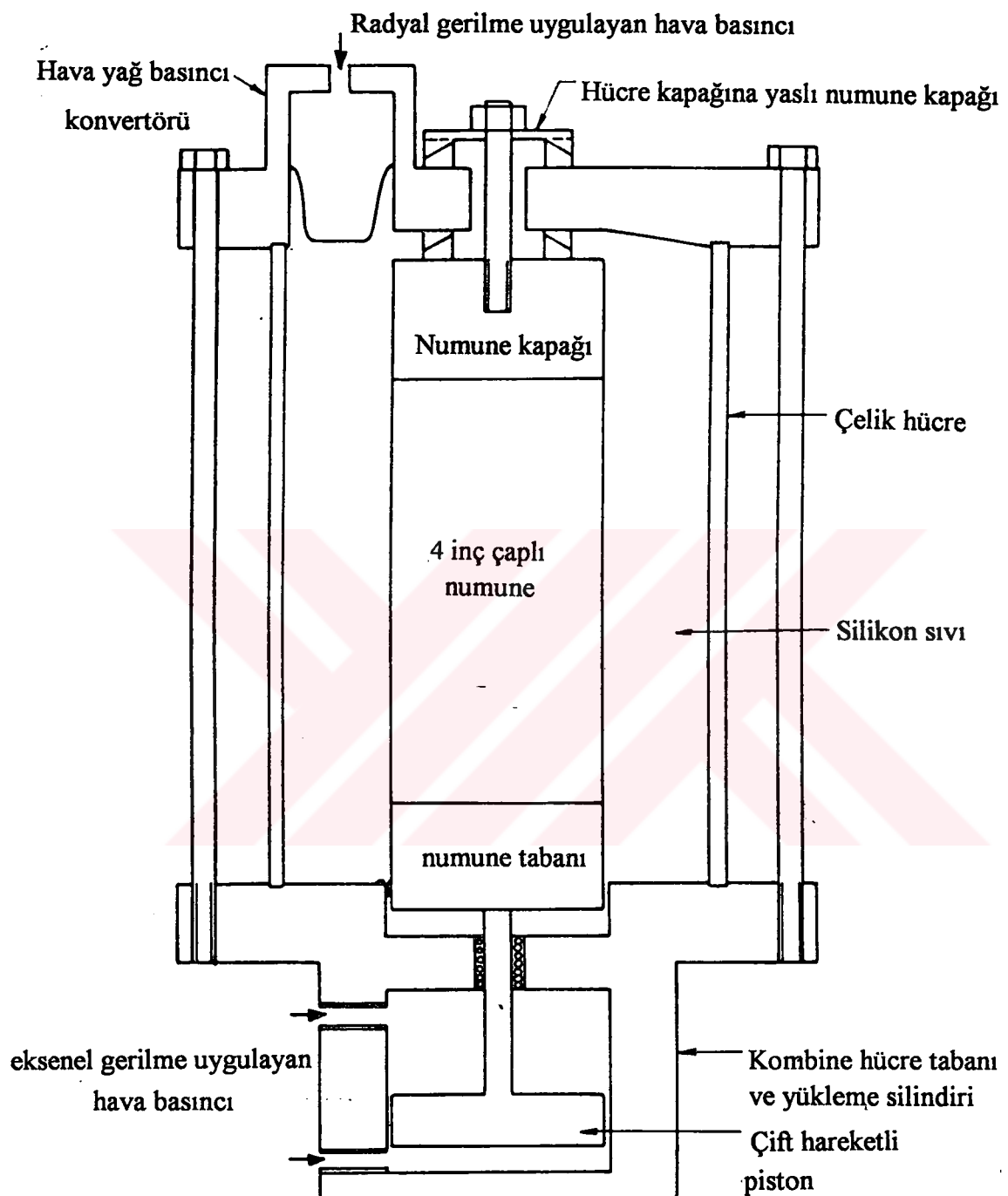
Şekil 3.10 Dairesel Yükleme Deneyi Konfigürasyonu ve Kırılma



Şekil 3.11 Dairesel Yükleme Deneyi Gerilme Dağılımı



Şekil 3.12 Üç Eksenli Yorulma Yükleme Deney Aleti



Şekil 3.13 Üç Eksenli Eksenel ve Radyal Yük Kontrollü Deney Aleti

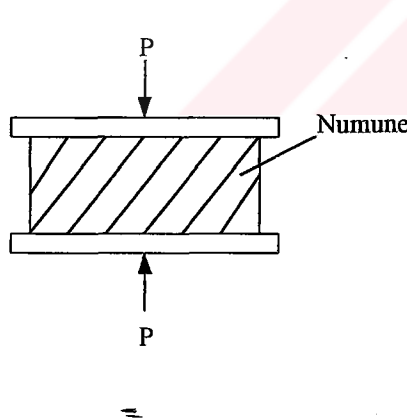
3.3.6 Dinamik Sünme Deneyi

Bilindiği üzere asfalt betonu karışımlarında tekerlek izi oluşumu genel olarak;

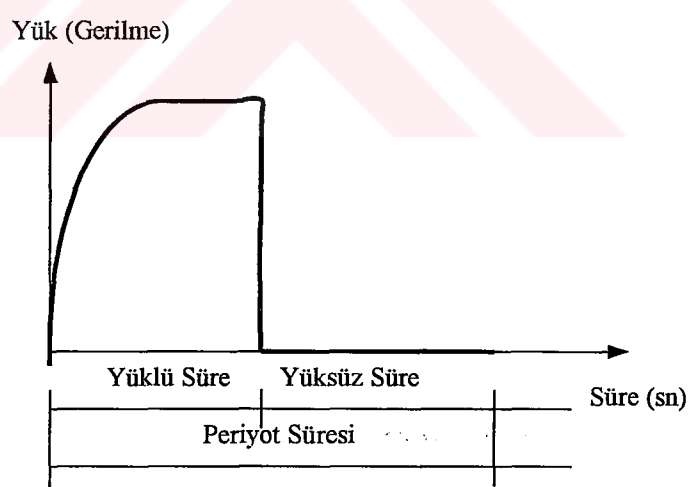
- Tek boyutlu yoğunlaşma (sıkışma) ve
- Plastik akmalardır.

Asfalt karışımlarının biçim değişimleri ve tekerlek izi oluşumları trafik altında oluşan sıkışmalardan daha ziyade, karışımın kayma mukavemetindeki kayıp ve kayma mukavemeti ile ilişkilidir. Ayrıca karışım tasarımında, arazide yapılacak uygulamanın mühendislik ve inşa kurallarına uygun olarak yapılacağı düşünüldüğünden, trafik altında oluşacak olan yoğunlaşmalar dikkate alınmaz (NCHRP Report 338).

Bu deney, asfalt karışımının yukarıda açıklamaya çalıştığımız tekerlek izi oluşumu (kahçı deformasyon) karakteristiklerini belirlemek amacıyla uygulanmaktadır (Alderson, 1995). Bu deneyde 10 veya 15 cm yarıçaplı silindirik numunelere Şekil 3.14'de verildiği şekilde tek eksenli basınç yükü Şekil 15'de gösterildiği şekilde tekrarlı olarak uygulanır.



Şekil 3.14 . Dinamik Sünme Deneyi

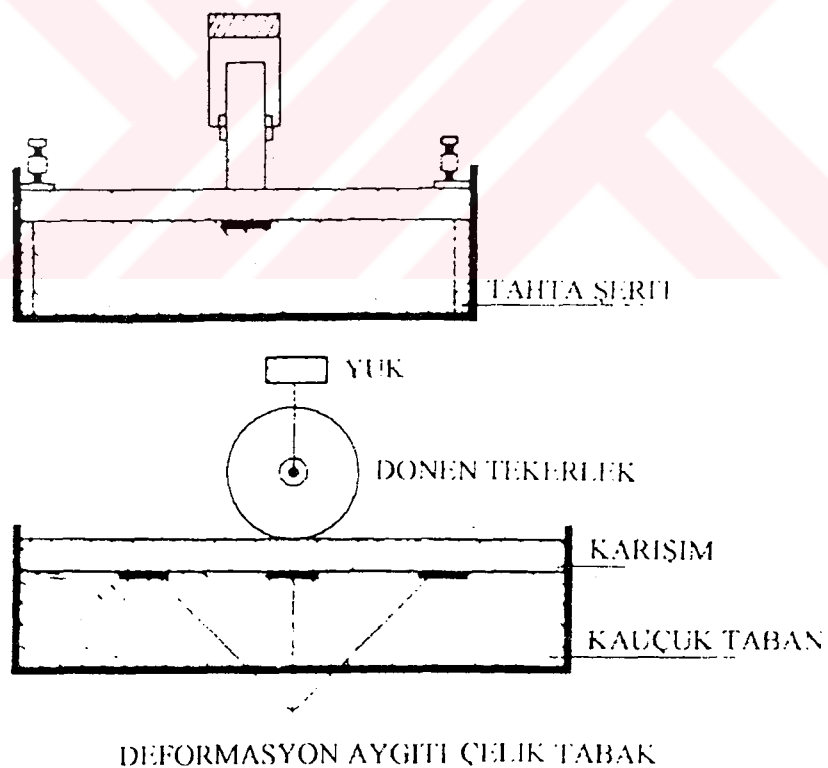


Şekil 3.15 Yükün Uygulama Şekli

3.3.7 Tekerlek İzi Oluşumu Deneyleri

3.3.7.1 Tekerlek İzi Laboratuar Deneyi

Üstyapı üzerinde yuvarlanan tekerleğin etkisini daha iyi belirlemek, çatlağın başlangıcı ve ilerlemesini daha iyi anlatmak amacıyla asfalt plaklarının yorulma karakteristiklerini araştırmak için Tekerlek-İzi deneyi geliştirilmiştir (van Dijk, 1975) (Şekil 3.16). Bu deney aletinde hava basıncılı ve yüklü bir tekerlek bir asfalt betonu plak üzerinde ileri ve geri yuvarlanır. 0,25 m yarıçapındaki tekerlek 0,60 m uzunlukta ve 0,05 – 0,07 m aralıklı bir genişlikteki yol üzerinde yuvarlanır. Plak bir lastik yatak üzerine desteklenmiştir. Tekerlekdeğme alanı yük veya tekerlein şişkinliğinin değişimine bağlı olarak farklılaşmaktadır. Uygun ekipmanlar ile ana karakteristikler olan plaqın tabanındaki deformasyonlar ve çatlağın başlangıcı ve ilerlemesi tespit edilir.



Şekil 3.16 Tekerlek İzi Deneyi

Sonuçlar üç aşamalı yorulma gelişimi olan kılcal çatlaklar (N_1), gerçek çatlaklar (N_2) ve plâgin bozulması (N_3) ile tanımlanır.

Bu deneyden (Asfalt betonu 40 mm kalınlıktadır. Tekerleğin deðme alanı yaklaşık 25 cm²'dir) bulunan bilgiler van Dijk tarafından sunulmuştur. van Dijk kontrollü-gerilme ve kontrollü-deformasyon şartları altında ölçülen yorulma ömürleri arasındaki farklılığı, kılcal çatlaklar ile gerçek çatlaklar arasındaki farklılıklarını ile açıklamaktadır.

3.3.7.2 Gerçek Boyutlu Deneyler

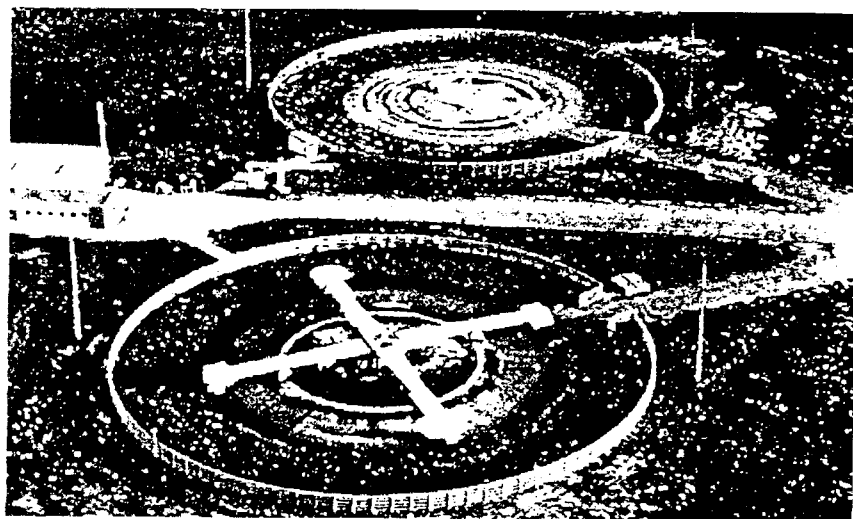
Tam bir arazi benzetimi elde edebilmek amacıyla bu deney yöntemi geliştirilmiştir. Gerçek boyutlu deneyler, tekerleğin dairesel ve boyuna hareketine göre ikiye ayrılmaktadır. Çizelge 3.6'da 1993 yılı itibarı ile gerçek boyutlu deney alanları, kurulduğu yıllar ve yatırım maliyetleri verilmiştir.

Çizelge 3.6 Gerçek Boyutlu Deney Alanları ve Maliyetleri (NCHRP Synthesis 235)

| İsmi | Bulunduğu Yer | Kuruluş Yılı | Yatırım Maliyeti (\$) |
|-------------------------------|---------------|--------------|-----------------------|
| Dairesel Deney Yolları | | | |
| C-TIC | Saskatchewan | 1978 | 400.000 |
| CAPTIF | New Zeland | 1987 | 300.000 |
| ISETH | Switzerland | 1979 | 750.000 |
| IUT | Illinois | 1963 | |
| JHPC | Japan | 1979 | |
| LCPC | France | 1978 | 5.000.000 |
| RRT | Romaña | 1982 | 420.000 |
| Shell | Netherlands | 1967 | |
| S-KSD | Slovakia | 1994 | |
| UCF | Florida | 1988 | 250.000 |
| UNAM | Mexico | 1970 | 480.000 |
| WSU | Washington | 1965 | |

| Boyuna Deney Yolları | | | |
|-----------------------------|----------------|------|-----------|
| ALF | Australia | 1984 | 1.000.000 |
| FHWA-PTF | Washington | 1986 | 1.100.000 |
| RIOH-ALF | China | 1990 | 1.000.000 |
| PRF-LA | Lousiana | 1995 | 1.800.000 |
| DRTM | Denmark | 1973 | 200.000 |
| EPFL | Switzerland | 1977 | |
| HVS | South Africa | 1971 | |
| CAL-APT | California | 1994 | 1.700.000 |
| LINTRACK | Netherlands | 1991 | 1.000.000 |
| Minne-ALF | Minnesota | 1990 | 200.000 |
| PTF | United Kingdom | 1984 | 1.700.000 |
| INDOT/PURDUE | Indiana | 1992 | 140.000 |
| TxMLS | Texas | 1995 | 2.500.000 |
| CEDEX | Spain | 1987 | 2.100.000 |

Dairesel yollarda, yüklerin gerçek şartlara uygun olarak uygulanabilmesi için eksantirik olarak hareket edeceği varsayılmıştır. Bu deneylerden dairesel olanlarına örnek olarak Fransızların deney yolu LCPC Şekil 3.16 ve boyunaya örnek olarak ise TxMLS Şekil 3.17'de verilmiştir.



Şekil 3.17 Gerçek Boyutlu Deney (Dairesel)



Şekil 3.18 Gerçek Boyutlu Deney (Boyuna)

3.3.8 Deney Yöntemlerinin Değerlendirilmesi

Aşağıda sıralanan kriterler gözönüne alınarak deneylerin tercih edilme oranları tespit edilmiştir.

1. Arazi şartlarına benzetme,
2. Deney sonuçlarının uygulanabilirliği,
3. Basitliği ve
4. Arazi korelasyonudur.

Arazi şartlarına uygunluğu değerlendirmek için aşağıdaki sıralama izlenmiştir.

1. Numuneler ve yük, arazideki durumu ve karakteristikleri ne derecede uygun kılıyor?
2. Geniş bir sıcaklık aralığında parametrelerin ölçümü ne derecede önemli ve güvenli olarak yapılmaktadır?
3. Yük frekansı ve dinlenme periyotları arazideki şartlara ne derecede yakındır?

Deney yöntemlerinin basitliğine aşağıdaki ölçütlerle göre bakılmıştır.

1. Gerekli ekipmanların karmaşıklığı.
2. Ekipmanların diğer deneyler için kullanılabilme imkanı.
3. Deney için gerekli numune ağırlığı, konfigürasyonu ve sayısı.
4. Yapısal ve karışım tasarımları için ölçülen parametre sayısı.
5. Aynı veya diğer bir ekipmanla ölçülmesi için gerekli parametre sayısı.

Deney sonuçlarının uygulanabilirliği ana konumuz olan yorulma ile üstyapının yapısı ve karışım tasarımları için kullanılabilme ihtimali olan sonuçları kapsamalıdır.

Bu çalışmada yer alan her bir deney için avantaj, dezavantaj ve sınırlamalarına ait bir özet Çizelge 3.7'de verilmiştir. Bu metotlar daha önce sıralanan kriterlere göre değerlendirilmiştir. Arazi korelasyonu için gerekli bilgiler bulunamamıştır, bundan dolayı da bu faktör değerlendirmede göz önüne alınmamıştır.



Çizelge 3.7 Deney metotlarının değerlendirilmesi (J. Matthews vd., 1993)

| Deney Yöntemi | Deneyin Uygulanabilirliği ve Veriler | Yararları | Sakincaları ve Smırlamalar | Arazi Şartlarına Uygunluk | Basitlik | Genel Sıralama |
|---------------------------|--|--|---|---------------------------|----------|----------------|
| Tekrarlı Eğilme | σb veya ϵb , Smix | <ul style="list-style-type: none"> 1. İyi bilinen bir deney tekniklerin kullanımı 2. Temel tekniklerin kullanımı 3. Sonuçların tasarımında doğrudan kullanılması 4. Deformasyon veya gerilme kontrollü seçeneklerinin olması | Özel ekipmana ihtiyaç duymakta ve deneylerin uzun süremesi | 4 | 4 | 1 |
| Doğrulan Çekme | σb veya ϵb , Smix | <ul style="list-style-type: none"> 1. İlaive bir yorulma deneyi yapılmasına gerek yok olması 2. Yorulma deneyleri ile bir korelasyonun mevcut olması | LCPC yönteminde; 1. Korelasyon için 1 milyon tekerfür esas alınmıştır. 2. Sadece 10°C sıcaklıkta yapılması | 9 | 1 | 1 |
| Dairesel Tekrarlı Yükleme | $4\sigma b$ ve Smix | <ul style="list-style-type: none"> 1. Basitliği 2. Aynı ekipmanın farklı deneylerde kullanılması 3. Çatlamının tahmin edilmesi | <ul style="list-style-type: none"> 1. İki eksenli gerilme durumu 2. Yorulma ömrünün tahminindeki düşürtlük | 6 | 2 | 2 |
| Harcanan Enerji Yöntemi | ϕ , Ψ , Smix ve σb veya ϵb | <ul style="list-style-type: none"> 1. Fiziksel olayları esas alması 2. Harcana enerji ve N arasındaki ilişki | <ul style="list-style-type: none"> 1. Kabuller için yoğun yorumla deneylerine gerek olması 2. Basitleştirilmiş prosedürlerin sadece yorummanın hakkında genel bir fikir vermesi | 5 | 5 | 3 |

| | | | | | | |
|----------------------------------|------------------------------------|--|--|---|----|---|
| Bozulma Mekanizması | K_1, K_2 ve Smix | 1. Düşük sıcaklıklar için güçlü bir teori 2. Prensip olarak yorulma dencyelerinin uyulanmasına olamaması | 1. Yüksek ıslarda K_1 bir sabiti malzeme olmaktadır. 2. Çok fazla deney bilgisine İhtiyaç var K_1 ve K_2 arasındaki yorulma modelinin kurulmasında K_2 (kayma modu) ye ihtiyac olması | 7 | 8 | 4 |
| Tekrarlı Çekme Veya Çekme-Basınç | σ_b veya σ_b ve Smix | 1. Eğilmeli yorulma deneyinin yapılmasına gerek olmaması | 1. Doğrudan çekme deneyine oranla zaman alıcı, pahalı ve özel ekipmana ihtiyac olması | 8 | 3 | 5 |
| Üç Eksenli Tekrarlı Çekme-Basınç | $\sigma_b, \sigma_c, Smix$ | 1. Arazi şartlarını daha iyi temsil etmesi | 1. Pahalı, zaman alıcı ve özel ekipmana ihtiyac var 2. Kayma deformasyonu bilgilerine ihtiyac olması | 2 | 6 | 6 |
| Elastik Temelli Tekrarlı Eğilme | σ_b veya σ_b , Smix | 1. Arazi şartlarını daha iyi temsil etmesi 2. Yüksek ıslarda uygulanabilmesi | 1. Pahalı, zaman alıcı ve özel ekipmana ihtiyac var | 3 | 7 | 7 |
| Tekerlek İzi (Laboratuar) | σ_b veya σ_b | 1. Arazi şartları yi derecede benzetmesi | 1. Düşük Smix değerlerine yorulma ömrü tekerlek izinden etkilenemektedir. 2. Özel ekipmana ihtiyac vardır | 1 | 9 | 8 |
| Tekerlek İzi (arazi) | σ_b veya σ_b | 1. Gerçek dingil yükleri altında yorulma ömrü tahmin edilmektedir. | 1. Pahalı ve zaman alıcıdır. 2. Tek seferde ancak birkaç malzeme değerlendirilebilmektedir. 3. Özel ekipmana gereklidir | 1 | 10 | 9 |

4. NUMUNE HAZIRLAMA YÖNTEMİ VE KARIŞIM DEĞİŞKENLERİNİN YORULMA DİRENİMİ ÜZERİNE ETKİSİNİN DEĞERLENDİRİLMESİ

4.1 Numune Hazırlama Yönteminin Etkisi

Numune üretim yöntemindeki birinci amaç, arazi şartlarında üretilen ve serilirken sıkıştırılan asfalt karışımlarını en iyi şekilde temsil edecek bir sıkıştırma yöntemi ile numuneleri hazırlamaktır. Yapılan sıkıştırmanın uygunluğu için agrega granülometrisi, boşluk oranı, asfaltla dolu boşluk oranı gibi ölçütler göz önüne alınır. Boşluklar karışımın mühendislik özellikleri üzerindeki etkisinden dolayı önemlidir. Ayrıca karışımın sıkıştırma yöntemi karışımın içerisinde oluşacak olan kalıcı deformasyon için de önemli bir faktördür (J. Harvey vd., 1993).

Laboratuar ve arazide karışımın sıkıştırılabilirliği veya işlenebilirliğini etkileyen faktörler;

1. Agrega özellikleri,
2. Bitümlü bağlayıcının özellikleri
3. Asfalt karışımı özellikleri ve
4. Sıkıştırma sırasındaki performanslarıdır.

Agrega parçacıklarının şekli karışımın sıkıştırılabilme ve işlenebilme özelliklerini farklı derecelerde etkilemektedir. Agrega parçacıklarının yuvarlak olması durumunda agreya tanecikleri yükün uygulanması ile birbirleri üzerine kolaylıkla kayabilmekte ve yerleşmekteyler. Fakat köşeli aggregalar, taneler arasındaki sürtünme dreniminin artması nedeniyle, yüke maruz kalmaları durumunda yerleşmeye ve sıkışmaya karşı bir direnim göstermektedirler. Ayrıca yumuşak yüzey dokulu aggregaların da işlenebilirlik dereceleri daha yüksek olmakta, sert yüzey dokulu aggregalar ise köşeli aggregalar için söylenen sebeplerden dolayı sıkışma ve yerleşmeye karşı bir direnim göstermektedirler.

Yüksek sıcaklık duyarlılığına sahip asfalt çimentolarının viskoziteleri sıcaklık değişimi ile birlikte sıcaklık duyarlılığı düşük olanlara göre daha hızlı bir şekilde değişmektedir. Ancak laboratuarda numunelerin karıştırılma ve sıkıştırılmalarının nisbeten kısa bir sürede yapılmasından dolayı sıcaklık değişiminin işlenebilirlik ve sıkıştırılabilirlik üstündeki etkisi oldukça az olmaktadır. Bunun yanında karışımın arazideki serme ve sıkıştırma çalışmalarının uzun zaman olması nedeniyle, arazide yapılan uygulamalarda bu etki daha büyük önem taşımaktadır.

Düşük asfalt içeriği agreganın yüzeyinde oluşan kayganlığı azaltmakta ve karışımın sıkışabilirliği daha düşük olmaktadır. Ayrıca yüksek asfalt oranı, istenilen düzeyde sıkışma elde edilmemesine rağmen karışımın işlenebilirliğini önemli miktarda artırmaktadır. Laboratuarda karışım hazırlanması aşamasında, numunelerin sınırlı bir kalıp içerisinde sıkıştırılmışından dolayı istenilen sıkışmanın elde edilmemesi problemi ile karşılaşılmamaktadır. Laboratuar karışımlarında asfalt muhtevasının yüksek olması aggrega parçacıklarının bağlayıcılığını artırmakta ve boşluk miktarının az olmasını sağlamakta ancak karışımın birim hacim ağırlığı düşük çıkmaktadır.

Numunelerin üretiminde kullanılan sıkıştırma metotları;

1. Statik sıkıştırma,
2. Vurmalı sıkıştırma (impact),
3. Yoğurmeli sıkıştırma (kneading),
4. Dönen sıkıştırma (gyratory) ve
5. Tekerlek ile sıkıştırma (wheel-tracking).

4.1.1 Statik Sıkıştırma

Sıkışmamış asfalt karışımın, istenen boyutta bir kalıp içerisinde yerleştirilerek dereceli olarak artırılan bir statik yük altında sıkıştırılmışından ibarettir. Homojenliği sağlamak için karışım, çubuklar vasıtasyyla şişlenmektedir ve kalıp içerisinde hareket edebilen iki adet silindir kullanıldığından kalıp serbest olarak hareket edebilmektedir. Bu metot ASTM D-1074'de de iki taraflı sıkıştırma işlemi olarak tanımlanmıştır. Bu yöntemin yoğurmali, dönen ve tekerlek-yol metotlarına göre üstünlüğü, basitleştiğinden kaynaklanmaktadır (Omar

A.H. vd., 1994). Ana dezavantajı, agrega dağılımının araziye oranla farklı olması ve bu nedenle de arazi şartlarını tam olarak temsil etmemektedir.

4.1.2 Vurmalı Sıkıştırma

Bu yöntemde, karışımın üzerine sabit yükseklikten serbest olarak bırakılan belirli bir ağırlığın tekrarlı olarak düşürülmesiyle numune sıkıştırılmaktadır. Ağırlığın (çekicin) düşme sayısı silindir ve trafik altında meydana gelecek olan sıkışmayı sağlayacak şekilde seçilir.

Bu yöntemin faydası, oldukça basit, az maliyetli ve el ile çalıştırılması suretiyle yüksek enerji elde edilmesi ve pratik olmasıdır. Bu şekilde de arazi koşullarına benzer şekilde numune üretimi yapılmaktadır.

İlk sakıncası sıkıştırma anında yüksek enerji aktarımı olması nedeniyle, asfalt filmleri kopmakta ve agrega parçacıkları birbiri üzerine binmektedir. Bundan dolayı da aşırı bozulma ve/veya arazi şartlarından farklı şartlar oluşmaktadır.

Diğer bir sakıncası ise, tekrarlı etki ile sıkıştırmada hazırlanan numuneler belirli bir yıl sonunda lastik tekerlein etkisi ile sıkışan asfalt kaplamalar gibi çift sıkıştırma etkisine maruz kalmaktadırlar. Bu şekilde bir sıkıştırma işlemi ise gereksizdir. Diğer bir sakıncası ise, homojen ve istenen boyutta deney numunelerinin elde edilmesi zorluguđur.

4.1.3 Yoğurmeli Sıkıştırma

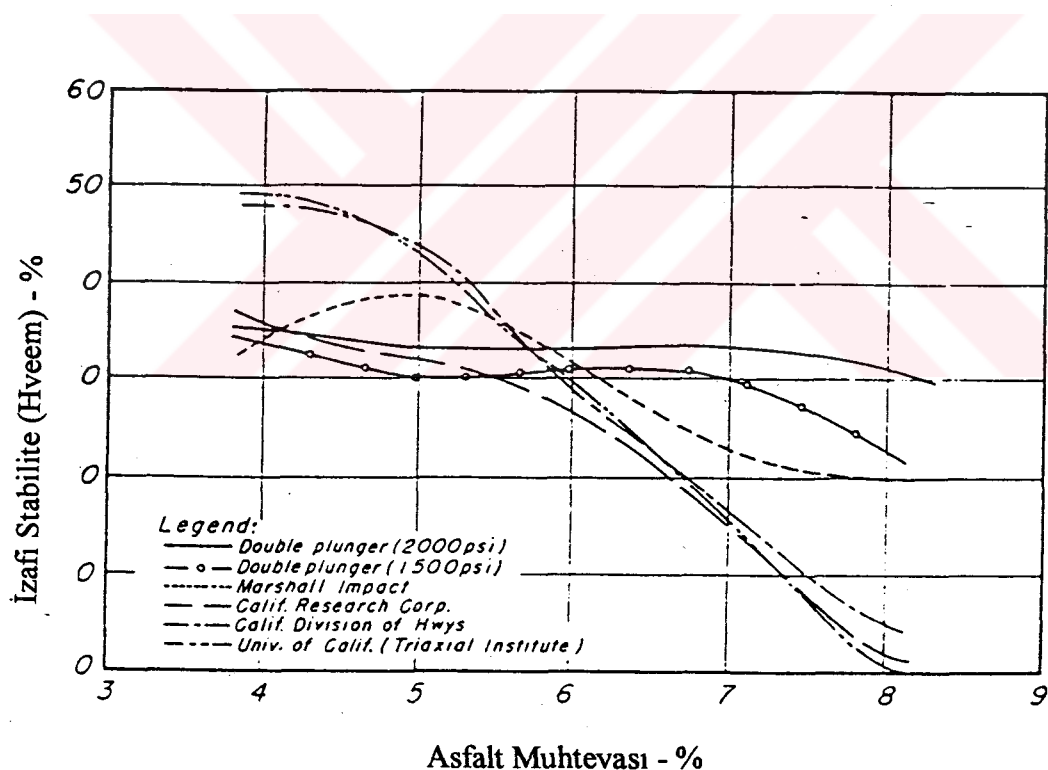
Yoğurmeli sıkıştırma, Triaxial Institutue nin himayesi altında University of California, Berkeley ve California Division of Highways'in bir araya gelmesi ile geliştirilmiştir.

Sıkıştırma işlemi sıkışmış numune boyutundan oldukça küçük bir sıkıştırma yağı yardımıyla yapılmaktadır. Sıkıştırma yağıının her bir yüklemesinden sonra yük kademeli olarak artırılıp belirli bir süre sabit bırakıldıktan sonra kesilmektedir. Her bir yüklemenin ardından numunenin yüzeyinde bir patlama oluşmaktadır. Bu metot da yükün sebep olduğu

deformasyon ve parçacıkların yönelimi araziden alınan numunelere benzerdir. Bu deney (ASTM D-3202) için kırış numunelerin hazırlanması ve stabilometre deneyleri (CALTRANS Test 366) için de numune hazırlanması mümkündür.

Bu alet ile 30 in uzunlukta kırış numuneler ve 12 in yükseklikte ve 6 in yarıçapında silindirik numuneler üretmek mümkündür. Yapılan çalışmalar neticesinde araziden alınan karot numuneler ile laboratuarda hazırlanan numuneler arasında fiziksel ve mekanik özellikler bakımından iyi bir ilişki olduğu görülmüştür.

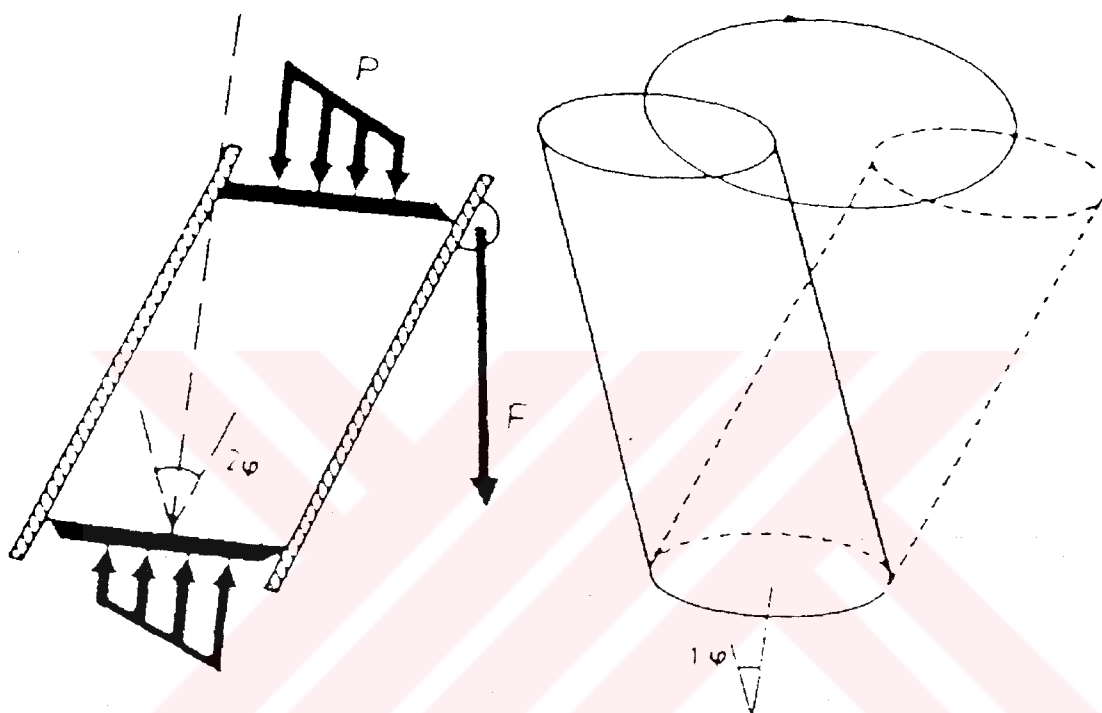
Şekil 4.1'de vurmalı, statik ve yoğurmalı sıkıştırma yöntemleri ile hazırlanan numuneler üzerine yapılan Hveem Stabilometre deney sonuçları verilmiştir. Şekilden de görüleceği gibi yoğurmalı sıkıştırma ile hazırlanan numunelerin asfalt muhtevası ile stabilitenin değişiminin hassasiyetinde mantıklı sonuçlar veren karışımının üretildiği görülmektedir.



Şekil 4.1 Sıkıştırma Yönteminin İzafi Karışım Stabilitesine Oranı

4.1.4 Dönel Sıkıştırma

Silindirik bir kalıp içerisinde dönme harekatına maruz bırakılan numune, iki paralel silindir aracılığı ile sabit basınç uygulanarak sıkıştırılır (Şekil 4.2).



Şekil 4.2 Dönerek sıkıştırma çalışma prensibi

Ana sakıncası, deney numunelerinin diğer silindirik şekillerden farklı olan numunelerin imalının yetersizliğidir. NCHRP/AAMAS çalışması dönen sıkıştırma işlevinin arazideki sıkıştırmaya uygun sonuçlar sunduğu neticesini çıkarmıştır. Bu çalışmada araziden inşa edildikten hemen sonra alınan karot numunelerin kayma ve rijitlik parametreleri ölçülmüş, daha sonra araziden alınan karotlarla birim hacim ağırlığı aynı olacak şekilde üretilen numuneler üzerine yapılan deneylerden de aynı sonuçların elde edilmesinden bu sonuca gidilmiştir. AAMAS çalışması sonucuna göre yoğurmalı sıkıştırma ve tekerlek-yol sıkıştırma metodlarının her ikisi de araziyi yeterli düzeyde temsil etmektedirler.

4.1.5 Silindir Tekerlek Sıkıştırması

Tekerlek ile sıkıştırma, hemen hemen arazi ile aynı sıkıştırma durumudur (van Quantis vd., 1988; Bonnot, 1986; ve van Dijk, 1975). Bu tekniğin ana avantajı agrega parçacıklarının yöneliminin ve karışımın yoğunluğunun arazideki sıkıştırma ile çok yakın olabilmesidir. Büyük ölçekli çalışma için gerçek boyutta karıştırma yapılmalıdır. Bu yöntemin sakıncası, yüksek maliyetli özel ekipmanlara ihtiyaç göstermesidir.

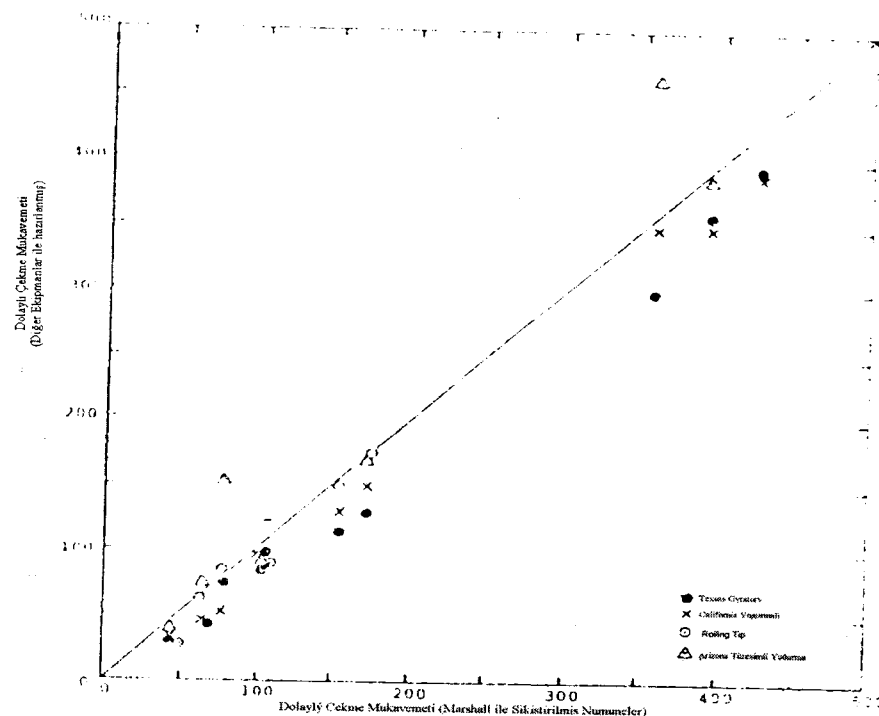
Alternatif olarak diğer daha küçük sıkıştırma metotları olan bir çelik silindir (Brown ve Cooper, 1984; van Quantis vd., 1988) veya hava basıncılı lastik tekerlekte (Bonnot, 1986) değerlendirilebilir. Buna örnek olarak Laboratoria Central des Ponts et Chausees (LCPC) tarafından geliştirilen ve 100 mm kalınlık, 500 mm'ye 180 mm boyutlarında kabuk numuneleri sıkıştıran tekerlek-yol verilebilir. Yol metal çerçeveli ve çelik bir levha üzerine yerleştirilir. Sıkıştırma tekerlekleri (400 mm * 8 mm) arazideki sıkıştırma temsil edecek şekilde hava basıncına ve yüze sahip olacak şekilde定制enmiştir.

4.1.6 Numune Hazırlama Metotlarına Ait Değerlendirme

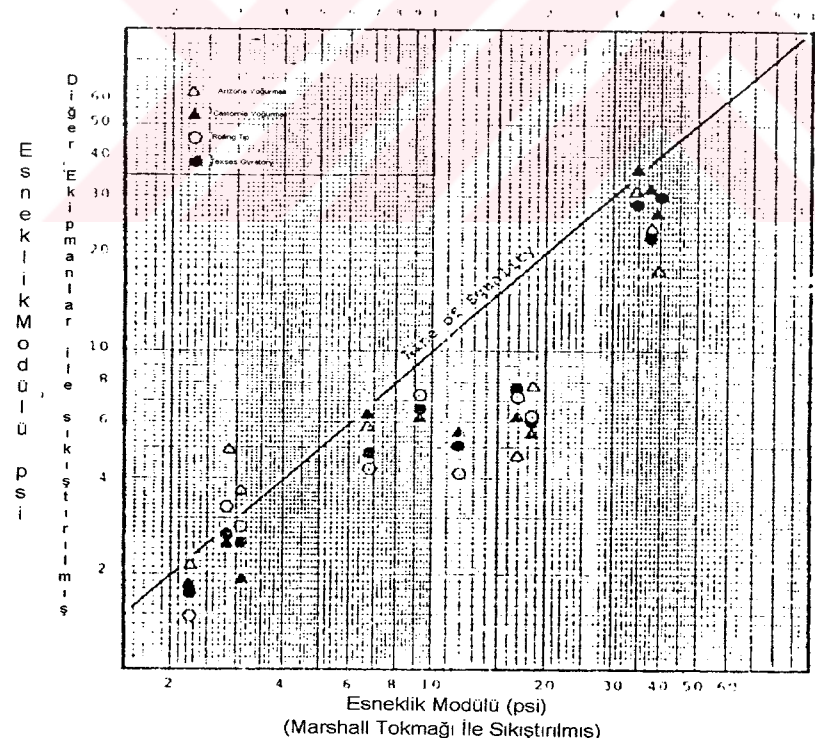
Sıkıştırma metotlarının araziden alınan karotlara yapılan deneyler ile benzer sonuçları vermeleri açısından yapılan sıralama;

1. Dönmeli sıkıştırma (Gyratory-Shear Compaction),
2. California yoğurmalı (Kneading) sıkıştırma,
3. Taşınabilir çelik Tekerlek Simulatörü,
4. Arizona titreşimli yoğurma sıkıştırması
5. Marshall tokmağı şeklinde olmaktadır.

Sıkıştırma yönteminin karışımın Marshall Yöntemi baz alınarak Dolaylı Çekme Mukavemeti üzerinde olan etkisi Şekil 4.3'de, Esneklik Modülü için ise Şekil 4.4'de verilmiştir.



Şekil 4.3 Farklı Sıkıştırma Ekipmanları ile sıkıştırılan numunelerin Dolaylı Çekme Mukavemeti Değerlerinin Karşılaştırılması (AAMAS, 1992)



Şekil 4.4 Farklı Sıkıştırma Ekipmanları ile sıkıştırılan numunelerin Esneklik Modülü Değerlerinin Karşılaştırılması (AAMAS, 1992)

Ayrıca Sıkıştırma işlemlerinin değerlendirilmesi ile elde edilen sonuçlar aşağıda sıralanmıştır.

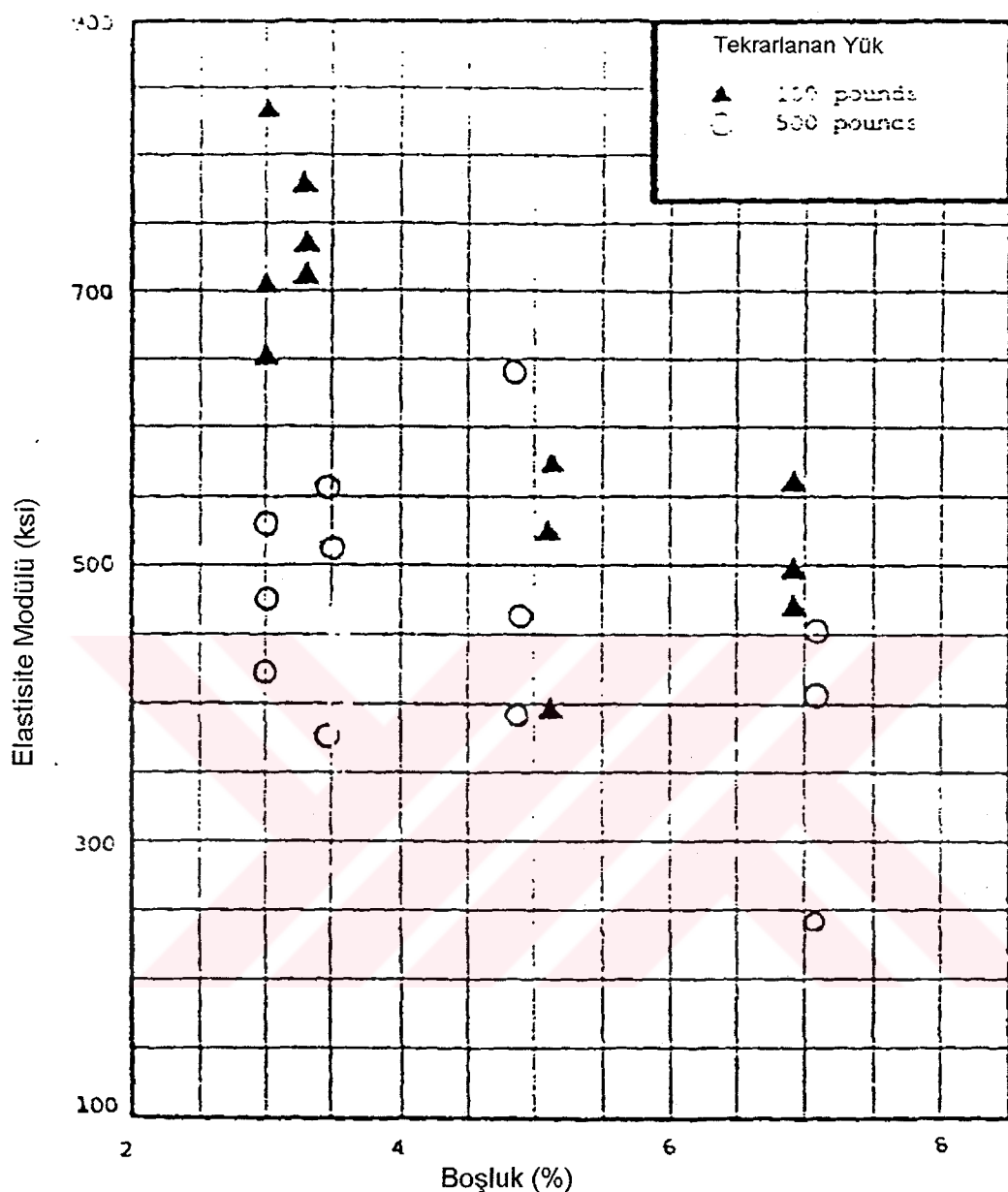
1. Silindir-tekerlek, yoğurmalı ve dönen sıkıştırma metodlarında numuneler statik ve vurmalı sıkıştırmaya göre arazi şartlarına daha uygun üretilmektedir.
2. Yoğurmalı Sıkıştırma asfalt muhtevasının belirlenmesine stabilitenin bulunmasında en büyük duyarlılığa sahiptir. Dönen ve tekerlek-yol sıkıştırma metodları için bunu saptamak çok zordur.
3. Sıkıştırma yöntemlerinin yorulma üzerindeki etkisi ile ilgili olarak herhangi bir çalışma yapılmamıştır. Eğer böyle bir çalışma yapılacak olursa silindir-tekerlek, yoğurmalı ve dönen sıkıştırma metodları ile hazırlanan numuneler kullanılarak, sıkıştırma yönteminin yorulma üzerindeki etkisi tesbit edilmelidir. Deney numuneleri arazi koşullarını iyi bir şekilde modelleyecek şekilde seçilmelidir.

4.2 Karışım Değişkenlerinin Yorulma Direnimi Üzerine Olan Etkisi

Karışım değişkenleri asfalt betonu karışımının yorulma ve rijitliği gibi özellikleri üzerinde önemli bir etkiye sahiptirler. Aşağıda bu etkiyle ilgili olarak yapılan kaynak araştırmalarından elde dilen bilgiler özet olarak verilecektir.

Sıkıştırma yöntemi (dönel, tekerlek ve yoğurmalı) kalıcı deformasyon üzerinde önemli bir etkiye sahiptir. Filler miktarının %3 azaltılması, karışımın yorulma ve kalıcı deformasyon performansı üzerinde önemli bir etkiye sahiptir. Özellikle karışımın karıştırma ve sıkıştırma sıcaklıkları, yorulma performansını önemli oranda etkilemektedir.(J. Harvey v.d., 1993)

Karışımın boşluk yüzdesine bağlı olarak, Esneklik Modülünün değişimi Şekil 4.5'de verilmiştir. Buradan da görüldüğü gibi boşluk yüzdesindeki düşme modül değerini artırmaktadır (G. Y. Baladi v.d., 1989).



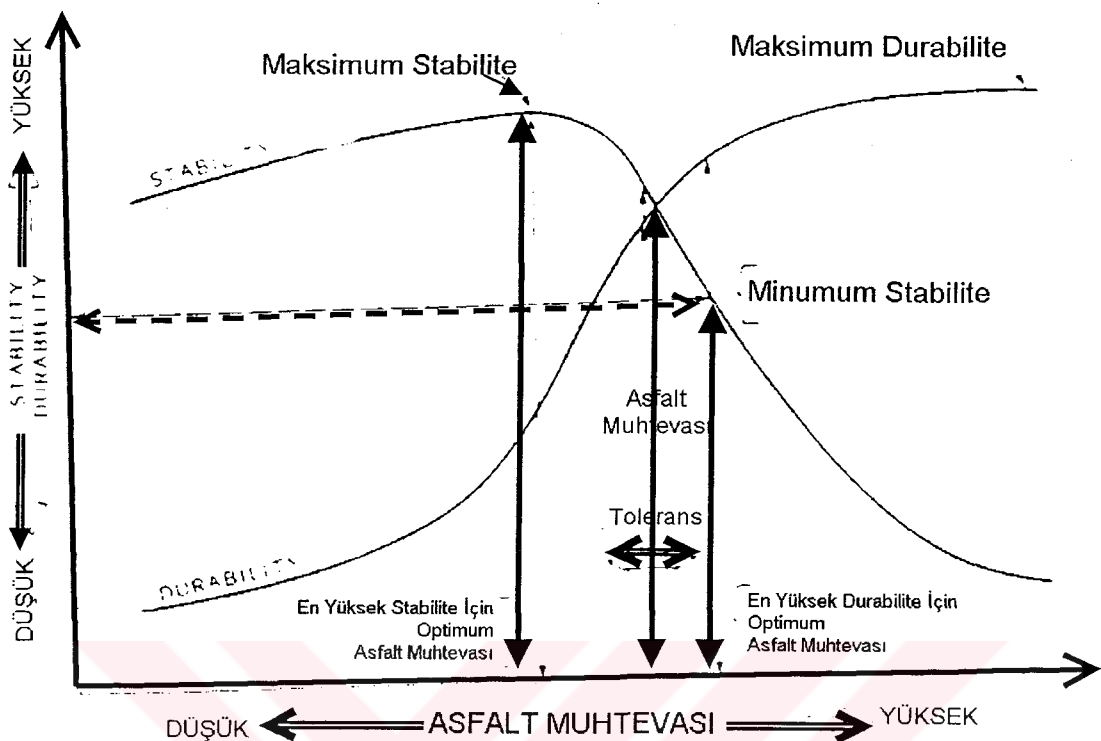
Şekil 4.5 Dolaylı Çekme Deneyinde Esneklik Modülünün Boşluk Yüzdesi ile Değişimi

Çizelge 4.1'de karışım değişkenlerinin kısaca tanımlamaları ve üzerinde etkili oldukları özellikler verilmiştir.

Çizelge 4.1 Karışım Özellikleri(C. L. Monismith, vd., 1989)

| Özellik | Tanım | Etkilendiği Karışım Değişkenleri |
|------------------------|--|---|
| Rijitlik | $Smix(t,T) = \sigma/\epsilon$ Belirli bir sıcaklık ve yükleme süresinde gerilme ile deformasyon arasındaki ilişki | Agrega gradasyonu Asfaltın rijitliği Sıkıştırma derecesi Su hassasiyeti Asfalt muhtevası |
| Stabilite | Kalıcı deformasyonlara karşı direnim (genellikle yüksek sıcaklık ve uzun yükleme süreli düşük Smix durumları için) | Agrega yüzey dokusu Agrega gradasyonu Asfaltın rijitliği Asfalt muhtevası Sıkıştırma derecesi Su hassasiyeti |
| Durabilite | Hava (hava ve su) ve trafiğin aşındırıcı etkilerine karşı direnim | Asfalt muhtevası Agrega gradasyonu Sıkıştırma derecesi Su hassasiyeti |
| Yorulma Direnimi | Karışımın bozulmaksızın tekrarlı yükler karşısındaki eğilme kabiliyeti | Agrega gradasyonu Asfalt muhtevası Sıkıştırma derecesi Asfaltın rijitliği Su hassasiyeti |
| Bozulma Karakteristiği | Karışımın uygulanan çekme gerilmelerine karşı mukavemeti | Agrega gradasyonu Agrega tipi Asfalt muhtevası Sıkıştırma dercesi Asfaltın rijitliği Su hassasiyeti |
| Kayma Direnimi | Karışımın ıslak yol şartlarında teker ve asfalt betonu yüzey arasındaki sürtünme katsayısı | Agrega gradasyonu Agrega tipi Asfalt muhtevası Sıkıştırma derecesi Asfaltın rijitliği Su hassasiyeti |
| Geçirimlilik | Karışımın su ve hava geçirimliliği | Agrega gradasyonu Asfalt muhtevası Sıkıştırma derecesi |

Ayrıca karışımların satabilite ve durabilite özelliklerine bağlı olarak optimum asfalt muhtevasının belirlenmesine ait bir grafik Şekil 4.6'da verilmiştir.



Şekil 4.6 Asfalt muhtevasına bağlı olarak karışımın stabilite ve durabilite ilişkisi (C. L. Monismith, vd., 1989)

J. T. Harvey ve B. Tsi tarafından yapılan çalışmada, asfalt karışım tasarımindan ilk amacın uygun yorulma ve durabilite karakteristiklerini sağlayan, stabilite bozulmasını en az eden bir asfalt oranı bulmak olduğu söylenmektedir. Yapmış oldukları çalışmada düşük boşluğun karışımın yorulma ve rıjitliği üzerinde faydalı olduğu görülmüştür. Ayrıca kritik kayma gerilmelerinin tabandan uzak olduğu veya düşük sıcaklıklı çevreler gibi tekerlek izi oluşumunun kritik olmadığı kesimlerde, asfalt muhtevasında yapılacak olan artırmaların karışımın yorulma ömrünün artırılması bakımından fizibil olacağının sonucu bulunmuştur (J. T. Harvey vd., 1996).

R. Kim vd. agreganın kalıcı deformasyon üzerinde olan etkisi ile ilgili olarak yapmış oldukları çalışmalarında, nominal maksimum aggrega boyutunun sabit tutulup ince ve kaba aggrega oranlarının değiştirilmesinin kalıcı deformasyonlar üzerinde büyük bir etkiye sahip

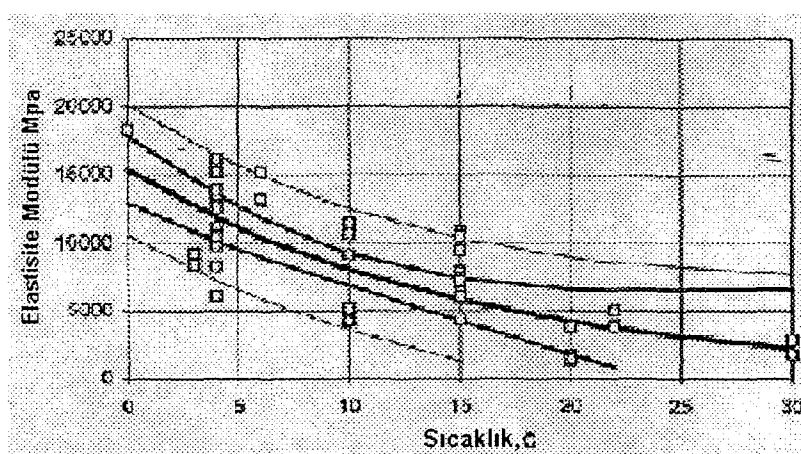
olmadığını görmüşlerdir (Y. R. Kim vd., 1992). Aynı şekilde J. M. Mathews ve C. L. Monismith tarafından yapılan çalışmadan iki önemli sonuç çıkartılmıştır. Bunlar;

1. Orta gradasyonlu agregalar tekerlek izi oluşumuna karşı kaba gradasyonlu agregalardan daha iyi performans sergilemektedir.
2. Sıcaklık, tekerlek izi oluşumunda agrega gradasyonundan daha etkili olmaktadır (J. M. Mathews vd., 1992)

T. Hsu ve K. Tseng tarafından yapılan çalışmada optimum asflat muhtevasındaki % 0,5'lik farklılığın asfalt karışımın yorulma direnimi üzerinde önemli bir etkiye sahip olamadığı sonucu ortaya çıkmıştır (T. Hsu vd., 1996).

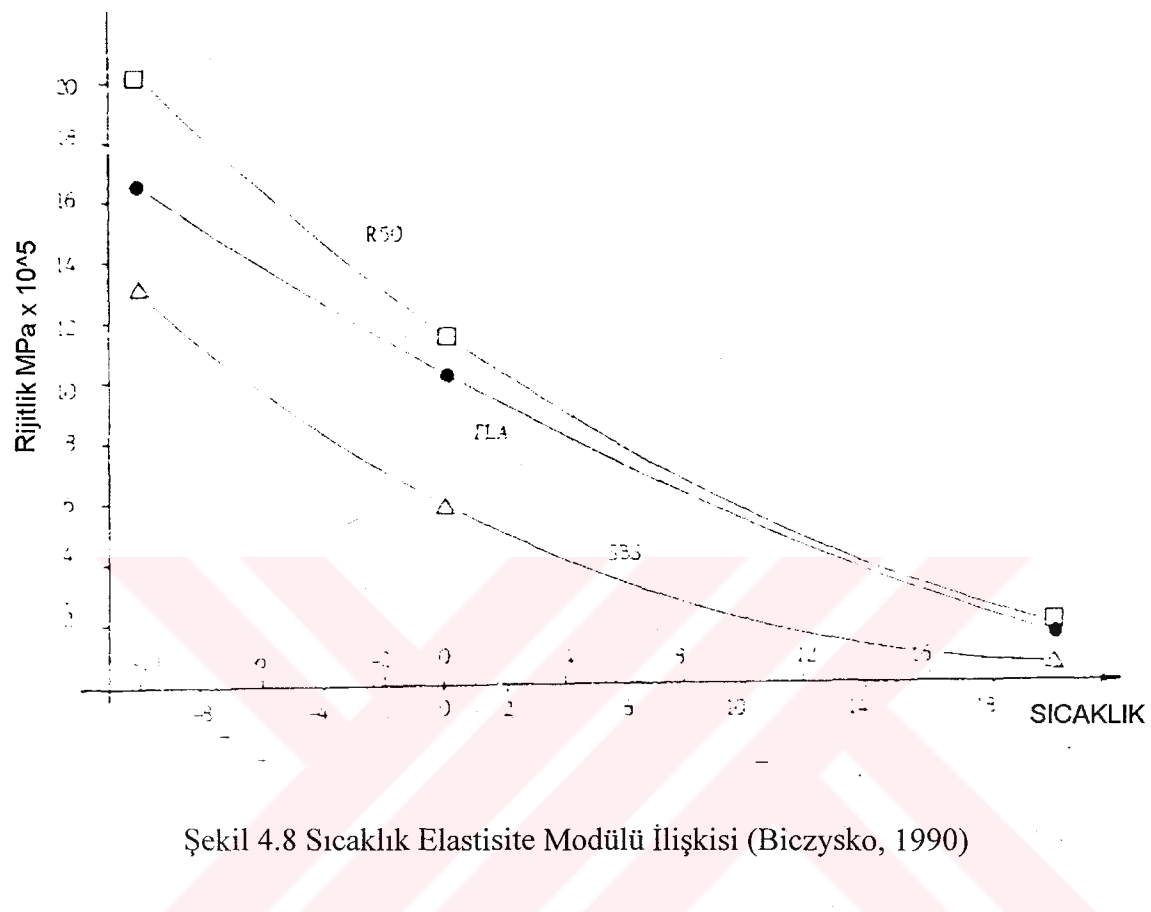
A.S. Adedimila ve T. W. Kennedy tarafından yapılan Tekrarlı Dolaylı Çekme deneylerinin sonucuna göre maksimum bir yorulma ömrüne karşılık bir optimum asfat muhtevası değeri bulunmaktadır. Ayrıca bu optimum asfat muhtevası değeri gerilme seviyesinin değiştirilmesinden de etkilenmemektedir. Optimum asfat muhtevası değerini % 6-6,5 arasında değişmekte ve bu değer karışımın maksimum birim hacim ağırlığına karşılık gelen optimum bitüm muhtevası değerinden biraz daha az olmaktadır. (Adedimial vd., 1980).

F. S. Saftwat araziden karot numuneler alarak bunlar üzerine Dolaylı Çekme Deneyi yapmıştır. Bu deney sonucunda sıcaklık ile elestitiste modülü arasında Şekil 4.7'de verilen ilişkiye bulmuştur.



Şekil 4.7 Sıcaklık Elastisite Modülü ilişkisi (Safwat, 1996)

Ayrıca S. J. Biczysko tarafından $^{\circ}\text{C}$ 'nin altında yapılan deneylerden elde edilen sonuçlar Şekil 4.8'de verilmiştir.



Şekil 4.8 Sıcaklık Elastisite Modülü İlişkisi (Biczysko, 1990)

5. BİTÜMLÜ KARIŞIMLARIN PERFORMANSLARININ DEĞERLENDİRİLMESİ

Bu bölümde, bitümlü karışımların performansı üzerinde etkili olabilen ölçütlerde göre bir değerlendirme yapılmaktadır. Karayolu üstyapısında genel olarak karışım ve yapısal tasarım olmak üzere iki adet kavram bulunmaktadır. Yapısal tasarımında amaç, asfalt bağlayıcılı tabakanın tabanında oluşan ve asfalt betonu içerisinde çatlamalara sebep olan çekme gerilmelerine ve taban zemini üzerinde oluşan ve basınç deformasyonlarına dayanıklı bir üstyapı tasarım etmektir (Scung, 1993). Karışım tasarımındaki genel düşünce ise karışımın optimize edilmesi ve yapısal tasarım için gereklidataları mantıklı ve doğru tahmin etmektir. Bu şekildeki değerlendirme yöntemlerinin matematiksel yöntemlerle desteklenmesi gerekmektedir.

Asfalt üstyapılarının performansının ölçülmesi, çoğu çalışmada belirtilen üstyapıda oluşabilecek tehlikeli üç duruma göre değerlendirilmektedir. Bunlar;

1. Isıl çatlaklar: yüksek veya düşük sıcaklık çatlakları
2. Yorulma çatlakları,
3. Tekerlek izi veya kalıcı deformasyonlar'dır

Diğer bazı tehlikeli durumlar olan kopolmalar, nemden ileri gelen bozulmalar, sürtünme katsayılarındaki azalma gibi sürüs güvenliğini azaltacak bozulmalar da üstyapının bozulması açısından tehlikeli olabilir ancak bugüne kadar yapılmış olan çalışmalar genelde bu üç tehlikeli durum için yapılmıştır. Tüm bunlara rağmen yük ve çevre şartları bakımından üstyapının performansı veya servis yeteneği indeksindeki azalma ;

- yorulma çatlakları
- ıslık çatlaklar
- kalıcı deformasyon ve
- nemden oluşan bozulma nedenleriyle de olmaktadır.

Asfaltın sertleşmesi veya yaşlanması üstyapı performansı üzerinde büyük etkiye sahiptir. Ayrıca yüzey bozulmaları, kopolmalar, yüzey sürtünmesindeki azalma gibi etkenlerin de değerlendirilmesi üstyapı performansı açısından önemlidir.

Örneğin AASHO'da 20 °C (68 °F)'daki elastisite modülü ile karışım değerlendirilmektedir (AASHO, 1993) Ancak sadece bu değeri, karışımın stabilité, durabilite gibi özelliklerinin değerlendirilmesinde yeterli olmamaktadır ve ayrıca kesin bir sonucun elde edilebilirliği de kesinleştirilmelidir. Bu nedenle üstyapıda oluşan bozulma durumlarını değerlendirmek için farklı malzeme özellikleri ve deney şartları gereklidir.

Bu bölümde, asfalt betonu karışımlarının Yorulma ve Tekerlek İzi performanslarının değerlendirilmesinde kullanılan bazı modeller ve sadeleştirilmelere ait literatür bilgisi verilecektir.

5.1 Yorulma Dayanımı Modelleri

Çoğu tasarım ve değerlendirme yöntemi, uzun dönemli bozulmalar için prosedür olarak yorulma kırılmasını esas almaktadır. Daha önceden de bahsedildiği üzere, yorulma çatlaklarının gelişimi asfalt betonu tabakanın tabanında oluşan çekme gerilmeleri ile ilişkilidir (TRR, 1540).

Yorulma çatlağı bir gerilme olayı olarak göz önüne alınmaktadır. Bu olay malzemenin hemen bozulmasına neden olacak gerilmeden daha düşük olarak çekme gerilmesinin tekrarlı olarak uygulanmasıdır, bunun sonucunda da malzeme içerisinde yorulma çatlakları başlar ve ilerlemeye devam eder. Başlangıç yorulma araştırmalarında, yorulma ömrü çekme deformasyonları arasında, çekme gerilmesi ile olan korelasyonundan daha iyi Korelasyonlar bulunmuştur. Yüksek Korelasyon elde edilen bu ilişkide aşağıda verilmiştir.

$$N_f = a * \left(\frac{1}{\varepsilon_t} \right)^b$$

Nf=Yorulma ömrü

ε_t =Uygulanan çekme deformasyonu

a,b =Laboratuar deneyleri ile belirlenmiş sabitler.

Bu denklem üstyapı tasarım ve analizinde kullanılabilir ve servisteki üstyapıda trafik etkisi ile oluşan çok boyutlu gerilme durumundaki komplekslikten belirlenen ve maksimum teorik çekme deformasyonu olarak farz edilen ε_t bozulmayı belirtir. Bu denkleme, yük frekansı ve karışım sıcaklığındaki değişiklikler de göz önüne almak amacıyla bir karışımın esnekliği terimi ilave edilmiştir. Bu durumda denklem;

$$N_f = a * \left(\frac{1}{\varepsilon_t} \right)^b * (S_{mix})^c$$

Şeklini almaktadır. Burada;

S_{mix} =Karışım esneklik modülü ve

c =Üçüncü kalibrasyon katsayısıdır.

Denklem, uygulanan deformasyonun spesifik bir değeri için kullanılabilir. Servisteki üstyapılar için, deformasyonlar, sonraki yer değiştirmeler, tekerlek basınçları, aks yükleri ve tiplerinden dolayı farklılık göstererek yaniltıcı olabilmektedir. Buna göre karışık yüklerin bozucu etkilerini bir araya getirmek için bazı bağıntılara gerek vardır. Bu bağıntıların en yaygın olanı;

$$N_f = \frac{n_1}{N_{1f}} + \frac{n_2}{N_{2f}} + \dots + \frac{n_i}{N_{if}} + \dots + \frac{n_m}{N_{mf}}$$

dır; burada:

N_f =deformasyon tekerrür oranları toplamı

i =üstyapının kritik kesitinde i . seviyede uygulanan deformasyon

n_i = i . deformasyonun tekerrür sayısı

N_{if} = i seviyedeki deformasyonun, bozmaya sebep olan tekerrür sayısıdır.

Miner Hipotezi olarak adlandırılan lineer eşitlikte tekerrür oranlarının toplamının (N_f) bire ulaşması durumunda üstyapının bu karışık yük uygulaması altında bozulduğu kabul edilir.

Üstyapı sistemlerinin yorulma performansını tahmin edebilmek amacıyla, yukarıda verilen iki genel denklem esas alınarak çeşitli yorulma modelleri geliştirilmiştir.

Nottingham araştırmacıları eğilme deformasyonu ile, kırılmaya sebep olan yükleme sayısı, asfalt muhtevası ve halka ve bilye yumuşama noktası arasında genel bir ilişki kurmuşlardır.

$$\log \varepsilon_t = \frac{14,39 \log V_B + 24,2 \log T_{RB} - 40,7 - \log N}{5,13 \log V_B + 8,63 \log T_{RB} - 158}$$

ε_t = Müsaade edilebilir eğilme deformasyonu (μ)

N= Kırılmaya sebep olabilecek yükleme sayısı

V_B = Asfalt bağlayıcısının hacmi (%)

T_{RB} = Halka ve bilye yumuşama noktası, $^{\circ}\text{C}$

Shell ise yorulma deformasyonunu aşağıdaki bağıntı ile ifade etmiştir:

$$\varepsilon_t = (0,856 * V_B + 1,08) * S_{\text{mix}}^{-0,36} * N^{-0,2}$$

ε_t = Müsaade edilebilir eğilme deformasyonu (10^{-5})

N= Kırılmaya sebep olabilecek yükleme sayısı

V_B = Asfalt bağlayıcısının hacmi, (%)

S_{mix} = Belirli yükleme zamanı ve ıstdaki karışımın rijitliği; karışım içindeki agreya ve asfaltın rijitliklerinden ve yüzdelerinden hesaplanabilir (psi)

Asfalt Enstitüsü tarafından ise aşağıda yer alan bağıntı bulunmuştur.

$$N = 18,4 * C * (4,325 * 10^{-3} * (\varepsilon_t)^{-3,291} * (S_{\text{mix}})^{-0,854})$$

ε_t , N ve S_{mix} yukarıdaki bağıntılarla aynıdır. C terimi ise aşağıdaki denklemden elde edilmiştir.

$$C = 10^M$$

$$M = 4,84 * \left[\frac{V_B}{V_B + V_V} - 0,69 \right]$$

Burada:

V_V = Hava boşluğu hacmi (%)

AAMAS'de ise ;

Yorulma sabitleri a ve b, esneklik modülü, dolaylı çekme mukavemeti gibi malzeme özellikleri ile ilişkilidir. Esneklik modülünden a ve b katsayılarının tespitine yönelik olarak geliştirilen model ise;

$$K_1 = K_{1R} * \left(\frac{E_R}{E_{Rr}} \right)^{-4}$$

$$n = 1,75 - 0,252 * \log K_1$$

K_{1R} =Referans Katsayı ($7,87 * 10^7$)

E_{Rr} =Referans elastisite modülü (500.000 psi)

E_R =Seçilen sıcaklık için elastisite modülü

Şeklindedir.

Bütün bu bağıntılarda asfaltın tüm özellikleri halka-bilye deneyindeki yumuşama noktası veya asfalt rijitliği ile ifade edilmiştir. Bunun yanında bu bağıntıların sadece bir yaklaşım olduğu söylenebilir ve bu yöntemler üstyapı tasarımları ve performanslarının değerlendirilmesi amacıyla kullanılmalıdır.

5.2 Tekerlek İzi Oluşumu Modelleri

Üstyapıda oluşan tekerlek izi tipleri;

- Tek boyutlu yoğunlaşma
- Asfaltta oluşan daha sonraki hareketler ve plastik akmalar

olmak üzere iki şekilde oluşmaktadır. Asfalt betonu malzemelerinin biçim değişimi ve tekerlek izi oluşumları, trafik altında sıkışmadan daha ziyade karışımının kayma mukavemetindeki kayıp ve daha sonradan oluşan akma ile ilişkilidir. Laboratuarda bu olayın tanımlanması için çeşitli ekipmanlar geliştirilmiştir. Ancak bunların başarı oranları farklılık göstermekte veya değişken olmaktadır.

Yüksek boşluklu karışımlarda trafik sıkıştırması nedeniyle ortaya çıkabilecek tekerlek izi oluşumları dikkate alınmaz. Çünkü karışımın arazide uygulanmasının mühendislik ve inşa şartlarına uygun olarak yapılacağı ve sıkıştırmanın başarılı olacağı düşünülür.

Asfalt betonu karışımların esneklikleri kullanılarak, tekerlein hareket edeceği hat üzerinde olusacak olan tekerlek izi veya kalıcı deformasyonun seviyesi “tekerlek izi oranı” denklemi ile tahmin edilebilir. Bu denklemlerden biri (Tompson, 1990);

$$RR = A * N^m \quad \text{dir. Burada;}$$

RR=Tekerlek izi oranı (veya numune yüksekliğindeki değişme)

N= Yükün Tekerrür sayısı

A,m=Regrasyon katsayılarıdır.

Diğer bir yaklaşım ise;

$$\log \varepsilon_p = \log A + m * \log N \quad \text{dir. Burada da;}$$

ε_p =Toplam kalıcı deformasyon

N= Yük tekerrür sayısı

A,m=Regresyon katsayılarıdır.

Bu denklemde A ve m katsayıları Statik Sünme deneyi yardımıyla da bulunabilmektedir.

$$A = a * (t_i)^{m_c} - \varepsilon_{rl}$$

$$m = \frac{\log a + 3,5563 * m_c + \log(l - X) - \log[a * (0,1)^{m_c} - \varepsilon_{rl}]}{4,5563}$$

m_c =Statik sünme eğrisinin doğru olduğu kesimdeki eğim

a=sünme-zaman eğrisinin 1. saniyesindeki sünme deformasyonu miktarı

t_i = Yükleme süresi (sn)

ε_{rl} =Tekrarlı sünme deneylerinde oluşan toplam geriye dönen deformasyon

X=Geri dönme kabiliyetidir.

5.3 Karışım Performansının Değerlendirilmesinde Uygulanan Bazı Deneyler

Yukarıda sıralamış olduğumuz modellerde kullanılan parametrelerin bulunmasında uygulanan deneyler aşağıda kısaca açıklanmaktadır.

5.3.1 Bitümlü Karışımların Dolaylı Çekme Mukavemeti

Bu metot bitümlü karışımın dolaylı çekme mukavemeti özelliklerinin tespitini içerir ve dolaylı çekme mukavemeti bitümlü karışımın ısı ve yorulmadan dolayı oluşan çekme gerilmelerini karakterize eder.

Bu deney sonucunda bulunan dolaylı çekme mukavemeti değeri ve bozulma deformasyonu, bitümlü karışımın yorulma çatlaklarının oluşma potansiyeli ve karışımın optimum bitüm muhtevasının belirlenmesinde kullanılır. Deney standartı olarak birimler inch ve pound olarak hesaplanır. Bu yazında birimlerin yanında parantez içerisinde yer alan değerler diğer birim hakkında bilgi edinilmesi amacıyla verilmiştir.

- Deneyin Özeti

Silindirik asfalt numunesine yüze dik doğrultuda; sabit bir deformasyon altında bozuluncaya kadar bir basınç yükü uygulanır. Deney aşamasında bozulma uygulanan yükte bir artışın olmadığı veya en büyük yükün oluştuğu zaman olarak tanımlanır ve numunenin dayanım göstermiş olduğu en büyük yük dolaylı çekme mukavemeti olarak alınır. Deney aşamasında yatay ve düşey yönde oluşan yer değiştirmeler de tespit edilir.

Önemi ve Kullanımı

Dolaylı çekme mukavemeti ve bozulma deformasyonu değerleri, üstyapı tasarımda ve bitümlü karışımın kalitesinin değerlendirilmesinde kullanılır. Bu deneyden elde edilen bu

değerler karışımın sıcaklık, nem ve farklı dingil yükleri karşısında göstermiş olduğu davranış hakkında bilgi edinmek amacıyla da kullanılabilir.

Tüm bu amaçlar ile bu deneyin uygulanmasının yanı sıra bitümlü karışımı oluşturan malzemelerin bir yol üstyapı malzemesi olarak kullanılabilirliği hakkında bilgi edinmek amacıyla yapılmaktadır.

Bu deneye ekipman olarak Marshall Stabilitesi Deney Aleti ve Dolaylı Çekme Gerilmesi Deney (ASTM D4123) ekipmanları kullanılır.

-Deney Numunelerinin Hazırlanması

Deney numuneleri Marshall Tasarım Deneyine uygun olarak üretilirler. Deneyde 4" (10 cm) çaplı numuneler kullanılıyor ise numune min 2" (5 cm) yüksekliğinde ve $D_{max} < 1"$ (2,5 cm) olmalıdır.

-Deneyin Yapılışı

-Numunelerin deney öncesinde birim hacim ağırlıkları tespit edilir.

-Numuneler istenen sıcaklıkta $\pm 1^{\circ}\text{C}$ sıcaklık kontrollü bir hücreye yerleştirilir ve deney sıcaklığına gelinceye kadar beklenir. Eğer numunelerin gerçek sıcaklıklarını ölçülemiyor ise numuneler sıcaklık kontrollü hücrede 12 saat boyunca bekletildikten sonra deneye tabii tutulurlar.

- Numuneler deney ekipmanına yerleştirilir.

- Ön hazırlık amacıyla numunelere yarı sinüzoidal yük uygulanır ve numunelerin yük doğrultusuna dik eksenleri işaretlenir.

- Ön hazırlık deney sonucunda yatay eksen boyunca oluşan deformasyonlar ölçülür ve numunelerin elastisite modülleri tespit edilir.

- Deney esnasında yük,. deformasyon miktarı 25 °C sıcaklı ve daha üzerindeki sıcaklıklarda dakikada 2” (5 cm) ve 10 °C ve daha düşük sıcaklıklarda ise dakikada 0,05” ve 0,065” (1,27 ve 1,65 cm) olacak şekilde uygulanır.
- Deney esnasında numuneye uygulanan yük ve yatay ve düşey doğrultuda oluşan deformasyonlar yükleme zamanının tamamında kaydedilir. Yatay ve düşey deney ekipmanında bir bozulmanın oluşmaması için numunenin kırılmasından önce deneyin durdurulması önerilir.

-Hesaplamalar

$$St = \frac{Pf}{h} * 0,156$$

Dolaylı Çekme Mukavemeti St (psi)

Pf= Numunenin bozulduğu andaki yük (pound)

h= Numune yüksekliği (inch)

Poisson's Oranı γ

$$\gamma = \frac{DR * 0,0673 - 0,8954}{DR * (-0,2494) - 0,156}$$

$$DR = \frac{Yt}{Xt}$$

Yt= Düşey deformasyon

Xt= Yatay deformasyon

Elastisite Modülü (E)

$$E = \frac{Sh}{Xt} * (0,2692 + \gamma * 0,9974)$$

$$Sh = \frac{P}{Xt}$$

Çekme Deformasyonu ε_t (mikron)

$$\varepsilon_t = \Delta h * \left[\frac{0,03896 + \gamma * 0,1185}{0,0673 + \gamma * 0,2496} \right]$$

Δh =Toplam yatay deformasyon

Basınç Deformasyonu ε_c (mikron)

$$\varepsilon = \Delta v * \left[\frac{-0,1185 - \gamma * 0,03896}{-0,8954 + \gamma * 0,156} \right]$$

Δv =Toplam düşey deformasyon

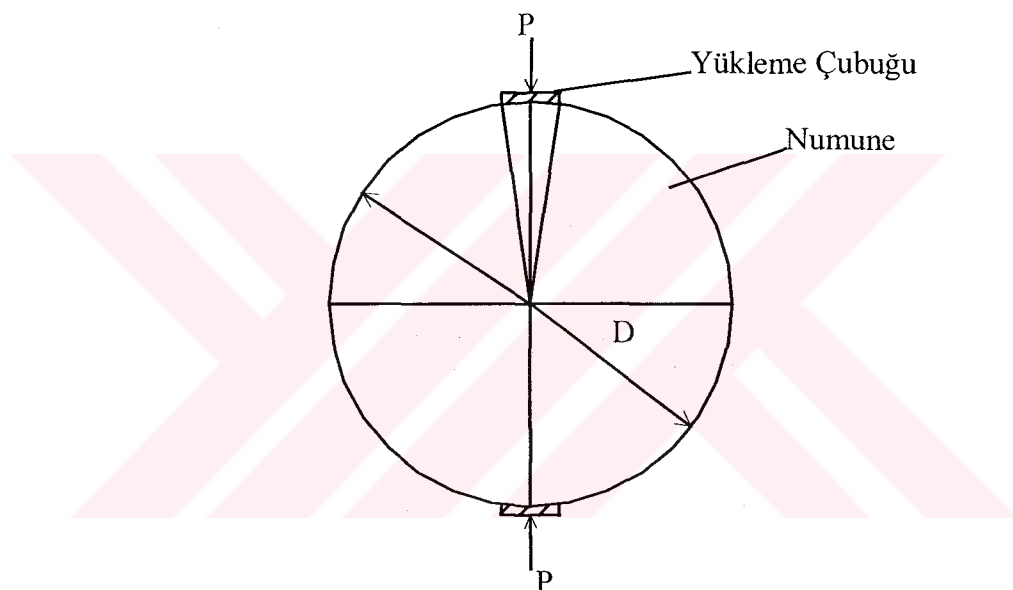
5.3.2 Bitümlü Karışımının Elastisite Modülü için Dolaylı Çekme Deneyi

Bu metotta amaç, tekrarlı yüklemeli dolaylı çekme deneyi yardımıyla laboratuarda hazırlanmış veya karot numunelerinin elastisite modülü değerini tespit etmektir. Deney, farklı sıcaklıklar ($5, 25, 40^{\circ}\text{C}$) ve yükleme periyotları altında yapılmaktadır. Deneyde her bir sıcaklık ve yükleme periyodu için numunelere ait elastisite modülü değerleri belirlenir.

Elastisite modülü değerleri, malzemelerin relatif kalitesini değerlendirmesinin yanı sıra kaplama tasarımları, değerlendirme ve analizleri için girdi üretmeye yaramaktadır. Bu deney sayesinde sıcaklık, yükleme miktarı ve süresi gibi etkileri araştırılabilmektedir.

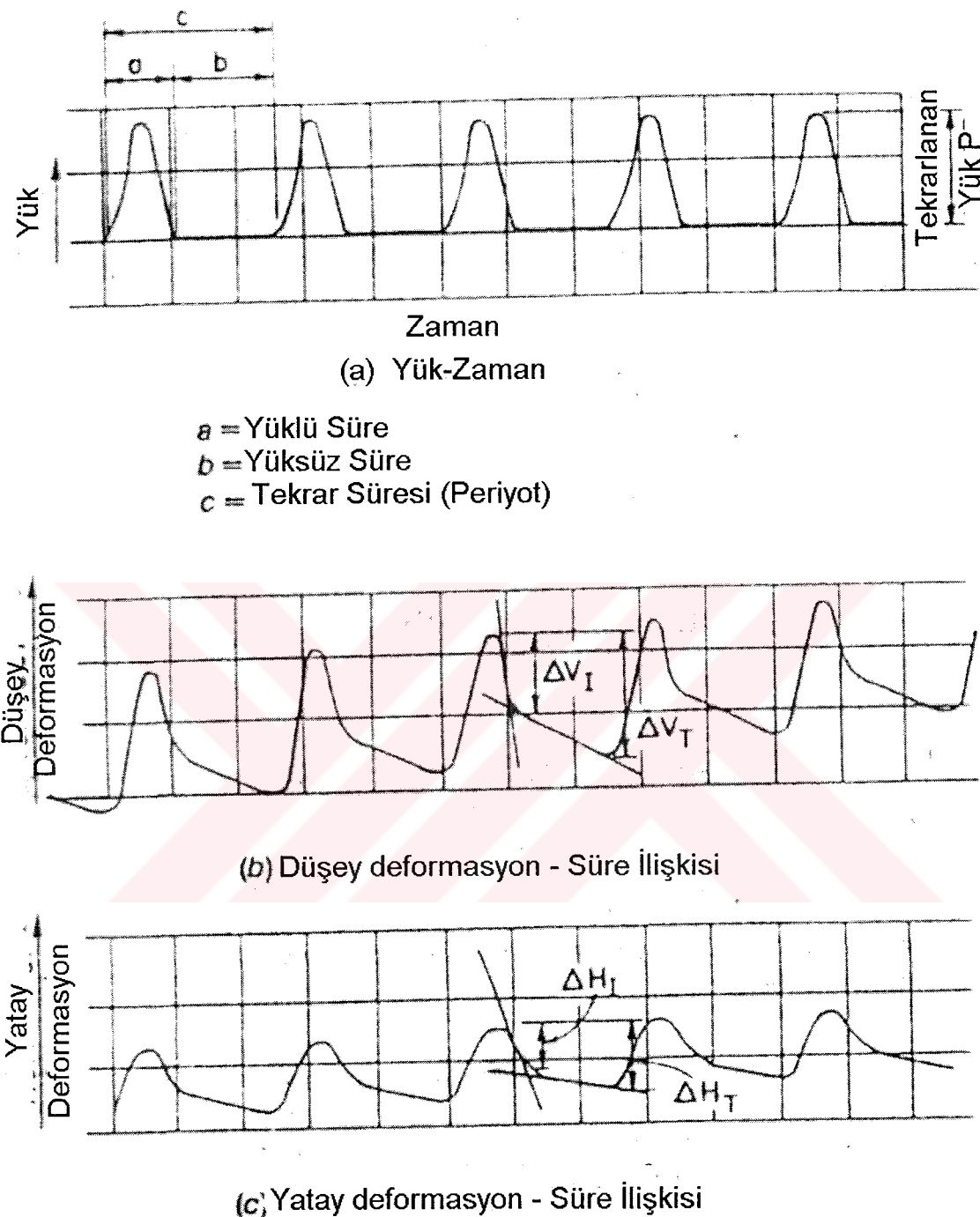
-Deneyin Özeti

Bitümlü karışımının dolaylı çekme gerilmesi deneyi ile elastisite modülü değerlerinin tesbit edilmesinde numunelere yarı sinüzoidal (haversin) bir formda basınç yükü uygulanması suretiyle yapılır. Yük, silindirik asfalt numunesi üzerine düşey olarak uygulanır (Şekil 5.1)



Şekil 5.1 Dolaylı Çekme Deneyi

Şekil 5.2 ‘de verilen süre-yük eğrisine uygun olarak yapılan deney sonucunda numunenin nihai yatay deformasyonu ölçülür ve bir poisson oranı kabul edilerek numunenin elastisite modülü hesaplanır.



Şekil 5.2. Yükün uygulanma ve deformasyon şekli

-Deneyin Yapılışı

-Numuneler sıcaklık kontrollü hücreye yerleştirilerek belirlenen sıcaklığa gelmesi için 24 saat beklenir. Numunelerin istenen sıcaklığa gelip gelmediği kukla numune içerisinde yerleştirilen bir derece ile tespit edilir.

-Numuneler deney ekipmanına yerleştirilir.

-Ön hazırlık yüklemesi yapılarak numunenin yerleşmesi sağlanır.

-Numuneye dolaylı çekme mukavemeti değerinin % 10'u ile 50'si arasında değişen bir yük belirlenen bir periyot boyunca beş kez yarısınüzoidal (haversin) olarak uygulanır ve numune içerisinde oluşan yatay ve düşey deformasyonlar ölçülür.

-Deney aşamasında yük tekerrüründe 0,33, 0,5 ve 1 Hz'lik frekansların uygulanması önerilmektedir.

-Elastisite modülü değeri için bir numuneye iki defa deney uygulanır. İlk deney tamamlandıktan sonra numune 90° döndürülerek ikinci kez deneye tabii tutulur ve elastisite modülü değeri olarak iki deney sonucunun ortalaması alınır.

-Deneyin tahribatsız olması nedeniyle, bir numuneye birden daha fazla deney yapılması imkanı vardır. Bu nedenle numunede kalıcı deformasyonları azaltmak için deneye en düşük sıcaklıklarda, en kısa yükleme süresi ve en düşük yük ile başlanmalıdır.

-Hesaplamalar

Her bir deney sonucu için Elastisite modülü değerleri, daha önceden de bahsedildiği şekilde;

$$E = \frac{P * (\nu + 0,27)}{h * \Delta h}$$

E=Elastisite Modülü Mpa)

P=Uygulanan yük (kN)

ν =Poisson oranı

h=numune yüksekliği (in.)

Δh =Geri dönen deformasyon

denklemi ile hesaplanır.

5.3.3 Bitümlü Karışımların Sünme Modülü Deneyi

Bu deneyde yoğun gradasyonlu sıcak karışımların dairesel ve tek eksenli basınç yüklemesi altında sünme modülü değerlerinin belirlenmesini içerir. Tek eksenli basınç deneyi asfalt betonu karışımının tekerlek izi oluşumuna karşı direnimlerini değerlendirmek amacıyla kullanılmaktadır.

Bu deney yöntemi yoğun asfalt karışımılarına ve karot numunelerine uygulanabilir.

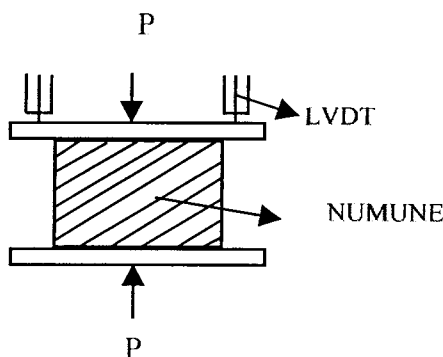
Bu deneyden elde edilen sünme modülü değeri,elastik teori veya nonelastik teori yardımıyla ısı ve dingil yüklerine maruz bulunan asfalt betonu karışımının ,düşük sıcaklıklardaki çatlama potansiyeli veya tekerlek izinin hesaplanması ve rıjtliğinin tahmininde kullanılabilir.

-Deneyin Özeti

A. Tek Eksenli Basınç;

Sabitlenmiş bir zaman boyunca, sabit büyülükte bir yük, sıkıştırılmış silindirik numune üzerine uygulanır. Numunenin tek eksen boyunca deformasyonları ölçülür ve yükün üzerinde bulunduğu sürenin herhangi bir parçası için bir basınç sünme modülü hesaplanır.

Üzerine uygulanan yükün kaldırılmasından sonra, belirli bir süre içinde geri dönen deformasyon ölçülür. Şekil.5.3'de tek eksenli basınç deneyi verilmiştir.



Şekil.5.3 Tek Eksenli Basınç

B. Dolaylı Çekme;

Sabit bir yük, belirli bir zaman boyunca, Şekil 5.1'de gösterildiği şekilde numuneye numuneye uygulanır. Numunenin yatay deformasyonu ölçülür ve numunenin dolaylı çekme sünme modülü hesaplanır. Yükün kaldırılmasından sonra, belirli bir süre içinde geri dönen deformasyon ölçülür.

-Önemi ve Kullanımı

Sünme modülü değeri, numunelerin değerlendirilmesi yanında üstyapı tasarıminda ve değerlendirme modellerinde kullanılabilir. Deney, sıcaklık etkisinin, yük büyüklüğünün, bağlayıcı muhtevasının ve sünme yükleme zamanının etkisinin değerlendirilmesinde de kullanılabilmektektir. Tek eksenli silindirik numuneler, bir basınçla maruz bırakılarak veya bırakılmaksızın da test edilebilirler.

Sünme modülü, karışımın fizikal özelliklerini ile birlikte değerlendirilirse karışımın karakterize edilmesine de yardımcı olabilir ve ayrıca verilen bir trafik ve çevre şartları altında karışımın bir karayolu malzemesi olarak uygunluğu hakkında bilgi edinmek amacıyla da kullanılabilir.

Deney esnasında gerekli ekipmanlar aşağıda sıralanmıştır.

- Eksenel yükleme ekipmanı
- Sıcaklık hücresi
- Deformasyon ölçüm ekipmanı
- Yük ölçüm ekipmanı
- Kayıt ekipmanı

-Deney Numunelerinin Hazırlanması

Deney numuneleri Marshall Tasarım Deneyine uygun olarak üretilirler. Deney numunelerinin minimum yüksekliği 6" (15 cm) olmalıdır.

-Deneyin Yapılışı

- Numunelerin deney öncesinde birim hacim ağırlıkları tespit edilir.
- Numuneler istenen sıcaklıkta $\pm 1^{\circ}\text{C}$ sıcaklık kontrollü bir hücreye yerleştirilir ve deney sıcaklığına gelinciye kadar beklenir. Eğer numunelerin gerçek sıcaklıklarını ölçülemiyor ise numuneler sıcaklık kontrollü hücrede 12 saat bekletildikten sonra deneye tabi tutulur.
- Numuneler deney ekipmanına yerleştirilir.
- Sabitlenmiş olan numunenin bozulmasına sebep olan yükün %5 ile %25 arasındaki basınç yükü uygulanır.
- Yarı sinüzoidal ön hazırlık gerilmesi 1 sn'lik periyotta 0,1 rise time , 0,9 rest time olacak şekilde uygulanır.
- Ön hazırlık sonunda geri dönen düşey deformasyon ölçülür ve buradan da elastisite modülü hesaplanır.
- Ön hazırlık yükünün sıfıra inmesi ile, $\pm 2\%$ lik hata ile sabitlenmiş yük uygulanır.
- Tüm yükleme süresince düşey deformasyonlar kaydedilir. Yük 60 dakika ± 15 sn boyunca uygulanır.
- Sabitlenmiş yükün 60 dakika boyunca uygulanmasının ardından, geri dönen deformasyonun ölçülmesi için ilave bir 60 dakika yük uygulanmaksızın düşey yer değiştirmeler ölçülür.

-Hesaplamalar

Her bir numunenin 1, 10, 100, 1000 ve 3600 sn' deki Sünme Modülü Değerleri hesaplanır. İlave olarak karışımların değerlendirilmesi için deformasyon-süre eğrisi de çizilebilir.

Tek eksenli basınç numunelerine ait hesaplamalar aşağıda verilmiştir.

$$Ecq(t) = \frac{\sigma_c}{\varepsilon_c(t)}$$

$Ecq(t)$ = t anındaki sünme modülü (psi)

σ_c = Numunelere uygulanan basınç gerilmesi(psi)

$\varepsilon_c(t)$ = t anında tek eksende oluşan deformasyon (in/ in)

$$\varepsilon_c(t) = \frac{\Delta v(t)}{l}$$

l = Numune yüksekliği (in.)

$\Delta v(t)$ = t anında düşey yönde oluşan yer değiştirmeye (in)

-Dolaylı Çekme Gerilmesi Numunelerine Ait Hesaplamalar Aşağıda Verilmiştir.

$$Ect(t) = \frac{\sigma_c}{\varepsilon_t(t)}$$

σ t= Numuneye uygulanan dolaylı çekme gerilmesi değeri

$$\sigma_t = \frac{P}{h} * 0,156$$

P = Numuneye uygulanan yük

$\varepsilon_t(t)$ = Sünme deformasyonu (in / in)

$$\varepsilon_t(t) = \Delta h(t) * \frac{(0,03896 + \nu * 0,1185)}{(0,0673 + \nu * 0,2494)}$$

$\Delta h(t)$ = t anındaki yatay yer değiştirmeye (in)

v= poisson oranı

X= Numunenin geriye dönüş kabiliyeti

$$X = \frac{\Delta r(3600)}{\Delta vh(3600)}$$

Δr (3600)= Deney sonunda tek eksenli basınç deneyinde geriye dönen düşey deformasyon veya dolaylı çekme deneyi için geriye dönen yatay deformasyon (yükün uygulandığı 2. 3600 sn 'deki)

Δvh = Tek eksenli deneydeki düşey veya dolaylı çekme deneyindeki yatay deformasyon. Yüklü sürenin yani 1. 3600 sn 'nin sonundaki deformasyonlar.

6. ÇALIŞMADA KULLANILAN MALZEMELER VE UYGULANAN DENEYLER

6.1 Giriş

Asfalt betonu karışımlar agrega ve bitümlü bağlayıcı olmak üzere iki ana bileşenden meydana gelmektedir. Ayrıca karışımın dış etkilere karşı olan (çevre, trafik v.b.) performansını iyileştirmek amacıyla karışımıma çeşitli katkı maddeleri ilave edilmektedir.

Bu bölümde,

- çalışmada kullanılan malzemeler ve özellikleri
- karışım Tasarımı
- karışımın dolaylı çekme ve sünme özellikleri

deneysel olarak incelenmiştir.

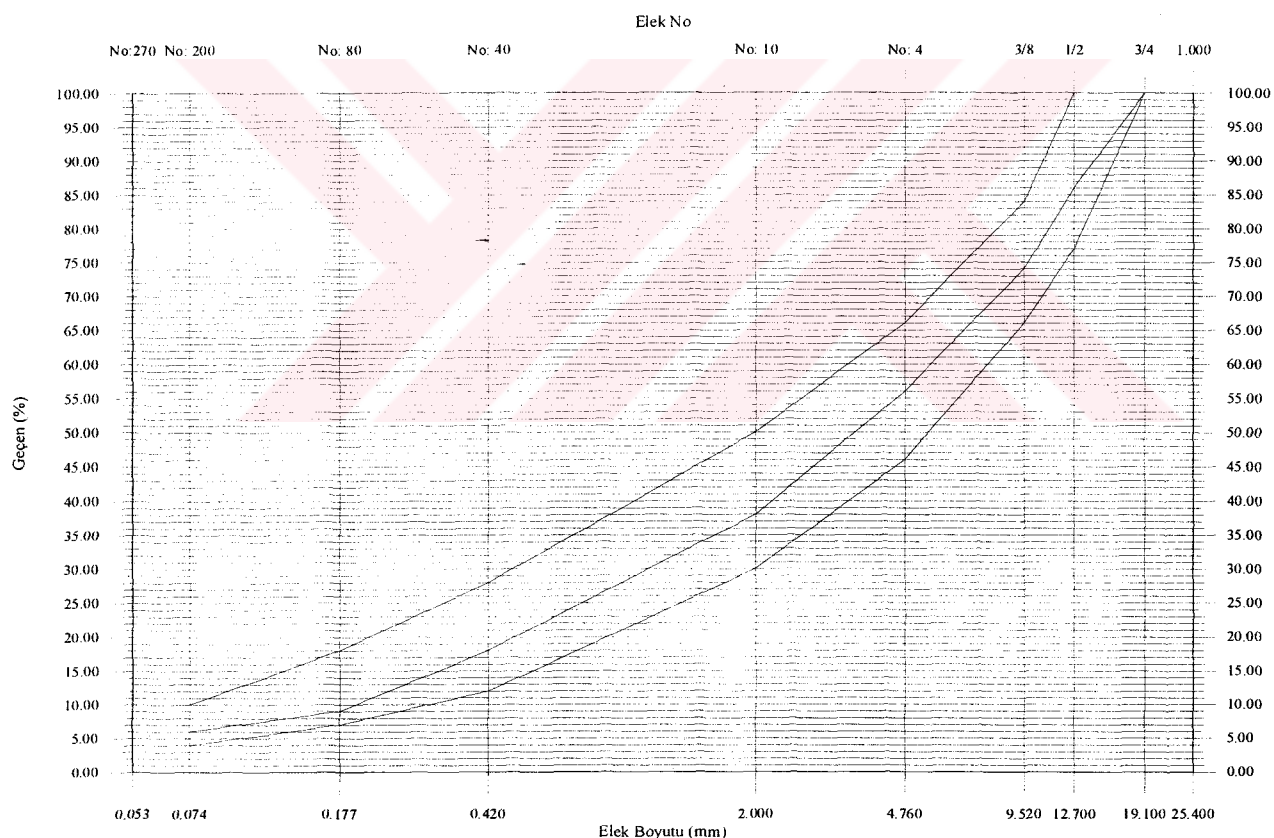
6.2 Çalışmada Kullanılan Malzemeler

6.2.1 Agrega

Çalışmada Ömerli-Orkisan Taş Ocağı'ndan temin edilen aggregadan Çizelge 6.1'de verilen T.C.K. Aşınma Tabakası Tip 2 Şartnamesine uygun agrega karışımı kullanılmıştır (TCK, 1994). Ayrıca agrega gradasyonu Şekil 6.1'de verilmiştir.

Çizelge 6.1 Agrega Gradasyonu

| Elek Boyutu | | Şartname Sınırları | | Geçen (%) | Kalan (%) | Elekler Arası | |
|-------------|-------|--------------------|-----|-----------|-----------|---------------|------|
| No | mm | Üst | Alt | | | (%) | (gr) |
| 3/4" | 19,1 | 100 | 100 | 100 | 0 | 14 | 154 |
| 1/2" | 12,7 | 100 | 77 | 86 | 14 | 12 | 132 |
| 3/8" | 9,52 | 84 | 66 | 74 | 26 | 18 | 198 |
| No. 4 | 4,76 | 66 | 46 | 56 | 44 | 18 | 198 |
| No. 10 | 2,0 | 50 | 30 | 38 | 62 | 20 | 220 |
| No. 40 | 0,42 | 28 | 12 | 18 | 82 | 9 | 99 |
| No. 80 | 0,177 | 18 | 7 | 9 | 91 | 3 | 33 |
| No. 200 | 0,074 | 10 | 4 | 6 | 94 | 6 | 66 |
| | | | | | | 100 | 1100 |



Şekil 6.1 Agrega Gradasyonu

Yukarıda verilen gradasyona uygun olarak hazırlanan agrega karışımlarının Kaba, İnce ve Filler olmak üzere ayrı ayrı Özgül ağırlık deneyleri yapılmıştır. Deneylerden elde edilen sonuçlar Kaba ve İnce agrega için Çizelge 6.2'de verilmiştir.

Çizelge 6.2 Kaba ve İnce Agrega Özgül Ağırlıkları

| | Kaba | İnce |
|---|-------|-------|
| Hacim Özgül Ağırlığı-Kuru (gr/cm ³) | 2,695 | 2,666 |
| Hacim Özgül Ağırlığı-Doygun Yüzey (gr/cm ³) | 2,708 | 2,688 |
| Zahiri Özgül Ağırlık (gr/cm ³) | 2,730 | 2,729 |
| % Su emme | 0,47 | 0,88 |

Filler Özgül Ağırlığı ise **2,747 gr/cm³** olarak bulunmuştur.

6.2.2 Bağlayıcı

Bu çalışmada bağlayıcı olarak TÜPRAŞ rafinerisinden temin edilen 75/100 penetrasyonlu bitümlü bağlayıcı kullanılmıştır. Bitüm standart asfalt deneylerine tabii tutulmuş ve deneylerden elde edilen sonuçlar Çizelge-6.3'de verilmiştir.

Çizelge 6.3 Bitümlü Bağlayıcı Özellikleri

| | |
|---|-------|
| Penetrasyon, 25 °C, 100 gr, 5 s (1/10 mm) | 79 |
| Birim Hacim Ağırlık (gr/cm ³) | 1,019 |
| Parlama Noktası (°C) | 210 |
| Düktilite, 25 °C, 5 cm/min | +100 |
| Yumuşama Noktası (°C) | 52 |

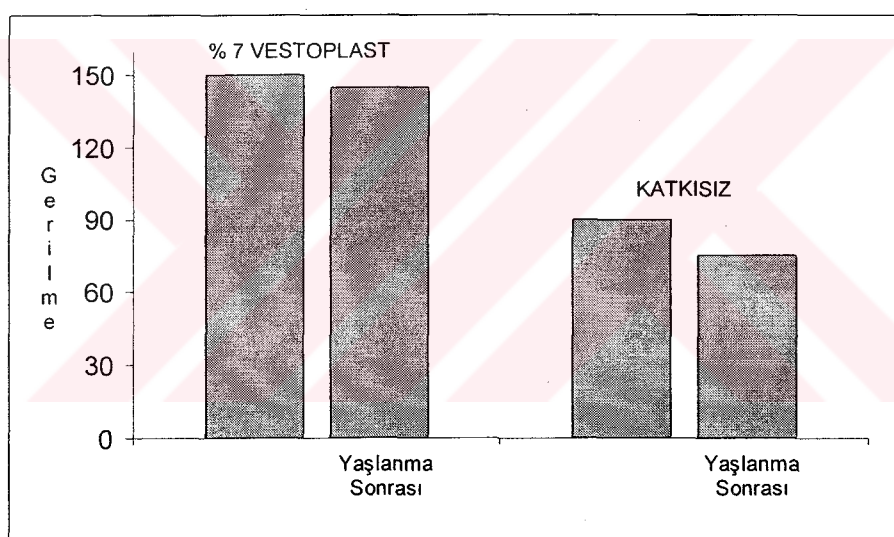
6.2.3 Katkı malzemesi

Çalışmanın içeriği bakımından katkı malzemesinin cinsinin öneminin bulunmaması nedeniyle değerlendirmede, deneysel aşamada laboratuarda yeteri miktarda bulunması nedeniyle katkı malzemesi olarak Vestoplast kullanılmıştır. Plastomer grubunda bulunan vestoplast etan-propan-buten'den oluşan bir amorf polyafoalafındır (Müller, 1997). Ürün çeşitleri olarak karışım katkı malzemesi olan Vestoplast S ve Vestoplast SR, bitüm katkı

malzemesi olan Vestoplast L ve emülsiyon katkı malzemesi olan Vestoplast E bulunmaktadır. Çalışmada karışım katkı malzemesi olan Vestoplast S tipi, ürün broşürlerinde önerildiği şekilde karışımıma bitüm ağırlığının % 7'si oranında ilave edilerek deneylere tabii tutulmuştur.

Malzemenin katılması ile karışımın, yapışma gücü artar ve gerilmelere karşı göstermiş olduğu direnim yükselir. Bu özelliğinden dolayı çok ağır trafik yüküne rağmen Vestoplast katkılı asfalt çok yüksek bir deformasyon mukavemeti göstermektedir. Diğer bir avantaj ise bağlayıcının ısıya karşı olan hassasiyetinde getirmiş olduğu iyileştirmidir (Marl, 1996).

Vestoplast katkı malzemesinin karışımın mukavemeti üzerine getirmiş olduğu iyileştirme Şekil 6.2'de verilmiştir.



Şekil 6.2 % 7 Vestoplast katkılı karışım ve geleneksek karışımın mukavemetlerinin karşılaştırması

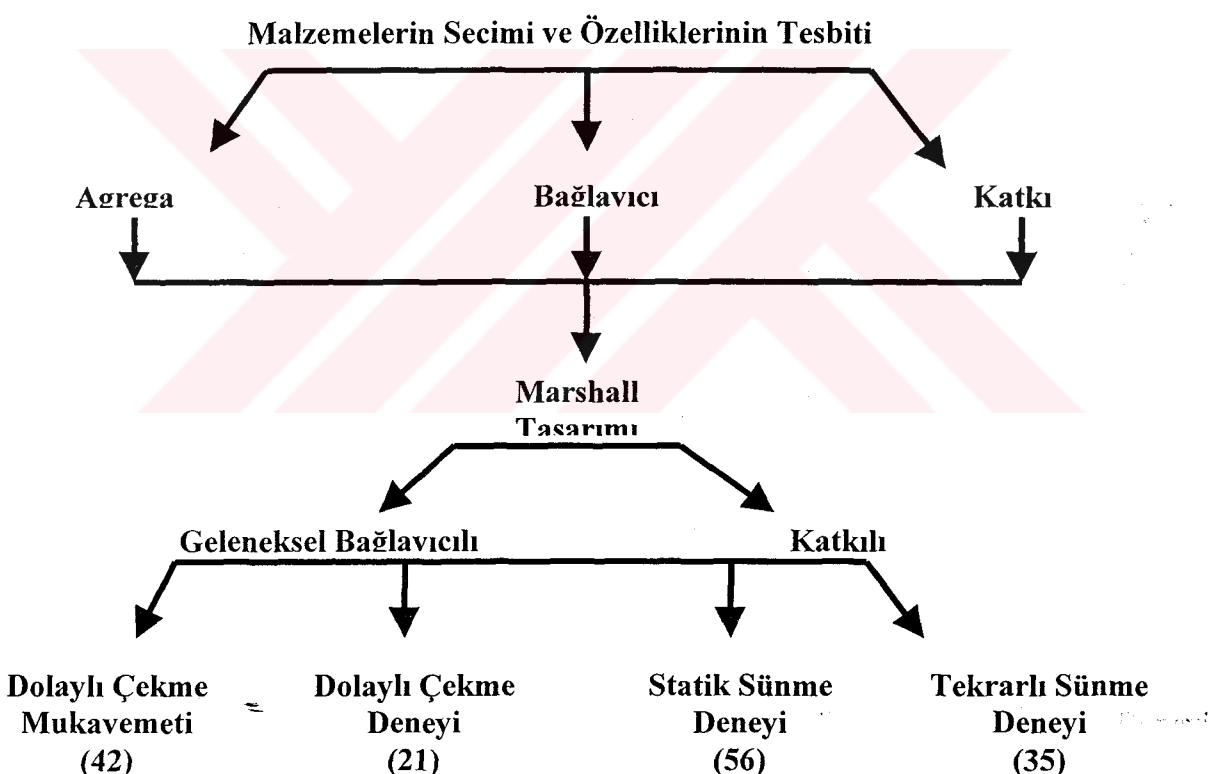
6.3 Karışma Uygulanan Deneyler

6.3.1 Giriş

Bu çalışmada, hazırlanan karışım değişkenlerinin karışımın stabilite, yorulma ve tekerlek izi oluşumu performansı üzerine olan etkilerini değerlendirmek amacıyla;

- Marshall Tasarımı
- Dolaylı Çekme Mukavemeti
- Dolaylı Çekme Deneyi
- Statik Sünme Deneyi
- Tekrarlı Sünme Deneyi

deneyleri yapılmıştır. Bu deneylerden elde dilen sonuçlar ve deneylerin değerlendirilmesi aşağıda verilmiştir. Ayrıca Şekil 6.3'de deneylerin uygulama sırası, parantez içerisinde ise her bir deney için hazırlanan numune sayıları gösterilmiştir.



Şekil 6.3 Karışım Deneyleri Akış Şeması ve Numune Sayıları

6.3.2 Marshall Tasarım Deneyi

Agrega ve bitümlü bağlayıcıdan meydana gelen asfalt betonu karışımlarının optimum bitüm muhtevasının belirlenmesi amacıyla karışımlara, ülkemizde yoğun olarak kullanılmakta olan Marshall Tasarım Deneyi, ASTM D-1559 standartına uygun olarak uygulanmıştır.

Bu deneyde, Marshall Cihazı yardımıyla bitümlü karışımın plastik akma direnci tayin edildikten sonra hesaplara geçirerek asfalt çimentosu yüzdesi ile pratik birim ağırlık, stabilité, asfaltla dolu boşluk, boşluk yüzdesi ve akma ilişkileri çıkartılır. Elde edilen değerlerin şartname sınır değerleri kontrol edildikten sonra optimum asfalt çimentosu yüzdesi tayin edilir.

Deney numuneleri, her bir deney grubu ayrı olmak üzere aynı asfalt çimentosu (AC) yüzdesi için üç adet olarak hazırlanmıştır. Karışımlarda kullanılan (AC) yüzdeleri %4-6,5 arasında değiştirilmiştir.

Karıştırma sıcaklığı 180 °C, sıkıştırma sıcaklığı ise 150 °C olarak alınmıştır. Karıştırma işlemi, önce ısıtılan agreganın kuru olarak karıştırılması, daha sonra ortasına açılan çukura belirlenen sıcaklıkta AC konularak, aggrega bitümlü malzeme ile iyice sarılıncaya kadar mikserde karıştırılması ile tamamlanmıştır.

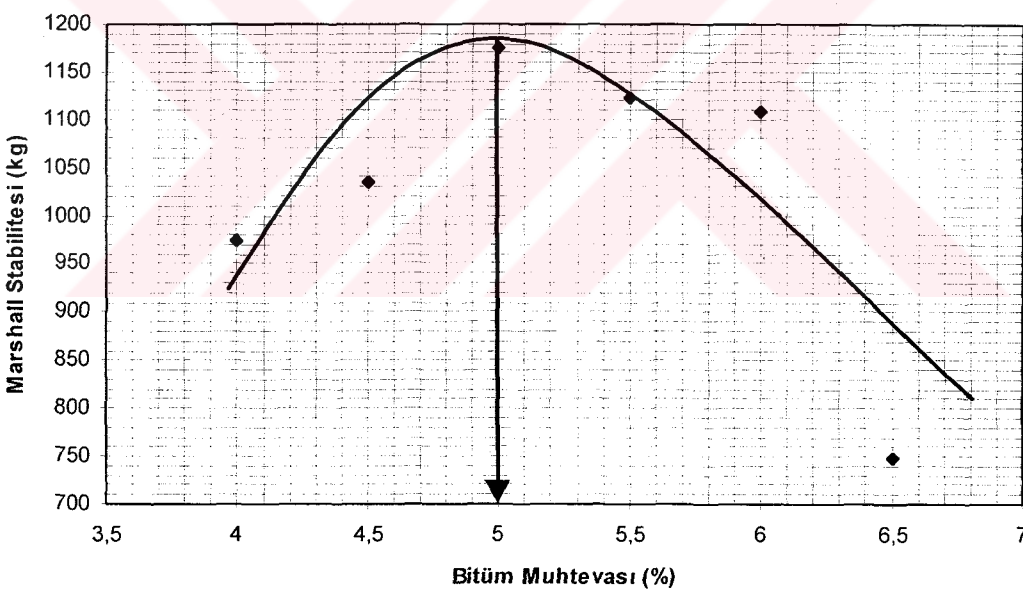
Hazırlanan sıcak karışım kalıp içerisinde aktarıldıktan sonra 15 defa kenarı, 10 defa da ortası şişlenmiş numune üzerine filtre kağıdı konulduktan sonra sıkıştırma tokmağı 457 mm'den serbest olarak düşürülerek 50 darbelik sıkıştırma enerjisi uygulanmıştır. Aynı işlem, numune ters çevrilerek de tekrarlanmıştır.

Hazırlanan numuneler numune çıkartma cihazı ile kalıptan çıkartılarak laboratuar sıcaklığında 1 gün bekletildikten sonra havada ve suda (25 °C) tartıları alınmış ve yükseklikleri 3 ayrı yerden kumpasla ölçülmüştür.

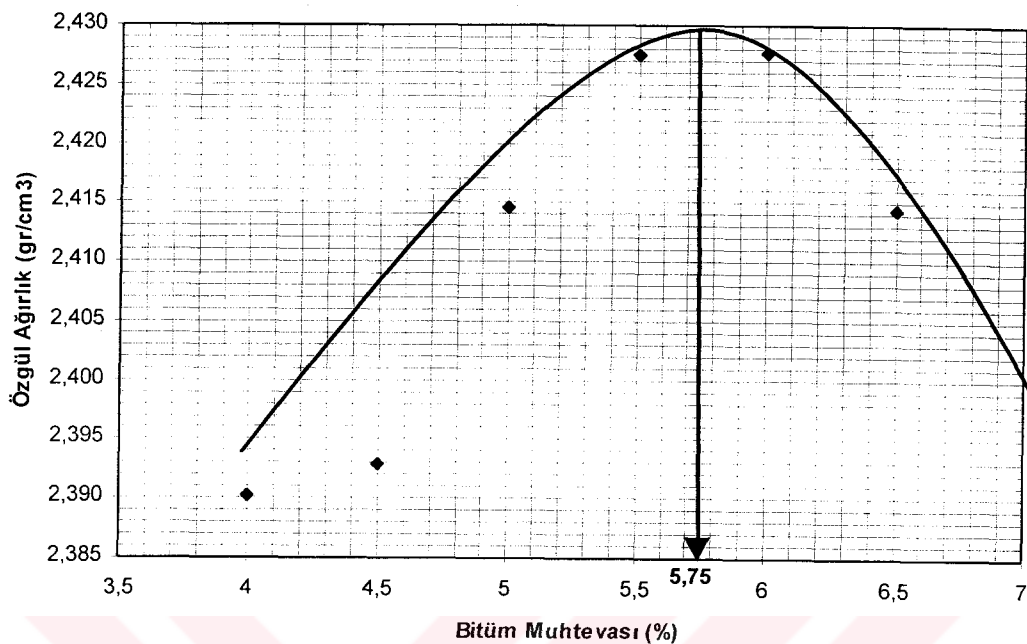
Sıcaklığı 60 °C olan su banyosunda 40 dakika bekletilen numuneler daha sonra Marshall Cihazında 51 mm/dak'lık sabit bir deformasyon hızıyla yüklenmiştir. En büyük yük ve akma değeri saptandıktan sonra, stabilite değeri olarak okunan değerler, numune yüksekliğine bağlı olarak kullanılan düzelleme faktörleri ile çarpılarak değerlendirmeye esas alınacak stabiliteler tespit edilmiştir.

Bu deney geleneksel bağlayıcılı ve %7 Vestoplast katkılı karışım için ayrı olarak yapılmıştır. Deneylerden elde edilen sonuçlar, geleneksel bağlayıcı için EK A'da Çizelge A.1 ve Vestoplast katkılı karışılar için ise Çizelge A.2'de verilmiştir.

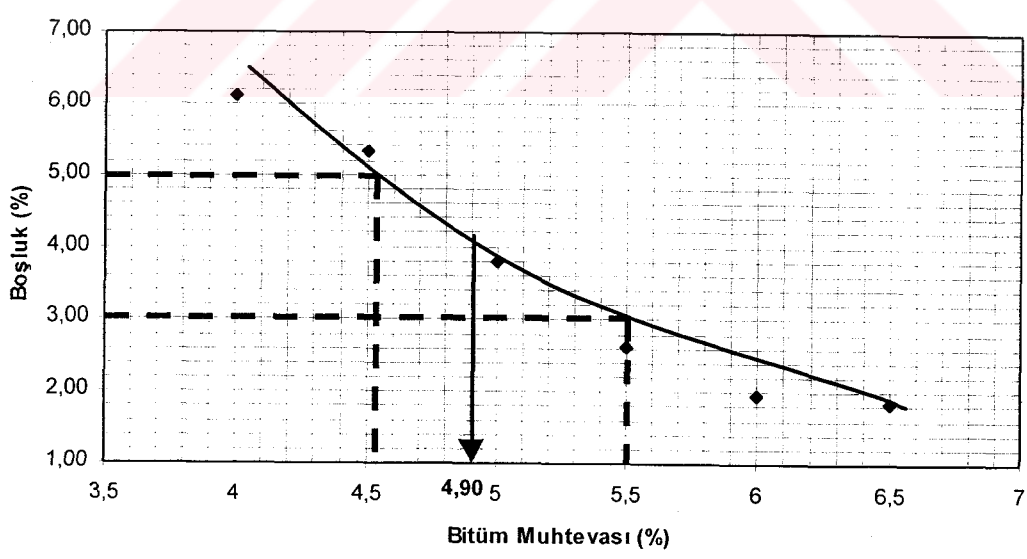
Geleneksel bağlayıcılı karışımın optimum bitüm muhtevası değerlerini belirlemek amacıyla gerekli olan ilişkiler Şekil 6.4 –6.8 arasında verilmiştir.



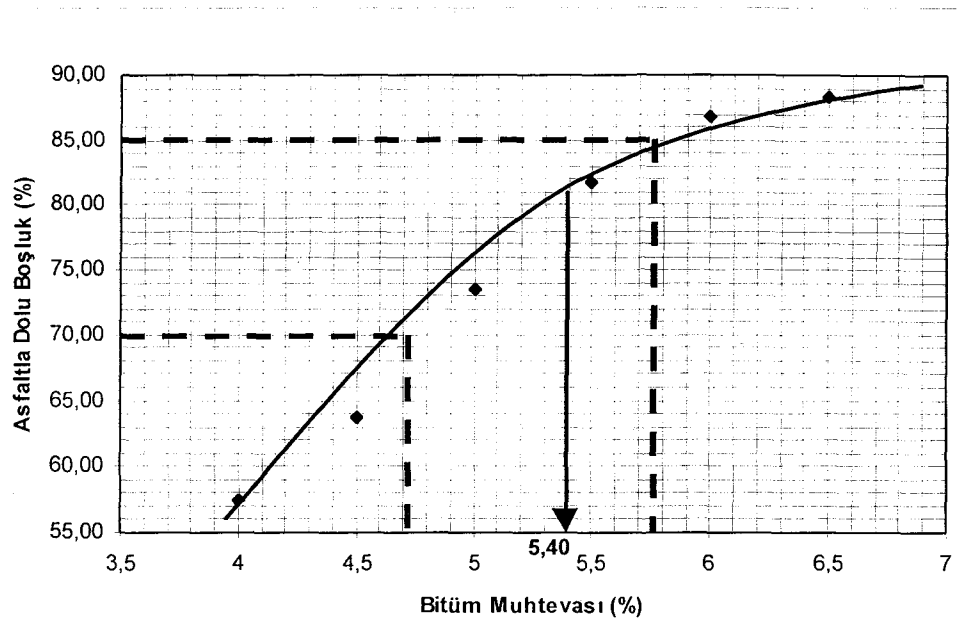
Şekil 6.4 Marshall Stabilitesi-Bitüm Muhtevası İlişkisi



Şekil 6.5 Özgül Ağırlık-Bitüm Muhtevası İlişkisi



Şekil 6.6 Boşluk(%) - Bitüm Muhtevası İlişkisi



Şekil 6.7 Asfaltla Dolu Boşluk (%) - Bitüm Muhtevası İlişkisi

Geleneksel karışım için optimum asfalt muhtevası değerleri;

Maksimum Marshall Stabilitesi için : 5,00

Maksimum Özgül Ağırlık için : 5,75

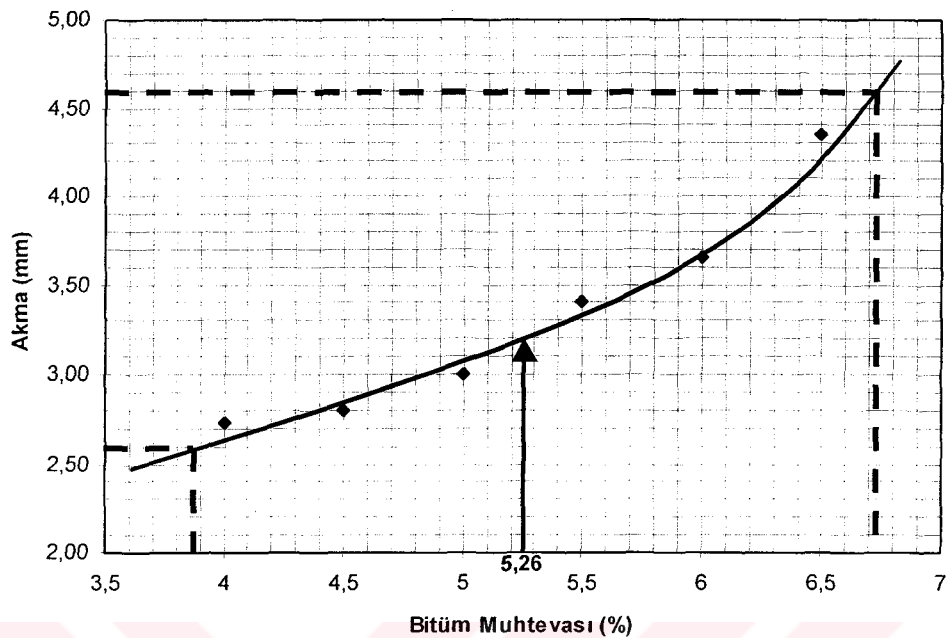
Boşluk Yüzdesi için : 4,90

Asfaltla Dolu Boşluk Yüzdesi için : 5,40

olarak alınmıştır. Bu değerlere göre geleneksel karışımın optimum asfalt muhtevası;

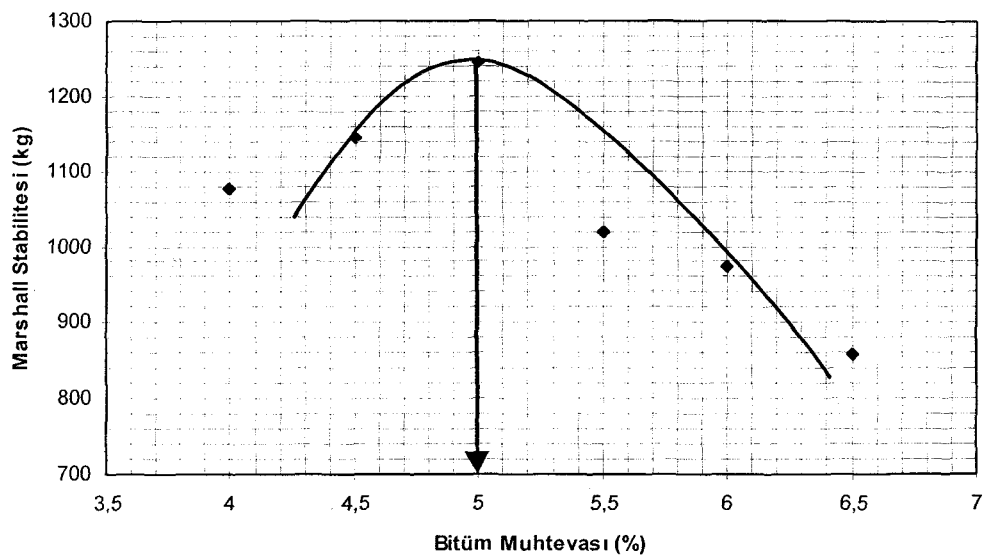
$$optAC = \frac{5,00 + 5,75 + 4,90 + 5,40}{4} = 5,26(\%)$$

hesaplanmıştır. Bulunan bu değerin Akma bakımından kontrolü için Şekil 6.8 çizilmiştir. Şekil incelendiğinde karışımın akma sınır değerleri arasında kaldığı görülmektedir.

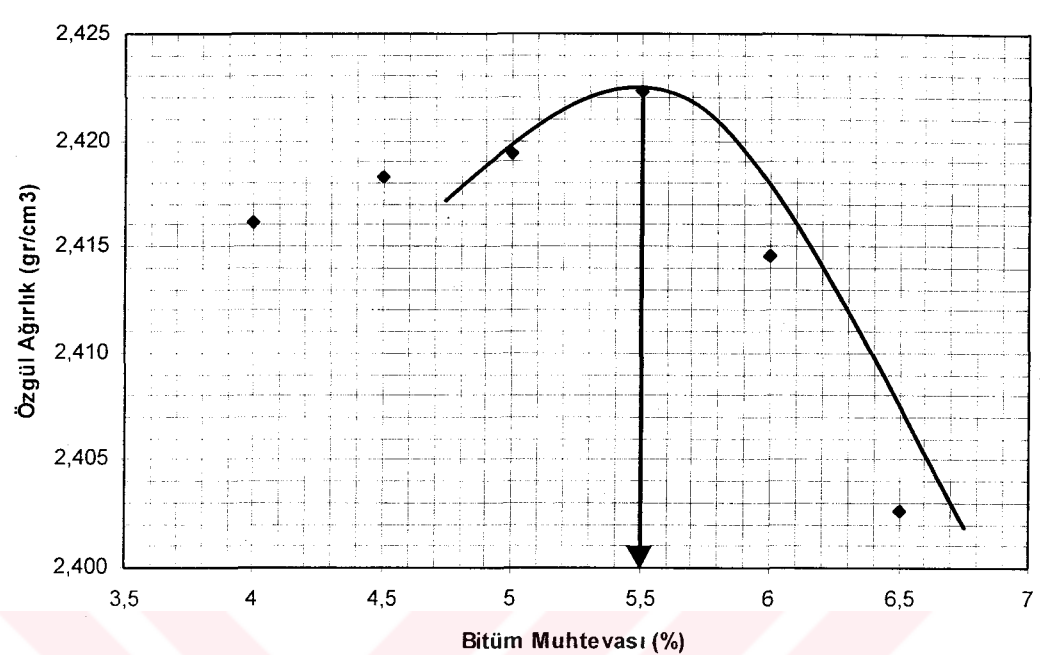


Şekil 6.8 Akma-Bitüm Muhtevası İlişkisi

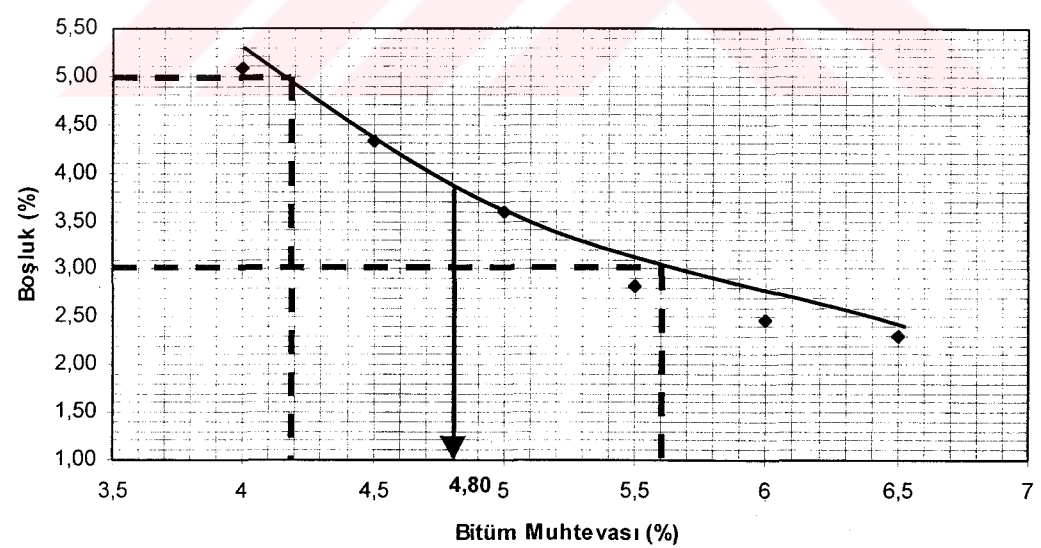
Vestoplast katkılı karışımının optimum bitüm muhtevası değerlerini belirlemek amacıyla gerekli olan ilişkiler Şekil 6.9 –6.13 arasında verilmiştir.



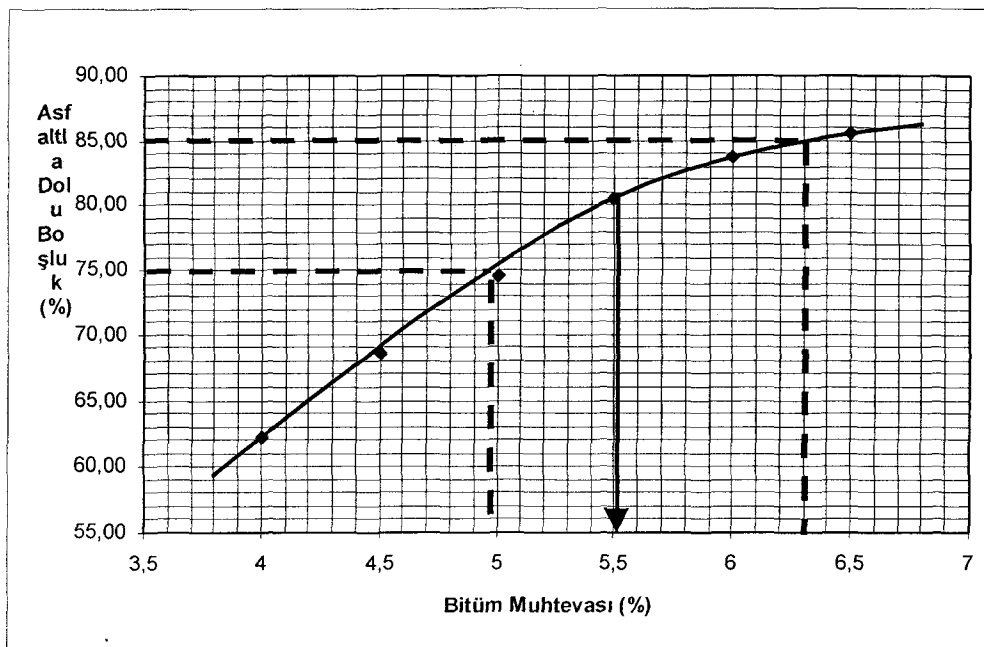
Şekil 6.9 Marshall Stabilitesi-Bitüm Muhtevası İlişkisi



Şekil 6.10 Özgül Ağırlık-Bitüm Muhtevası İlişkisi



Şekil 6.11 Boşluk(%) - Bitüm Muhtevası İlişkisi



Şekil 6.12 Asfaltla Dolu Boşluk (%) - Bitüm Muhtevası İlişkisi

Vetoplast katkılı karışım için optimum asfalt muhtevası değerleri;

Maksimum Marshall Stabilitesi için : 5,00

Maksimum Özgül Ağırlık için : 5,50

Boşluk Yüzdesi için : 4,80

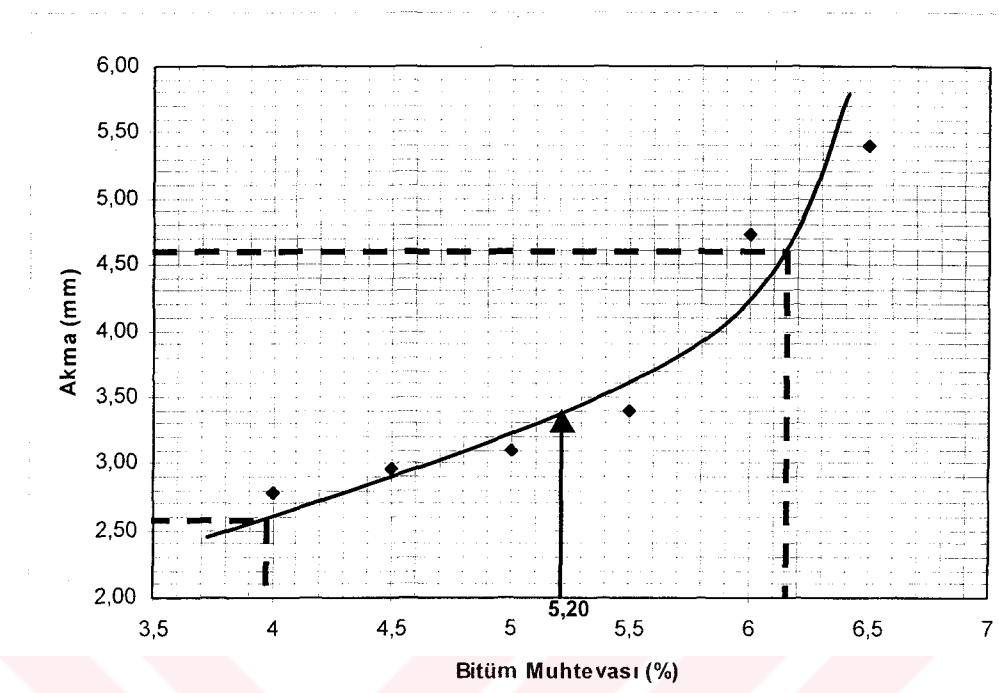
Asfaltla Dolu Boşluk Yüzdesi için : 5,50

olarak alınmıştır. Bu değerlere göre geleneksel karışımın optimum asfalt muhtevası;

$$optAC = \frac{5,00 + 5,50 + 4,80 + 5,50}{4} = 5,20(\%)$$

hesaplanmıştır. Bulunan bu değerin Akma bakımından kontrolü için Şekil 6.13 çizilmiştir.

Şekil incelendiğinde karışımın akma sınır değerleri arasında kaldığı görülmektedir.



Şekil 6.13 Akma-Bitüm Muhtevası İlişkisi

6.3.3 Dolaylı Çekme Mukavemeti Deneyi

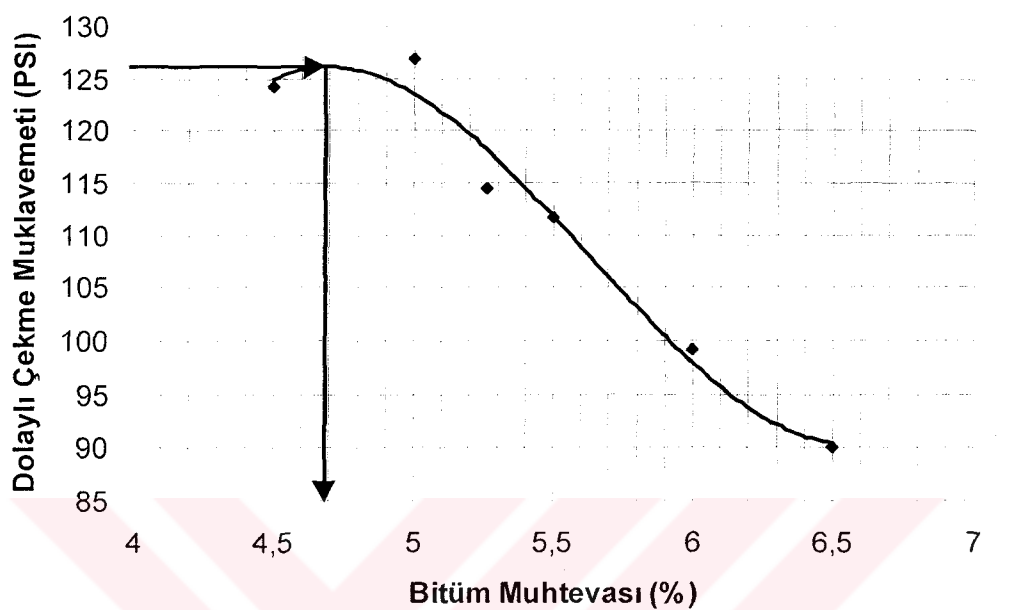
Bu deney, Bölüm 5 ‘de anlatıldığı şekilde % 4,5-6,5 geleneksel bağlayıcıları karışımlar ve ilave olarak OptAC (geleneksel bağlayıcı kullanılarak optimum asfalt muhtevasında hazırlanan karışım) ve OptACv (vestoplast katkı malzemesi ilave edilerek optimum asfalt muhtevasında hazırlanan karışım)’de hazırlanan Marshall numunelerine 25 °C sıcaklıkta dolaylı çekme mukavemeti deneyi uygulanmıştır.

Deney esnasında numunenin kırıldığı andaki yük ve düşey deformasyon okunarak kaydedilmiştir. Yapılan hesaplamlarda; Monismith, Tung-Wen Hsu, Baladi gibi araştırmacıların kabul ettiği şekilde karışımların Poisson oranı 0,35 alınarak yatay yönde oluşan deformasyonlar hesaplanmıştır (Monismith, vd., TRR1492, Tung-Wen, vd., 1996, Baladi, vd., 1989). Deneylerden elde edilen sonuçlar Çizelge 6.4’de verilmiştir.

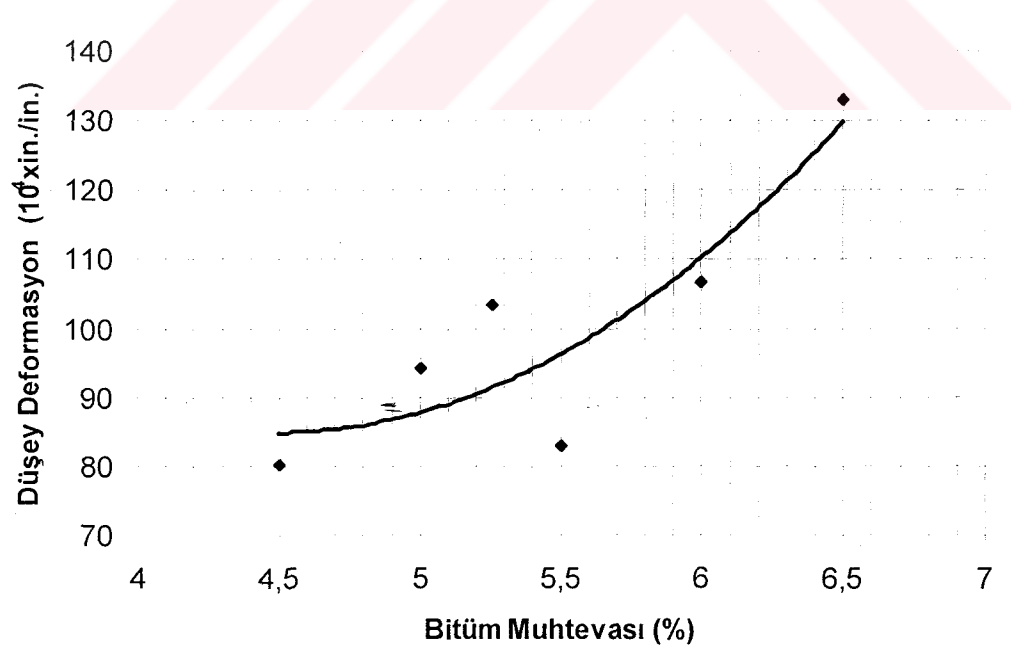
Çizelge 6.4 Dolaylı Çekme Mukavemeti

| Bitüm % | Numune | | | Yer Değiştirme | | Deformasyon | | Çekme Muk. St PSI |
|---------|--------|--------|------|----------------|-----------------------------------|-----------------------------------|---------------------------------------|-------------------|
| | No | Yük. h | | Pb | Düşey Δv (in.)x10 ³ | Yatay Δh (in.)x10 ³ | Çekme εt (in./in.)x10 ⁴ | |
| | | mm | in. | | | | | |
| 4,5 | 1 | 59,8 | 2,35 | 1870 | 70,9 | 13,0 | 67,75 | 111,26 123,93 |
| | 2 | 60,1 | 2,37 | 1886 | 94,5 | 17,4 | 90,34 | 148,35 124,35 |
| | 3 | 59,7 | 2,35 | 1877 | 86,6 | 15,9 | 82,81 | 135,98 124,59 |
| | ort | | | | | | 80,30 | 131,86 124,29 |
| 5 | 1 | 58,7 | 2,31 | 1933 | 70,9 | 13,0 | 67,75 | 111,26 130,50 |
| | 2 | 58,8 | 2,31 | 1922 | 94,5 | 17,4 | 90,34 | 148,35 129,52 |
| | 3 | 58,8 | 2,31 | 1792 | 129,9 | 23,9 | 124,21 | 203,98 120,74 |
| | ort | | | | | | 94,10 | 154,53 126,92 |
| 5,5 | 1 | 59,3 | 2,33 | 1803 | 82,7 | 15,2 | 79,04 | 129,80 120,47 |
| | 2 | 59,7 | 2,35 | 1632 | 106,3 | 19,5 | 101,63 | 166,89 108,32 |
| | 3 | 59,8 | 2,35 | 1605 | 70,9 | 13,0 | 67,75 | 111,26 106,35 |
| | ort | | | | | | 82,81 | 135,98 111,71 |
| 6 | 1 | 59,6 | 2,35 | 1607 | 98,4 | 18,1 | 94,10 | 154,53 106,86 |
| | 2 | 60,1 | 2,37 | 1378 | 114,2 | 21,0 | 109,16 | 179,25 90,85 |
| | 3 | 59,6 | 2,35 | 1499 | 122,0 | 22,4 | 116,68 | 191,61 99,69 |
| | ort | | | | | | 106,65 | 175,13 99,13 |
| 6,5 | 1 | 60,0 | 2,36 | 1571 | 110,2 | 20,3 | 105,39 | 173,07 103,77 |
| | 2 | 60,0 | 2,36 | 1333 | 169,3 | 31,1 | 161,85 | 265,79 88,04 |
| | 3 | 60,3 | 2,37 | 1196 | 137,8 | 25,3 | 131,74 | 216,34 78,59 |
| | ort | | | | | | 132,99 | 218,40 90,13 |
| OptAC | 1 | 57,9 | 2,28 | 1983 | 98,4 | 18,1 | 94,10 | 154,53 135,69 |
| | 2 | 59,7 | 2,35 | 1562 | 108,3 | 19,9 | 103,51 | 169,98 103,70 |
| | 3 | 59,7 | 2,35 | 1569 | 118,1 | 21,7 | 112,92 | 185,43 104,14 |
| | ort | | | | | | 103,51 | 169,98 114,51 |
| OptACv | 1 | 57,2 | 2,25 | 2365 | 86,6 | 15,9 | 82,81 | 135,98 163,82 |
| | 2 | 59,7 | 2,35 | 1859 | 82,7 | 15,2 | 79,04 | 129,80 123,39 |
| | 3 | 59,8 | 2,35 | 1873 | 94,5 | 17,4 | 90,34 | 148,35 124,08 |
| | ort | | | | | | 84,06 | 138,04 137,10 |

Bitüm muhtevası ile dolaylı çekme mukavemetinin değişimini göstermek amacıyla Şekil 6.14 çizilmiştir. Bitüm muhtevası ile düşey yönde oluşan deformasyon arasındaki ilişki ise Şekil 6.15'de verilmiştir.



Şekil 6.14 Dolaylı Çekme Mukavemeti-Bitüm Muhtevası İlişkisi



Şekil 6.15 Düşey Deformasyon-Bitüm Muhtevası İlişkisi

Şekil incelendiğinde de görülebileceği gibi karışımın yaklaşık olarak 127,5 psi dolaylı çekme mukavemeti değerinde %4,7 optimum asfalt muhtevası değeri bulunmaktadır. Düşey deformasyon için ise Marshall Dizayn Deneyi Akma-Bitüm Muhtevası ilişkisine benzer bir eğri bulunmaktadır.

6.3.4 Dolaylı Çekme Deneyi

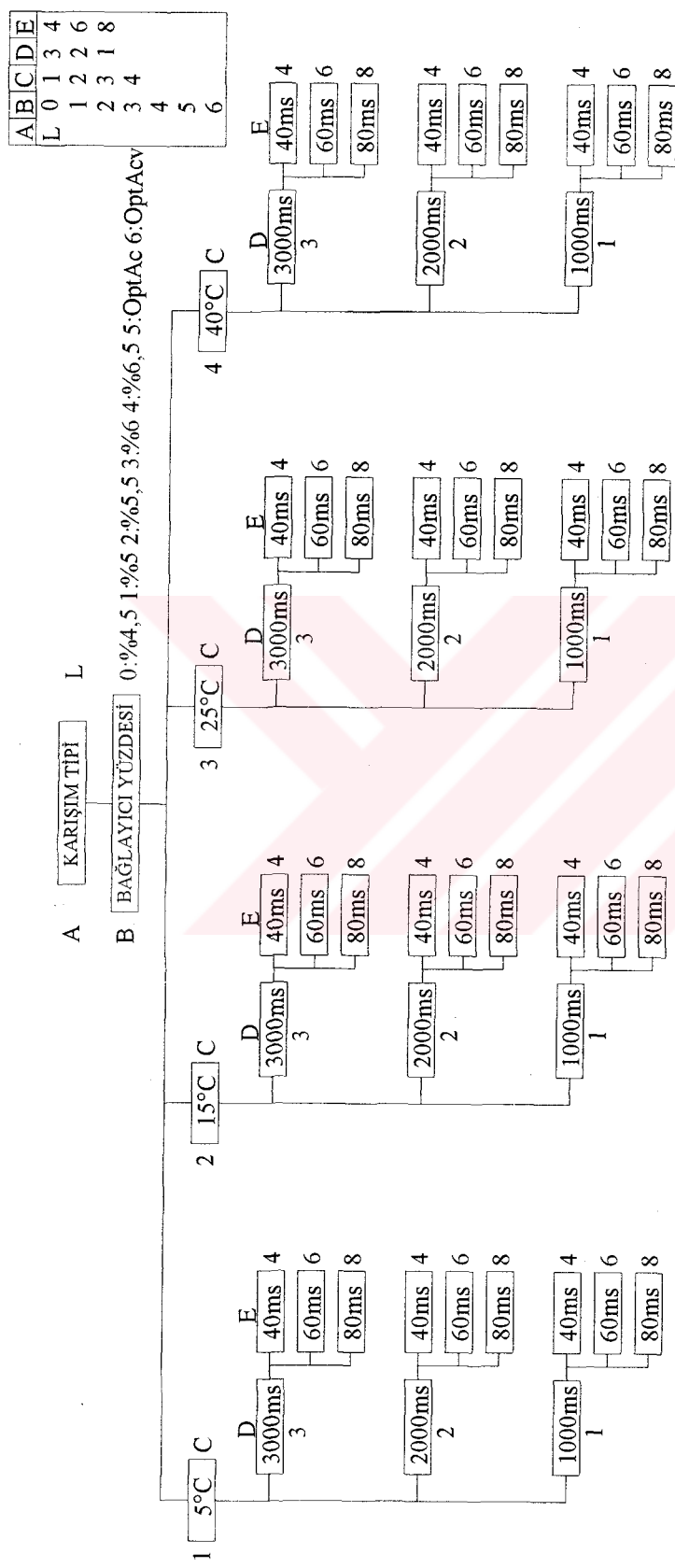
Numuneler üzerine, ASTM D-4123-82 standardına uygun olarak Dolaylı Çekme Deneyi yapılmıştır. Dolaylı çekme deneyinde deneylerin uygulanma akış şeması ve numunelerin kodlandırma sistemi Şekil 6.16'da verilmiştir.

Şekil incelendiğinde de görülebileceği gibi deney 5 farklı bitüm muhtevası (4,5; 5; 5,5; 6; 6,5) ve geleneksel ve katkılı bağlayıcılı numuneler üzerine uygulanmıştır. C. L: Monismith, vd., tarafından yapılan çalışmalarla yüksek sıcaklıklarda (40°C) aşırı düşey deformasyonların olması nedeniyle güvenilir olmadığı ve 60°C sıcaklıkta yapılan deneylerin tam kesin olmadığı belirtilmektedir (Monismith, vd., TRR 1492). Bu nedenle, deneysel çalışma aşamasında sıcaklık için üst sınır olarak 40°C ve alt sınır olarak da 5°C sıcaklık alınmış ve deneyler 5, 15, 25 ve 40°C sıcaklıklar da yapılmıştır.

Ayrıca yük olarak 25°C sıcaklığında yapılan Dolaylı Çekme Mukavemeti Deneyinden elde edilen mukavemet değerinin yaklaşık % 20'sine karşılık gelen 1500 N yük uygulanmıştır. Deneysel çalışma aşamasında diğer deney değişkenleri; Yükleme Periyodu ve Yükleme Hızı Çizelge 6.5'de verilmiştir.

Çizelge 6.5 Yükleme Periyodu ve Yükleme Hızı

| Yükleme Periyodu | | Yükleme Hızı (ms) |
|------------------|-------------------------|----------------------|
| Hz. | Tekerrür Süresi (ms) | |
| 0,33 | 3000 | 40 |
| 0,50 | 2000 | 60 |
| 1,00 | 1000 | 80 |



Şekil 6.16 Deney Uygulama Sıralaması ve Deney Numunelerinin Kodlama Sistemi

Çizelge 6.5'den de görülebileceği gibi Yükleme Periyodu olarak yüksek yoğunluklu trafik için 1000 ve düşük yoğunluklu trafik için ise 3000 ms'lik yük tekerrür süresi ve taşıt hızları veya dingil geçiş hızını temsil etmesi içi yüksek hızlar için 40 ms ve düşük hızlar için ise 80 ms'lik Yükleme Hızları seçilmiştir. Yapılan bu kabuller ASTM D-4123 standardında da önerilmektedir.

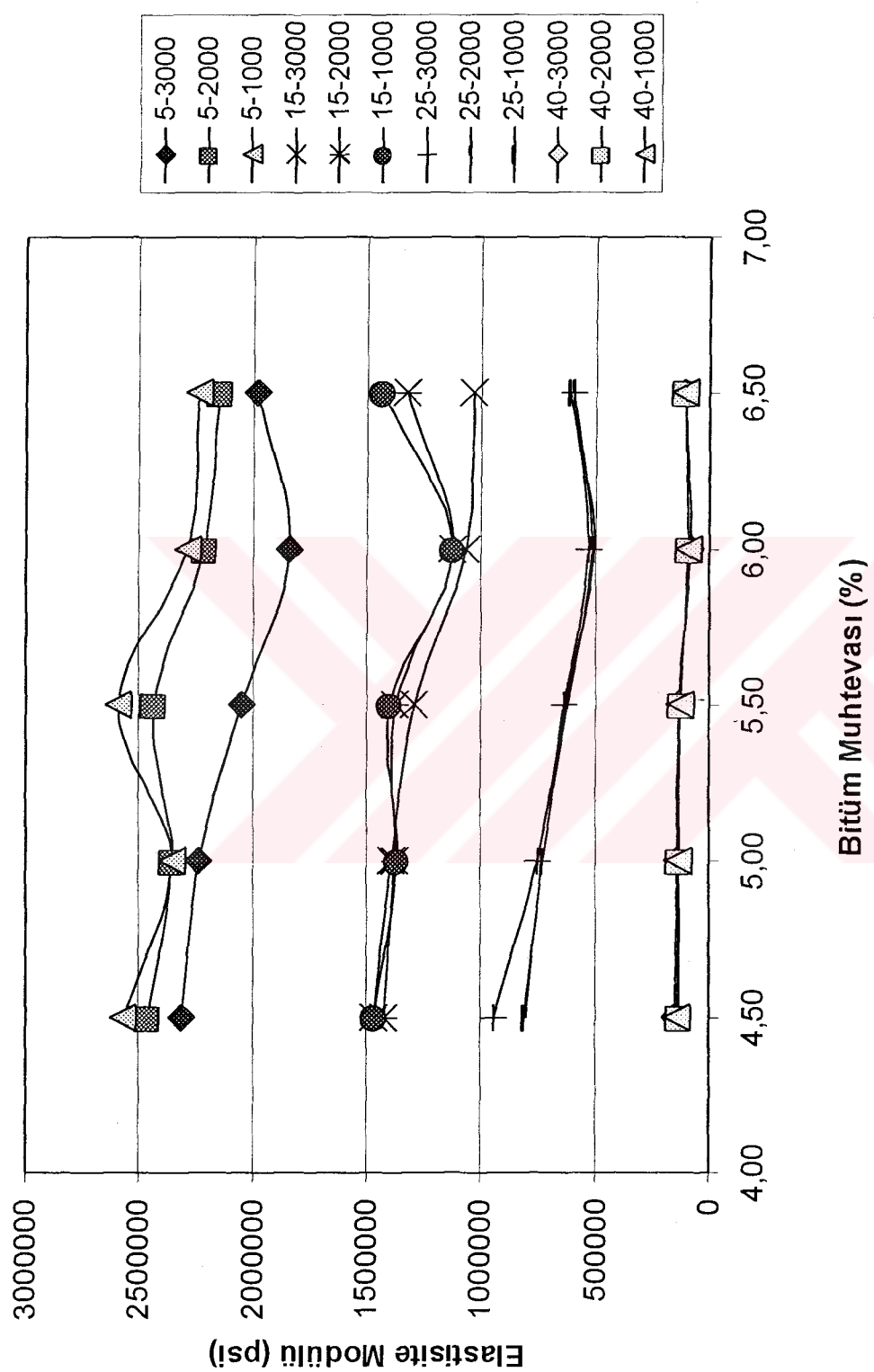
Bu deney için her bir bitüm muhtevası için 21 adet numune hazırlanmış ve toplam olarak 1586 adet deney yapılmıştır. Yapılan deneylerden elde edilen sonuçlar özet olarak EK B'de Çizelge B.1-Çizelge B.28 arasında verilmiştir.

6.3.4.1 Karışım Değişkenlerinin Elastisite Modülü Üzerine Olan Etkisi

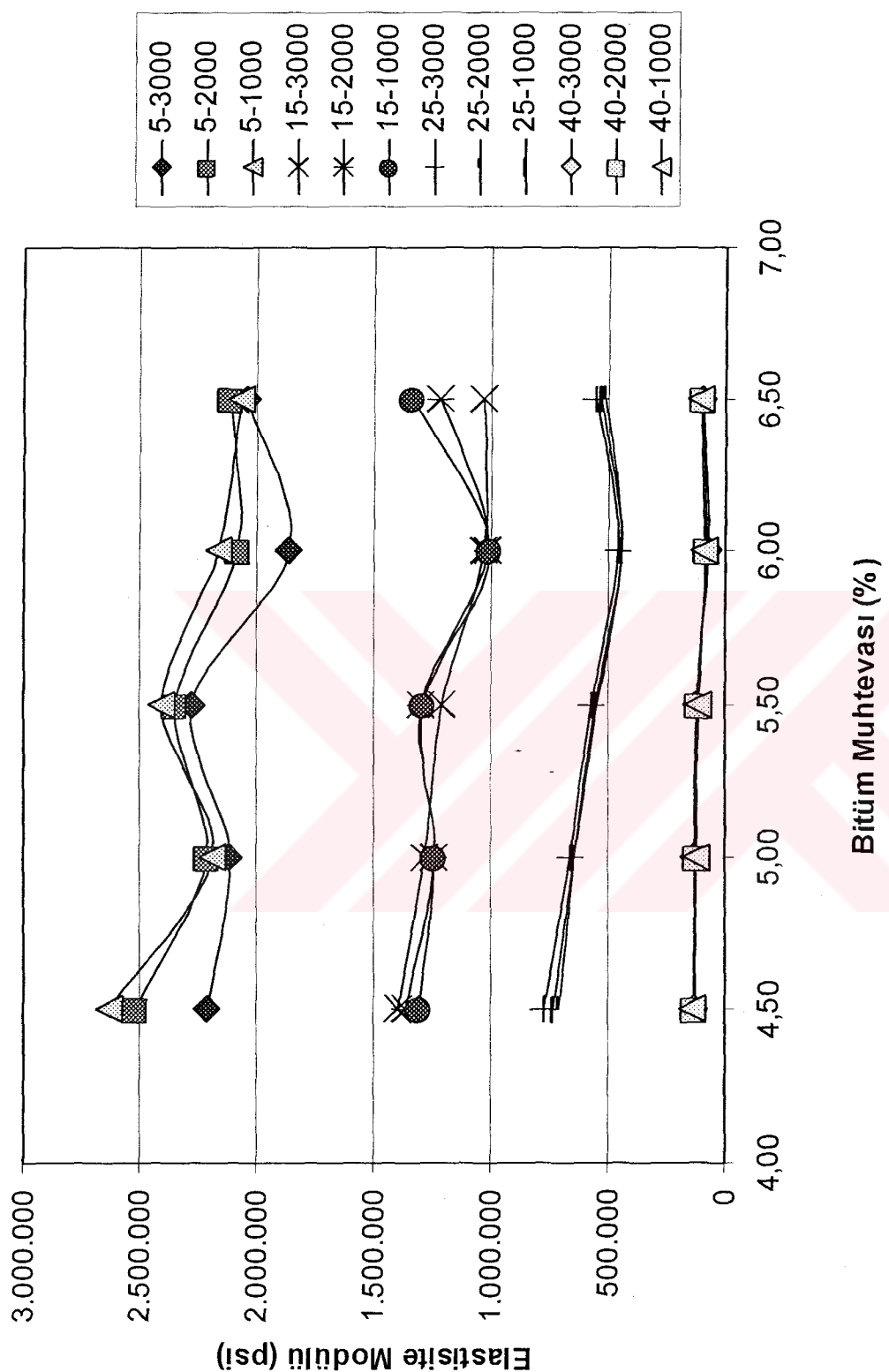
Karışım değişkenlerinden bitüm muhtevasının yorulma direnimi üzerinde olan etkisinin değerlendirilmesi amacıyla bitüm muhtevası-elastisite modülü ilişkileri farklı yükleme periyotlarında 40 ms yükleme hızı için Şekil 6.17, 60 ms için Şekil 6.18 ve 80 ms için ise Şekil 6.19'da verilmiştir. Karışımın elastisite modülü değerleri 3×10^6 ile 350×10^3 psi arasında değişmektedir. Bitüm muhtevasındaki artışla birlikte elastisite modülü değerinde bir azalma olduğu görülmektedir. Bitüm muhtevasının karışımın elastikliği üzerindeki etkisini değerlendirmek amacıyla Çizelge 6.6 hazırlanmıştır. Bu çizelge de her bir bitüm muhtevası için ,aynı yükleme periyodu, yükleme hızı ve sıcaklık için ölçülen en büyük elastisite modülü değeri yine ölçülen en küçük elastisite modülü değerine bölünerek bir bitüm muhtevası etkisi oranı hesaplanmıştır.

Çizelge 6.6 Bitüm Muhtevasının Elastisite Modülü Üzerindeki Etkisi

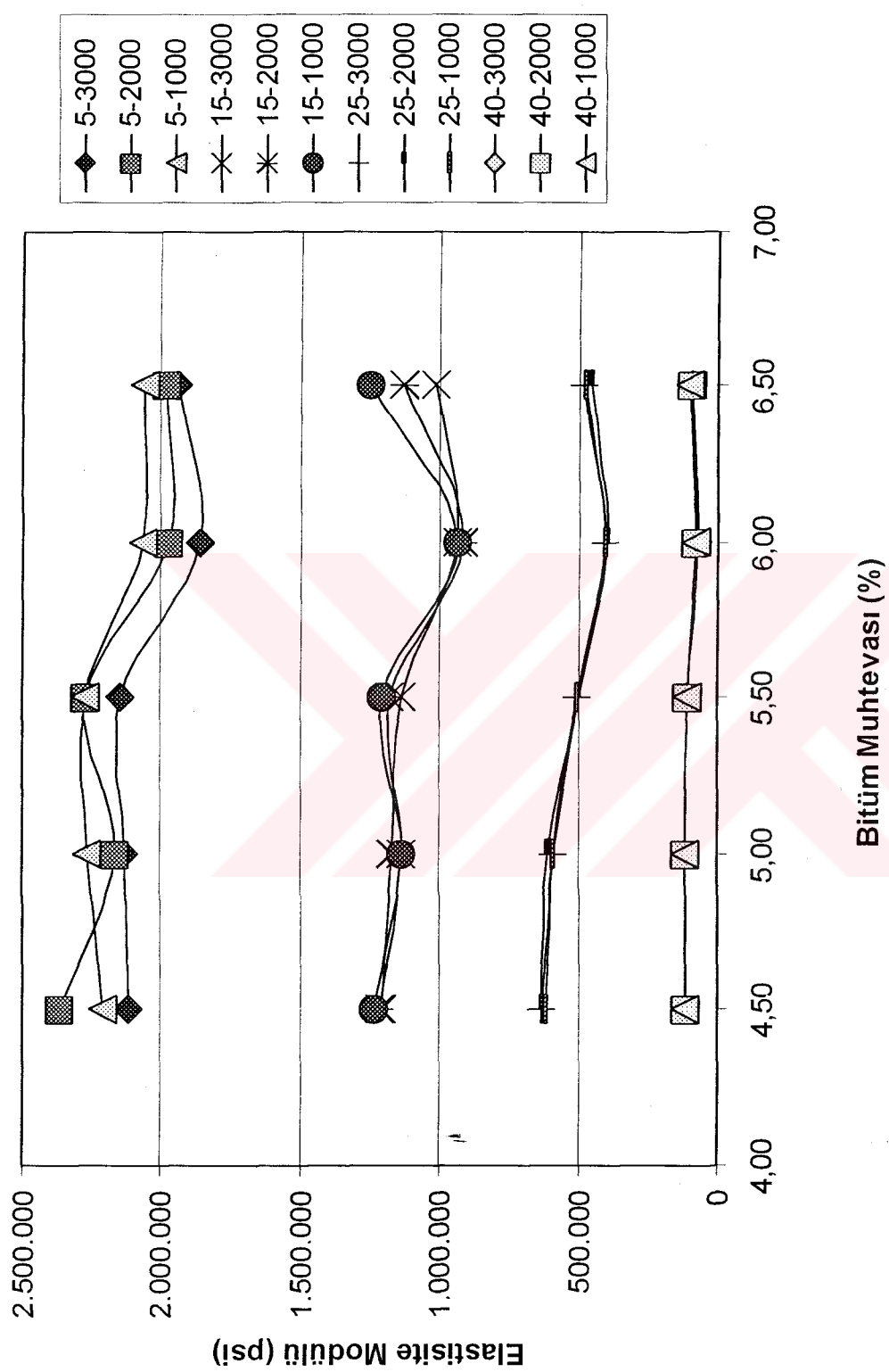
| | Yükleme Periyodu (ms) | | | | | | | | |
|----------------|-----------------------|------------|------------|------------|------------|------------|------------|------------|------------|
| | 3000 | | | 2000 | | | 1000 | | |
| Yük. Hızı (ms) | 40 (ms) | 60 (ms) | 80 (ms) | 40 (ms) | 60 (ms) | 80 (ms) | 40 (ms) | 60 (ms) | 80 (ms) |
| 5 | 1,26 | 1,22 | 1,15 | 1,14 | 1,21 | 1,2 | 1,16 | 1,27 | 1,10 |
| 15 | 1,43 | 1,35 | 1,28 | 1,26 | 1,34 | 1,32 | 1,31 | 1,32 | 1,34 |
| 25 | 1,78 | 1,68 | 1,57 | 1,58 | 1,60 | 1,59 | 1,61 | 1,65 | 1,53 |
| 40 | 1,88 | 1,81 | 1,67 | 1,53 | 1,63 | 1,55 | 1,52 | 1,6 | 1,45 |



Şekil 6.17 Bitüm Muhtevası-Elastisite Modülü İlişkisi (Yükleme Hızı 40 ms)



Sekil 6.18 Bitüm Muhtevası-Elastisite Modülü İlişkisi (Yükleme Hizi 60 ms)



Şekil 6.19 Bitüm Muhtevası-Elastisite Modülü İlişkisi (Yükleme Hızı 80 ms)

Deneysel çalışmada kullanılan % 4,5 ve % 6,5 aralığındaki bitüm muhtevasındaki farklılık, elastisite modülü değerini en az 1,1 ve en fazla ise 1,88 katı olarak etkilemektedir.

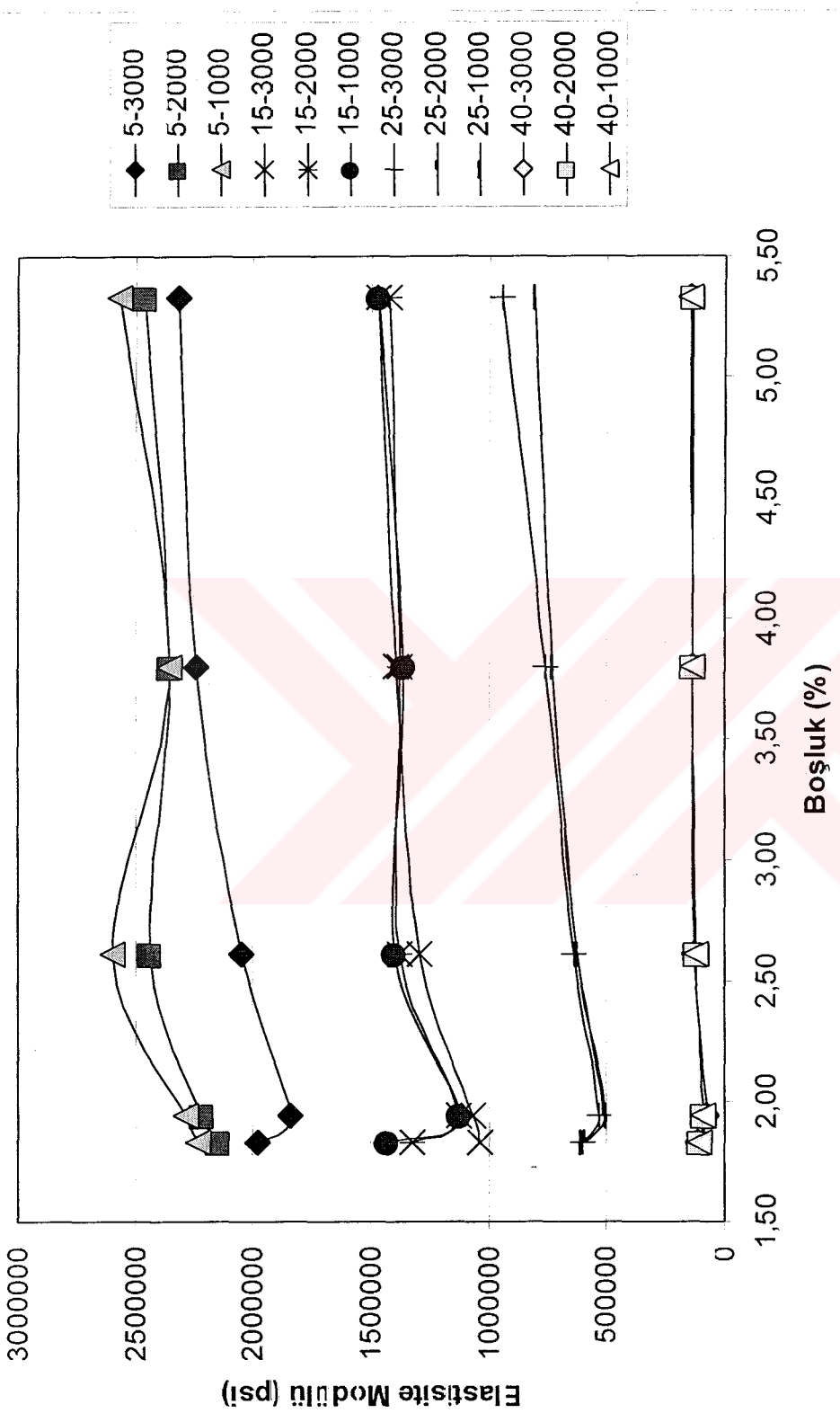
Ayrıca şekiller incelenirse sıcaklığın artmasıyla elastisite modülü değerinin azaldığı görülmektedir.

Ayrıca karışımın içerisindeki boşluk yüzdesinin etkisini değerlendirmek amacıyla 40 ms yükleme hızı için Şekil 6.20, 60 ms için Şekil 6.21 ve 80 ms için ise Şekil 6.22 çizilmiştir. Şekillerin incelenmesinden de görülebileceği gibi karışım içerisindeki boşluk yüzdesinin artması ile bitüm muhtevasında oluşan durumun tersine olarak elastisite modülü değeri artmaktadır. Bu durumun oluşmasının sebebi karışımın bitüm muhtevası ile boşluk arasında ters bir ilişkinin bulunmasıdır. Çünkü karışımın bitüm muhtevası artması ile karışımın boşluk yüzdesi azalmaktadır.

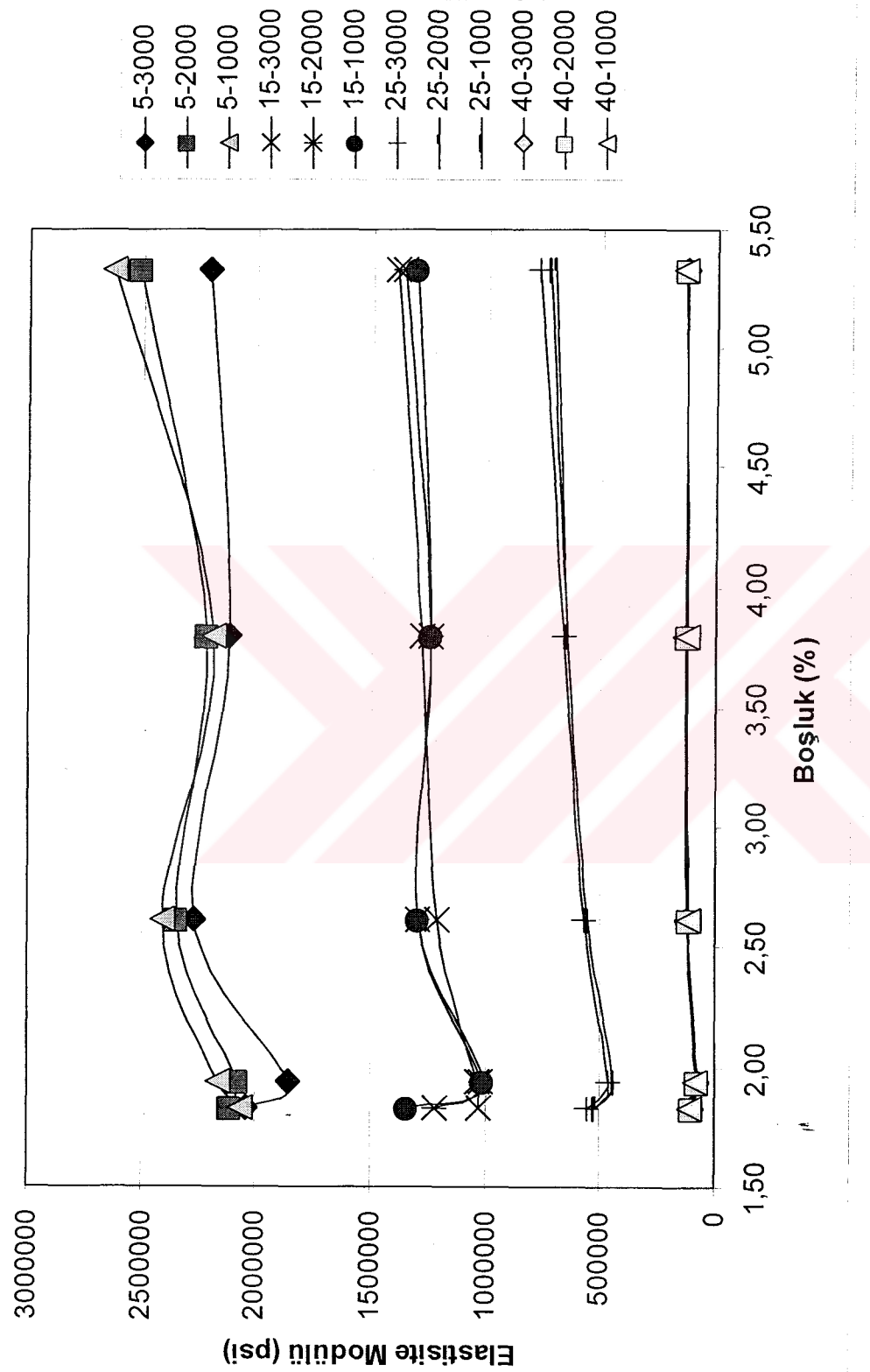
Karışım değişkenlerinden olan asfaltla dolu boşluk yüzdesinin elastisite modülü üzerindeki etkisini değerlendirmek amacıyla da yine 40 ms yükleme hızı için Şekil 6.23, 60 ms için Şekil 6.24 ve 80 ms için ise Şekil 6.25 hazırlanmıştır.

Söz konusu şekillerin incelenmesinden de görülebileceği gibi karışımın Asfalt dolu boşluk yüzdesinin artması ile elastisite modülü değeri azalmaktadır.

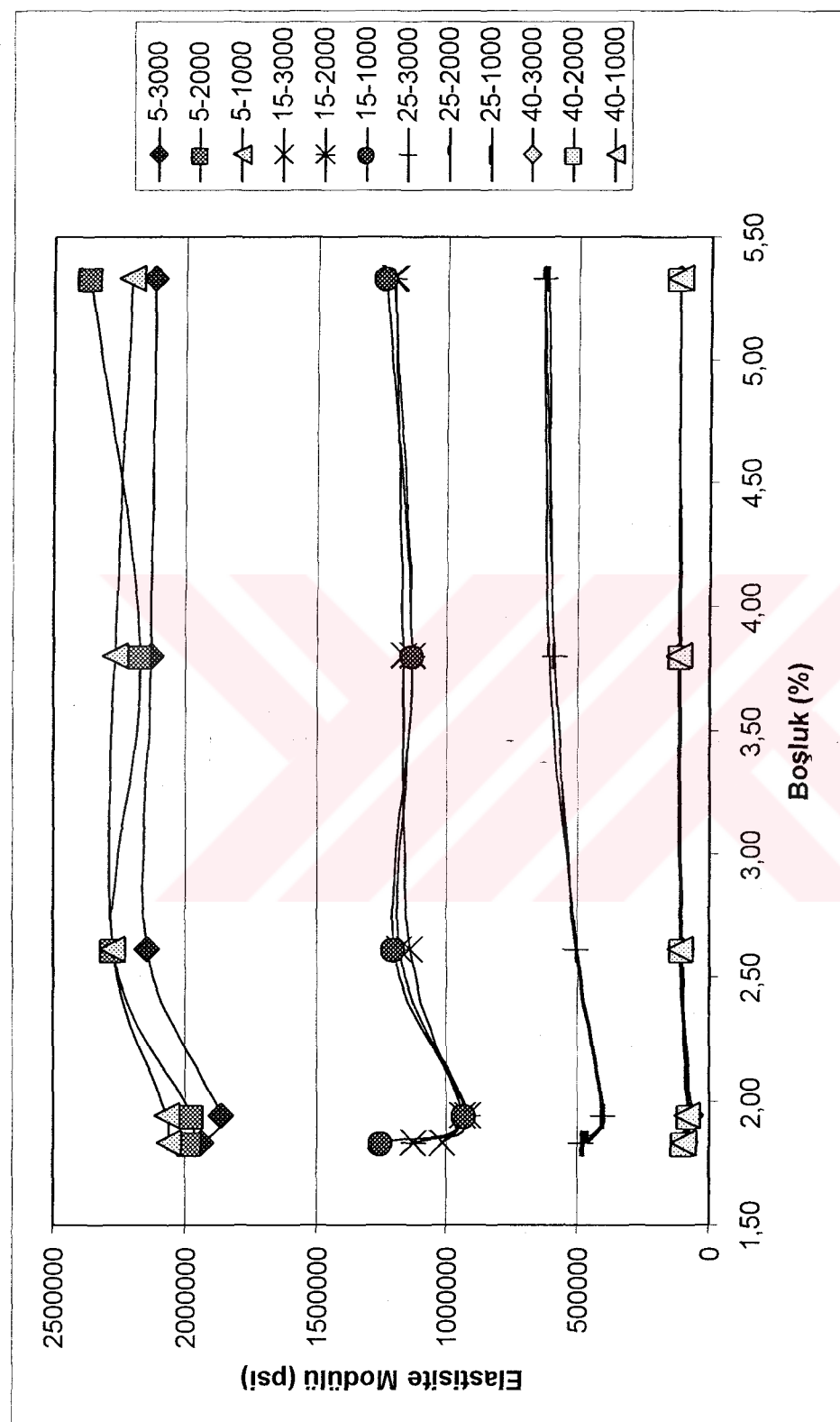
Karışım değişkenlerine ait olmak üzere farklı yükleme hızları için çizilen eğriler arasında büyük bir farklılık olmadığı görülmektedir. Yükleme hızındaki değişme karışımın elastisite modülünün artması veya azalması eğilimi üzerinde bir etkiye sahip olmadığı anlaşılmaktadır.



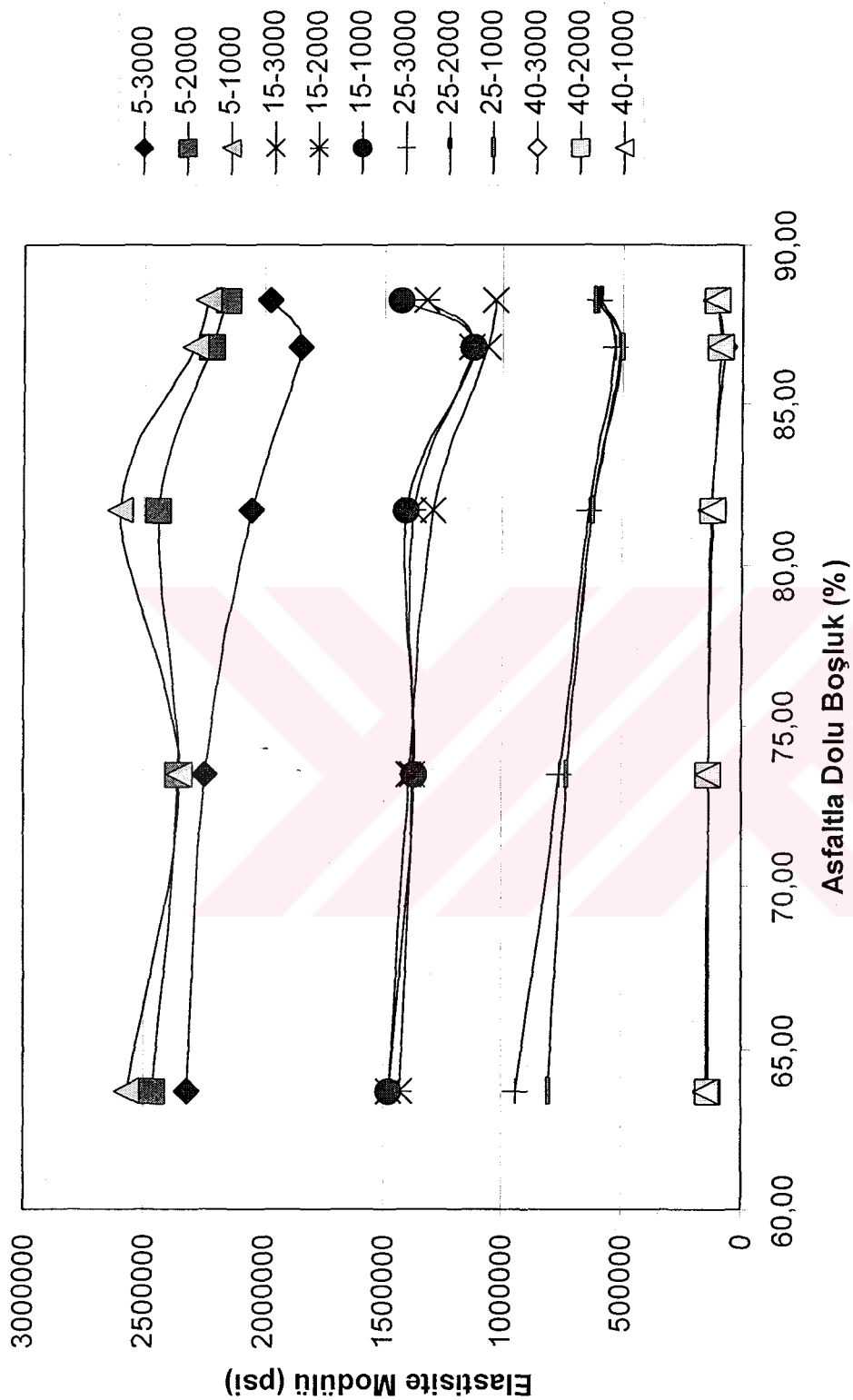
Sekil 6.20 Boşluk-Elastisite Modülü İlişkisi (Yükleme Hizi 40 ms)



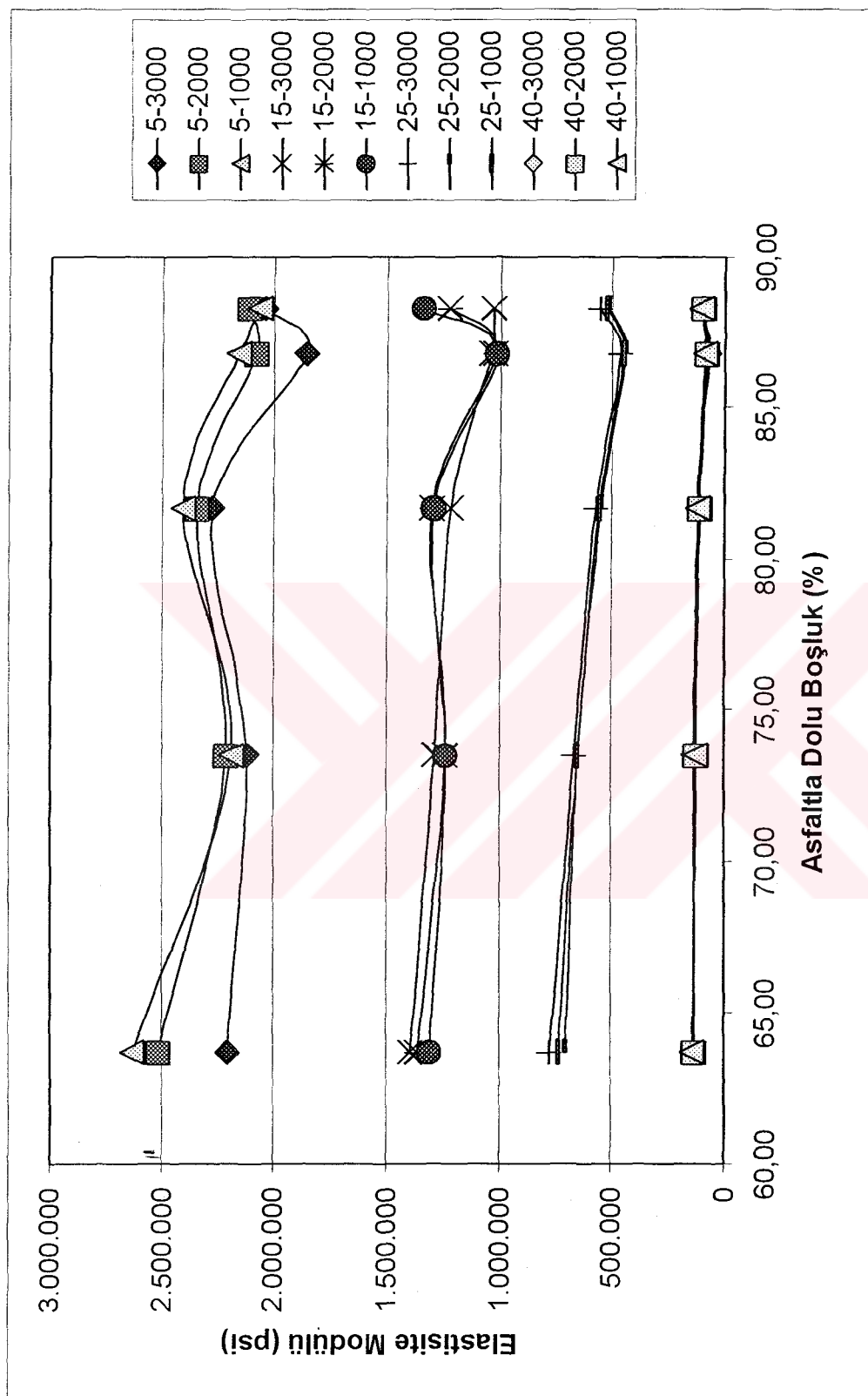
Şekil 6.21 Boşluk-Elastisite Modülü İlişkisi (Yükleme Hızı 60 ms)



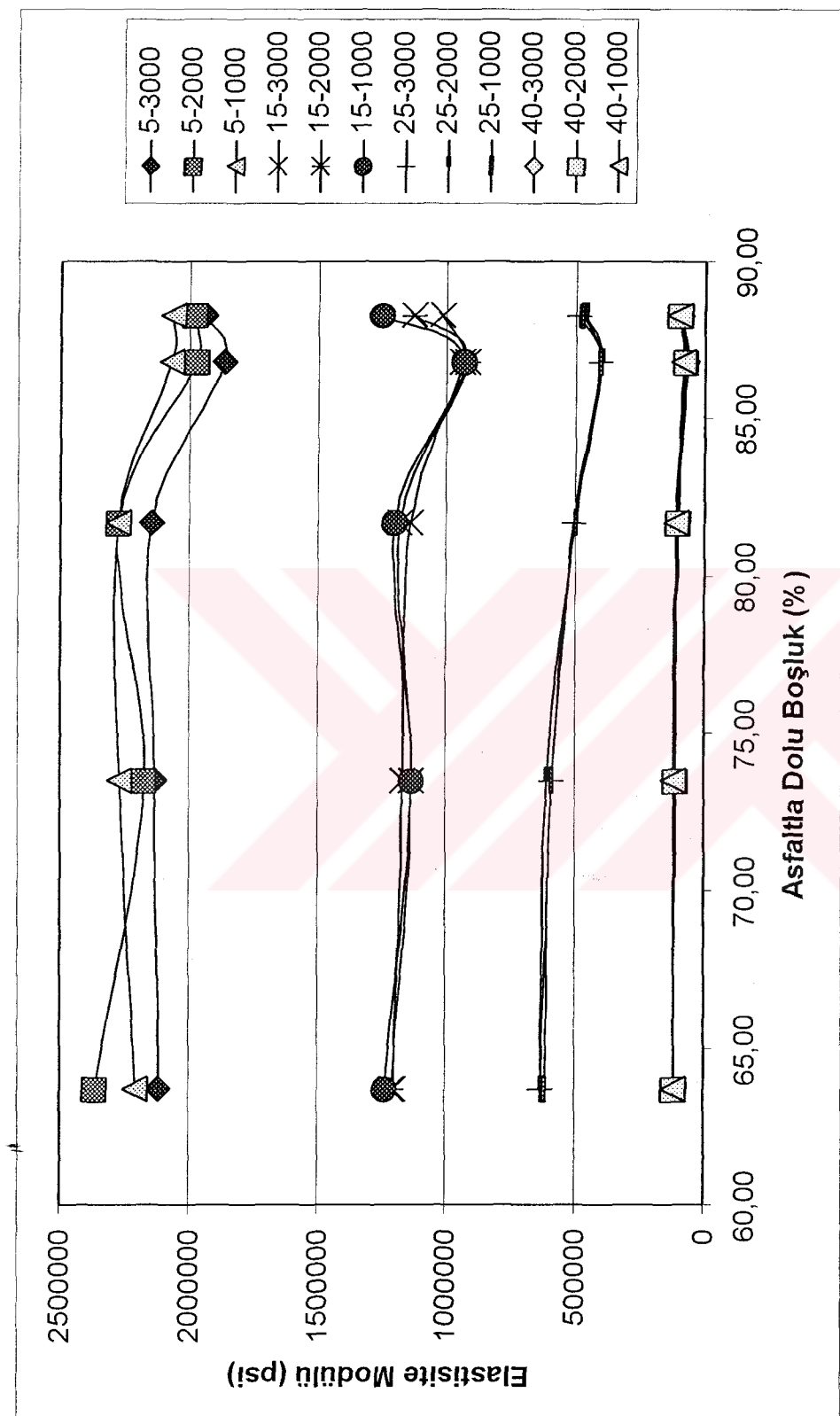
Şekil 6.22 Boşluk-Elastisite Modülü İlişkisi (Yükleme Hızı 80 ms)



Şekil 6.23 Asfalt la Dolu Boşluk-Elastisite Modülü İlişkisi (Yükleme Hizi 40 ms)



Şekil 6.24 Asfaltla Dolu Boşluk-Elastisite Modülü İlişkisi (Yükleme Hızı 60 ms)



Şekil 6.25 Asfalta Dolu Boşluk-Elastisite Modülü İlişkisi (Yükleme Hızı 80 ms)

6.3.4.2 Yükleme Periyodu ve Hızının Elastisite Modülü Üzerine Olan Etkisi

Bu çalışmada, daha önceki bölümlerde de bahsedildiği şekilde üç farklı yükleme periyodu (3000, 2000 ve 1000 ms) için deneysel çalışmalar yapılmıştır. Söz konusu yükleme periyotlarının elastisite modülü üzerinde olan etkisini değerlendirmek amacıyla, her bir sıcaklık ve yükleme hızı için farklı yükleme periyotlarında ölçülen en büyük ve en küçük elastisite modülleri birbirlerine bölünmüş ve Yükleme Periyodu Etkisi (YPE) katsayıları hesaplanmış ve bulunan değerler Çizelge 6.7'de verilmiştir. Hesaplamalar yapılırken aşağıda verilen formülasyon kullanılmıştır.

$$YPE = \frac{\max E_i}{\min E_i}$$

YPE=Yükleme Periyodu etkisi

$\max E_i$ =Farklı Yükleme Periyotları için Sabit i sıcaklığı ve i yükleme hızında

ölçülen en büyük elastisite modülü

$\min E_i$ =Farklı Yükleme Periyotları için Sabit i sıcaklığı ve i yükleme hızında

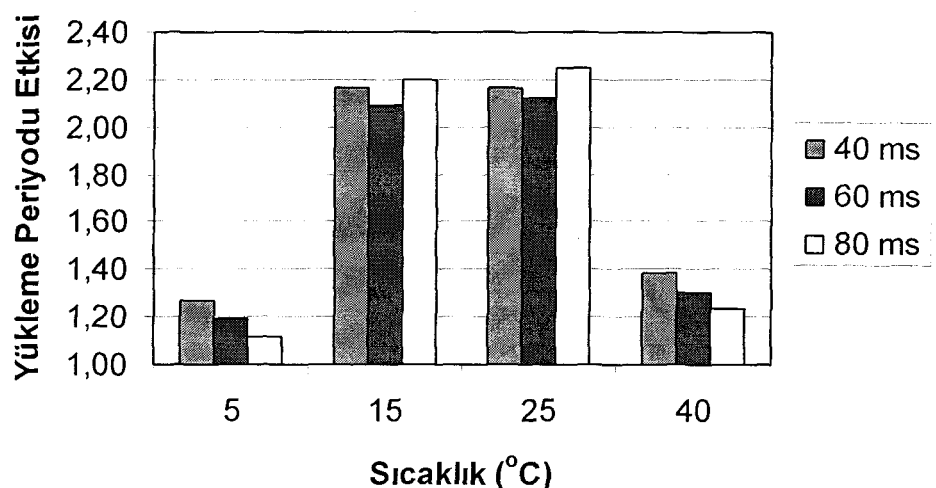
ölçülen en küçük elastisite modülü

Çizelge 6.7 Yükleme Periyodu Etkisi (YPE)

| Yükleme Hızı (ms) | Sıcaklık (°C) | | | |
|----------------------|---------------|------|------|------|
| | 5 | 15 | 25 | 40 |
| 40 ms | 1,27 | 2,17 | 2,17 | 1,39 |
| 60 ms | 1,19 | 2,09 | 2,12 | 1,30 |
| 80 ms | 1,12 | 2,20 | 2,25 | 1,24 |

Çizelge incelendiğinde yükleme periyodunun elastisite modülü üzerindeki etkisinin en az 5 °C sıcaklık ve 80 ms yükleme hızında 1,12 ve en fazla ise 25 °C sıcaklık ve 80 ms yükleme hızında 2,25 oranında etkilediği görülmektedir.

Ayrıca bu etkiyi daha iyi açıklaya bilmek amacıyla Şekil 6.26 hazırlanmıştır.



Şekil.6.26 Yükleme Periyodunun Elastisite Modülü Üzerindeki Etkisi

Şekil den de görülebileceği gibi yükleme periyodu 5 ve 40 °C sıcaklıklarda büyük bir etkiye sahip olmazken 15 ve 25 °C sıcaklıklarda elastisite modülü üzerinde önemli bir etkiye sahip oldukları görülmektedir.

Bu çalışmada, daha önceki bölümlerde de bahsedildiği şekilde üç farklı yükleme hızı (40, 60 ve 80 ms) için deneysel çalışmalar yapılmıştır. Söz konusu yükleme hızlarının elastisite modülü üzerinde olan etkisini değerlendirmek amacıyla, her bir sıcaklık ve yükleme hızı için farklı yükleme periyotlarında ölçülen en büyük ve en küçük elastisite modülleri birbirlerine bölünmüş ve Yükleme Hızı Etkisi (YHE) katsayısı hesaplanmış ve bulunan değerler Çizelge 6.8'de verilmiştir. Hesaplamlar yapılırken aşağıda verilen formülasyon kullanılmıştır.

$$YHE = \frac{\max E_i}{\min E_i}$$

YPE=Yükleme hızı etkisi

$\max E_i$ =Farklı Yükleme Hızları için Sabit i sıcaklığı ve i yükleme periyodunda

ölçülen en büyük elastisite modülü

$\min E_i$ =Farklı Yükleme Hızları için Sabit i sıcaklığı ve i yükleme periyodunda

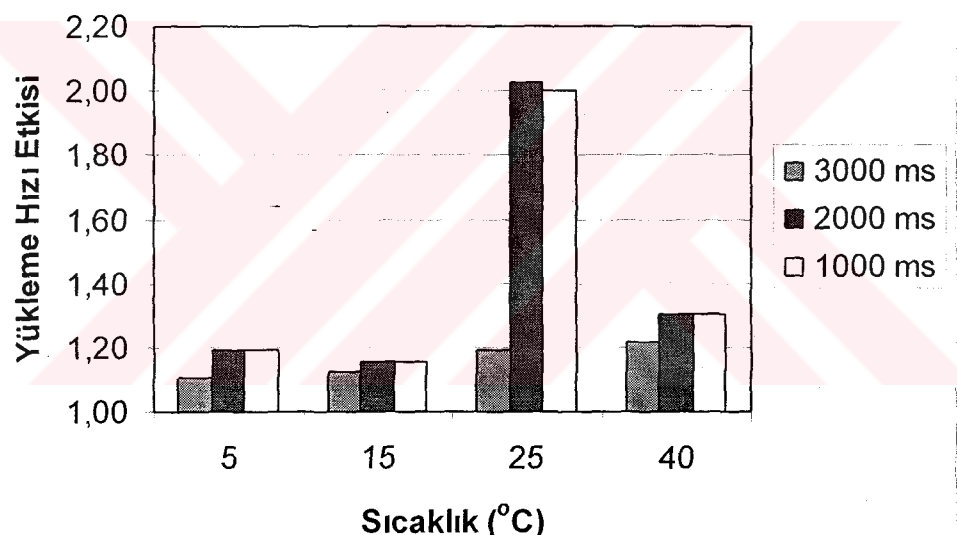
ölçülen en küçük elastisite modülü

Çizelge 6.8 Yükleme Hızı Etkisi (YHE)

| Yükleme Periyodu | Sıcaklı ($^{\circ}\text{C}$) | | | |
|------------------|--------------------------------|------|------|------|
| | 5 | 15 | 25 | 40 |
| 3000 ms | 1,11 | 1,12 | 1,19 | 1,22 |
| 2000 ms | 1,19 | 1,16 | 2,03 | 1,30 |
| 1000 ms | 1,19 | 1,16 | 2,00 | 1,30 |

Çizelge incelendiğinde yükleme hızının elastisite modülü üzerindeki etkisinin en az 5 $^{\circ}\text{C}$ sıcaklık ve 3000 ms yükleme periyodunda 1,11 ve en fazla ise 25 $^{\circ}\text{C}$ sıcaklık ve 2000 ms yükleme periyodunda 2,03 oranında etkilediği görülmektedir.

Ayrıca bu etkiyi daha iyi açıklaya bilmek amacıyla Şekil 6.27 hazırlanmıştır.



Şekil.6.27 Yükleme Hızının Elastisite Modülü Üzerindeki Etkisi

Şekil den de görülebileceği gibi yükleme hızı 5 ve 15 $^{\circ}\text{C}$ 'de karışımın çok rıjit, 40 $^{\circ}\text{C}$ 'de ise üzerine gelen yüklerin uygulanma sürelerine karşı tepki gösterebilecek kadar elastik olmaması nedeniyle, söz konusu sıcaklıklarda yükleme hızı önemli bir etkiye sahip değilken 25 $^{\circ}\text{C}$ sıcaklığta 2000 ve 1000 ms yükleme periyodunda etki katsayı 2'nin üzerine çıkmaktadır.

6.3.5 Statik Sünme Deneyi

Asfalt betonu karışımlarının tekerlek izi oluşumuna karşı göstermiş oldukları performansı değerlendirmek amacıyla Tek Eksenli Statik Sünme Deneyi uygulanmıştır. Bu deney farklı bitüm muhtevalarında (% 4,5-5,0-5,5-6 ve 6,5) ve optimum bitüm muhtevاسında katkılı ve geleneksel bağlayıcı (optAC ve optACv) ile hazırlanmış olan karışımlar üzerine yapılmıştır. Deney, Bölüm 5'te anlatıldığı şekilde uygulanmıştır. Deneyde toplam olarak 56 adet numune kullanılmıştır.

Deneysel çalışmada kullanılan deney değişkenleri aşağıda verilmiştir.

Tek Eksenli Basınç Yükü : 250 kPa (36,25 psi-2,55 kg/cm²)

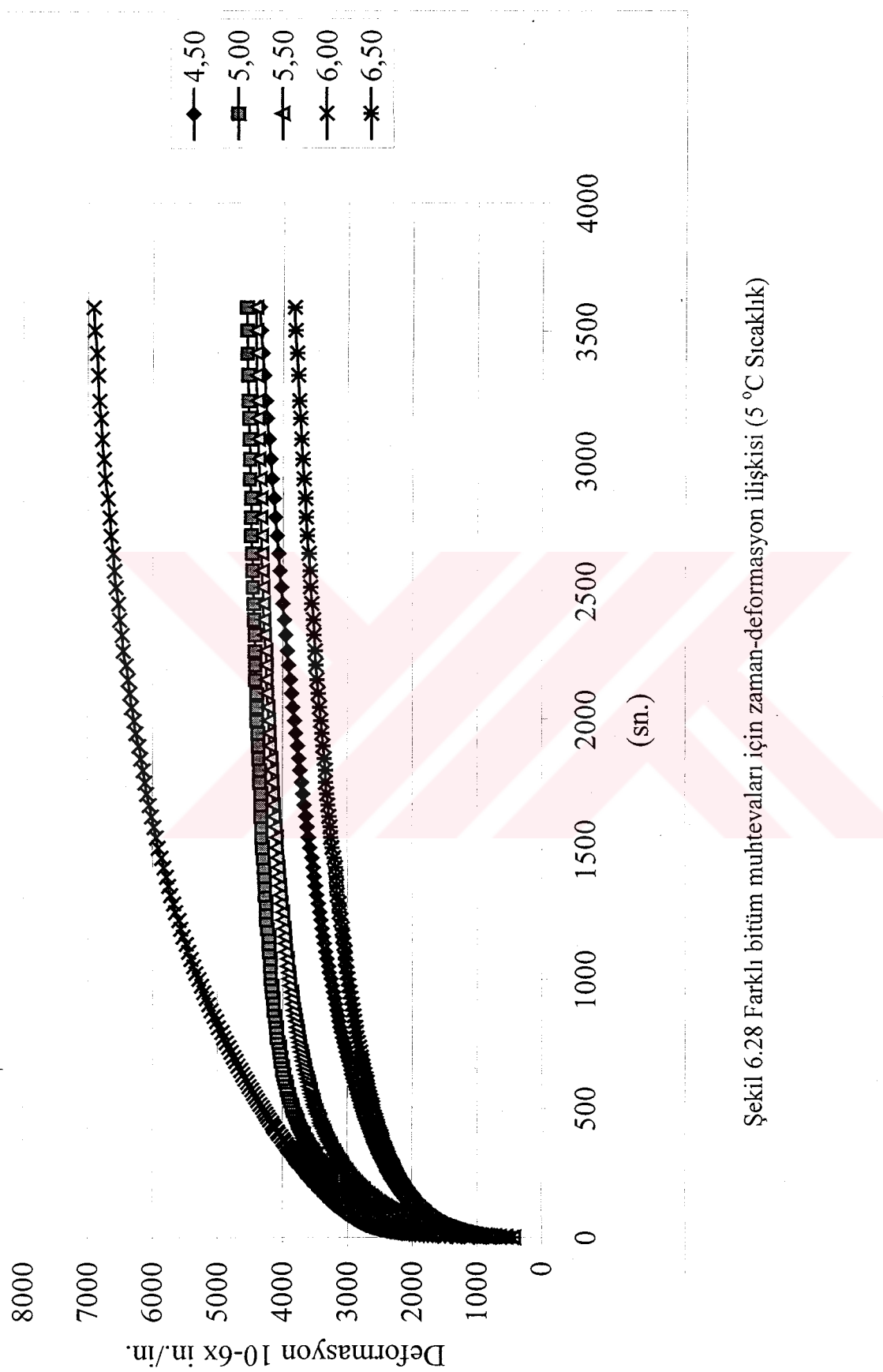
Deney Sıcaklıkları : 5 – 15 – 25 - 40 °C

Yük Uygulama Süresi : 3600 sn

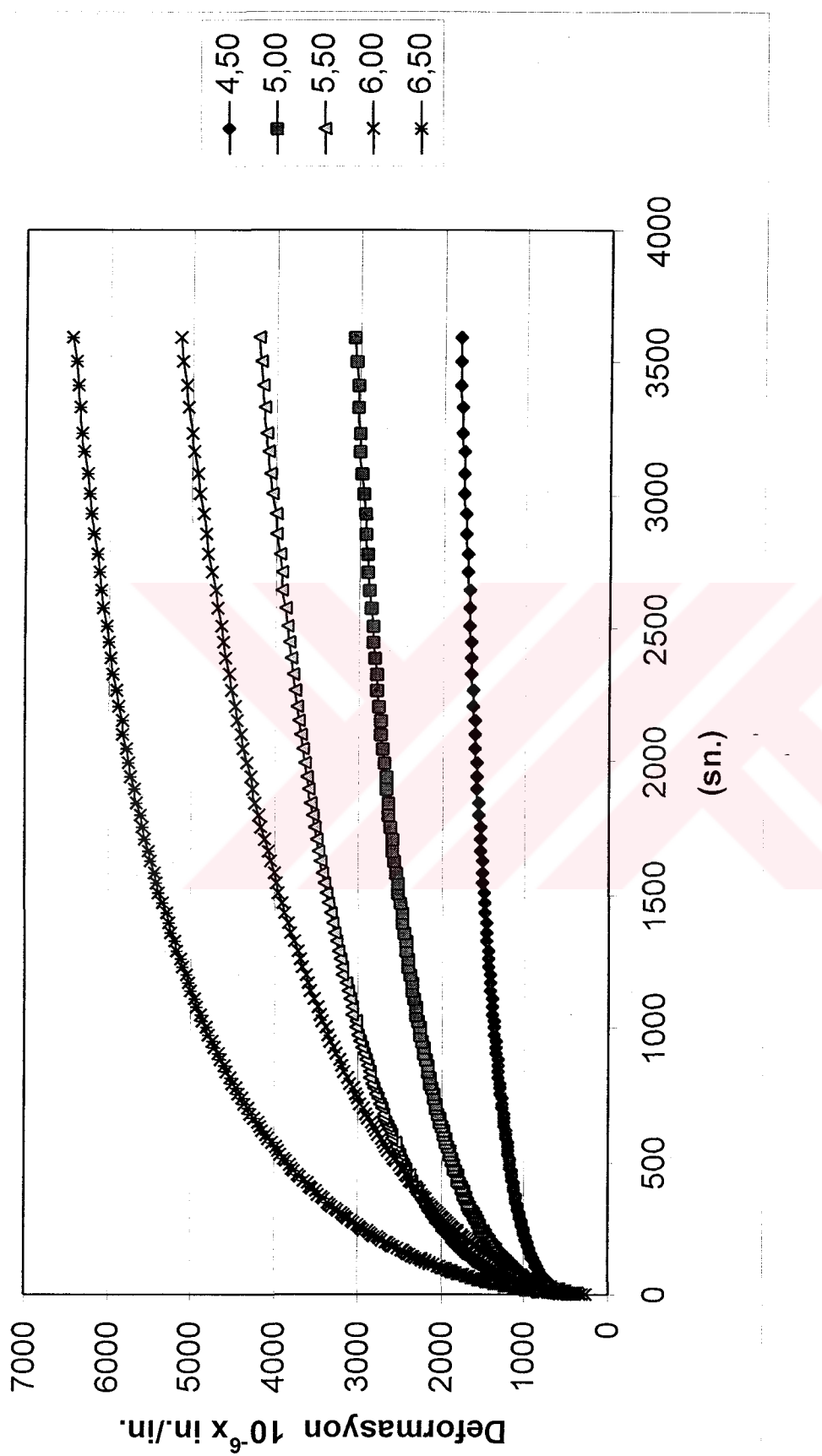
Yüksüz Süre : 3600 sn

Deneyde özet olarak, numune 3600 sn boyunca 250 kPa'lık basınç yüküne maruz bırakılmış ve bu süre boyunca oluşan deformasyonlar ölçülmüş ve kaydedilmiştir. 3600 sn yük uygulamasının ardından numune ilave olarak 3600 sn boyunca yüksüz bırakılmış ve 3600. Saniye sonunda geriye dönen deformasyon miktarı ölçülmüştür. Deneyden elde edilen sonuçlar Ek C'de Çizelge C.1 ve Çizelge C.2'de verilmiştir. Ayrıca herbir bitüm muhtevası için Sünme Modülü değerleri de hesaplanarak Çizelge C.3'de verilmiştir.

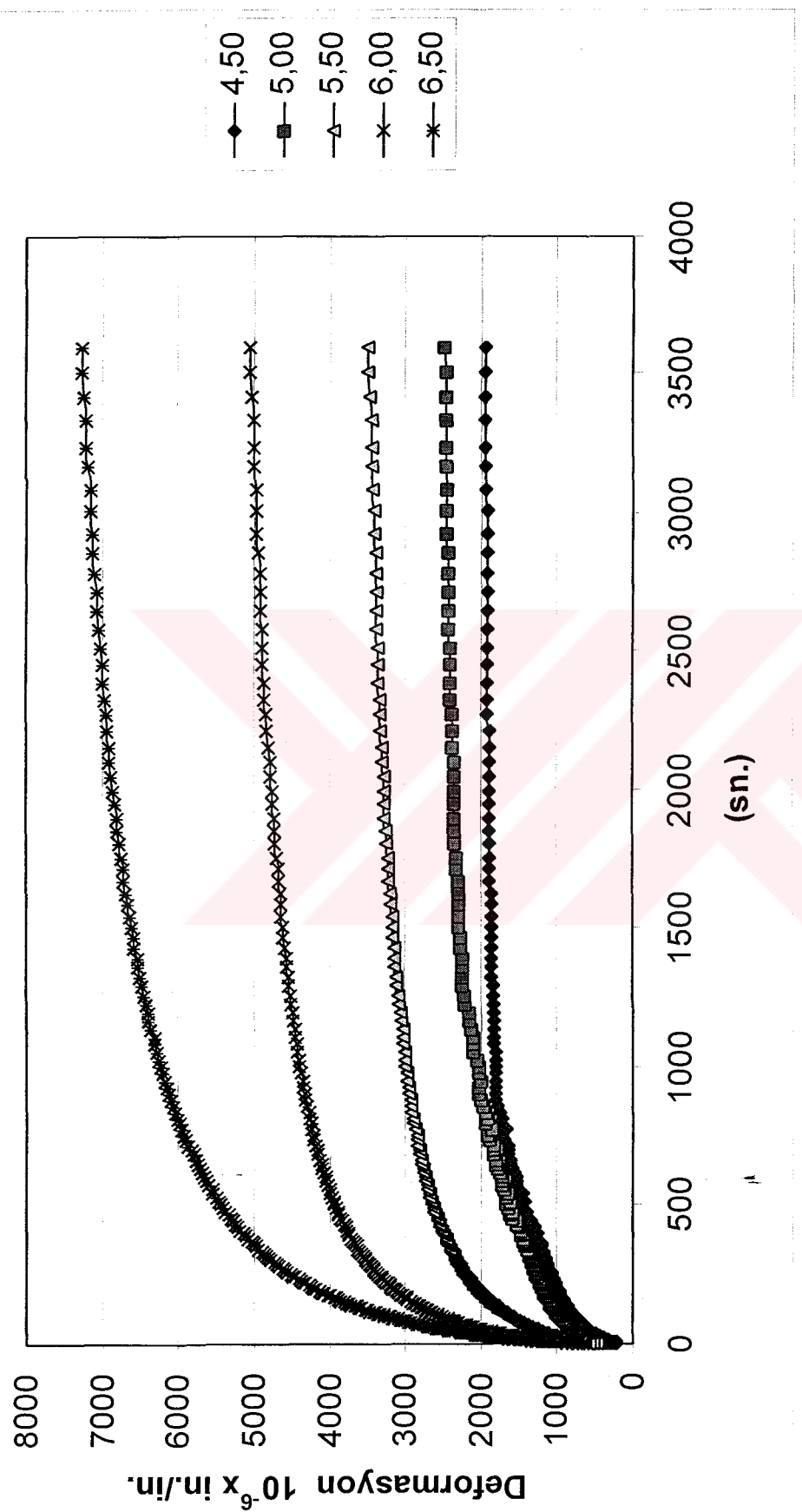
Deneyden elde edilen sonuçlardan yaralanılarak farklı bitüm muhtevaları için deney boyunca oluşan deformasyon miktarları 5 °C sıcaklık için Şekil 6.28, 15 °C için Şekil 6.29, 25 °C için Şekil 6.30 ve 40 °C için ise Şekil 6.31'da çizilmiştir.



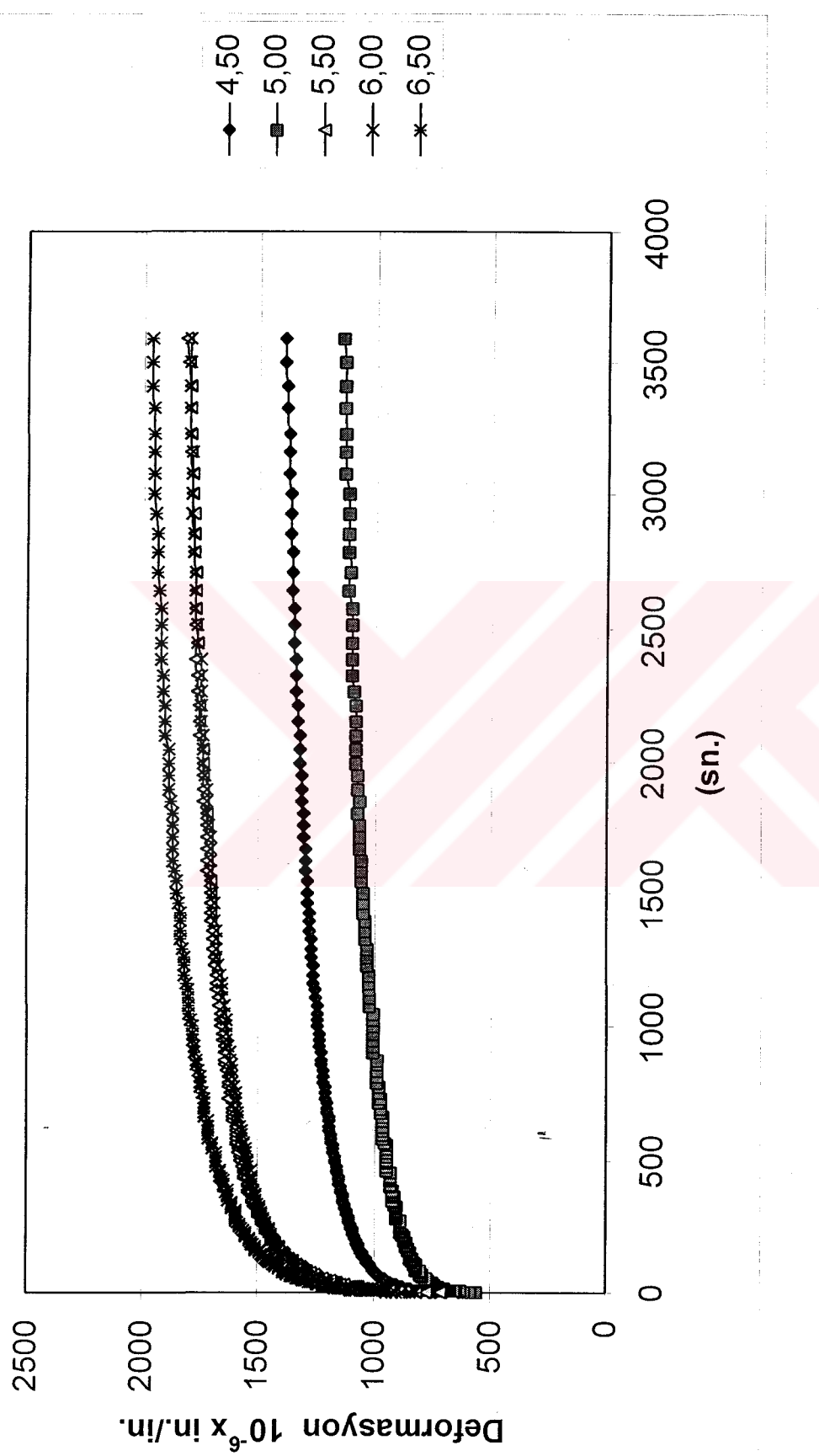
Sekil 6.28 Farklı bitüm multevaları için zaman-deformasyon ilişkisi (5 °C Sıcaklık)



Şekil 6.29 Farklı bitüm muhtevaları için zaman-deformasyon ilişkisi (15°C Sıcaklık)



Şekil 6.30 Farklı bitüm muhtevaları için zaman-deformasyon ilişkisi (25°C Sıcaklık)

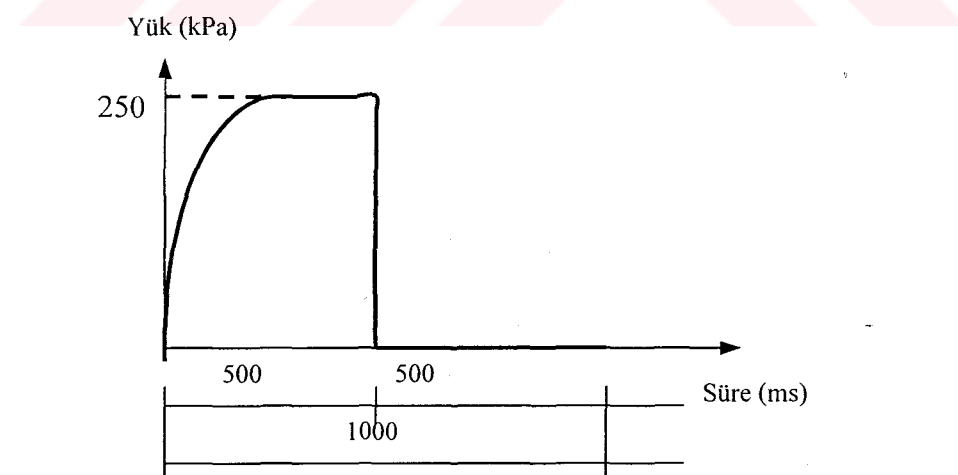


Şekil 6.31 Farklı bitüm muhtevaları için zaman-deformasyon ilişkisi (40°C Sıcaklık)

Şekillerden de görülebileceği gibi yükün uygulamasının başlaması ile numunelerde ani bir deformasyon artışı meydana gelmekte ancak belirli bir süre sonra deformasyon oluşma hızı azalmaktadır. Karışım içerisindeki bitüm muhtevasının artması ile oluşan deformasyon miktarları artış göstermekte, başka bir deyişle bitüm muhtevasının artması karışımda tekerlek izi oluşma riskini artırmaktadır. Ayrıca düşük ve yüksek (5°C ve 40°C) sıcaklıklarda karışım içerisinde oluşan deformasyon, bitüm miktarından bağımsız olarak değişmektedir.

6.3.6 Tekrarlı Sünme Deneyi

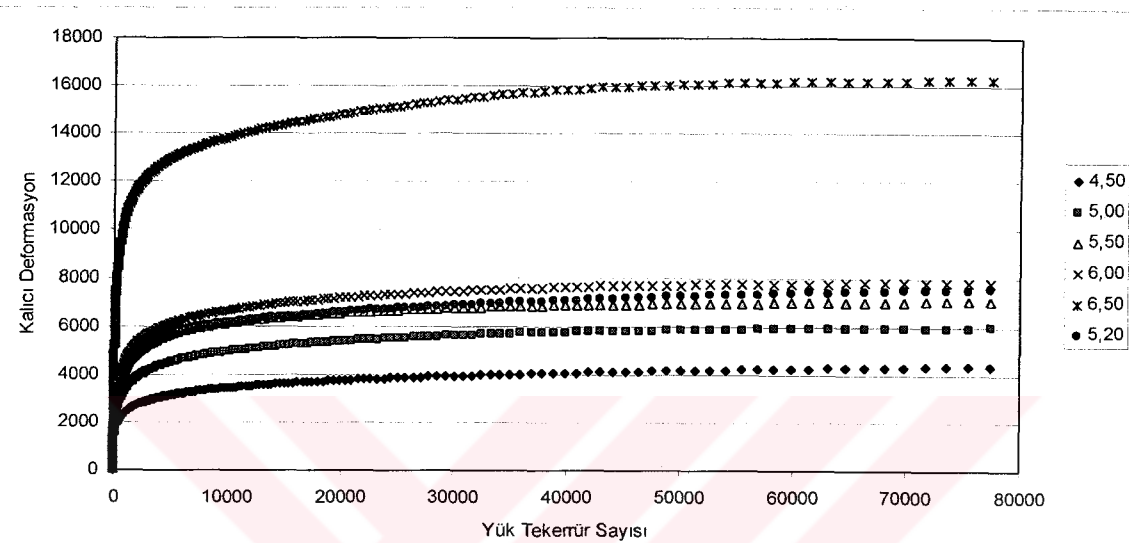
Bu deney, asfalt karışımlarının tekerlek izi oluşumu (kalıcı deformasyon) karakteristiklerini belirlemek amacıyla uygulanmaktadır (Alderson, 1995). Bu deneyde numuneler, 25°C sıcaklığında Şekil 6.32'de verildiği şekilde 1000 ms vuruş periyodu boyunca 500 ms yüklü ve 500 ms yüksüz olmak üzere 250 kPa'lık tek eksenli basınç yüküne en az 20 saat (72.000 yük tekrarı) boyunca maruz bırakılmış ve her bir yük tekrarından sonra numune içerisinde oluşan kalıcı deformasyonlar ölçülmüştür.



Şekil 6.32 Tekrarlı Yük ve Uygulama Şekli

Deney statik sünme deneyinde olduğu gibi 5 farklı bitim muhtevasında (% 4,5-5,0-5,5-6,0-6,5) ve katkılı ve katkısız karışımların optimum bitüm muhtevalarında (optAC-optACv)

yapılmıştır. Deneysel çalışma sırasında her bir bitüm muhtevası için 5 adet olmak üzere toplam 35 adet deney numunesi kullanılmıştır. Deneylerden elde edilen sonuçlar Ek D Çizelge D.1'de verilmiştir. Ayrıca deney sonucunda farklı bitüm muhtevaları için yük tekerrür sayısı-kalıcı deformasyon eğrisi Şekil 6.33'te sunulmuştur.



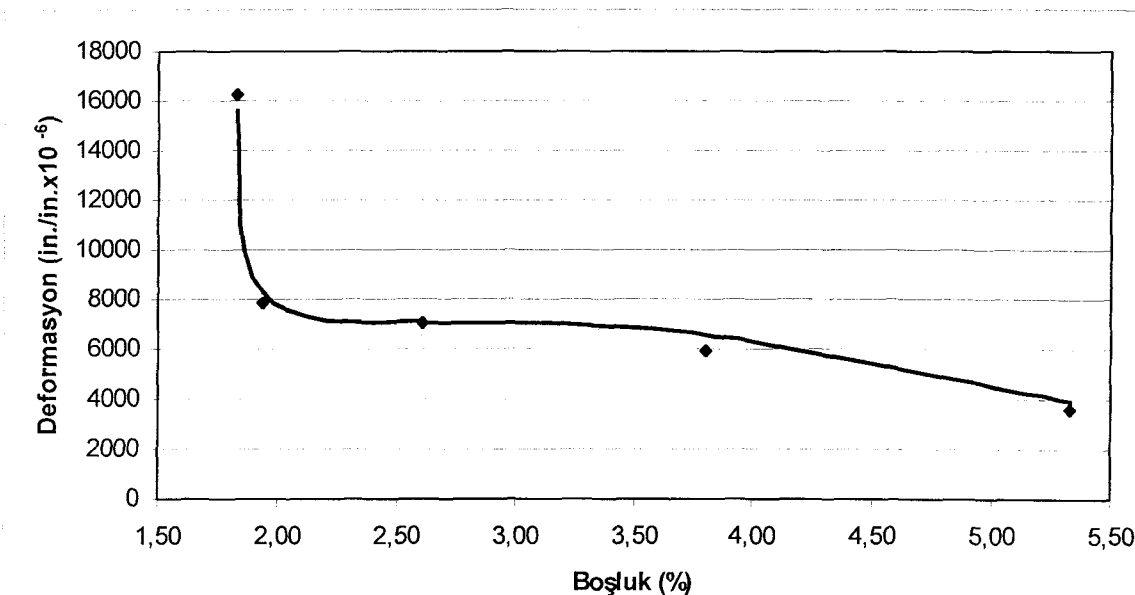
Şekil 6.33 Yük Tekerrür Sayısı-Kalıcı Deformasyon İlişkisi

Karışımın bitüm, boşluk ve asfaltla dolu boşluk yüzdesi ve 20. saat sonunda oluşan kalıcı deformasyon Çizelge 6.9'da gösterilmiştir.

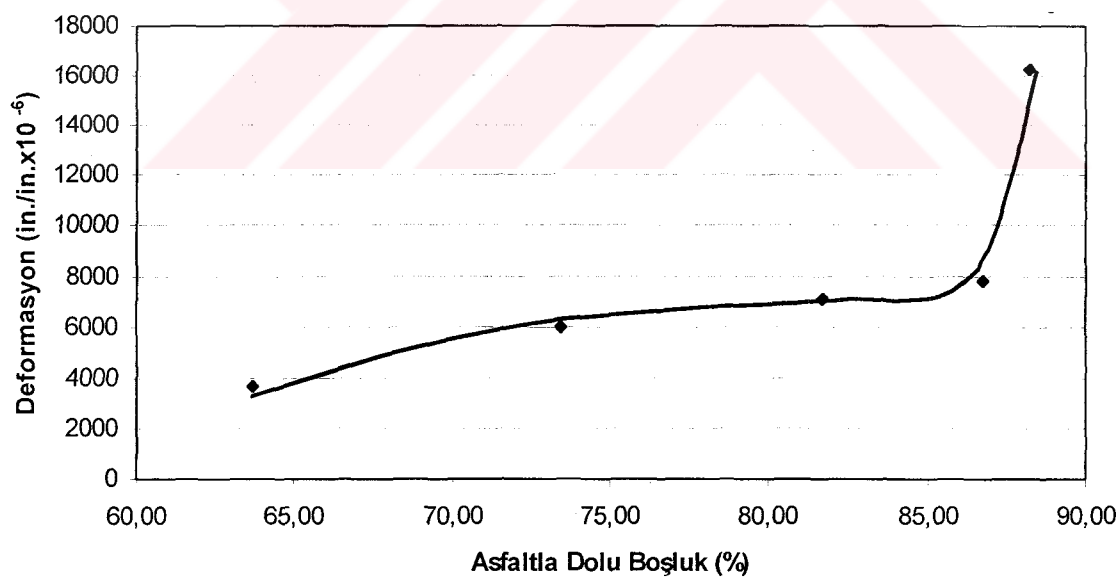
Çizelge 6.9 Karışım Değişkenleri ve 20. Saat Sonunda Oluşan Kalıcı Deformasyon

| Pb % | V % | VFA % | VMA % | Deformasyon (in./in. $\times 10^{-6}$) |
|------|------|-------|-------|---|
| 4,50 | 5,33 | 63,70 | 14,69 | 3636 |
| 5,00 | 3,80 | 73,48 | 14,32 | 5958 |
| 5,50 | 2,61 | 81,69 | 14,27 | 7065 |
| 6,00 | 1,94 | 86,76 | 14,67 | 7809 |
| 6,50 | 1,83 | 88,25 | 15,54 | 16227 |

Karışımın boşluk yüzdesi ve asfaltla dolu boşluk yüzdesi arasındaki ilişki sırasıyla Şekil 6.34 ve Şekil 6.35'te çizilmiştir.



Şekil 6.34 Boşluk-Kalıcı Deformasyon İlişkisi



Şekil 6.35 Asfaltla Dolu Boşluk-Kalıcı Deformasyon İlişkisi

Şekillerden de görüleceği üzere boşluk yüzdesinin yaklaşık 3,5 değerinden sonra deformasyonlarda bir azalma gözlenmektedir. Asfaltla Dolu Boşluk yüzdesinde ise 80 değerinden sonra deformasyonlarda ani bir artış oluşmaktadır. Burada dikkat edilmesi gereken boşluk için şartname sınır değerlerinin % 3-5 ve asfaltla dolu boşluk için bu değerlerin % 75-85 olduğunu.

6.4 Karışım Performanslarının Değerlendirilmesi

Çalışmada kullanılan farklı bitüm muhtevalarındaki karışımların Elastisite Modülü Değerlerinin ve Sünme Modülü değerlerinin, karışımın rıjitliği ve tekerlek izi oluşumu potansiyeli açısından değerlendirilmeleri yapılmıştır.

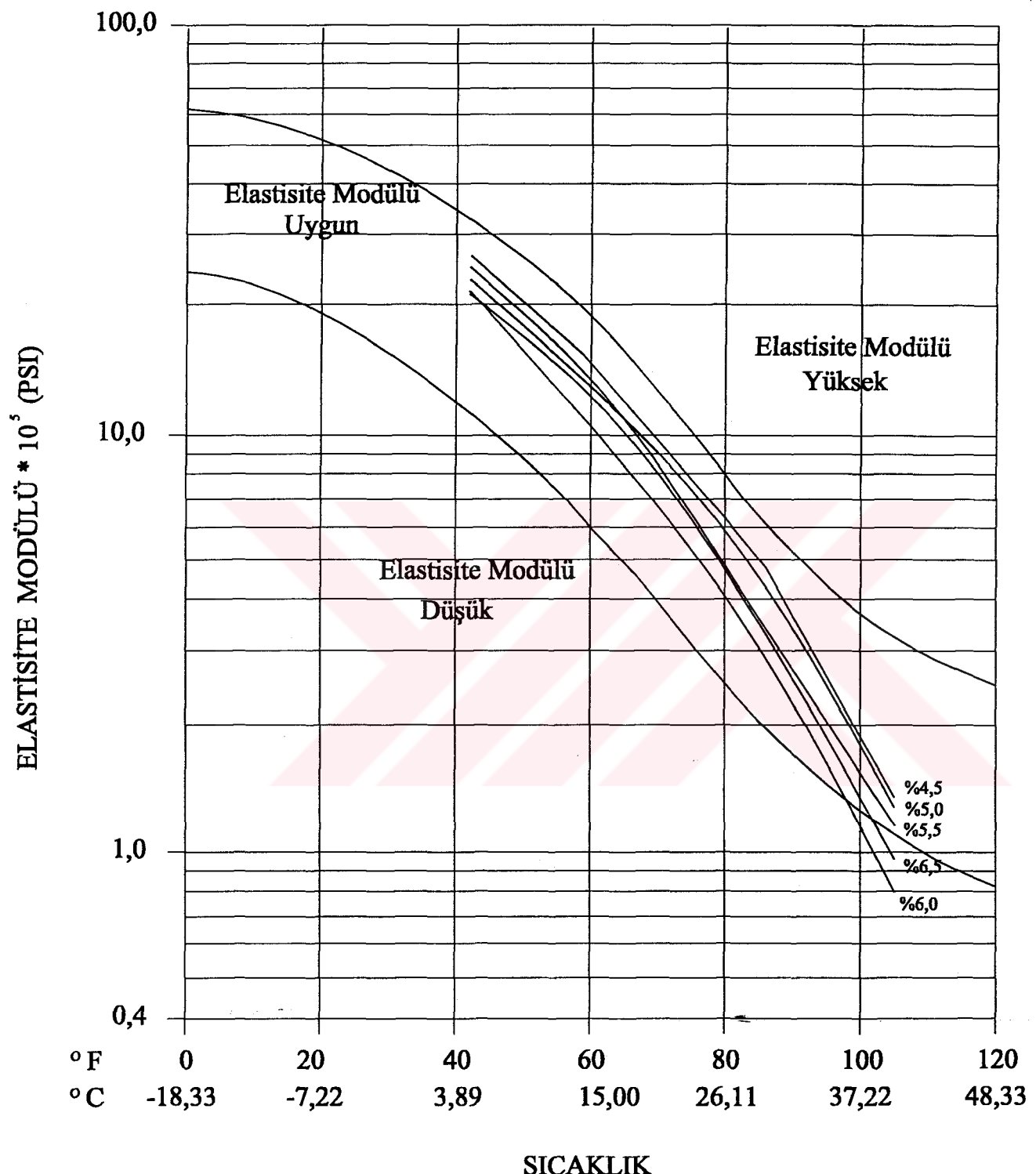
6.4.1 Elastisite Modüllerinin Değerlendirilmesi

Karışımın bitüm muhtevasına bağlı olarak istenilen rıjitlige sahip olup olmadıklarının değerlendirilmesinde AAMAS'de verilmiş olan nomograftan faydalanyılmıştır. Verilen nomograf üzerine farklı sıcaklık ve bitüm muhtevalarında yapılan Dolaylı Çekme Deneyinden elde edilen elastisite modülü değerleri işlenmiştir (Şekil 6.36).

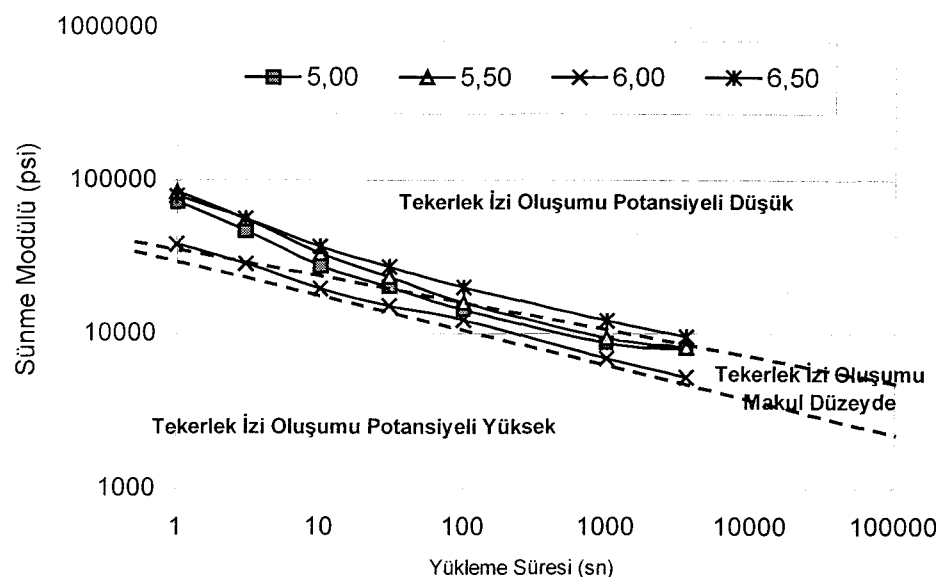
Şekil 6.36'inin incelenmesinden de görülebileceği gibi yüksek sıcaklıklarda (40°C) bitüm muhtevasındaki artış ile birlikte karışım, düşük rıjitlikleri nedeniyle eğrilerin dışında kalmaktadır. Ancak düşük sıcaklıklarda (5°C) karışımın rıjitlikleri artmakta ancak bu artışa rağmen uygunluk eğrileri arasında kalmaktadırlar.

6.4.2 Tekerlek İzi Oluşumu Potansiyellerine Ait Değerlendirme

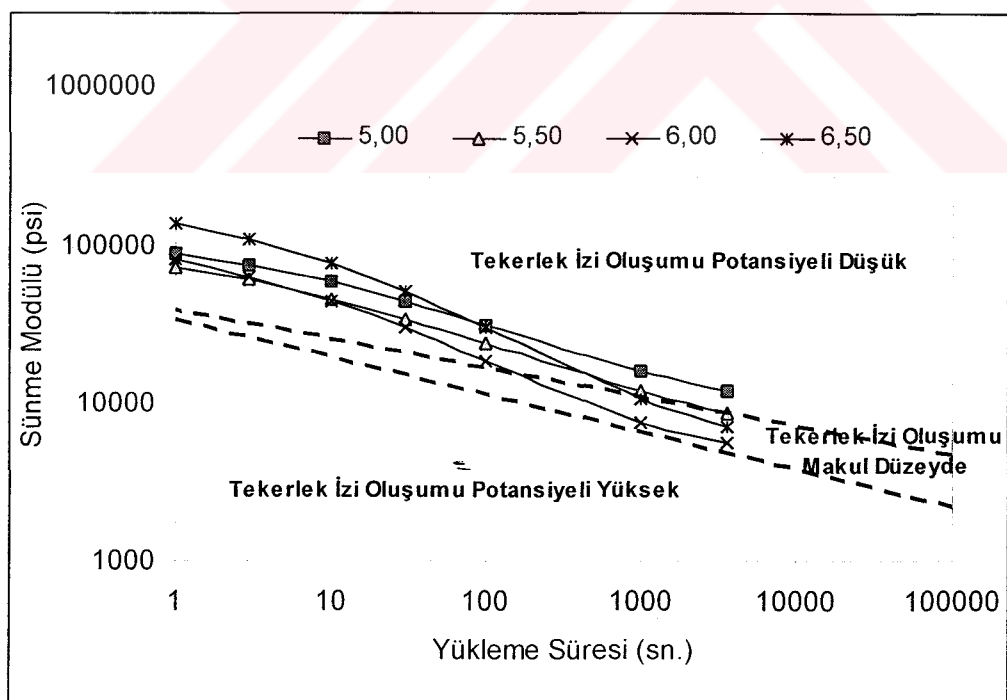
Karışımın bitüm muhtevasına bağlı uygun Sünme Modülü değerine sahip olup olmadıklarının değerlendirilmesinde AAMAS'de verilmiş olan nomograftan faydalanyılmıştır. Verilen nomograf üzerine farklı bitüm muhtevalarında yapılan Statik Sünme Deneyinden elde edilen Sünme Modülü değerleri farklı sıcaklıklara göre işlenmiştir (Şekil 6.37-6.38-6.39-6.40)



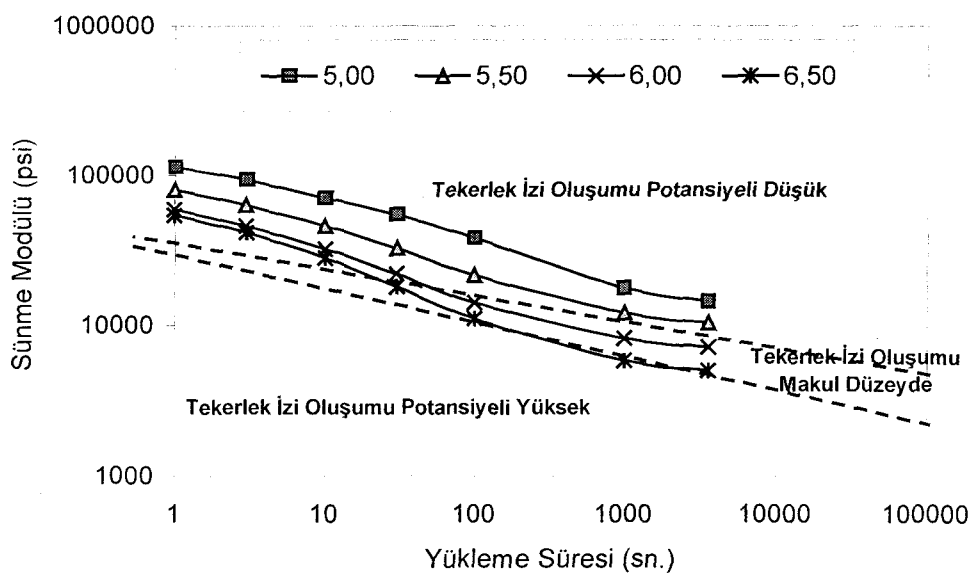
Şekil 6.36 Bitüm Oranlarına Göre Elastisite Modülü Değerlerinin Uygunluğu



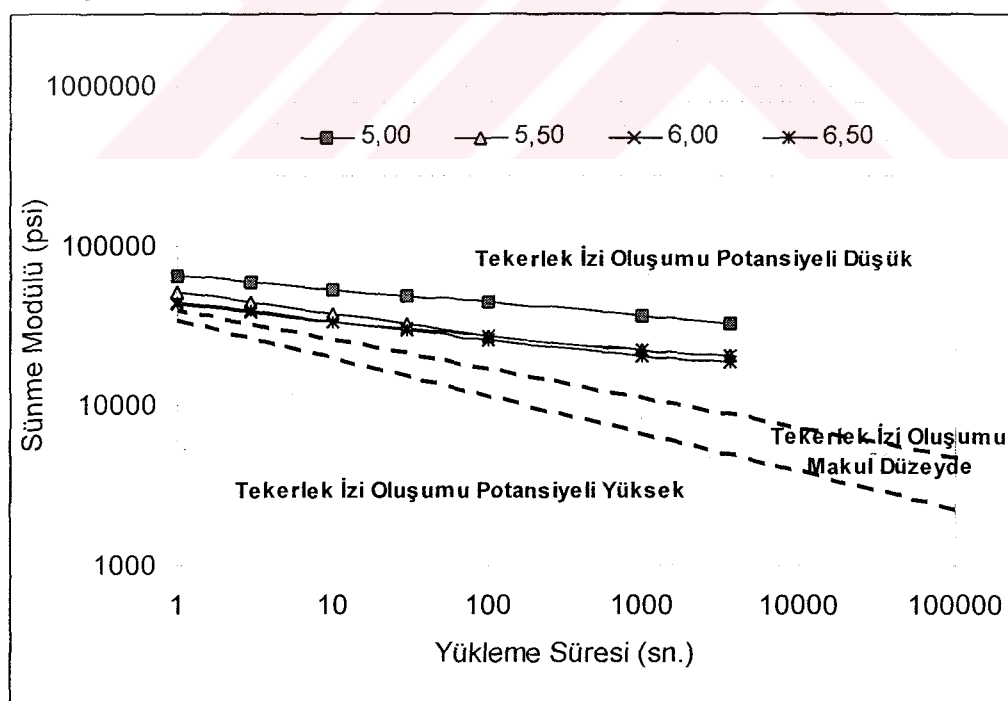
Şekil 6.37 Karışımın Bitüm Muhtevalarına Göre Tekerlek İzi Oluşumu Potansiyelleri
(5 °C)



Şekil 6.38 Karışımın Bitüm Muhtevalarına Göre Tekerlek İzi Oluşumu Potansiyelleri
(15 °C)



Şekil 6.39 Karışımların Bitüm Muhtevalarına Göre Tekerlek İzi Oluşumu Potansiyelleri
(25 °C)



Şekil 6.40 Karışımın Bitüm Muhtevalarına Göre Tekerlek İzi Oluşumu Potansiyelleri
(40 °C)

Şekillerin incelenmesinden de anlaşılacağı üzere karışımın, bitüm muhtevasındaki artış ile birlikte tekerlek izi oluşumuna karşı olan direnimi azalmaktadır. 4 farklı sıcaklık için Nomoğraflar incelendiğinde karışımının tekerlek izi oluşumu potansiyeli düşük olan bölgede kaldıkları görülmektedir.



7. TEKERLEK İZİ OLUŞUMU MODELİNİN KURULMASI VE KARIŞIM PERFORMANSLARININ DEĞERLENDİRİLMESİNE AİT BİR YÖNTEM

Bu çalışmada, Dolaylı Çekme Deneyi ve Dolaylı Çekme Mukavemeti deneylerinin sonuçlarından yaralanılarak karışımın yorulma ömrlerine ait bir değerlendirme yapılımaka ve çeşitli ülkelerde kullanılmakta olan yorulma ömrü tahmin modelleri arasından seçilen bazı modeller incelenerek ülkemiz koşullarına en uygun model belirlenmektedir. Ayrıca Statik ve Tekrarlı Sünme Deneyi sonuçlarından yararlanılarak bir tekerlek izi tahmini modeli kurulmaktadır.

Yapılan bu çalışmalardan yaralanılarak katkılı ve katkısız karışımın tekerlek izi oluşumuna ve yorulma dayanımına ilişkin bir yöntem verilmektedir.

7.1 Tekerlek İzi Oluşumu Modelinin Kurulması

Tekrarlı dingil yükleri altında asfalt betonu karışımında oluşan tekerlek izi oluşumunu (kalıcı deformasyonlar) tahmin etmek amacıyla; farklı bitüm muhtevalarında hazırlanan karışımlara uygulanan Statik Sünme ve Tekrarlı Sünme deneyi sonuçlarından yararlanılarak bir model kurulmuştur.

Farklı bitüm muhtevalarında hazırlanan karışımlarda tekrarlı yükler nedeniyle oluşan kalıcı deformasyon değerleri Şekil 6.33'de gösterilmiştir. Şekil 6.33'ün incelenmesinden de görülebileceği gibi yük tekerrür-deformasyon arasında;

ϵ_p : Kalıcı deformasyon (μ)

N : Yük tekerrür sayısı

A, B : Sabitler olmak üzere,

$\epsilon_p = A * \ln(N) - B$ şeklinde bir matematiksel ilişkinin var olduğu görülmektedir. Bu bağıntıda yer alan A ve B katsayılarının belirlenmesi için regresyon analizi yapılmıştır. Regresyon analizi sonucunda elde edilen A ve B katsayıları ve yapılan regresyon analizi

çalışmasının deneyden bulunan değerleri ne derecede doğru yansittığı hakkında fikir veren Korelasyon Katsayıları Çizelge 7.1'de verilmiştir:

**Çizelge 7.1 Yük Tekerrür Sayısı-Kalıcı Deformasyon
Regrasyon Analizi Sonuçları**

| Bitüm (%) | Regresyon Katsayıları | | Korelasyon Kts. R^2 |
|--------------|-----------------------|--------|--------------------------|
| | A | B | |
| 4,50 | 334,60 | 331,4 | 0,95 |
| 5,00 | 609,90 | 772,4 | 0,99 |
| 5,50 | 810,88 | 1529,5 | 0,98 |
| 6,00 | 873,16 | 1532,1 | 0,99 |
| 6,50 | 1633,20 | 1222,0 | 0,99 |
| 5,26 | 702,76 | 1114,4 | 0,99 |
| 5,20 | 798,52 | 1268,6 | 0,99 |

Çizelge 7.1'den de görüleceği gibi yük tekerrürü-deformasyon arasında yeteri derecede yakın bir ilişki bulunmaktadır.

Yukarıda verilen bağıntı ile bazı karışım değişkenleri (PB:ağırlıkça bitüm %'si , V:boşluk, VFA:asfaltla dolu boşluk, VMA:mineral agregat içerisindeki boşluk ve CM:Statik Sünme Deneyinden elde edilen 25 °C sıcaklıkta 3600. Saniyedeki Sünme Modülü) arasındaki ilişkisi bulmak amacıyla kullanılan bağımsız değişkenler Çizelge 7.2'de verilmiştir.

Çizelge 7.2 Model Çalışmasında Kullanılan Bağımsız Değişkenler

| PB (%) | V (%) | VFA (%) | VMA % | CM (psi) |
|-----------|----------|------------|----------|-------------|
| 4,50 | 5,33 | 63,70 | 14,69 | 18594,1 |
| 5,00 | 3,8 | 73,48 | 14,32 | 14527,2 |
| 5,50 | 2,61 | 81,69 | 14,27 | 10413,6 |
| 6,00 | 1,94 | 86,76 | 14,67 | 7178,8 |
| 6,50 | 1,83 | 88,25 | 15,54 | 4987,6 |
| 5,26 | 3,3 | 76,50 | 14,29 | 12038,5 |
| 5,20 | 3,1 | 78,00 | 14,31 | 13766,1 |

Ayrıca, çalışmada kullanılan değişkenlere ait korelasyon matrisi de Çizelge 7.3'de verilmiştir.

Çizelge 7.3 Korelasyon Matrisi

| | PB (%) | V (%) | VFA (%) | VMA % | CM (psi) |
|----------|--------|-------|---------|-------|----------|
| PB (%) | 1,00 | | | | |
| V (%) | 0,92 | 1,00 | | | |
| VFA (%) | 0,95 | 0,99 | 1,00 | | |
| VMA (%) | 0,67 | 0,35 | 0,42 | 1,00 | |
| CM (psi) | 0,98 | 0,94 | 0,97 | 0,58 | 1,00 |
| A | 0,98 | 0,88 | 0,91 | 0,75 | 0,95 |
| B | 0,66 | 0,88 | 0,85 | 0,65 | 0,72 |

Model çalışmasında STORM paket programından yaralanılarak katlı regresyon analizi yapılmıştır. Katlı regresyon analizinde, bağımlı değişkenler olan A ve B ile bağımsız değişkenler arasında;

$$A = f(PB, V, VFA, VMA, CM)$$

$$B = f(PB, V, VFA, VMA, CM)$$

gibi bir ilişkinin olduğu kabul edilmiştir. Yapılan regrasyon analizi sonucunda ise;

$$A=f(PB, VFA)$$

$$B=f(PB, CM)$$

şeklinde olduğu bulunmuştur. Bu sonuca göre, A ve B katsayılarına ait denklemler;

$$A = - 2912,44 - 971,9476 * PB + 118,6612 * VFA$$

$$B = - 8011,84 + 1398,469 * PB + 0,111148 * CM$$

A : Kalıcı Deformasyon-Yük tekerrürü ilişkisi çarpan katsayısı

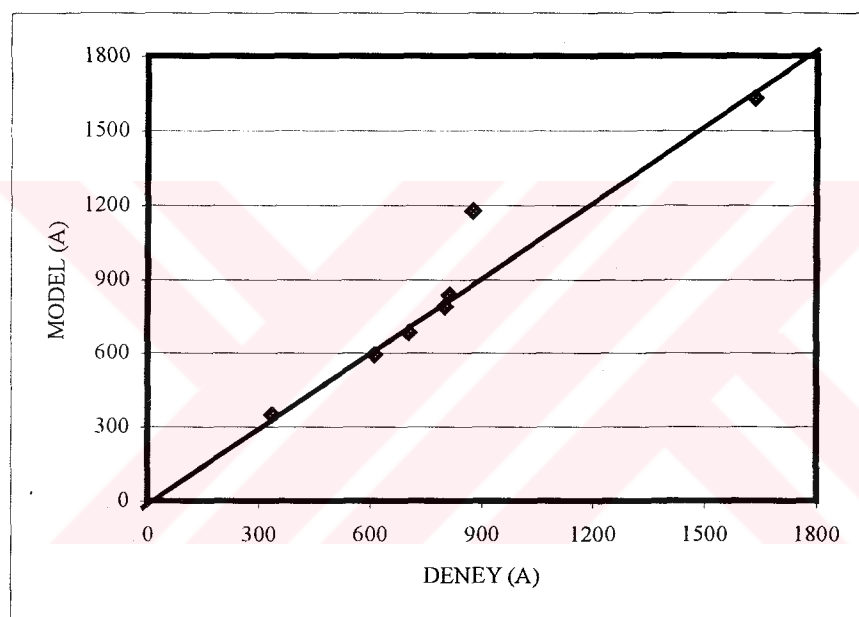
B : Kalıcı Deformasyon-Yük tekerrürü ilişkisi sabiti

PB : Bitüm Yüzdesi (4,5 – 6,5)

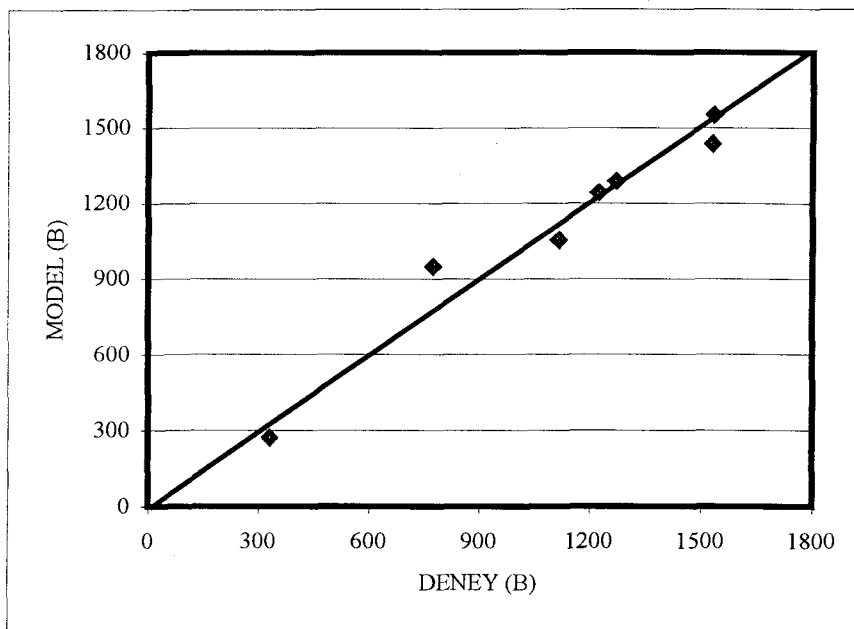
VFA : Asfaltla Dolu Boşluk (%)

CM : 3600. Saniye sonundaki Statik Sünme Modülü (psi)

korelasyon katsayıları ise A için $r^2=0,95$ ve B için ise $r^2=0,99$ olarak bulunmuştur. Yapılan değerlendirmelerden modelden hesaplanan ve laboratuar çalışmaları sonucunda elde edilen A ve B katsayılarının uygunluğunu göstermek amacıyla Şekil 7.1 ve Şekil 7.2 çizilmiştir. Şekillerden de görülebileceği gibi eğer deneyden bulunan ve hesaplanan değerler arasında tam bir ilişki olsaydı tüm değerler şekillerde çizilen 1 diyagonal çizgisi üzerinde yer alacaktı, ancak burada değerler diyagonal çizgiye alt ve üst bölgelerde belirli uzaklıklarda yer almaktadır. Bu aşama için bu kadarlık bir yakınsaklık yeterli görülmektedir.



Şekil 7.1 Model ve Deneyden Bulunan A Değerleri Arasındaki İlişki



Şekil 7.2 Model ve Deneyden Bulunan B Değerleri Arasındaki İlişki

Modelden hesaplanan ve deneylerden bulunan kalıcı deformasyon-yük tekerrür sayısı ilişkisini veren bağıntılar Çizelge 7.4'de verilmiştir.

Çizelge 7.4 Regresyon ve Deneyden Bulunan Yorulma Denklemleri

| Bitüm (%) | Denklemler | |
|--------------|---|--|
| | Deneyden | Model |
| 4,50 | $\varepsilon_p = 334,60 * \ln(N) - 331,7$ | $\varepsilon_p = 347,97 * \ln(N) - 272,51$ |
| 5,00 | $\varepsilon_p = 609,90 * \ln(N) - 772,41$ | $\varepsilon_p = 595,17 * \ln(N) - 947,05$ |
| 5,50 | $\varepsilon_p = 810,88 * \ln(N) - 1529,5$ | $\varepsilon_p = 837,19 * \ln(N) - 1435,28$ |
| 6,00 | $\varepsilon_p = 873,16 * \ln(N) - 1532,1$ | $\varepsilon_p = 1176,88 * \ln(N) - 1550,92$ |
| 6,50 | $\varepsilon_p = 1633,20 * \ln(N) - 1222,0$ | $\varepsilon_p = 1632,57 * \ln(N) - 1241,75$ |
| OptAC | $\varepsilon_p = 702,76 * \ln(N) - 1114,40$ | $\varepsilon_p = 682,16 * \ln(N) - 1052,70$ |
| OptACv | $\varepsilon_p = 798,52 * \ln(N) - 1268,6$ | $\varepsilon_p = 790,27 * \ln(N) - 1289,01$ |

Çizelge incelenirse denklemlerin çarpan katsayılarında bir yükselme ve karışımında oluşan başlangıç deformasyonunun bir göstergesi olan sabit katsayı ise %6 bitüm oranında en büyük değerine ulaşmaktadır.

7.2 Seçilen Yorulma Modellerinden Bu Çalışma Koşullarına Uyan Modelin Tespitİ

Karışımların tekrarlı yükler altındaki performanslarını değerlendirmek amacıyla geliştirilmiş olan Yorulma Modelleri araştırılmış ve bu modeller ile ilgili detaylı bilgi Bölüm 5'de verilmiştir.

Bu bölümde, çalışmadan elde edilen deney sonuçları kullanılarak bu çalışma koşullarına (uygulanan deney yöntemleri açısından) uygun modelin tespiti çalışması yapılmıştır. Değerlendirmede; Nottingham Araştırmacıları, SHELL, Asphalt Institute ve AAMAS tarafından geliştirilmiş olan modeller kullanılmıştır.

Karışımların tekrarlı yükler altındaki davranışları;

$$Nf = K * \varepsilon_t^{-n}$$

Nf : Bozulmaya neden olan yük tekerrür sayısı

K, n : regresyon katsayıları

ε_t : Başlangıç deformasyonu

denklemi ile ifade edilmektedir. Uygun modelin belirlenmesinde öncelikli olarak, modellerin uygun sonucu verip vermedikleri (makul sonuçlar) konusunda ön bir çalışma yapılmıştır. Bu çalışma sonucunda Asphalt Institute tarafından geliştirilmiş olan modelin çok yüksek yük tekerrürü sayıları verdiği.(99 milyar tekerrür gibi) belirlendiğinden daha sonraki değerlendirme aşamalarında incelemeye dahil edilmemiştir.

Diğer modellerin uygunlıklarının tespitinde ise; model girdileri olarak deneysel çalışmadan elde edilen veriler kullanılmış ve yukarıda verilen bağıntıda yer alan K ve n regresyon katsayıları her bir bitüm muhtevası için hesaplanmıştır. Yapılan bu hesaplamadan elde sonuçlar Çizelge 7.5'de verilmiştir.

Çizelge 7.5 K ve n Regresyon Katsayıları

| Bitüm (%) | Nottingham | | Shell | | AAMAS | |
|--------------|------------|-----------|----------|----------|----------|-------------|
| | n | K | n | K | n | K |
| 4,5 | 0,24035 | 295048,77 | 0,552688 | 278439,7 | -0,08860 | 19771868,7 |
| 5 | 0,23533 | 296706,48 | 0,528312 | 280006,9 | -0,12666 | 27994657,2 |
| 5,5 | 0,23154 | 297965,34 | 0,496781 | 282047,3 | -0,19642 | 52955170,0 |
| 6 | 0,22868 | 298917,91 | 0,471827 | 283672,5 | -0,29436 | 129580837,7 |
| 6,5 | 0,22649 | 299648,44 | 0,452902 | 284911,4 | -0,22421 | 68257454,2 |
| Katkısız | 0,23366 | 297261,86 | 0,510472 | 281159,5 | -0,10183 | 22312465,3 |
| katkılı | 0,23453 | 296973,47 | 0,53057 | 279861,4 | -0,17448 | 43334888,8 |

Çizelge 7.5 incelenirse **K** katsayılarının tüm modellerde pozitif olduğu görülmekte, **n** katsayısı ise Nottingham Araştırmacıları ve Shell tarafından geliştirilen modeller için pozitif (+), AAMAS'de ise negatif (-) değer almaktadır. Ancak modelde **n** katsayısının pozitif değer olması gerekmektedir. Bu nedenle uygun modeller olarak **Nottingham** ve **Shell** tarafından geliştirilen modeller tesbit edilmiştir.

7.3 Karışım Performanslarının Değerlendirme Yöntemi

Karışımın uzun dönemli davranışını tesbit etmek büyük bir önem taşımaktadır. Bu nedenle bu bölümde karışımın uzun dönemli davranışının (tekerlek izi ve yorulma) ülkemiz koşullarında değerlendirilmesine yönelik bir yöntem sunulmuştur. Bu yöntemin uygulanmasına bir örnek olmak üzere Vestoplast katkı malzemesi (optACv) ile katkısız karışımı (optAC) ait bir çalışma verilmiştir.

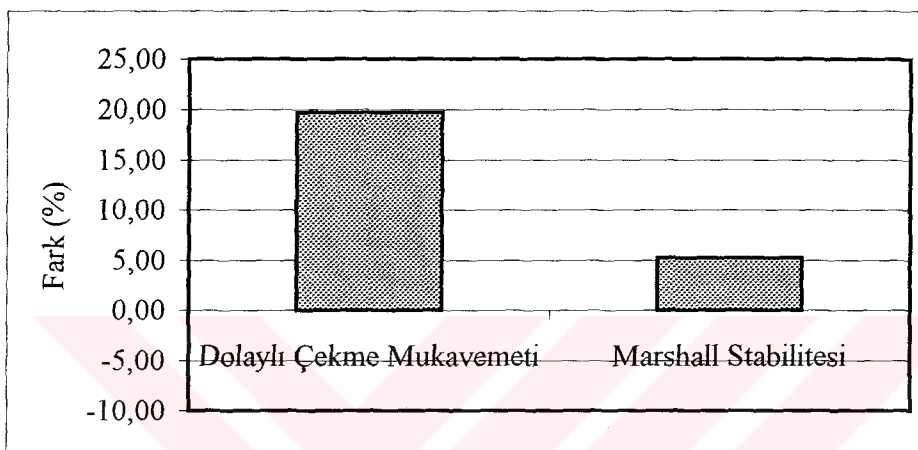
7.3.1 Karışım Stabilitelerine Ait Değerlendirme

Katkılı ve katkısız karışımın stabilite bakımından değerlendirilmesi amacıyla Marshall Tasarım Deneyi sonucunda tesbit edilen optimum bitüm muhtevasında hazırlanan numunelere (opt AC, opt ACv) Marshall Stabilitesi ve Dolaylı Çekme Mukavemeti Deneyleri uygulanmıştır. Deneylerden elde edilen sonuçlar Çizelge 7.6'da verilmiştir. Çizelge'ye ayrıca stabilite değerleri arası farklılık da ilave edilmiştir. Ayrıca stabilite değerleri arası farklılığın grafik olarak gösterilmesi amacıyla Şekil 7.3 çizilmiştir.

Çizelge 7.6 Katkılı ve Katkısız Karışım Stabiliteleri

| | | katkısız | katkılı | F* (%) |
|------------|---------------------------------------|----------|---------|--------|
| Dolaylı | Çekme Deformasyonu ($\mu\epsilon$) | 103,51 | 84,06 | |
| Çekme | Basınç Deformasyonu ($\mu\epsilon$) | 169,98 | 138,04 | |
| Mukavemeti | Mukavemet (psi) | 114,51 | 137,10 | 19,73 |
| Marshall | Stabilite (kg) | 1150 | 1210 | 5,22 |
| | Akma (mm) | 3,10 | 3,30 | |

* $F = \text{katkılı} \times 100 / \text{katkısız} - 100$

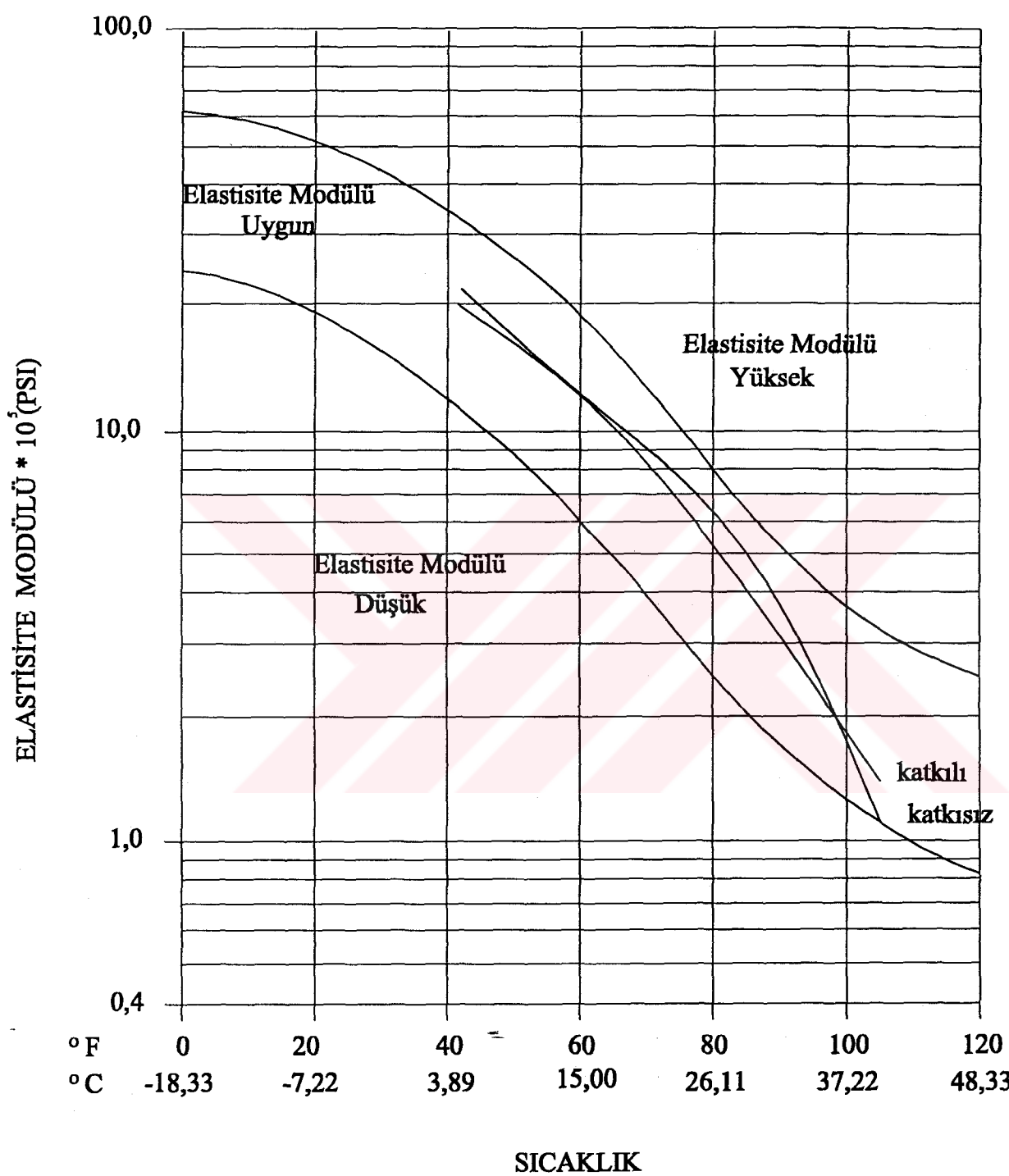


Şekil 7.3 Stabilite Değerleri Arası farklılık

Katkılı karışımın Marshall Stabilite değeri 1210 iken bu değer katkısız karışım için 1150 olmaktadır. Ayrıca katkılı karışım stabilite bakımından katkısız karışımı nazaran daha iyi bir performans sergilemektedir.

7.3.2 Karışımın Esneklik ve Yorulma Bakımından Değerlendirilmesi

Hazırlanan karışımların esneklikleri bakımından değerlendirilmesinde AAMAS'de tanımlanan nomograftan yararlanılmıştır. Bu amaçla nomograf üzerine katkılı ve katkısız karışımı ait değerler işaretlenerek karışımların esneklikleri bakımından bir değerlendirme yapılmıştır (Şekil 7.4).



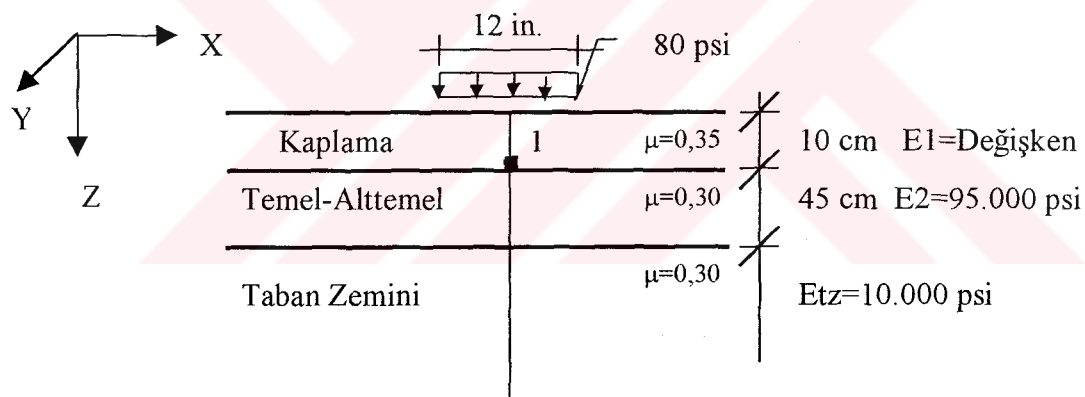
Şekil 7.4 Katkılı ve Katkısız Karışımının Elastisite Modülü Değerlerinin Uygunluğu

Karışımların yorulma direnimlerini tesbit etmek amacıyla;

$$Nf = K * \varepsilon_t^{-n}$$

bağıntısından yararlanılmış ve karışımların yorulma ömürlerini tesbit etmek amacıyla Nottingham ve Shell tarafından geliştirilen modellerden elde edilen K ve n değerleri kullanılmış ve her iki model için ayrı ayrı olmak üzere katkılı ve katkısız karışımların ömürleri hesaplanmıştır.

Karışım için Başlangıç Deformasyonu (ε_t), Şekil 7.5'de verilen üstyapı kesitinde kaplama tabakasının tabanında oluşan (1 noktası) yanal deformasyonun (X, Y eksen) ELSYM5 (Elastic Layered System with Normal Loads) paket programı kullanılarak hesaplanmasıdan elde edilmiştir. Elastisite modülü değerleri (E) 25 °C sıcaklıkta yapılan dolaylı çekme deneyinden alınmıştır.

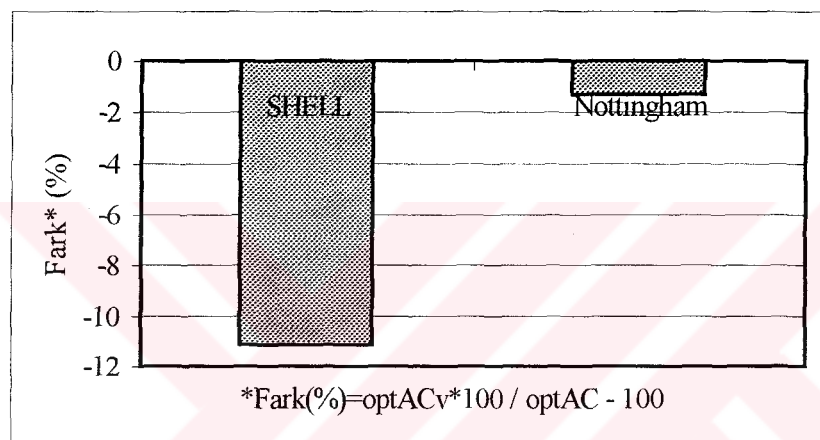


Şekil 7.5 Seçilen Üstyapı Kesiti

verilen kesit için hesaplanan başlangıç deformasyonları ve yorulma ömürleri Çizelge 7.7'de ve ayrıca yorulma ömürleri arasındaki fark Şekil 7.6'da verilmiştir.

Çizelge 7.7 Yorulma Ömrü Tahmini

| | | Katkısız | katkılı |
|---------------------------|------------|----------|----------|
| E_1 (psi) | | 685214,9 | 580435,9 |
| ε_t (μ) | | 111 | 115 |
| Yorulma Ömrü | Nottingham | 98908 | 97594 |
| | SHELL | 25403 | 22574 |
| n Katsayısı | Nottingham | 0,510472 | 281159,5 |
| | SHELL | 0,233660 | 297261,9 |
| K Katsayısı | Nottingham | 0,530570 | 279861,4 |
| | SHELL | 0,234530 | 296973,5 |



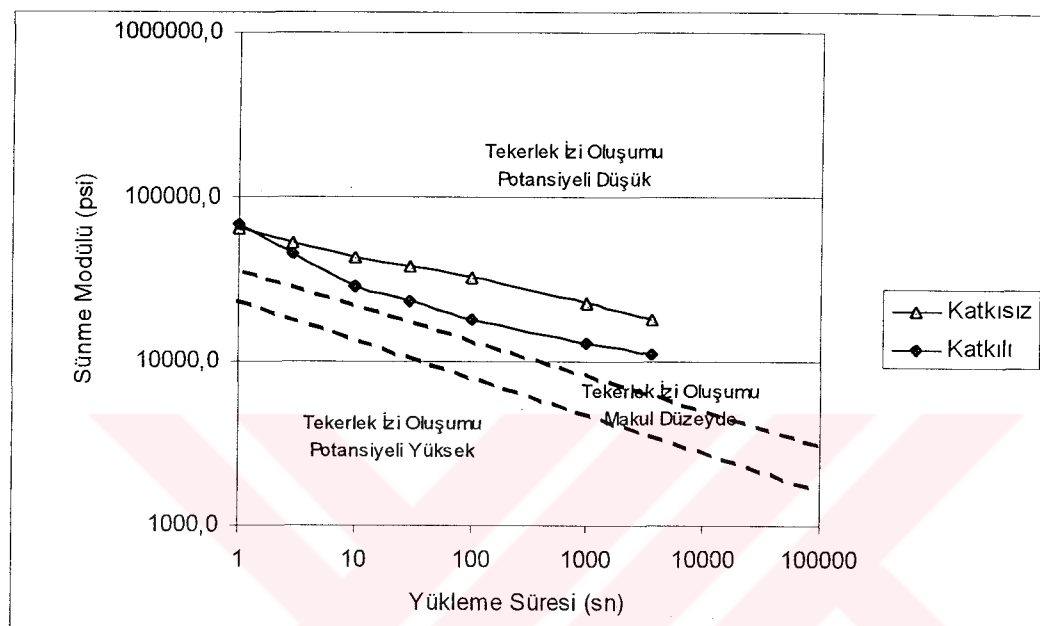
Şekil 7.6 Yorulma Ömürleri Arası Farklılık

Şekilden de görüleceği üzere yorulma açısından katkısız karışım daha iyi bir performans sergilemektedir.

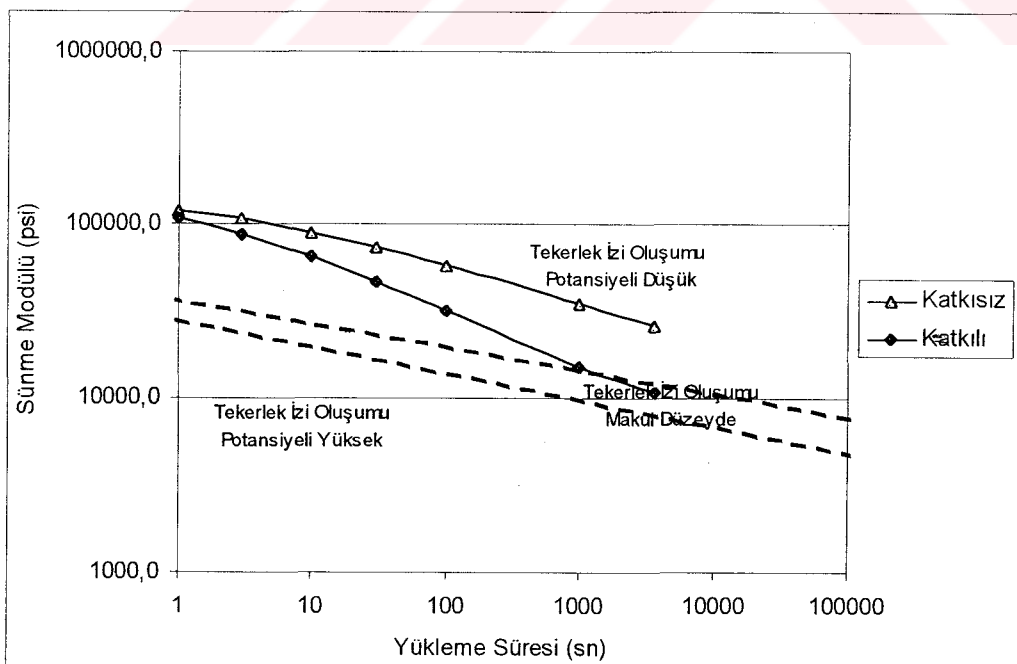
7.3.3 Karışımın Tekerlek İzi Derinliğine Ait Değerlendirme

Hazırlanan karışımların tekerlek izi oluşumu riski bakımından değerlendirilmesinde AAMAS'de tanımlanan nomograftan yaralanılmıştır. Bu amaçla nomograf üzerine katkılı ve katkısız karışımı ait değerler işaretlenerek karışımlara ait bir değerlendirme yapılmıştır. Bu değerlendirmeler ile ilgili olarak 5 °C için Şekil 7.7, 15 °C için Şekil 7.8, 25 °C için Şekil 7.9 ve 40 °C için ise Şekil 7.10 çizilmiştir.

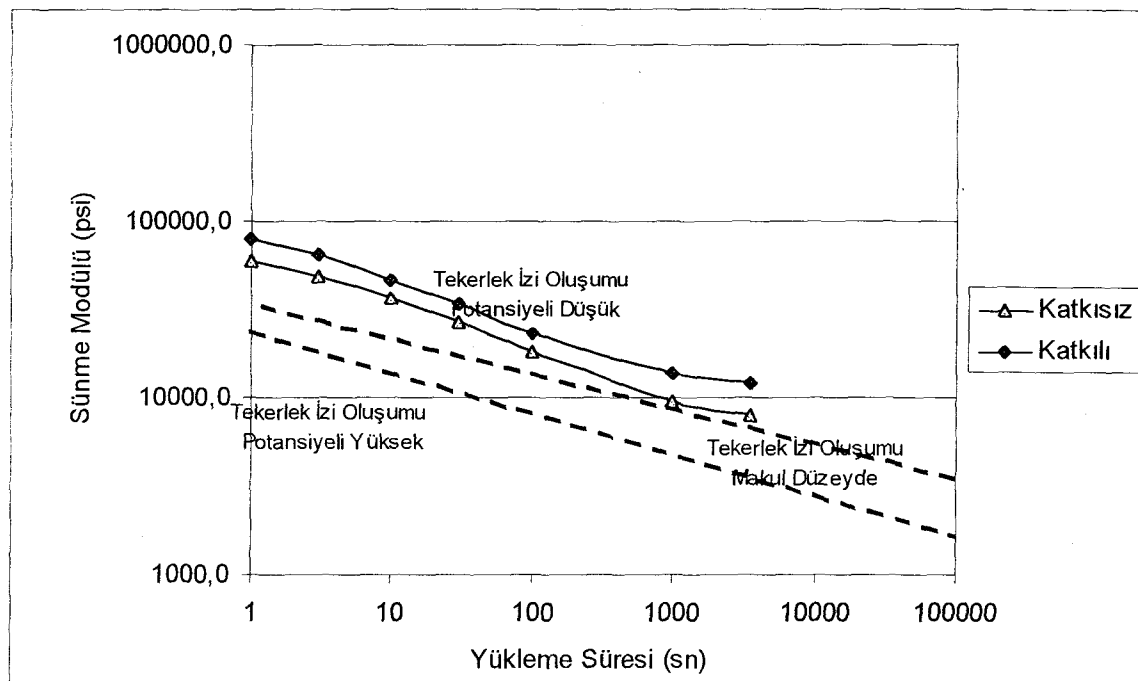
Şekillerin incelenmesinden de görüleceği tekerlek izi oluşumu potansiyeli bakımından katkı maddesi 5 ve 15 °C 'de katkısız karışımı ait eğrinin altında kalmakta ancak 25 ve 40 °C sıcaklıklarda ise üzerinde kalmaktadır. Buna göre katkılı karışımın sıcak bölgelerde kullanılmasının uygun olacağı sonucunu ortaya koymaktadır.



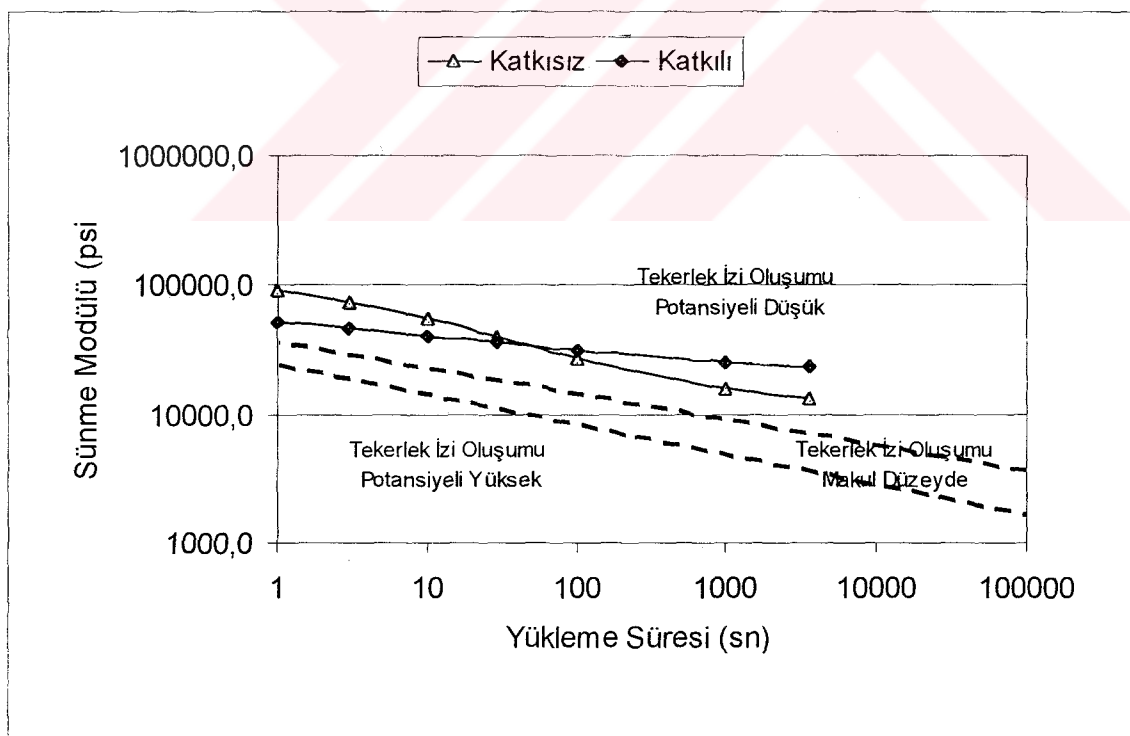
Şekil 7.7 Katkılı ve Katkısız Karışımlarında Tekerlek İzi Oluşumu Riski (5 °C)



Şekil 7.8 Katkılı ve Katkısız Karışımlarında Tekerlek İzi Oluşumu Riski (15 °C)



Şekil 7.9 Katkılı ve Katkısız Karışımlarında Tekerlek İzi Oluşumu Riski (25 °C)



Şekil 7.10 Katkılı ve Katkısız Karışımlarında Tekerlek İzi Oluşumu Riski (40 °C)

Karışımların tekrarlı yüklerden dolayı oluşan tekerlek izi derinlikleri, bu çalışmada elde edilen modelden hesaplanmıştır. Modelde tekerlek izi derinliği (kalıcı deformasyon) ile yük tekerrürü arasında; $\epsilon_p = A * \ln(N) - B$ şeklinde bir ilişkinin var olduğu ve A ve B katsayılarının ise, karışım özelliklerine bağlı olarak;

$$A = -2912,44 - 971,9476 * PB + 118,6612 * VFA$$

$$B = -8011,84 + 1398,469 * PB + 0,111148 * CM$$

A : Kalıcı Deformasyon-Yük tekerrürü ilişkisi çarpan katsayısı

B : Kalıcı Deformasyon-Yük tekerrürü ilişkisi sabiti

PB : Bitüm Yüzdesi (4,5 – 6,5)

VFA : Asfaltla Dolu Boşluk (%)

CM : 3600. Saniye sonundaki Statik Sünme Modülü (psi)

hesaplandığı önceki bölümlerde açıklanmıştır. Yapılan hesaplamalardan katkısız için denklem;

$$\epsilon_p = 682,16 * \ln(N) - 1052,70$$

ve katkılı için

$$\epsilon_p = 790,27 * \ln(N) - 1289,01$$

olarak bulunmuştur. Karışımın tekerlek izi direnimini tesbit etmek amacıyla karışımlarda 72.000. yük tekerrürü sonucunda oluşan kalıcı deformasyonlar opt AC için 6576,9 $\mu\epsilon$ ve katkılı için ise 7549,7 $\mu\epsilon$ olarak hesaplanmıştır.

7.4 Genel Değerlendirme

Katkılı ve katkısız karışımın stabilite, yorulma ve tekerlek izi performanslarının değerlendirilmesinden elde edilen sonuçlar Çizelge 7.8'de özetlenmiştir. Çizelge 7.8, 1. olarak kodlanan özelliklerin 2 ile kodlanan özelliklerden daha üstün olduğunu göstermektedir. Örneğin Marshall Stabilitesi açısından katkılı karışım katkısız karışımı nazaran daha üstündür.

Çizelge 7.8 Karışım Performanslarının Değerlendirilmesi

| | | katkısız | opt ACv |
|---------------------------------|--------------------|----------|---------|
| Stabilite | Marshall | 2 | 1 |
| | Dolaylı Çekme Muk. | 2 | 1 |
| Esneklik (5-15-25-40 °C) | soğuk | 1 | 2 |
| | sıcak | 2 | 1 |
| Sünme Deneyi (5-15-25-40 °C) | soğuk | 1 | 2 |
| | sıcak | 2 | 1 |
| Ömür (25 °C) | Yorulma | 1 | 2 |
| | Tekerlek İzi | 1 | 2 |

8. SONUÇ VE ÖNERİLER

Bu doktora çalışmasında, farklı bitüm muhtevalarında hazırlanan karışımlar ile katkılı (vestoplast), katkısız karışımlar üzerinde; Marshall, Dolaylı Çekme Mukavemeti, Dolaylı Çekme, Statik Sünme ve Tekrarlı Sünme deneyleri yapılmıştır. Bu deneylerden yararlanılarak tekerlek izi tahminine yönelik bir model kurulmuş, yorulma ömrü için mevcut modellere göre, bu çalışma koşullarına uygun yorulma modelinin tespitine yönelik bir değerlendirme yapılmıştır.

Yukarıda açıklanan çok sayıdaki deneylerden elde edilen bazı bilgiler aşağıda maddeler halinde sıralanmıştır.

1. Karışım değişkenlerinin (Pb, V, VFA ve VMA) elastik deformasyon üzerindeki etkisi 5, 15 ve 25 °C'ler de önemsizken 40 °C' de önemlidir. Deneysel çalışmada kullanılan % 4,5 ve % 6,5 aralığındaki bitüm muhtevasındaki farklılık, elastisite modülü değerini en az 1,1 en fazla ise 1,88 katı olarak etkilemektedir. Bitüm muhtevasındaki artışla birlikte elastisite modülü değeri azalmaktadır. Ayrıca boşluğun artması ile de bitüm muhtevasında olan durumun tersine elastisite modülü artmaktadır. Asfalt dolu boşluk yüzdesinin artması ile elastisite modülü değeri azalmaktadır.
2. Dolaylı çekme deneyi değişkenlerinden olan yükleme periyodunun elastisite modülü üzerindeki etkisinin en az 15 °C sıcaklık ve 40 ms yükleme hızında 1,12 en fazla ise 25 °C sıcaklık ve 80 ms yükleme hızında 2,25 oranında etkilediği görülmektedir. Yükleme periyodu 5 ve 40 °C sıcaklıklarda elastisite modülü üzerinde önemli bir etkiye sahip değilken 15 ve 25 °C sıcaklıklarda önemli bir etkiye sahiptir. Aynı şekilde, yükleme hızı 5, 15 ve 40 °C sıcaklıklarda büyük bir etkiye sahip olmazken 25 °C sıcaklığta 2000 ve 1000 ms yükleme periyodunda etki katsayı 2'nin üzerine çıkmaktadır.
Yükleme periyodunun artmasıyla karışımların elastisite modülü değerleri düşmekte, yükleme hızının artmasıyla ise artmaktadır.
3. Statik sünme deneyinde, yükün uygulamasının başlaması ile numunelerde ani bir deformasyon artışı meydana gelmekte ancak belirli bir süre sonra deformasyon oluşma

hızı azalmaktadır. Karışım içerisindeki bitüm muhtevasının artması ile oluşan deformasyon miktarları artış göstermekte başka bir deyişle bitüm muhtevasının artması, karışımda tekerlek izi oluşma riskini artırmaktadır. Sıcaklığın artması ile karışımlarda oluşan deformasyonlar artmaktadır.

4. Tekrarlı sünme deneylerinde boşluk yüzdesinin yaklaşık 3,5 değerinden sonra deformasyonlarda bir azalma gözlenmektedir. Asfaltla Dolu Boşluk yüzdesinde ise 80 değerinden sonra deformasyonlarda ani bir artış oluşmaktadır.
5. Yüksek sıcaklıklarda bitüm muhtevasındaki artış, 40 °C sıcaklık için AAMAS elastisite modülü uygunluk eğrileri dışına çıkmaktadır; ancak 5 °C sıcaklıkta karışımların elastisite modülü değerlerinin artmasına rağmen söz konusu eğriler arasında kalmaktadır.
6. Sıcak iklime sahip, ağır trafik yükünün fazla olduğu bölgelerde karayolu üstyapısının dayanımında bitüm muhtevası ve sıcaklık çok daha büyük bir öneme sahiptir. Yapılan deneysel çalışmalara göre 5, 15 ve 25 °C sıcaklıklarda karışımlar nisbeten yüksek elastisite modülü değerine sahip olduklarıdan dayanımı yüksek olmakta, ancak yüksek çatlama potansiyeline sahip olduklarıın göz ardı edilmemesi gerekmektedir. Yüksek sıcaklıklarda ise karışımlar düşük elastisite değerine sahip olduklarıdan dolayı ağır trafik yükü altında tekerlek izi oluşumu potansiyelleri yüksek olmaktadır. Bu nedenle, yüksek sıcaklıklarda Dolaylı Çekme Deneyi, düşük sıcaklıklarda ise Sünme Deneyi bitümlü karışımın performansını daha iyi ortaya koymaktadır.
7. Yapılan deney çalışmalarında değerlendirilen Vestoplast katkı malzemesi sıcak bölgelerde, katkısız karışım ise düşük sıcaklıklarda daha iyi performans göstermektedirler.

Yukarıda maddeler halinde sıralanan bilgilerin dışında, yapılan çok sayıda deney sayesinde ilişkisi çok yüksek olan bir tekerlek izi tahmin modeli kurulmuştur. Bu model sayesinde, bugün için geçerli olan değerlendirme kriterlerine göre farklı tipteki karışımların (katkı maddeleri, agrega gradasyonu, v.b.) değerlendirilmesine ve ileride yaniltıcı sonuçların önüne geçmek için bir hizmet ömrü tahminine yönelik bir model sunulmaktadır.

İleride bu konuya ilgili yapılacak çalışmalarında, farklı tipte bağlayıcı ve agregalar kullanılarak kurulacak olan modeller sayesinde farklı tipteki agregalar ve bağlayıcılar da değerlendirilecektir. Böylece aynı tip bağlayıcı ve agrega ile sınırlı kaldığı düşünülen modelin, ileride yapılacak benzer çalışmalar sayesinde geçerliliğinin devam edip etmeyeceği tereddütü ortadan kaldırılmış olacaktır. Halen ülkemizde sıcak asfalt üretiminde kullanılan malzemeler bu tezde kullanılan model kapsamında kalmakla birlikte, ileride meydana gelecek değişikliklere göre geliştirilecek yeni modeller sayesinde güvenli bir proje ömrü tahmin edilebilecek ve farklı tipteki sıcak asfalt karışımının birbirleriyle ekonomik açıdan karşılaşmasına olanak sağlayan analizler yapılabilecektir. Özellikle yeni üstyapı kaplama teknolojilerini de (SMA, Chip Seal, v.b.) göz önüne alarak deneysel çalışmaların yapılması bu tip kaplamaların performanslarının değerlendirilmesi bakımından da büyük bir öneme sahip olacaktır. Ayrıca dört farklı iklimin aynı anda yaşadığı ülkemizde, tekerlek izi tahmin modeline, sıcaklığın da bir değişken olarak ilave edilmesi, modelin kullanılabilirliğini daha da artıracaktır.

KAYNAKLAR:

AASHTO, (1993), Guide for Design of Pavements Structures, American Association of State Highway and Transportation Officials, Washington D. C.

Adedimila A. S. ve Kennedy T. W., (1980), Repeated-Load Indirect Tensile Fatigue Characteristics of Asphalt Mixtures, Center for Highway Research, University of Texas, Texas

Alderson A., (1995) UMATTA Testing Equipment Trial Course, England

Aktharhusein A. Tayebali, A. Deacon and Monosmith C. L., (1995), Comparison of Axial and Diametral Resilient Stiffness of Asphalt-Aggregate Mixes, Transportation Research Record TRR 1492, TRB, Washington D. C., s 135-143

ASTM Standard Book

Baladi G. Y. ve Harichandran R. S., (1989), Asphalt Mix Design and the Indirect Test: A New Horizon, ASTM STP 104, Philadelphia, s 86-105

Bannot J., (1986), Asphalt Aggregate Mixture, Transportation Research Record 1096, Transportation Research Board, Washington D. C.

Barksdale R. D. ve Miller J. H., (1977), Development of Equipment and Techniques for Evaluating Fatigue and Rutting Characteristics of Asphalt Concrete Mixes, Report, Atlanta

Biczysko, S. J., (1990), Asphalt Performance at Low Temperatures, Highways and Transportation, March 1990, s 20-25

Bırıker R. Y., (1998), Bitümlü Karışımlara Eklenebilecek Katkılar ile Bu tip Bitümlü Karışımlarının Davranışlarının Araştırılması ve Bir Yorulma Eğrisi Tahmin Modeli, YTÜ, Doktora Tezi, İstanbul

Fenella L., Harvey J., Schifffy C. ve Monismith C. L., (1996), Prediction of Pavement fatigue for California department of Transportation Accelerated Pavement Testing Program Drained and Undrained Test Sections, Transportation Research Record TRR 1540, TRB, Washington D. C., s 105-114

Harvey, J., Monismith C. L., Effects of Laboratory Asphalt Concrete Specimen Preparation Variables on Fatigue and Permanent Deformation Test Results Using Strategic Highway Research Program A-003 A proposed Testing Equipment, Transportation Research Record TRR 1417, TRB, Washington D. C., 1993, s 38-48

Harvey J. T. ve Tsai B., (1996), Effects of Asphalt Content and Air Void Content on Mix Fatigue and Stiffness, Transportation Research Record TRR 1543, TRB, Washington D. C., s 38-45

İlcalı, M., (1988), Erdemir Cürufunun Yol Üstyapı Malzemesi Olarak Kullanılabilirliği, Doktora Tezi, YTÜ, İstanbul

İnan, M., (1981), Cisimlerin Mukavemeti, İTÜ, İstanbul

Khostla N. P. Ve Omer M.S., (1985), Characterization of Asphaltic Mixtures for Prediction of Pavement Performance, Transportation Research Record 1034, Transportation Research Board, Washington D. C.

Kunst P. A. J. C., (1989), Surface Cracking on Asphalt Layers, Holland

Kennedy T. W. Ve Anagnos J. N., (1983), Procedures for the Static and Repeated Load Indirect Tensile Tests, Researc Record 183-14, University of Texas, Texas

Kim V. R., Kim N. ve Khosla P., (1992), Effects of Aggregate Type and Gradation on Fatigue and Permanent Deformation of Asphalt Concrete, Asphalt Mixture Performance, ASTM STP 1147, Philadelphia

Monismith, C. L., Deacon, J. A., Craus, J. Ve Tangella, S. C. S., (1990), Summary Report on Fatigue Response of Asphalt Mixtures, Strategic Highway Research Program, National Research Council, SHRP-A/IR-90-011, California

Marl A. K., (1996), Vestoplast-ein thermoplastischer Kunststoff zur Polymermodifizierung, Asphalt, 9/96

Mathews J. M. ve Monismith C. L.; (1993), Investigation of Laboratory fatigue testing procedures for asphalt aggregate mixtures, Journal of Transportation Engineering, Vol 119, July/August, s 634-654

Müller B. Ve Marl A. K: (1997), Vestoplast die Alternative zu fertig gemishten Polymerbitumen, VouBruez

NCHRP Synthesis235

Omar A. H. ve Haas R., (1994), Effect of Field Compaction Method on Fatigue Life of Asphalt Pavements, Transportation Research Record TRR 1469, TRB, Washington D. C., s 43-49

Pell P. S., ve Cooper K. E., (1975), The Effect of Testing and Mix Variables on the Fatigue Performance of Bituminous Materials, Proceedings, The Association of Asphalt Paving Technologist, Vol. 44

Pell P. S. ve Hanson J. M., (1973), Behavior of Bituminous Road Base Materials under Repeated Loading, Proceedings, The Association of Asphalt Paving Technologist, Vol. 38

Postacioğlu, B., (1981), Cisimlerin Yapısı ve Özellikleri, İTÜ, İstanbul

Raithby, K. D. ve Ramshaw, J. T., (1972), Effects of Secondary Compaction the Fatigue Performance to Prevent Fatigue Cracking, Special Report 140, Highway Research Board, s 49-64

Raithby, K. D. ve Sterling A. B. (1972), Some Effects of Loading History on the Performance of Rolled, TRRL-LR 496, Crowthorne, England

Safwat S., (1996), Fatigue and Stiffness Properties of Roadbase Layer Using Indirect Tensile Test, Euroasphalt and Eurobitumen Congress, 4.08.1-11, 7-10 May, Strasbourg, France

Scung W. L., (1993) Waste products as highway materials in flexible pavement system, Journal of Transportation Engineering, Vol 119, May/June, s 433-449

TCK, (1994), Yollar Fenni Şartnamesi, Ankara

Thompson M. R. ve Barenberg E., (1990) Calibrated Mechanistic Structurel Analysis Procedures for Pavements, National Highway Research Program, NCHRP 1-26

Umar F. ve Ağar, E., (1985), Yol Üstyapısı, İTÜ, İstanbul

Von Quintus, H. Scherocman J., Hughes C. Ve Kennedy T., (1991), NCHRP Report 338: Asphalt-Aggregate Mixture Analysis System (AAMAS), TRB, National Research Council, Washington D. C.

Van Dijck W., (1975), Practical Fatigue Characterization of Bituminous Mixes, Proceedings, The Association of Asphalt Paving Technilogist 38

Von Quintus, H. L., Scherocman, Huhges, C. S. Ve Kennedy T. W. (1988), Development of Asphalt-Aggregate Mixture Analysis System, Bremth Rauhut Engineering, Inc., Austin

Yağız, F., Işıkarslan, C.Keçeciler, A.F., ve Akkol, G., (1967), Bitümlü Malzemeler, T.C.Bayındırılık Bakanlığı KGM-Y.N.149.

Yüce, R., (1972), The Influence of Some Dimensional Factors and Elastic Foundation Support on Fatigue of Asphalt Concrete, Doktora Tezi, ODTÜ, Ankara



EK A. Marshall Dizayn Deneyi Sonuçları

Cizelge A.1 Geleneksel Bağlayıcı Karışım Dizaynı

| BITÜM | | Birinci Yüksekliği | | | Havadaki Ağırı.(gr) | | Südük Ağırı.(gr) | | Doy.Yüz. | Hac.Hac.Özg. | Max.Teo. | Böşük % | VMA | Aşf/Dolu | Akma (mm) | Düzeltilme | Düzeltili Stabilité (kg) | FORMÜLLER | | |
|--------------------|----------------|--------------------|--|--|---------------------|------|------------------|------|----------|--------------|----------|---------|-------|----------|-----------|------------|--------------------------|--|--|--|
| % | % | | | | 1 | 2 | 3 | Ort. | A | C | B | V | DP | DT | Vf | Böşük % | (mm) | Faktörü | | |
| W _a | W _b | (gr) | | | 57,4 | 58,0 | 57,5 | 57,6 | 1140 | 663,2 | 476,8 | 2,391 | | | 2,70 | 840 | 1,175 | 987,00 | V = β - C | |
| 4,00 | 3,85 | | | | 57,0 | 56,8 | 56,9 | 56,9 | 1136,7 | 661,2 | 475,5 | 2,391 | | | 2,75 | 810 | 1,198 | 970,38 | | |
| | | | | | 58,2 | 58,1 | 58,5 | 58,3 | 1142,3 | 664,2 | 478,1 | 2,389 | | | 2,74 | 835 | 1,152 | 961,92 | D = $\frac{A}{V}$ | |
| ORTALAMALAR | | | | | | | | | | | 2,390 | 2,546 | 6,11 | 14,37 | 57,50 | 2,73 | | 973,10 | | |
| 4,50 | 4,31 | | | | 58,6 | 59,1 | 58,5 | 58,7 | 1147 | 671,4 | 475,6 | 2,412 | | | 2,85 | 850 | 1,140 | 969,00 | | |
| | | | | | 58,5 | 58,6 | 58,7 | 58,6 | 1149,3 | 665,2 | 484,1 | 2,374 | | | 2,73 | 920 | 1,143 | 1051,56 | D _T = $\frac{(100 + \%a)}{100} + \frac{\%a}{G_f}$ | |
| | | | | | 58,5 | 58,8 | 58,6 | 58,6 | 1148,0 | 668,2 | 479,8 | 2,393 | | | 2,80 | 890 | 1,143 | 1017,27 | $\frac{100}{100 + \frac{\%a}{G_b}}$ | |
| ORTALAMALAR | | | | | | | | | | | 2,393 | 2,528 | 5,33 | 14,69 | 63,70 | 2,79 | | 1034,42 | | |
| 5,00 | 4,76 | | | | 59,5 | 58,7 | 59,1 | 59,1 | 1150,3 | 673,1 | 477,2 | 2,411 | | | 3,10 | 1060 | 1,127 | 1194,62 | | |
| | | | | | 60,1 | 59,1 | 59,9 | 59,7 | 1152,9 | 676,5 | 476,4 | 2,420 | | | 2,90 | 970 | 1,107 | 1073,79 | G _f | |
| | | | | | 59,8 | 58,9 | 59,1 | 59,3 | 1145,5 | 670,8 | 474,7 | 2,413 | | | 3,00 | 1030 | 1,120 | 1153,60 | $D_T - D_p$ | |
| ORTALAMALAR | | | | | | | | | | | 2,415 | 2,510 | 3,80 | 14,32 | 73,48 | 3,00 | | 1174,11 | | |
| 5,50 | 5,21 | | | | 59,8 | 60,6 | 60,1 | 60,2 | 1159,9 | 682,2 | 477,7 | 2,428 | | | 3,60 | 1040 | 1,090 | 1133,60 | | |
| | | | | | 60,2 | 60,5 | 60,6 | 60,4 | 1158,4 | 681,2 | 477,2 | 2,427 | | | 3,40 | 970 | 1,085 | 1052,45 | | |
| | | | | | 60,5 | 60,3 | 60,9 | 60,6 | 1157,1 | 680,3 | 476,8 | 2,427 | | | 3,20 | 1030 | 1,079 | 1111,37 | G _b = $\frac{K\%}{G_k} + \frac{I\%}{G_i} + \frac{F\%}{G_f}$ | |
| ORTALAMALAR | | | | | | | | | | | 2,427 | 2,493 | 2,61 | 14,27 | 81,69 | 3,40 | | 1122,49 | | |
| 6,00 | 5,66 | | | | 59,6 | 60,6 | 60,1 | 60,2 | 1156,8 | 680,5 | 476,3 | 2,429 | | | 3,65 | 1010 | 1,094 | 1104,94 | | |
| | | | | | 59,7 | 60,7 | 60,1 | 60,2 | 1159,8 | 681,9 | 477,9 | 2,427 | | | 3,90 | 1020 | 1,090 | 1111,80 | | |
| | | | | | 59,9 | 59,3 | 59,7 | 59,6 | 1157,8 | 680,8 | 477,0 | 2,427 | | | 3,40 | 920 | 1,110 | 1021,20 | D _p * (100 - $\%b$) | |
| ORTALAMALAR | | | | | | | | | | | 2,428 | 2,476 | 1,94 | 14,67 | 86,76 | 3,65 | | 1108,37 | | |
| 6,50 | 6,10 | | | | 60,0 | 60,8 | 60,6 | 60,0 | 60,1 | 1162,1 | 680,3 | 481,8 | 2,412 | | | 4,30 | 680 | 1,085 | 737,80 | |
| | | | | | 59,9 | 60,5 | 60,8 | 60,4 | 1160,1 | 679,9 | 480,2 | 2,416 | | | 4,40 | 700 | 1,085 | 759,50 | | |
| | | | | | 60,0 | 60,6 | 60,2 | 60,3 | 1160,2 | 679,8 | 480,4 | 2,415 | | | 4,35 | 685 | 1,088 | 745,28 | G _f = $\frac{VMA - Vh}{VMA} * G_f$ | |
| ORTALAMALAR | | | | | | | | | | | 2,414 | 2,459 | 1,83 | 15,54 | 88,25 | 4,35 | | 747,53 | | |
| | | | | | | | | | | | | | | | | | | P _{ba} = 100 * $\frac{(G_f - G_{lb})}{(G_f * G_{lb})} * G_{lb}$ | | |
| ORTALAMALAR | | | | | | | | | | | | | | | | | | | | |

Kaba Agr. Ağrega %'si (K%) = 44,0
İnce Agr. Ağrega %'si (İ%) = 50,0
Agreganın Bitüm Abs. = 6,0
Agr. Kar. efektif özl. ağ. (Ge) = 2,708
Bitüm Özgül Ağrlığı (Gb) = 1,019
Bitüm Peneterasyonu = 75,0
Agreganın Bitüm Abs. = 6,0
Agr. Kar. efektif özl. ağ. (Ge) = 2,684

Kaba Agr. Hac. özl. ağ. (Gk) = 2,695
İnce Agr. hac. özl. ağ. (Gi) = 2,666
Filtre zahiri özl. ağ. (Gf) = 2,747
Bitirketteki Agrega Miktarı = 1100

| BITUM | | Biriket Yüksekliği | | | Havadaki Ağrlı (gr) | | Hacim (cm³) | | Hac. Özg. Ağrlı (gr) | Max. Teo. Ağrlık | Böşluk % | VMA % | Aşf Dolu Boşluk % | Dizelitme Faktörü (kg) | Dizelitme Stabilite (kg) | FORMÜLLER |
|----------------------------------|----------------|--------------------|---|------|---------------------|--------|-------------------------------|---|----------------------|------------------|----------|-------|-------------------|------------------------|--------------------------|--|
| % | % | | | | A | C | B | V | DP | DT | Vf | % | (mm) | (kg) | (kg) | |
| W _a | W _b | (gr) | 1 | 2 | 3 | Ort. | | | | | | | | | | |
| 4,00 | 3,85 | 56,9 | 57,3 | 57,5 | 57,2 | 1145,6 | 670,3 | | 475,3 | 2,410 | | | 2,80 | 890 | 1,187 | 1056,43 |
| | | 56,5 | 56,8 | 56,7 | 56,7 | 1140,3 | 668,3 | | 472,0 | 2,416 | | | 2,70 | 900 | 1,206 | 1085,40 |
| | | 57,6 | 57,5 | 57,2 | 57,4 | 1150,1 | 675,3 | | 474,8 | 2,422 | | | 2,85 | 920 | 1,181 | 1086,52 |
| ORTALAMALAR | | | | | | | | | 2,416 | 2,546 | 5,09 | 13,44 | 62,14 | 2,78 | 1076,12 | $D = \frac{A}{V}$ |
| 4,50 | 4,31 | 58,2 | 58,4 | 58,0 | 58,2 | 1150,0 | 674,6 | | 475,4 | 2,419 | | | 2,95 | 1010 | 1,155 | 1166,55 |
| | | 58,4 | 58,6 | 58,2 | 58,4 | 1153,2 | 676,2 | | 477,0 | 2,418 | | | 2,96 | 1000 | 1,149 | 1149,00 |
| | | 58,5 | 58,7 | 58,6 | 58,6 | 1152,3 | 675,8 | | 476,5 | 2,418 | | | 2,97 | 980 | 1,143 | 1120,14 |
| ORTALAMALAR | | | | | | | | | 2,418 | 2,528 | 4,32 | 13,78 | 68,62 | 2,96 | 1120 | 1,100 |
| 5,00 | 4,76 | 60,0 | 59,9 | 59,8 | 59,9 | 1161,2 | 681,3 | | 479,9 | 2,420 | | | 3,10 | 1140 | 1,117 | 1232,00 |
| | | 59,6 | 58,9 | 59,6 | 59,4 | 1149,2 | 674,0 | | 475,2 | 2,418 | | | 3,20 | 1120 | 1,117 | 1273,38 |
| | | 59,8 | 58,8 | 59,7 | 59,4 | 1154,2 | 677,3 | | 476,9 | 2,420 | | | 3,00 | 1100 | 1,117 | 1228,70 |
| ORTALAMALAR | | | | | | | | | 2,419 | 2,510 | 3,61 | 14,15 | 74,52 | 3,10 | 1244,69 | $V_h = \frac{D_T - D_p}{D_T} \times 100$ |
| 5,50 | 5,21 | 59,5 | 60,4 | 60,2 | 60,0 | 1155,6 | 678,1 | | 477,5 | 2,420 | | | 3,40 | 930 | 1,097 | 1020,21 |
| | | 59,8 | 59,2 | 60,1 | 59,7 | 1161,2 | 681,6 | | 479,6 | 2,421 | | | 3,30 | 920 | 1,107 | 1018,44 |
| | | 59,6 | 60,2 | 59,7 | 59,8 | 1157,3 | 680,2 | | 477,1 | 2,426 | | | 3,50 | 920 | 1,104 | 1015,68 |
| ORTALAMALAR | | | | | | | | | 2,422 | 2,493 | 2,82 | 14,45 | 80,49 | 3,40 | 1018,11 | |
| 6,00 | 5,66 | 59,4 | 60,4 | 59,8 | 59,9 | 1156,6 | 677,8 | | 478,8 | 2,416 | | | 4,80 | 890 | 1,100 | 979,00 |
| | | 60,1 | 59,5 | 59,7 | 59,8 | 1156,3 | 677,7 | | 478,6 | 2,416 | | | 4,70 | 880 | 1,104 | 971,52 |
| | | 59,9 | 60,1 | 60,2 | 60,1 | 1160,2 | 679,2 | | 481,0 | 2,412 | | | 4,70 | 890 | 1,094 | 973,66 |
| ORTALAMALAR | | | | | | | | | 2,415 | 2,476 | 2,47 | 15,13 | 83,67 | 4,73 | 974,73 | |
| 6,50 | 6,10 | 59,7 | 60,7 | 60,1 | 60,2 | 1158,4 | 676,3 | | 482,1 | 2,403 | | | 5,50 | 790 | 1,090 | 861,10 |
| | | 59,9 | 60,8 | 60,1 | 60,3 | 1161 | 677,7 | | 483,3 | 2,402 | | | 5,30 | 740 | 1,088 | 805,12 |
| | | 59,6 | 60,5 | 60,3 | 60,1 | 1159,4 | 676,9 | | 482,5 | 2,403 | | | 5,40 | 780 | 1,094 | 853,32 |
| ORTALAMALAR | | | | | | | | | 2,403 | 2,459 | 2,30 | 15,95 | 85,57 | 5,40 | 857,21 | |
| ORTALAMALAR | | | | | | | | | | | | | | | | |
| Bitum Özgül Ağrlığı (Gb) = | | 1,019 | Kaba Agrega %'si (K%) = | | | 44,0 | Kaba Agr. Hac. öz. ağ. (Gk) = | | | 2,695 | | | | | | |
| Bitum Peneterasyonu = | | 75,0 | İnce Agrega %'si (I%) = | | | 50,0 | İnce Agr. hac. öz. ağ. (Gi) = | | | 2,666 | | | | | | |
| Agreganın Bitum Abs. = | | | Filler %'si (F%) = | | | 6,0 | Filler zahiri öz. ağ. (Gf) = | | | 2,747 | | | | | | |
| Agr. Kar. efektif öz. ağ. (Ge) = | | 2,708 | Agrega Kar. hac. öz. ağ. (Gs) = | | | 2,684 | Biriketteki Agrega Miktarı = | | | 1100 | | | | | | |
| Birim Ağrlığı (gr) = | | | P _{ba} = 100 x $\frac{(G_f - G_b)}{(G_f * G_b)} * G_b$ | | | | | | | | | | | | | |

EK B. Dolaylı Çekme Deneyi Sonuçları

**Çizelge B 1. Dolaylı Çekme Deneyi Sonuçları
(5 °C sıcaklık ve % 4,5 Bitüm Muhtevası)**

| DENEY KODU | Elastik Deformasyon $\mu\epsilon$ | Faz Gecikmesi Ms | Elastisite Modülü | | |
|------------|--------------------------------------|---------------------|-------------------|-----------|--------------------|
| | | | Mpa | PSI | kg/cm ² |
| L 0 1 3 4 | 10,10 | 2,90 | 15962,79 | 2315205,8 | 162775,08 |
| L 0 1 3 6 | 10,60 | 3,10 | 15209,82 | 2205997,9 | 155097,01 |
| L 0 1 3 8 | 11,05 | 3,40 | 14590,42 | 2116160,9 | 148780,84 |
| L 0 1 2 4 | 9,50 | 3,40 | 16970,96 | 2461429,3 | 173055,61 |
| L 0 1 2 6 | 9,30 | 3,70 | 17335,93 | 2514363,2 | 176777,24 |
| L 0 1 2 8 | 9,90 | 3,50 | 16285,27 | 2361977,6 | 166063,46 |
| L 0 1 1 4 | 9,10 | 3,60 | 17716,94 | 2569624,0 | 180662,45 |
| L 0 1 1 6 | 8,90 | 4,00 | 18115,07 | 2627368,3 | 184722,28 |
| L 0 1 1 8 | 10,60 | 3,80 | 15209,82 | 2205997,9 | 155097,01 |

**Çizelge B 2. Dolaylı Çekme Deneyi Sonuçları
(5 °C sıcaklık ve % 5 Bitüm Muhtevası)**

| DENEY KODU | Elastik Deformasyon $\mu\epsilon$ | Faz Gecikmesi ms | Elastisite Modülü | | |
|------------|--------------------------------------|---------------------|-------------------|-----------|--------------------|
| | | | Mpa | PSI | kg/cm ² |
| L 1 1 3 4 | 10,60 | 4,10 | 15440 | 2239323,4 | 157440,0 |
| L 1 1 3 6 | 11,07 | 3,00 | 14585 | 2115443,5 | 148730,4 |
| L 1 1 3 8 | 11,54 | 3,30 | 14676 | 2128501,5 | 149648,5 |
| L 1 1 2 4 | 10,21 | 3,90 | 16234 | 2354480,5 | 165536,4 |
| L 1 1 2 6 | 10,57 | 4,20 | 15260 | 2213312,6 | 155611,3 |
| L 1 1 2 8 | 11,07 | 4,40 | 14947 | 2167859,3 | 152415,6 |
| L 1 1 1 4 | 10,21 | 3,70 | 16205 | 2350303,0 | 165242,7 |
| L 1 1 1 6 | 10,65 | 3,80 | 15086 | 2187984,9 | 153830,6 |
| L 1 1 1 8 | 10,71 | 4,70 | 15639 | 2268198,1 | 159470,1 |

**Çizelge B 3. Dolaylı Çekme Deneyi Sonuçları
(5 °C sıcaklık ve % 5,5 Bitüm Muhtevası)**

| DENYEY KODU | | Elastik Deformasyon $\mu\epsilon$ | Faz Gecikmesi Ms | Elastisite Modülü | | |
|-------------|--|-----------------------------------|------------------|-------------------|-----------|--------------------|
| | | | | Mpa | PSI | kg/cm ² |
| L 2 1 3 4 | | 11,57 | 3,10 | 14136 | 2050311,3 | 144151,2 |
| L 2 1 3 6 | | 9,91 | 5,30 | 15666 | 2272218,0 | 159752,7 |
| L 2 1 3 8 | | 10,93 | 5,40 | 14775 | 2142952,0 | 150664,4 |
| " 2 1 2 4 | | 9,49 | 5,00 | 16784 | 2434247,1 | 171144,5 |
| L 2 1 2 6 | | 9,58 | 4,00 | 16156 | 2343209,2 | 164743,9 |
| L 2 1 2 8 | | 10,07 | 3,70 | 15685 | 2274924,1 | 159943,0 |
| L 2 1 1 4 | | 8,86 | 4,70 | 17886 | 2594095,6 | 182383,0 |
| L 2 1 1 6 | | 9,49 | 5,00 | 16581 | 2404873,3 | 169079,3 |
| L 2 1 1 8 | | 10,18 | 3,70 | 15663 | 2271692,5 | 159715,8 |

**Çizelge B 4. Dolaylı Çekme Deneyi Sonuçları
(5 °C sıcaklık ve % 6,0 Bitüm Muhtevası)**

| DENYEY KODU | | Elastik Deformasyon $\mu\epsilon$ | Faz Gecikmesi ms | Elastisite Modülü | | |
|-------------|--|-----------------------------------|------------------|-------------------|-----------|--------------------|
| | | | | Mpa | PSI | kg/cm ² |
| L 3 1 3 4 | | 12,72 | 5,40 | 12700 | 1842040,6 | 129508,3 |
| L 3 1 3 6 | | 12,01 | 5,10 | 12821 | 1859512,6 | 130736,7 |
| L 3 1 3 8 | | 12,37 | 4,70 | 12838 | 1862034,8 | 130914,0 |
| L 3 1 2 4 | | 10,38 | 7,40 | 15283 | 2216675,6 | 155847,7 |
| L 3 1 2 6 | | 10,79 | 5,30 | 14327 | 2077951,1 | 146094,4 |
| L 3 1 2 8 | | 11,90 | 4,80 | 13597 | 1972042,3 | 138648,3 |
| L 3 1 1 4 | | 10,10 | 5,60 | 15749 | 2284172,4 | 160593,2 |
| L 3 1 1 6 | | 10,52 | 5,10 | 14894 | 2160240,0 | 151879,9 |
| L 3 1 1 8 | | 11,34 | 4,70 | 14265 | 2068939,3 | 145460,8 |

Çizelge B 5. Dolaylı Çekme Deneyi Sonuçları
(5 °C sıcaklık ve % 6,5 Bitüm Muhtevası)

| DENEY KODU | Elastik Deformasyon $\mu\epsilon$ | Faz Gecikmesi ms | Elastisite Modülü | | |
|------------|--------------------------------------|---------------------|-------------------|-----------|--------------------|
| | | | Mpa | PSI | kg/cm ² |
| L 4 1 3 4 | 11,29 | 4,60 | 13633 | 1977270,8 | 139015,9 |
| L 4 1 3 6 | 10,90 | 4,80 | 14049 | 2037647,4 | 143260,8 |
| L 4 1 3 8 | 11,84 | 5,40 | 13363 | 1938201,9 | 136269,1 |
| L 4 1 2 4 | 10,46 | 4,60 | 14827 | 2150518,7 | 151196,4 |
| L 4 1 2 6 | 10,49 | 5,10 | 14566 | 2112632,2 | 148532,8 |
| L 4 1 2 8 | 11,45 | 4,30 | 13654 | 1980371,0 | 139233,9 |
| L 4 1 1 4 | 10,13 | 4,60 | 15406 | 2234384,0 | 157092,7 |
| L 4 1 1 6 | 10,87 | 3,80 | 14224 | 2063001,5 | 145043,4 |
| L 4 1 1 8 | 11,26 | 4,60 | 14202 | 2059848,6 | 144821,7 |

Çizelge B 6. Dolaylı Çekme Deneyi Sonuçları
(5 °C sıcaklık ve OptAC Bitüm Muhtevası)

| DENEY KODU | Elastik Deformasyon $\mu\epsilon$ | Faz Gecikmesi Ms | Elastisite Modülü | | |
|------------|--------------------------------------|---------------------|-------------------|-----------|--------------------|
| | | | Mpa | PSI | kg/cm ² |
| L 5 1 3 4 | 11,29 | 4,30 | 14124 | 2048498,4 | 144023,7 |
| L 5 1 3 6 | 10,43 | 5,40 | 14826 | 2150334,8 | 151183,5 |
| L 5 1 3 8 | 11,01 | 5,70 | 14622 | 2120803,3 | 149107,2 |
| L 5 1 2 4 | 9,58 | 6,80 | 16540 | 2398856,6 | 168656,3 |
| L 5 1 2 6 | 9,88 | 5,40 | 15542 | 2254168,0 | 158483,7 |
| L 5 1 2 8 | 10,65 | 4,70 | 15083 | 2187590,8 | 153802,9 |
| L 5 1 1 4 | 9,55 | 6,50 | 16607 | 2408682,9 | 169347,2 |
| L 5 1 1 6 | 9,74 | 5,50 | 15840 | 2297414,3 | 161524,2 |
| L 5 1 1 8 | 10,74 | 5,30 | 14866 | 2156167,6 | 151593,6 |

Çizelge B 7. Dolaylı Çekme Deneyi Sonuçları
(5 °C sıcaklık ve OptACv Bitüm Muhtevası)

| DENYEY KODU | Elastik Deformasyon $\mu\epsilon$ | Faz Gecikmesi ms | Elastisite Modülü | | |
|----------------|---|------------------------|-------------------|-----------|--------------------|
| | | | Mpa | PSI | kg/cm ² |
| L 6 1 3 4 | 12,31 | 6,10 | 13167 | 1909773,9 | 134270,4 |
| L 6 1 3 6 | 12,03 | 4,70 | 12985 | 1883342,7 | 132412,1 |
| L 6 1 3 8 | 12,61 | 3,20 | 12644 | 1833922,1 | 128937,5 |
| L 6 1 2 4 | 11,29 | 5,10 | 14096 | 2044478,6 | 143741,1 |
| L 6 1 2 6 | 10,07 | 5,70 | 13735 | 1992089,1 | 140057,7 |
| L 6 1 2 8 | 12,26 | 7,70 | 12914 | 1872990,9 | 131684,3 |
| L 6 1 1 4 | 10,93 | 4,10 | 14562 | 2112054,2 | 148492,1 |
| L 6 1 1 6 | 11,07 | 5,50 | 14170 | 2055119,4 | 144489,2 |
| L 6 1 1 8 | 11,90 | 4,20 | 13368 | 1938832,5 | 136313,4 |

Çizelge B 8. Dolaylı Çekme Deneyi Sonuçları
(15 °C sıcaklık ve % 4,5 Bitüm Muhtevası)

| DENYEY KODU | Elastik Deformasyon $\mu\epsilon$ | Faz Gecikmesi ms | Elastisite Modülü | | |
|----------------|---|------------------------|-------------------|-----------|--------------------|
| | | | Mpa | PSI | kg/cm ² |
| L 0 2 3 4 | 15,90 | 8,00 | 10140 | 1470665,3 | 103398,0 |
| L 0 2 3 6 | 16,80 | 6,00 | 9596,7 | 1391879,7 | 97858,8 |
| L 0 2 3 8 | 19,40 | 5,10 | 8310,5 | 1205339,1 | 84743,7 |
| L 0 2 2 4 | 16,40 | 7,80 | 9830,7 | 1425827,9 | 100245,6 |
| L 0 2 2 6 | 17,20 | 6,50 | 9373,5 | 1359510,4 | 95583,0 |
| L 0 2 2 8 | 19,30 | 5,30 | 8353,6 | 1211584,4 | 85182,8 |
| L 0 2 1 4 | 15,90 | 7,30 | 10140 | 1470665,3 | 103398,0 |
| L 0 2 1 6 | 17,90 | 4,80 | 9006,9 | 1306345,1 | 91845,2 |
| L 0 2 1 8 | 18,90 | 6,20 | 8530,4 | 1237226,4 | 86985,6 |

**Çizelge B 9. Dolaylı Çekme Deneyi Sonuçları
(15 °C sıcaklık ve % 5 Bitüm Muhtevası)**

| DENEY KODU | Elastik Deformasyon $\mu\epsilon$ | Faz Gecikmesi ms | Elastisite Modülü | | |
|------------|-----------------------------------|------------------|-------------------|-----------|--------------------|
| | | | Mpa | PSI | kg/cm ² |
| L 1 2 3 4 | 16,20 | 8,70 | 9604,6 | 1393025,2 | 97939,4 |
| L 1 2 3 6 | 17,69 | 6,10 | 8831,1 | 1280837,0 | 90051,8 |
| L 1 2 3 8 | 19,51 | 5,20 | 8062,4 | 1169358,2 | 82214,0 |
| L 1 2 2 4 | 16,56 | 7,90 | 9478,9 | 1374791,3 | 96657,4 |
| L 1 2 2 6 | 18,30 | 6,80 | 8550,5 | 1240139,2 | 87190,4 |
| L 1 2 2 8 | 20,34 | 5,40 | 7826,6 | 1135150,0 | 79808,9 |
| L 1 2 1 4 | 16,64 | 7,10 | 9421,1 | 1366410,0 | 96068,1 |
| L 1 2 1 6 | 18,30 | 5,00 | 8547,2 | 1239666,3 | 87157,2 |
| L 1 2 1 8 | 20,40 | 6,20 | 7833,7 | 1136174,7 | 79881,0 |

**Çizelge B 10. Dolaylı Çekme Deneyi Sonuçları
(15 °C sıcaklık ve % 5,5 Bitüm Muhtevası)**

| DENEY KODU | Elastik Deformasyon $\mu\epsilon$ | Faz Gecikmesi ms | Elastisite Modülü | | |
|------------|-----------------------------------|------------------|-------------------|-----------|--------------------|
| | | | Mpa | PSI | kg/cm ² |
| L 2 2 3 4 | 17,66 | 7,50 | 8899,7 | 1290794,7 | 90751,8 |
| L 2 2 3 6 | 18,91 | 6,60 | 8356,6 | 1212026,5 | 85213,9 |
| L 2 2 3 8 | 20,23 | 5,90 | 7841,8 | 1137357,0 | 79964,1 |
| L 2 2 2 4 | 16,75 | 7,60 | 9503,3 | 1378338,2 | 96906,8 |
| L 2 2 2 6 | 17,66 | 6,90 | 8934,5 | 1295839,2 | 91106,5 |
| L 2 2 2 8 | 19,65 | 6,60 | 8125,3 | 1178475,1 | 82855,0 |
| L 2 2 1 4 | 16,48 | 9,10 | 9682,1 | 1404270,3 | 98730,0 |
| L 2 2 1 6 | 17,72 | 6,10 | 8910,8 | 1292397,4 | 90864,5 |
| L 2 2 1 8 | 19,18 | 7,50 | 8305,2 | 1204564,8 | 84689,3 |

**Çizelge B 11. Dolaylı Çekme Deneyi Sonuçları
(15 °C sıcaklık ve % 6.0 Bitüm Muhtevası)**

| DENYEY KODU | Elastik Deformasyon $\mu\epsilon$ | Faz Gecikmesi ms | Elastisite Modülü | | |
|-------------|-----------------------------------|------------------|-------------------|-----------|--------------------|
| | | | Mpa | PSI | kg/cm ² |
| L 3 2 3 4 | 21,39 | 7,40 | 7347,8 | 1065708,9 | 74926,8 |
| L 3 2 3 6 | 21,89 | 6,60 | 7134,4 | 1034758,6 | 72750,7 |
| L 3 2 3 8 | 24,29 | 6,70 | 6488,1 | 941014,5 | 66159,9 |
| L 3 2 2 4 | 20,01 | 8,10 | 7784,7 | 1129080,8 | 79382,2 |
| L 3 2 2 6 | 22,11 | 7,10 | 7013,8 | 1017260,4 | 71520,5 |
| L 3 2 2 8 | 24,73 | 6,50 | 6335,7 | 918918,4 | 64606,4 |
| L 3 2 1 4 | 20,09 | 7,00 | 7759 | 1125350,0 | 79119,9 |
| L 3 2 1 6 | 22,33 | 7,10 | 6975,4 | 1011690,4 | 71128,9 |
| L 3 2 1 8 | 24,57 | 5,90 | 6439,5 | 933973,2 | 65664,8 |

**Çizelge B 12. Dolaylı Çekme Deneyi Sonuçları
(15 °C sıcaklık ve % 6.5 Bitüm Muhtevası)**

| DENYEY KODU | Elastik Deformasyon $\mu\epsilon$ | Faz Gecikmesi ms | Elastisite Modülü | | |
|-------------|-----------------------------------|------------------|-------------------|-----------|--------------------|
| | | | Mpa | PSI | kg/cm ² |
| L 4 2 3 4 | 21,94 | 8,50 | 7114,5 | 1031868,6 | 72547,5 |
| L 4 2 3 6 | 21,89 | 9,30 | 7094,9 | 1029031,0 | 72348,0 |
| L 4 2 3 8 | 22,66 | 7,40 | 7015,8 | 1017549,5 | 71540,8 |
| L 4 2 2 4 | 17,28 | 10,30 | 9134,3 | 1324819,0 | 93144,0 |
| L 4 2 2 6 | 18,63 | 8,70 | 8417 | 1220775,6 | 85829,0 |
| L 4 2 2 8 | 20,59 | 9,80 | 7785,1 | 1129133,3 | 79385,9 |
| L 4 2 1 4 | 16,23 | 8,60 | 9866,3 | 1430990,5 | 100608,6 |
| L 4 2 1 6 | 17,17 | 7,90 | 9229,6 | 1338638,9 | 94115,6 |
| L 4 2 1 8 | 19,16 | 8,80 | 8611,1 | 1248940,9 | 87809,2 |

**Çizelge B 13. Dolaylı Çekme Deneyi Sonuçları
(15 °C sıcaklık ve OptAC Bitüm Muhtevası)**

| | | | | | Elastisite Modülü | | | | |
|---|---|---|---|------------------|-------------------|------|--------------------|-----------|----------|
| | | | | Faz Gecikmesi ms | Elastisite Modülü | | | | |
| | | | | | Mpa | PSI | kg/cm ² | | |
| L | 5 | 2 | 3 | 4 | 21,28 | 8,00 | 7906,7 | 1146762,9 | 80625,4 |
| L | 5 | 2 | 3 | 6 | 18,88 | 7,30 | 8458,8 | 1226844,8 | 86255,7 |
| L | 5 | 2 | 3 | 8 | 20,18 | 5,80 | 7980,6 | 1157482,5 | 81379,1 |
| L | 5 | 2 | 2 | 4 | 16,34 | 6,70 | 9610 | 1393813,4 | 97994,8 |
| L | 5 | 2 | 2 | 6 | 17,97 | 7,70 | 8717,1 | 1264310,9 | 88889,9 |
| L | 5 | 2 | 2 | 8 | 20,01 | 6,90 | 9864,2 | 1430675,2 | 100586,4 |
| L | 5 | 2 | 1 | 4 | 16,31 | 6,70 | 9655,7 | 1400434,3 | 98460,3 |
| L | 5 | 2 | 1 | 6 | 18,24 | 5,40 | 8674 | 1258057,8 | 88450,2 |
| L | 5 | 2 | 1 | 8 | 19,82 | 7,00 | 8059 | 1168859,0 | 82178,9 |

**Çizelge B 14. Dolaylı Çekme Deneyi Sonuçları
(15 °C sıcaklık ve OptACv Bitüm Muhtevası)**

| | | | | | Elastisite Modülü | | | | |
|---|---|---|---|------------------|-------------------|------|--------------------|-----------|----------|
| | | | | Faz Gecikmesi ms | Elastisite Modülü | | | | |
| | | | | | Mpa | PSI | kg/cm ² | | |
| L | 6 | 2 | 3 | 4 | 20,40 | 6,10 | 7912,1 | 1147551,1 | 80680,8 |
| L | 6 | 2 | 3 | 6 | 20,09 | 5,40 | 7871,9 | 1141718,4 | 80270,7 |
| L | 6 | 2 | 3 | 8 | 20,07 | 4,90 | 7926,4 | 1149626,7 | 80826,8 |
| L | 6 | 2 | 2 | 4 | 16,53 | 5,30 | 9364,7 | 1358239,0 | 95493,7 |
| L | 6 | 2 | 2 | 6 | 17,83 | 4,00 | 8723,5 | 1265230,5 | 88954,5 |
| L | 6 | 2 | 2 | 8 | 19,54 | 5,10 | 8190,5 | 1187933,6 | 83520,0 |
| L | 6 | 2 | 1 | 4 | 15,73 | 6,40 | 9965,2 | 1445335,9 | 101617,2 |
| L | 6 | 2 | 1 | 6 | 17,09 | 5,90 | 9228,7 | 1338507,5 | 94106,4 |
| L | 6 | 2 | 1 | 8 | 18,47 | 4,50 | 8731,8 | 1266439,1 | 89039,5 |

Çizelge B 15. Dolaylı Çekme Deneyi Sonuçları
(25 °C sıcaklık ve % 4,5 Bitüm Muhtevası)

| DENYEY KODU | | Elastik Deformasyon $\mu\epsilon$ | Faz Gecikmesi Ms | Elastisite Modülü | | | | | |
|-------------|---|-----------------------------------|------------------|-------------------|-------|--------------------|--------|----------|---------|
| | | | | Mpa | PSI | kg/cm ² | | | |
| L | 0 | 3 | 3 | 4 | 24,80 | 6,90 | 6501 | 942886,2 | 66291,5 |
| L | 0 | 3 | 3 | 6 | 30,25 | 6,50 | 5329,7 | 773010,8 | 54348,0 |
| L | 0 | 3 | 3 | 8 | 36,92 | 6,20 | 4366,9 | 633358,0 | 44529,5 |
| L | 0 | 3 | 2 | 4 | 28,95 | 7,20 | 5569,1 | 807722,9 | 56788,5 |
| L | 0 | 3 | 2 | 6 | 33,11 | 6,00 | 4869,3 | 706239,1 | 49653,5 |
| L | 0 | 3 | 2 | 8 | 36,97 | 7,00 | 4360,9 | 632501,4 | 44469,3 |
| L | 0 | 3 | 1 | 4 | 28,93 | 6,40 | 5572,9 | 808281,3 | 56827,8 |
| L | 0 | 3 | 1 | 6 | 31,91 | 6,60 | 5052,5 | 732797,8 | 51520,8 |
| L | 0 | 3 | 1 | 8 | 37,98 | 5,40 | 4245 | 615681,4 | 43286,7 |

Çizelge B 16. Dolaylı Çekme Deneyi Sonuçları
(25 °C sıcaklık ve % 5 Bitüm Muhtevası)

| DENYEY KODU | | Elastik Deformasyon $\mu\epsilon$ | Faz Gecikmesi ms | Elastisite Modülü | | | | | |
|-------------|---|-----------------------------------|------------------|-------------------|-------|--------------------|--------|----------|---------|
| | | | | Mpa | PSI | kg/cm ² | | | |
| L | 1 | 3 | 3 | 4 | 30,69 | 6,80 | 5225,6 | 757913,9 | 53286,6 |
| L | 1 | 3 | 3 | 6 | 34,28 | 7,00 | 4580,7 | 664380,0 | 46710,5 |
| L | 1 | 3 | 3 | 8 | 38,95 | 5,80 | 4067,5 | 589947,0 | 41477,4 |
| L | 1 | 3 | 2 | 4 | 31,41 | 6,60 | 5039,8 | 730957,3 | 51391,4 |
| L | 1 | 3 | 2 | 6 | 34,81 | 6,20 | 4463,9 | 647433,5 | 45519,1 |
| L | 1 | 3 | 2 | 8 | 37,23 | 7,40 | 4217,9 | 611754,0 | 43010,6 |
| L | 1 | 3 | 1 | 4 | 31,60 | 6,50 | 5018,2 | 727830,7 | 51171,6 |
| L | 1 | 3 | 1 | 6 | 34,83 | 6,80 | 4472,6 | 648694,7 | 45607,8 |
| L | 1 | 3 | 1 | 8 | 38,81 | 5,60 | 4052,1 | 587713,7 | 41320,4 |

Çizelge B 17. Dolaylı Çekme Deneyi Sonuçları
(25 °C sıcaklık ve % 5,5 Bitüm Muhtevası)

| DENYEY KODU | | | | Elastik Deformasyon $\mu\epsilon$ | Faz Gecikmesi ms | Elastisite Modülü | | | |
|-------------|---|---|---|-----------------------------------|------------------|-------------------|--------|--------------------|---------|
| | | | | | | Mpa | PSI | kg/cm ² | |
| L | 2 | 3 | 3 | 4 | 36,16 | 7,90 | 4398,5 | 637948,8 | 44852,2 |
| L | 2 | 3 | 3 | 6 | 39,25 | 6,80 | 3958,5 | 574130,3 | 40365,4 |
| L | 2 | 3 | 3 | 8 | 45,51 | 7,20 | 3492,4 | 506528,3 | 35612,5 |
| L | 2 | 3 | 2 | 4 | 36,30 | 8,00 | 4287,5 | 621843,1 | 43719,9 |
| L | 2 | 3 | 2 | 6 | 40,49 | 7,70 | 3806,3 | 552060,4 | 38813,7 |
| L | 2 | 3 | 2 | 8 | 45,49 | 7,20 | 3445,7 | 499749,8 | 35135,9 |
| L | 2 | 3 | 1 | 4 | 35,88 | 7,70 | 4317,7 | 626230,8 | 44028,4 |
| L | 2 | 3 | 1 | 6 | 40,10 | 7,90 | 3852,3 | 558733,9 | 39282,9 |
| L | 2 | 3 | 1 | 8 | 44,77 | 6,40 | 3479,7 | 504689,2 | 35483,2 |

Çizelge B 18. Dolaylı Çekme Deneyi Sonuçları
(25 °C sıcaklık ve % 6,0 Bitüm Muhtevası)

| DENYEY KODU | | | | Elastik Deformasyon $\mu\epsilon$ | Faz Gecikmesi ms | Elastisite Modülü | | | |
|-------------|---|---|---|-----------------------------------|------------------|-------------------|--------|--------------------|---------|
| | | | | | | Mpa | PSI | kg/cm ² | |
| L | 3 | 3 | 3 | 4 | 43,44 | 10,20 | 3653,1 | 529833,0 | 37250,9 |
| L | 3 | 3 | 3 | 6 | 48,85 | 8,80 | 3177,9 | 460917,4 | 32405,7 |
| L | 3 | 3 | 3 | 8 | 56,00 | 8,10 | 2789,3 | 404560,6 | 28443,4 |
| L | 3 | 3 | 2 | 4 | 43,75 | 9,30 | 3516,1 | 509970,2 | 35854,5 |
| L | 3 | 3 | 2 | 6 | 51,31 | 8,40 | 3043,3 | 441396,1 | 31033,2 |
| L | 3 | 3 | 2 | 8 | 57,66 | 8,50 | 2740,6 | 397493,0 | 27946,5 |
| L | 3 | 3 | 1 | 4 | 44,82 | 10,00 | 3464,3 | 502455,9 | 35326,1 |
| L | 3 | 3 | 1 | 6 | 50,26 | 8,80 | 3066,1 | 444706,6 | 31266,0 |
| L | 3 | 3 | 1 | 8 | 56,33 | 7,00 | 2770,5 | 401828,1 | 28251,3 |

**Çizelge B 19. Dolaylı Çekme Deneyi Sonuçları
(25 °C sıcaklık ve % 6,5 Bitüm Muhtevası)**

| DENYEY KODU | Elastik Deformasyon $\mu\epsilon$ | Faz Gecikmesi ms | Elastisite Modülü | | |
|-------------|-----------------------------------|------------------|-------------------|----------|--------------------|
| | | | Mpa | PSI | kg/cm ² |
| L 4 3 3 4 | 38,48 | 10,40 | 4126,6 | 598512,1 | 42079,6 |
| L 4 3 3 6 | 40,82 | 9,10 | 3840 | 556947,3 | 39157,3 |
| L 4 3 3 8 | 47,03 | 8,60 | 3345,3 | 485194,2 | 34112,5 |
| L 4 3 2 4 | 37,18 | 9,30 | 4088,7 | 593021,0 | 41693,5 |
| L 4 3 2 6 | 42,51 | 7,60 | 3572,3 | 518115,0 | 36427,1 |
| L 4 3 2 8 | 49,10 | 8,50 | 3157,6 | 457974,8 | 32198,8 |
| L 4 3 1 4 | 36,24 | 9,60 | 4218,3 | 611806,6 | 43014,3 |
| L 4 3 1 6 | 42,48 | 7,40 | 3642,2 | 528256,6 | 37140,1 |
| L 4 3 1 8 | 47,56 | 7,90 | 3289,3 | 477075,7 | 33541,7 |

**Çizelge B 20. Dolaylı Çekme Deneyi Sonuçları
(25 °C sıcaklık ve OptAC Bitüm Muhtevası)**

| DENYEY KODU | Elastik Deformasyon $\mu\epsilon$ | Faz Gecikmesi ms | Elastisite Modülü | | |
|-------------|-----------------------------------|------------------|-------------------|----------|--------------------|
| | | | Mpa | PSI | kg/cm ² |
| L 5 3 3 4 | 26,86 | 10,50 | 5911,6 | 857412,0 | 60282,0 |
| L 5 3 3 6 | 31,82 | 9,70 | 4992,9 | 724152,4 | 50913,0 |
| L 5 3 3 8 | 37,73 | 9,20 | 4278,2 | 620503,1 | 43625,7 |
| L 5 3 2 4 | 29,75 | 10,10 | 5362 | 777697,9 | 54677,6 |
| L 5 3 2 6 | 33,31 | 9,30 | 4724,4 | 685214,9 | 48175,4 |
| L 5 3 2 8 | 38,20 | 7,40 | 4177,9 | 605947,6 | 42602,3 |
| L 5 3 1 4 | 29,75 | 9,00 | 5293,4 | 767740,3 | 53977,5 |
| L 5 3 1 6 | 33,29 | 9,10 | 4697,4 | 681300,2 | 47900,1 |
| L 5 3 1 8 | 38,20 | 7,90 | 4180,4 | 606315,4 | 42628,2 |

Çizelge B 21. Dolaylı Çekme Deneyi Sonuçları
(25 °C sıcaklık ve OptACv Bitüm Muhtevası)

| DENEY KODU | | | | Elastik Deformasyon $\mu\epsilon$ | Faz Gecikmesi ms | Elastisite Modülü | | | |
|------------|---|---|---|-----------------------------------|------------------|-------------------|--------|--------------------|---------|
| | | | | | | Mpa | PSI | kg/cm ² | |
| L | 6 | 3 | 3 | 4 | 32,96 | 8,10 | 4826,7 | 700059,5 | 49219,1 |
| L | 6 | 3 | 3 | 6 | 38,64 | 6,40 | 4109,4 | 596016,1 | 41904,1 |
| L | 6 | 3 | 3 | 8 | 45,07 | 7,50 | 3642,2 | 528256,6 | 37140,1 |
| L | 6 | 3 | 2 | 4 | 35,77 | 8,30 | 4448,7 | 645226,6 | 45363,9 |
| L | 6 | 3 | 2 | 6 | 39,91 | 6,90 | 4002 | 580435,9 | 40808,7 |
| L | 6 | 3 | 2 | 8 | 45,65 | 6,00 | 3592,4 | 521031,4 | 36632,1 |
| L | 6 | 3 | 1 | 4 | 36,13 | 6,60 | 4444,9 | 644674,8 | 45325,1 |
| L | 6 | 3 | 1 | 6 | 40,63 | 7,70 | 3967,4 | 575417,7 | 40455,9 |
| L | 6 | 3 | 1 | 8 | 45,05 | 5,80 | 3644 | 528519,3 | 37158,6 |

Çizelge B 22. Dolaylı Çekme Deneyi Sonuçları
(40 °C sıcaklık ve % 4,5 Bitüm Muhtevası)

| DENEY KODU | | | | Elastik Deformasyon $\mu\epsilon$ | Faz Gecikmesi ms | Elastisite Modülü | | | |
|------------|---|---|---|-----------------------------------|------------------|-------------------|--------|--------------------|---------|
| | | | | | | Mpa | PSI | kg/cm ² | |
| L | 0 | 4 | 3 | 4 | 158,23 | 14,50 | 1018,9 | 147782,2 | 10390,1 |
| L | 0 | 4 | 3 | 6 | 178,35 | 11,60 | 903,98 | 131110,6 | 9218,0 |
| L | 0 | 4 | 3 | 8 | 200,36 | 7,80 | 804,67 | 116707,8 | 8205,4 |
| L | 0 | 4 | 2 | 4 | 175,26 | 10,30 | 919,91 | 133422,2 | 9380,5 |
| L | 0 | 4 | 2 | 6 | 180,25 | 8,90 | 894,45 | 129728,6 | 9120,8 |
| L | 0 | 4 | 2 | 8 | 200,54 | 7,90 | 803,95 | 116603,1 | 8198,0 |
| L | 0 | 4 | 1 | 4 | 165,25 | 10,00 | 975,64 | 141504,3 | 9948,7 |
| L | 0 | 4 | 1 | 6 | 169,96 | 7,90 | 948,6 | 137582,8 | 9673,0 |
| L | 0 | 4 | 1 | 8 | 200,31 | 6,90 | 804,87 | 116736,9 | 8207,4 |

Çizelge B 23. Dolaylı Çekme Deneyi Sonuçları
(40 °C sıcaklık ve % 5 Bitüm Muhtevası)

| DENEY KODU | Elastik Deformasyon $\mu\epsilon$ | Faz Gecikmesi ms | Elastisite Modülü | | |
|------------|--------------------------------------|---------------------|-------------------|----------|--------------------|
| | | | Mpa | PSI | kg/cm ² |
| L 1 4 3 4 | 163,98 | 12,80 | 960,82 | 139355,1 | 9797,6 |
| L 1 4 3 6 | 175,60 | 10,60 | 907,38 | 131604,4 | 9252,7 |
| L 1 4 3 8 | 202,26 | 8,30 | 789,81 | 114552,8 | 8053,9 |
| L 1 4 2 4 | 86,48 | 10,50 | 928,21 | 134625,8 | 9465,1 |
| L 1 4 2 6 | 184,57 | 9,00 | 835,1 | 121121,2 | 8515,7 |
| L 1 4 2 8 | 206,43 | 8,10 | 778,22 | 112871,3 | 7935,6 |
| L 1 4 1 4 | 167,10 | 9,00 | 934,73 | 135571,7 | 9531,6 |
| L 1 4 1 6 | 183,49 | 8,20 | 847,42 | 122907,8 | 8641,3 |
| L 1 4 1 8 | 206,02 | 7,40 | 784,02 | 113712,1 | 7994,7 |

Çizelge B 24. Dolaylı Çekme Deneyi Sonuçları
(40 °C sıcaklık ve % 5,5 Bitüm Muhtevası)

| DENEY KODU | Elastik Deformasyon $\mu\epsilon$ | Faz Gecikmesi ms | Elastisite Modülü | | |
|------------|--------------------------------------|---------------------|-------------------|----------|--------------------|
| | | | Mpa | PSI | kg/cm ² |
| L 2 4 3 4 | 176,98 | 17,30 | 912,27 | 132313,7 | 9302,6 |
| L 2 4 3 6 | 189,84 | 11,80 | 822,06 | 119229,5 | 8382,7 |
| L 2 4 3 8 | 224,54 | 9,80 | 710,65 | 103071,3 | 7246,6 |
| L 2 4 2 4 | 189,10 | 11,60 | 830,39 | 120438,1 | 8467,6 |
| L 2 4 2 6 | 200,91 | 10,10 | 769,89 | 111662,7 | 7850,7 |
| L 2 4 2 8 | 222,77 | 9,00 | 720,43 | 104490,0 | 7346,4 |
| L 2 4 1 4 | 182,34 | 10,50 | 854,48 | 123932,5 | 8713,3 |
| L 2 4 1 6 | 192,85 | 10,10 | 805,94 | 116891,2 | 8218,3 |
| L 2 4 1 8 | 213,44 | 8,60 | 752,68 | 109166,7 | 7675,2 |

Çizelge B 25. Dolaylı Çekme Deneyi Sonuçları
(40 °C sıcaklık ve % 6,0 Bitüm Muhtevası)

| DENEY KODU | Elastik Deformasyon $\mu\epsilon$ | Faz Gecikmesi ms | Elastisite Modülü | | |
|------------|-----------------------------------|------------------|-------------------|---------|--------------------|
| | | | Mpa | PSI | kg/cm ² |
| L 3 4 3 4 | 289,29 | 16,00 | 543,27 | 78794,5 | 5539,8 |
| L 3 4 3 6 | 308,28 | 12,50 | 502,69 | 72909,2 | 5126,0 |
| L 3 4 3 8 | 323,38 | 11,00 | 482,4 | 69966,5 | 4919,1 |
| L 3 4 2 4 | 256,78 | 11,30 | 606,85 | 88016,5 | 6188,2 |
| L 3 4 2 6 | 285,34 | 9,80 | 548,88 | 79608,9 | 5597,1 |
| L 3 4 2 8 | 309,66 | 8,20 | 517,73 | 75089,9 | 5279,3 |
| L 3 4 1 4 | 242,75 | 10,30 | 640 | 92824,6 | 6526,2 |
| L 3 4 1 6 | 259,09 | 8,70 | 593,45 | 86072,2 | 6051,5 |
| L 3 4 1 8 | 287,55 | 8,10 | 555,22 | 80528,5 | 5661,7 |

Çizelge B 26. Dolaylı Çekme Deneyi Sonuçları
(40 °C sıcaklık ve % 6,5 Bitüm Muhtevası)

| DENEY KODU | Elastik Deformasyon $\mu\epsilon$ | Faz Gecikmesi ms | Elastisite Modülü | | |
|------------|-----------------------------------|------------------|-------------------|----------|--------------------|
| | | | Mpa | PSI | kg/cm ² |
| L 4 4 3 4 | 203,51 | 16,70 | 764,82 | 110927,1 | 7798,9 |
| L 4 4 3 6 | 225,75 | 12,40 | 684,02 | 99209,0 | 6975,1 |
| L 4 4 3 8 | 250,92 | 10,90 | 635,66 | 92194,0 | 6481,9 |
| L 4 4 2 4 | 215,59 | 11,90 | 715,18 | 103728,1 | 7292,8 |
| L 4 4 2 6 | 234,06 | 11,10 | 657,76 | 95399,4 | 6707,2 |
| L 4 4 2 8 | 243,14 | 9,30 | 653,95 | 94847,6 | 6668,4 |
| L 4 4 1 4 | 206,40 | 11,10 | 753,95 | 109350,6 | 7688,1 |
| L 4 4 1 6 | 213,91 | 10,70 | 719,17 | 104306,1 | 7333,4 |
| L 4 4 1 8 | 238,37 | 9,40 | 682,21 | 98946,3 | 6956,6 |

Çizelge B 27. Dolaylı Çekme Deneyi Sonuçları
(40 °C sıcaklık ve OptAC Bitüm Muhtevası)

| DENEY KODU | Elastik Deformasyon $\mu\epsilon$ | Faz Gecikmesi ms | Elastisite Modülü | | |
|------------|-----------------------------------|------------------|-------------------|----------|--------------------|
| | | | Mpa | PSI | kg/cm ² |
| L 5 4 3 4 | 200,19 | 15,70 | 836,37 | 121305,1 | 8528,6 |
| L 5 4 3 6 | 221,86 | 13,60 | 748,33 | 108536,2 | 7630,8 |
| L 5 4 3 8 | 265,69 | 10,80 | 620,26 | 89960,7 | 6324,9 |
| L 5 4 2 4 | 201,68 | 14,50 | 788,36 | 114342,6 | 8039,1 |
| L 5 4 2 6 | 220,45 | 11,60 | 718,62 | 104227,3 | 7327,9 |
| L 5 4 2 8 | 247,45 | 9,60 | 726,05 | 105304,5 | 7403,6 |
| L 5 4 1 4 | 186,78 | 12,60 | 850,5 | 123354,5 | 8672,7 |
| L 5 4 1 6 | 207,92 | 10,80 | 780,94 | 113265,4 | 7963,3 |
| L 5 4 1 8 | 228,40 | 9,00 | 707,93 | 102677,1 | 7218,9 |

Çizelge B 28. Dolaylı Çekme Deneyi Sonuçları
(40 °C sıcaklık ve OptACv Bitüm Muhtevası)

| DENEY KODU | Elastik Deformasyon $\mu\epsilon$ | Faz Gecikmesi ms | Elastisite Modülü | | |
|------------|-----------------------------------|------------------|-------------------|----------|--------------------|
| | | | Mpa | PSI | kg/cm ² |
| L 6 4 3 4 | 148,30 | 15,00 | 1071 | 155329,4 | 10920,7 |
| L 6 4 3 6 | 162,93 | 12,10 | 946,87 | 137332,0 | 9655,4 |
| L 6 4 3 8 | 188,68 | 10,90 | 831,3 | 120569,5 | 8476,9 |
| L 6 4 2 4 | 147,20 | 11,00 | 1068,6 | 154987,8 | 10896,7 |
| L 6 4 2 6 | 159,21 | 9,60 | 966,8 | 140222,1 | 9858,6 |
| L 6 4 2 8 | 176,62 | 9,70 | 879,48 | 127558,2 | 8968,2 |
| L 6 4 1 4 | 137,48 | 10,50 | 1121,1 | 162607,2 | 11432,4 |
| L 6 4 1 6 | 154,10 | 9,50 | 1007,4 | 146107,4 | 10272,4 |
| L 6 4 1 8 | 171,85 | 8,30 | 927,13 | 134468,2 | 9454,0 |

EK C. Statik Sünme Deneyi Sonuçları

Çizelge C.1. 5 ve 15 °C Statik Sünme Deformasyonu (10^{-6} x in./in.)

| Süre (sn) | 5 °C Sıcaklık | | | | | | | 15 °C Sıcaklık | | | | | | |
|--------------|---------------------|------|------|------|------|------|------|---------------------|------|------|------|------|------|------|
| | Bitüm Muhtevası (%) | | | | | | | Bitüm Muhtevası (%) | | | | | | |
| | 4,50 | 5,00 | 5,50 | 6,00 | 6,50 | 5,20 | 5,26 | 4,50 | 5,00 | 5,50 | 6,00 | 6,50 | 5,20 | 5,26 |
| 1 | 714 | 504 | 429 | 952 | 460 | 565 | 529 | 355 | 410 | 502 | 266 | 451 | 307 | 336 |
| 2 | 824 | 655 | 555 | 1144 | 560 | 641 | 680 | 399 | 452 | 560 | 308 | 518 | 333 | 386 |
| 3 | 897 | 782 | 655 | 1285 | 652 | 691 | 805 | 428 | 486 | 594 | 333 | 576 | 341 | 419 |
| 4 | 954 | 882 | 731 | 1402 | 727 | 734 | 914 | 451 | 519 | 635 | 366 | 618 | 358 | 445 |
| 5 | 1000 | 975 | 807 | 1503 | 778 | 767 | 1007 | 469 | 536 | 669 | 383 | 659 | 375 | 470 |
| 6 | 1040 | 1067 | 874 | 1586 | 828 | 793 | 1091 | 485 | 553 | 702 | 399 | 693 | 384 | 495 |
| 7 | 1075 | 1134 | 941 | 1661 | 878 | 801 | 1158 | 499 | 570 | 727 | 424 | 726 | 401 | 512 |
| 8 | 1107 | 1202 | 1008 | 1728 | 911 | 818 | 1208 | 512 | 603 | 753 | 441 | 760 | 401 | 529 |
| 9 | 1135 | 1261 | 1050 | 1795 | 953 | 835 | 1250 | 523 | 603 | 778 | 466 | 785 | 410 | 554 |
| 10 | 1161 | 1311 | 1101 | 1853 | 987 | 852 | 1284 | 534 | 620 | 786 | 466 | 810 | 410 | 562 |
| 11 | 1186 | 1361 | 1143 | 1903 | 1012 | 868 | 1317 | 543 | 637 | 803 | 491 | 835 | 427 | 579 |
| 12 | 1208 | 1403 | 1176 | 1953 | 1045 | 877 | 1334 | 552 | 653 | 819 | 499 | 860 | 427 | 587 |
| 13 | 1230 | 1445 | 1202 | 1995 | 1070 | 885 | 1359 | 561 | 653 | 836 | 516 | 885 | 427 | 596 |
| 14 | 1250 | 1479 | 1235 | 2028 | 1079 | 885 | 1376 | 569 | 670 | 844 | 532 | 910 | 435 | 612 |
| 15 | 1269 | 1504 | 1261 | 2062 | 1104 | 894 | 1384 | 576 | 678 | 870 | 549 | 927 | 444 | 621 |
| 16 | 1287 | 1538 | 1286 | 2095 | 1120 | 894 | 1401 | 583 | 687 | 886 | 549 | 952 | 444 | 646 |
| 17 | 1304 | 1555 | 1311 | 2120 | 1137 | 894 | 1409 | 590 | 704 | 895 | 566 | 977 | 452 | 646 |
| 18 | 1320 | 1580 | 1336 | 2145 | 1162 | 911 | 1426 | 597 | 712 | 920 | 582 | 993 | 452 | 663 |
| 19 | 1336 | 1605 | 1361 | 2179 | 1179 | 911 | 1443 | 603 | 720 | 928 | 582 | 1010 | 461 | 671 |
| 20 | 1351 | 1630 | 1370 | 2204 | 1187 | 911 | 1460 | 609 | 729 | 936 | 599 | 1027 | 469 | 680 |
| 21 | 1366 | 1647 | 1395 | 2229 | 1212 | 919 | 1468 | 615 | 737 | 953 | 616 | 1052 | 469 | 696 |
| 22 | 1380 | 1672 | 1420 | 2254 | 1229 | 927 | 1477 | 621 | 745 | 962 | 632 | 1068 | 469 | 705 |
| 23 | 1393 | 1689 | 1429 | 2279 | 1237 | 927 | 1493 | 626 | 754 | 978 | 632 | 1085 | 469 | 713 |
| 24 | 1406 | 1714 | 1454 | 2295 | 1254 | 936 | 1502 | 631 | 762 | 987 | 649 | 1102 | 478 | 721 |
| 25 | 1419 | 1731 | 1479 | 2321 | 1271 | 936 | 1527 | 636 | 771 | 1003 | 649 | 1119 | 478 | 730 |
| 26 | 1431 | 1748 | 1487 | 2329 | 1288 | 944 | 1527 | 641 | 779 | 1003 | 666 | 1135 | 486 | 747 |
| 27 | 1443 | 1773 | 1513 | 2354 | 1296 | 944 | 1544 | 646 | 787 | 1020 | 682 | 1152 | 486 | 747 |
| 28 | 1455 | 1782 | 1529 | 2371 | 1313 | 953 | 1552 | 650 | 796 | 1028 | 682 | 1169 | 495 | 755 |
| 29 | 1466 | 1798 | 1546 | 2396 | 1321 | 953 | 1560 | 655 | 796 | 1037 | 699 | 1185 | 495 | 772 |
| 30 | 1477 | 1824 | 1563 | 2412 | 1338 | 953 | 1569 | 659 | 812 | 1054 | 699 | 1202 | 495 | 780 |
| 31 | 1488 | 1840 | 1580 | 2421 | 1346 | 953 | 1586 | 664 | 812 | 1062 | 715 | 1219 | 495 | 780 |
| 32 | 1498 | 1849 | 1597 | 2437 | 1363 | 953 | 1594 | 668 | 829 | 1079 | 715 | 1235 | 512 | 789 |
| 33 | 1509 | 1874 | 1613 | 2454 | 1371 | 961 | 1602 | 672 | 829 | 1079 | 732 | 1252 | 512 | 797 |
| 34 | 1519 | 1882 | 1622 | 2462 | 1388 | 970 | 1611 | 676 | 829 | 1087 | 732 | 1269 | 512 | 805 |
| 35 | 1528 | 1899 | 1639 | 2479 | 1388 | 970 | 1628 | 680 | 846 | 1104 | 749 | 1277 | 512 | 814 |
| 36 | 1538 | 1916 | 1655 | 2496 | 1405 | 970 | 1636 | 684 | 846 | 1112 | 765 | 1294 | 520 | 822 |
| 37 | 1547 | 1933 | 1664 | 2504 | 1413 | 970 | 1644 | 687 | 854 | 1112 | 765 | 1311 | 520 | 831 |
| 38 | 1557 | 1941 | 1681 | 2521 | 1430 | 970 | 1653 | 691 | 863 | 1120 | 782 | 1327 | 520 | 831 |
| 39 | 1565 | 1966 | 1689 | 2529 | 1438 | 978 | 1661 | 695 | 863 | 1137 | 782 | 1327 | 529 | 847 |
| 40 | 1574 | 1975 | 1706 | 2554 | 1446 | 987 | 1669 | 698 | 879 | 1137 | 799 | 1344 | 529 | 847 |
| 41 | 1583 | 1983 | 1723 | 2554 | 1455 | 987 | 1678 | 701 | 879 | 1145 | 799 | 1361 | 529 | 856 |
| 42 | 1591 | 2008 | 1731 | 2563 | 1463 | 987 | 1686 | 705 | 888 | 1162 | 815 | 1377 | 538 | 864 |
| 44 | 1608 | 2025 | 1756 | 2588 | 1480 | 995 | 1703 | 711 | 896 | 1171 | 832 | 1394 | 538 | 872 |
| 45 | 1616 | 2034 | 1765 | 2596 | 1497 | 995 | 1711 | 715 | 905 | 1187 | 832 | 1411 | 538 | 881 |
| 46 | 1624 | 2042 | 1790 | 2604 | 1497 | 1003 | 1720 | 718 | 913 | 1187 | 849 | 1427 | 538 | 898 |
| 47 | 1632 | 2067 | 1798 | 2613 | 1505 | 1003 | 1728 | 721 | 913 | 1204 | 849 | 1436 | 538 | 898 |

| | | | | | | | | | | | | | | |
|-----|------|------|------|------|------|------|------|-----|------|------|------|------|-----|------|
| 48 | 1639 | 2076 | 1807 | 2621 | 1522 | 1003 | 1728 | 724 | 921 | 1204 | 865 | 1452 | 538 | 906 |
| 50 | 1654 | 2101 | 1832 | 2646 | 1538 | 1012 | 1753 | 730 | 930 | 1221 | 882 | 1477 | 546 | 923 |
| 51 | 1662 | 2109 | 1840 | 2646 | 1547 | 1012 | 1762 | 733 | 938 | 1229 | 882 | 1486 | 546 | 923 |
| 52 | 1669 | 2118 | 1857 | 2663 | 1547 | 1012 | 1770 | 736 | 946 | 1237 | 890 | 1503 | 555 | 931 |
| 54 | 1683 | 2151 | 1874 | 2679 | 1572 | 1020 | 1770 | 741 | 955 | 1254 | 899 | 1519 | 555 | 931 |
| 55 | 1690 | 2160 | 1891 | 2688 | 1572 | 1029 | 1787 | 744 | 955 | 1263 | 915 | 1536 | 555 | 948 |
| 56 | 1696 | 2168 | 1899 | 2696 | 1580 | 1029 | 1795 | 747 | 963 | 1263 | 915 | 1553 | 563 | 948 |
| 58 | 1710 | 2185 | 1924 | 2705 | 1597 | 1029 | 1804 | 752 | 972 | 1279 | 932 | 1569 | 563 | 956 |
| 59 | 1716 | 2202 | 1933 | 2713 | 1614 | 1029 | 1812 | 755 | 972 | 1288 | 940 | 1586 | 563 | 965 |
| 61 | 1729 | 2218 | 1950 | 2738 | 1622 | 1029 | 1820 | 760 | 988 | 1288 | 948 | 1603 | 563 | 973 |
| 63 | 1742 | 2244 | 1975 | 2746 | 1639 | 1046 | 1837 | 765 | 1005 | 1313 | 965 | 1619 | 563 | 982 |
| 64 | 1748 | 2252 | 1983 | 2755 | 1639 | 1046 | 1837 | 767 | 1005 | 1313 | 982 | 1636 | 572 | 990 |
| 66 | 1760 | 2269 | 2000 | 2771 | 1656 | 1046 | 1854 | 772 | 1005 | 1329 | 998 | 1661 | 580 | 998 |
| 68 | 1771 | 2294 | 2017 | 2771 | 1664 | 1046 | 1862 | 777 | 1022 | 1338 | 998 | 1686 | 580 | 1015 |
| 69 | 1777 | 2294 | 2025 | 2788 | 1664 | 1046 | 1871 | 779 | 1022 | 1346 | 1015 | 1694 | 580 | 1015 |
| 71 | 1789 | 2311 | 2042 | 2805 | 1681 | 1046 | 1879 | 783 | 1039 | 1355 | 1015 | 1711 | 580 | 1023 |
| 73 | 1800 | 2336 | 2067 | 2821 | 1689 | 1062 | 1888 | 788 | 1039 | 1380 | 1032 | 1736 | 589 | 1040 |
| 75 | 1811 | 2353 | 2084 | 2830 | 1706 | 1062 | 1896 | 792 | 1055 | 1380 | 1048 | 1753 | 597 | 1040 |
| 77 | 1821 | 2378 | 2109 | 2846 | 1714 | 1062 | 1904 | 796 | 1055 | 1396 | 1057 | 1778 | 597 | 1057 |
| 79 | 1832 | 2387 | 2126 | 2855 | 1731 | 1062 | 1913 | 801 | 1072 | 1405 | 1073 | 1795 | 597 | 1065 |
| 81 | 1842 | 2403 | 2134 | 2863 | 1739 | 1062 | 1921 | 805 | 1072 | 1421 | 1082 | 1820 | 606 | 1074 |
| 83 | 1852 | 2420 | 2160 | 2880 | 1756 | 1079 | 1930 | 809 | 1080 | 1430 | 1098 | 1845 | 606 | 1082 |
| 85 | 1862 | 2437 | 2176 | 2896 | 1764 | 1079 | 1938 | 813 | 1089 | 1430 | 1098 | 1861 | 606 | 1091 |
| 87 | 1872 | 2462 | 2193 | 2905 | 1773 | 1079 | 1946 | 817 | 1106 | 1446 | 1115 | 1878 | 606 | 1107 |
| 90 | 1886 | 2479 | 2218 | 2922 | 1789 | 1088 | 1963 | 822 | 1114 | 1455 | 1131 | 1903 | 623 | 1107 |
| 92 | 1895 | 2487 | 2235 | 2930 | 1798 | 1096 | 1971 | 826 | 1114 | 1472 | 1148 | 1920 | 623 | 1124 |
| 95 | 1909 | 2521 | 2252 | 2955 | 1806 | 1096 | 1980 | 831 | 1131 | 1480 | 1165 | 1945 | 623 | 1133 |
| 97 | 1918 | 2529 | 2269 | 2955 | 1823 | 1096 | 1988 | 835 | 1139 | 1497 | 1181 | 1970 | 623 | 1149 |
| 100 | 1931 | 2555 | 2286 | 2972 | 1831 | 1105 | 1997 | 840 | 1147 | 1513 | 1198 | 1987 | 631 | 1158 |
| 102 | 1940 | 2571 | 2311 | 2988 | 1848 | 1105 | 2005 | 844 | 1156 | 1522 | 1206 | 2003 | 631 | 1166 |
| 105 | 1952 | 2597 | 2336 | 3005 | 1848 | 1113 | 2013 | 849 | 1164 | 1538 | 1215 | 2037 | 631 | 1174 |
| 107 | 1961 | 2605 | 2345 | 3013 | 1865 | 1113 | 2022 | 852 | 1164 | 1547 | 1231 | 2045 | 631 | 1174 |
| 110 | 1973 | 2630 | 2370 | 3030 | 1881 | 1113 | 2030 | 857 | 1181 | 1555 | 1248 | 2078 | 640 | 1191 |
| 113 | 1985 | 2647 | 2387 | 3047 | 1890 | 1121 | 2030 | 862 | 1189 | 1572 | 1265 | 2095 | 648 | 1200 |
| 116 | 1996 | 2664 | 2403 | 3063 | 1898 | 1130 | 2047 | 866 | 1198 | 1580 | 1281 | 2129 | 648 | 1216 |
| 119 | 2008 | 2689 | 2420 | 3080 | 1915 | 1130 | 2047 | 871 | 1206 | 1597 | 1298 | 2145 | 648 | 1225 |
| 122 | 2019 | 2706 | 2445 | 3097 | 1923 | 1138 | 2072 | 875 | 1214 | 1614 | 1314 | 2170 | 648 | 1233 |
| 125 | 2030 | 2723 | 2462 | 3105 | 1940 | 1138 | 2081 | 880 | 1231 | 1614 | 1331 | 2187 | 666 | 1250 |
| 129 | 2045 | 2748 | 2487 | 3122 | 1948 | 1138 | 2089 | 885 | 1248 | 1639 | 1348 | 2220 | 666 | 1258 |
| 132 | 2055 | 2773 | 2504 | 3139 | 1965 | 1147 | 2089 | 890 | 1248 | 1647 | 1364 | 2237 | 666 | 1267 |
| 135 | 2066 | 2782 | 2521 | 3155 | 1965 | 1155 | 2097 | 894 | 1265 | 1656 | 1381 | 2262 | 666 | 1275 |
| 139 | 2079 | 2798 | 2555 | 3172 | 1982 | 1155 | 2106 | 899 | 1265 | 1672 | 1398 | 2295 | 674 | 1292 |
| 143 | 2093 | 2832 | 2571 | 3189 | 1990 | 1155 | 2114 | 905 | 1281 | 1697 | 1414 | 2329 | 674 | 1309 |
| 146 | 2102 | 2840 | 2580 | 3205 | 2007 | 1155 | 2114 | 908 | 1290 | 1697 | 1423 | 2346 | 683 | 1309 |
| 150 | 2115 | 2866 | 2605 | 3222 | 2015 | 1172 | 2122 | 914 | 1298 | 1714 | 1448 | 2371 | 683 | 1326 |
| 154 | 2128 | 2882 | 2622 | 3239 | 2032 | 1172 | 2148 | 919 | 1315 | 1722 | 1464 | 2396 | 691 | 1334 |
| 158 | 2140 | 2899 | 2639 | 3255 | 2040 | 1172 | 2148 | 923 | 1323 | 1739 | 1481 | 2421 | 691 | 1351 |
| 162 | 2152 | 2924 | 2672 | 3264 | 2057 | 1189 | 2156 | 928 | 1332 | 1756 | 1498 | 2454 | 691 | 1351 |
| 166 | 2164 | 2941 | 2681 | 3280 | 2065 | 1189 | 2164 | 933 | 1340 | 1764 | 1522 | 2479 | 700 | 1367 |
| 171 | 2179 | 2975 | 2706 | 3306 | 2082 | 1189 | 2173 | 939 | 1348 | 1781 | 1539 | 2513 | 708 | 1384 |
| 175 | 2190 | 2983 | 2731 | 3322 | 2090 | 1189 | 2181 | 943 | 1365 | 1798 | 1556 | 2529 | 708 | 1393 |
| 180 | 2204 | 3017 | 2748 | 3347 | 2107 | 1206 | 2198 | 949 | 1365 | 1806 | 1581 | 2563 | 708 | 1401 |

| | | | | | | | | | | | | | | |
|-----|------|------|------|------|------|------|------|------|------|------|------|------|-----|------|
| 184 | 2215 | 3034 | 2756 | 3347 | 2115 | 1206 | 2198 | 953 | 1374 | 1823 | 1597 | 2588 | 717 | 1418 |
| 189 | 2228 | 3050 | 2790 | 3364 | 2132 | 1206 | 2206 | 959 | 1399 | 1839 | 1614 | 2621 | 717 | 1435 |
| 194 | 2241 | 3076 | 2807 | 3397 | 2140 | 1206 | 2215 | 964 | 1407 | 1848 | 1639 | 2646 | 725 | 1443 |
| 199 | 2254 | 3092 | 2832 | 3414 | 2149 | 1223 | 2223 | 969 | 1415 | 1865 | 1656 | 2671 | 734 | 1460 |
| 204 | 2267 | 3109 | 2849 | 3431 | 2166 | 1223 | 2240 | 974 | 1424 | 1881 | 1672 | 2705 | 734 | 1460 |
| 210 | 2282 | 3134 | 2866 | 3447 | 2182 | 1223 | 2240 | 980 | 1441 | 1898 | 1697 | 2730 | 734 | 1477 |
| 215 | 2294 | 3160 | 2891 | 3472 | 2191 | 1223 | 2248 | 985 | 1457 | 1906 | 1722 | 2763 | 742 | 1493 |
| 221 | 2308 | 3176 | 2908 | 3497 | 2207 | 1239 | 2257 | 990 | 1466 | 1923 | 1739 | 2796 | 751 | 1510 |
| 226 | 2320 | 3193 | 2924 | 3514 | 2216 | 1239 | 2265 | 995 | 1474 | 1940 | 1755 | 2821 | 751 | 1518 |
| 232 | 2334 | 3227 | 2950 | 3531 | 2232 | 1239 | 2265 | 1001 | 1491 | 1957 | 1789 | 2855 | 751 | 1527 |
| 238 | 2347 | 3244 | 2966 | 3556 | 2241 | 1256 | 2282 | 1006 | 1491 | 1973 | 1805 | 2888 | 751 | 1544 |
| 244 | 2361 | 3261 | 2983 | 3573 | 2249 | 1256 | 2290 | 1011 | 1508 | 1982 | 1822 | 2913 | 768 | 1560 |
| 251 | 2376 | 3286 | 3008 | 3606 | 2266 | 1256 | 2299 | 1017 | 1524 | 1998 | 1855 | 2947 | 768 | 1577 |
| 257 | 2388 | 3303 | 3017 | 3623 | 2274 | 1256 | 2299 | 1022 | 1533 | 2015 | 1872 | 2980 | 768 | 1586 |
| 264 | 2403 | 3336 | 3042 | 3639 | 2291 | 1273 | 2315 | 1028 | 1541 | 2032 | 1889 | 3005 | 776 | 1594 |
| 271 | 2417 | 3353 | 3067 | 3673 | 2299 | 1273 | 2324 | 1034 | 1558 | 2057 | 1913 | 3038 | 776 | 1611 |
| 278 | 2431 | 3370 | 3076 | 3689 | 2316 | 1273 | 2332 | 1039 | 1566 | 2065 | 1938 | 3072 | 785 | 1619 |
| 285 | 2445 | 3395 | 3092 | 3706 | 2333 | 1290 | 2332 | 1045 | 1583 | 2082 | 1963 | 3105 | 785 | 1636 |
| 292 | 2458 | 3412 | 3109 | 3740 | 2341 | 1290 | 2341 | 1050 | 1583 | 2099 | 1980 | 3130 | 794 | 1653 |
| 300 | 2474 | 3445 | 3134 | 3765 | 2358 | 1290 | 2357 | 1056 | 1600 | 2115 | 2013 | 3164 | 794 | 1669 |
| 308 | 2488 | 3462 | 3151 | 3790 | 2366 | 1298 | 2366 | 1062 | 1616 | 2132 | 2030 | 3197 | 802 | 1678 |
| 316 | 2503 | 3479 | 3176 | 3806 | 2383 | 1307 | 2366 | 1068 | 1633 | 2149 | 2063 | 3239 | 811 | 1703 |
| 324 | 2517 | 3504 | 3193 | 3831 | 2391 | 1307 | 2374 | 1074 | 1650 | 2157 | 2080 | 3272 | 811 | 1711 |
| 332 | 2531 | 3521 | 3202 | 3856 | 2408 | 1315 | 2383 | 1079 | 1650 | 2174 | 2113 | 3306 | 811 | 1720 |
| 341 | 2546 | 3538 | 3235 | 3881 | 2416 | 1324 | 2399 | 1085 | 1667 | 2191 | 2130 | 3331 | 811 | 1737 |
| 350 | 2561 | 3555 | 3252 | 3915 | 2433 | 1332 | 2399 | 1091 | 1683 | 2216 | 2163 | 3364 | 828 | 1753 |
| 359 | 2576 | 3588 | 3261 | 3932 | 2450 | 1332 | 2408 | 1097 | 1692 | 2232 | 2180 | 3397 | 828 | 1770 |
| 368 | 2591 | 3605 | 3286 | 3957 | 2458 | 1341 | 2416 | 1103 | 1700 | 2249 | 2205 | 3431 | 828 | 1787 |
| 378 | 2607 | 3630 | 3303 | 3982 | 2467 | 1349 | 2424 | 1109 | 1717 | 2266 | 2238 | 3472 | 836 | 1795 |
| 388 | 2622 | 3647 | 3319 | 4015 | 2475 | 1358 | 2424 | 1115 | 1734 | 2283 | 2255 | 3506 | 845 | 1812 |
| 398 | 2637 | 3664 | 3345 | 4048 | 2492 | 1358 | 2441 | 1122 | 1742 | 2299 | 2288 | 3539 | 845 | 1829 |
| 408 | 2652 | 3689 | 3353 | 4073 | 2508 | 1366 | 2450 | 1127 | 1759 | 2308 | 2313 | 3581 | 845 | 1846 |
| 419 | 2668 | 3706 | 3370 | 4107 | 2517 | 1374 | 2458 | 1134 | 1776 | 2341 | 2346 | 3606 | 853 | 1862 |
| 429 | 2683 | 3723 | 3395 | 4132 | 2533 | 1383 | 2458 | 1140 | 1792 | 2349 | 2363 | 3648 | 862 | 1871 |
| 441 | 2699 | 3748 | 3412 | 4157 | 2550 | 1383 | 2475 | 1146 | 1801 | 2375 | 2396 | 3681 | 870 | 1896 |
| 452 | 2715 | 3765 | 3420 | 4190 | 2559 | 1391 | 2483 | 1152 | 1809 | 2383 | 2429 | 3715 | 870 | 1913 |
| 464 | 2731 | 3782 | 3437 | 4224 | 2575 | 1400 | 2492 | 1159 | 1826 | 2416 | 2454 | 3756 | 879 | 1921 |
| 476 | 2747 | 3798 | 3462 | 4249 | 2592 | 1400 | 2500 | 1165 | 1834 | 2425 | 2479 | 3790 | 887 | 1938 |
| 488 | 2762 | 3824 | 3471 | 4274 | 2600 | 1408 | 2500 | 1171 | 1851 | 2441 | 2504 | 3823 | 887 | 1955 |
| 501 | 2779 | 3840 | 3496 | 4307 | 2609 | 1417 | 2517 | 1178 | 1859 | 2458 | 2537 | 3856 | 887 | 1971 |
| 514 | 2795 | 3849 | 3513 | 4341 | 2617 | 1433 | 2525 | 1184 | 1876 | 2483 | 2571 | 3881 | 896 | 1988 |
| 527 | 2811 | 3866 | 3521 | 4374 | 2634 | 1433 | 2534 | 1191 | 1893 | 2500 | 2596 | 3923 | 904 | 1997 |
| 541 | 2828 | 3891 | 3538 | 4407 | 2651 | 1433 | 2542 | 1197 | 1901 | 2517 | 2629 | 3965 | 904 | 2022 |
| 555 | 2844 | 3899 | 3555 | 4441 | 2659 | 1450 | 2559 | 1204 | 1918 | 2533 | 2654 | 3990 | 913 | 2039 |
| 569 | 2860 | 3916 | 3563 | 4474 | 2676 | 1450 | 2559 | 1210 | 1935 | 2550 | 2687 | 4032 | 922 | 2047 |
| 584 | 2877 | 3933 | 3588 | 4508 | 2684 | 1450 | 2567 | 1217 | 1951 | 2584 | 2704 | 4065 | 922 | 2064 |
| 599 | 2894 | 3950 | 3597 | 4541 | 2692 | 1467 | 2576 | 1224 | 1968 | 2592 | 2745 | 4098 | 922 | 2081 |
| 615 | 2912 | 3958 | 3613 | 4574 | 2709 | 1467 | 2592 | 1231 | 1968 | 2617 | 2779 | 4140 | 930 | 2097 |
| 630 | 2928 | 3975 | 3630 | 4608 | 2726 | 1484 | 2601 | 1237 | 1985 | 2634 | 2812 | 4174 | 939 | 2114 |
| 647 | 2945 | 3992 | 3647 | 4641 | 2742 | 1484 | 2609 | 1244 | 2002 | 2659 | 2837 | 4207 | 939 | 2131 |
| 664 | 2963 | 4000 | 3655 | 4683 | 2751 | 1484 | 2617 | 1251 | 2018 | 2676 | 2870 | 4249 | 939 | 2148 |
| 681 | 2980 | 4017 | 3681 | 4716 | 2768 | 1501 | 2626 | 1258 | 2035 | 2692 | 2903 | 4282 | 956 | 2164 |

| | | | | | | | | | | | | | | |
|------|------|------|------|------|------|------|------|------|------|------|------|------|------|------|
| 698 | 2997 | 4025 | 3689 | 4750 | 2784 | 1518 | 2634 | 1265 | 2052 | 2717 | 2928 | 4316 | 956 | 2181 |
| 717 | 3015 | 4034 | 3706 | 4791 | 2793 | 1518 | 2651 | 1272 | 2060 | 2734 | 2962 | 4357 | 973 | 2206 |
| 735 | 3032 | 4042 | 3723 | 4825 | 2809 | 1518 | 2659 | 1279 | 2077 | 2751 | 2995 | 4391 | 973 | 2223 |
| 754 | 3050 | 4050 | 3731 | 4866 | 2826 | 1526 | 2668 | 1286 | 2094 | 2784 | 3020 | 4424 | 973 | 2232 |
| 774 | 3068 | 4076 | 3748 | 4900 | 2843 | 1535 | 2676 | 1293 | 2111 | 2801 | 3053 | 4466 | 973 | 2248 |
| 794 | 3086 | 4076 | 3765 | 4933 | 2860 | 1543 | 2693 | 1300 | 2127 | 2818 | 3087 | 4499 | 990 | 2265 |
| 814 | 3104 | 4092 | 3773 | 4983 | 2868 | 1551 | 2701 | 1307 | 2136 | 2843 | 3120 | 4533 | 990 | 2282 |
| 836 | 3123 | 4101 | 3790 | 5017 | 2885 | 1560 | 2710 | 1315 | 2161 | 2860 | 3153 | 4574 | 998 | 2299 |
| 857 | 3140 | 4109 | 3807 | 5050 | 2893 | 1568 | 2718 | 1322 | 2169 | 2885 | 3186 | 4608 | 1007 | 2324 |
| 879 | 3159 | 4126 | 3815 | 5100 | 2910 | 1568 | 2718 | 1329 | 2186 | 2901 | 3220 | 4641 | 1007 | 2341 |
| 902 | 3177 | 4126 | 3832 | 5134 | 2926 | 1577 | 2735 | 1337 | 2194 | 2935 | 3253 | 4674 | 1007 | 2357 |
| 926 | 3196 | 4134 | 3849 | 5167 | 2943 | 1585 | 2743 | 1344 | 2211 | 2943 | 3286 | 4716 | 1024 | 2374 |
| 950 | 3215 | 4151 | 3857 | 5209 | 2960 | 1602 | 2752 | 1352 | 2228 | 2968 | 3328 | 4750 | 1024 | 2391 |
| 974 | 3234 | 4160 | 3882 | 5250 | 2977 | 1602 | 2760 | 1359 | 2245 | 2993 | 3353 | 4783 | 1032 | 2399 |
| 1000 | 3253 | 4176 | 3891 | 5284 | 2985 | 1619 | 2777 | 1367 | 2261 | 3010 | 3386 | 4825 | 1041 | 2433 |
| 1025 | 3272 | 4176 | 3899 | 5326 | 3002 | 1619 | 2785 | 1374 | 2278 | 3027 | 3419 | 4858 | 1049 | 2441 |
| 1049 | 3289 | 4185 | 3916 | 5367 | 3018 | 1627 | 2794 | 1381 | 2295 | 3060 | 3461 | 4900 | 1058 | 2458 |
| 1079 | 3310 | 4185 | 3924 | 5409 | 3035 | 1636 | 2802 | 1390 | 2312 | 3077 | 3486 | 4933 | 1058 | 2483 |
| 1107 | 3330 | 4202 | 3950 | 5442 | 3035 | 1644 | 2810 | 1397 | 2328 | 3102 | 3527 | 4967 | 1067 | 2500 |
| 1136 | 3349 | 4210 | 3958 | 5484 | 3052 | 1653 | 2827 | 1405 | 2345 | 3127 | 3561 | 5000 | 1075 | 2517 |
| 1165 | 3369 | 4210 | 3966 | 5526 | 3069 | 1661 | 2836 | 1413 | 2353 | 3144 | 3594 | 5042 | 1075 | 2534 |
| 1196 | 3389 | 4227 | 3975 | 5559 | 3085 | 1669 | 2844 | 1421 | 2362 | 3177 | 3627 | 5067 | 1084 | 2550 |
| 1227 | 3409 | 4244 | 4000 | 5593 | 3102 | 1669 | 2861 | 1429 | 2387 | 3194 | 3669 | 5100 | 1092 | 2576 |
| 1258 | 3428 | 4244 | 4000 | 5643 | 3127 | 1686 | 2869 | 1437 | 2395 | 3211 | 3702 | 5142 | 1092 | 2592 |
| 1291 | 3449 | 4252 | 4025 | 5676 | 3127 | 1695 | 2869 | 1445 | 2420 | 3244 | 3727 | 5175 | 1109 | 2609 |
| 1325 | 3469 | 4269 | 4034 | 5718 | 3152 | 1703 | 2886 | 1453 | 2429 | 3261 | 3760 | 5209 | 1109 | 2626 |
| 1359 | 3490 | 4269 | 4042 | 5751 | 3169 | 1703 | 2894 | 1461 | 2454 | 3286 | 3802 | 5250 | 1109 | 2643 |
| 1394 | 3510 | 4277 | 4059 | 5785 | 3177 | 1720 | 2911 | 1469 | 2462 | 3303 | 3835 | 5284 | 1126 | 2659 |
| 1430 | 3531 | 4286 | 4067 | 5826 | 3186 | 1720 | 2919 | 1477 | 2479 | 3336 | 3877 | 5309 | 1126 | 2685 |
| 1467 | 3551 | 4294 | 4084 | 5860 | 3202 | 1737 | 2928 | 1486 | 2496 | 3361 | 3910 | 5342 | 1126 | 2701 |
| 1505 | 3572 | 4303 | 4092 | 5910 | 3227 | 1737 | 2936 | 1494 | 2513 | 3378 | 3952 | 5384 | 1143 | 2718 |
| 1544 | 3593 | 4311 | 4092 | 5935 | 3244 | 1754 | 2953 | 1502 | 2529 | 3411 | 3985 | 5417 | 1143 | 2735 |
| 1584 | 3614 | 4311 | 4109 | 5977 | 3261 | 1754 | 2953 | 1511 | 2546 | 3428 | 4010 | 5451 | 1160 | 2760 |
| 1625 | 3635 | 4328 | 4126 | 6010 | 3278 | 1771 | 2961 | 1519 | 2554 | 3445 | 4052 | 5492 | 1160 | 2768 |
| 1668 | 3657 | 4336 | 4134 | 6052 | 3294 | 1771 | 2978 | 1528 | 2580 | 3478 | 4085 | 5518 | 1160 | 2794 |
| 1711 | 3679 | 4336 | 4143 | 6085 | 3311 | 1788 | 2978 | 1536 | 2596 | 3503 | 4118 | 5551 | 1177 | 2819 |
| 1755 | 3700 | 4353 | 4151 | 6119 | 3328 | 1788 | 2995 | 1545 | 2613 | 3520 | 4160 | 5584 | 1177 | 2827 |
| 1801 | 3722 | 4353 | 4168 | 6144 | 3336 | 1804 | 3003 | 1554 | 2630 | 3554 | 4193 | 5609 | 1195 | 2852 |
| 1847 | 3744 | 4361 | 4176 | 6177 | 3353 | 1804 | 3012 | 1562 | 2638 | 3570 | 4235 | 5651 | 1195 | 2869 |
| 1895 | 3766 | 4370 | 4193 | 6210 | 3370 | 1821 | 3029 | 1571 | 2655 | 3595 | 4268 | 5684 | 1203 | 2886 |
| 1944 | 3788 | 4378 | 4202 | 6252 | 3386 | 1821 | 3037 | 1580 | 2672 | 3620 | 4301 | 5718 | 1212 | 2903 |
| 1995 | 3811 | 4395 | 4210 | 6285 | 3403 | 1830 | 3045 | 1589 | 2688 | 3645 | 4334 | 5751 | 1220 | 2928 |
| 2046 | 3833 | 4395 | 4218 | 6319 | 3428 | 1838 | 3054 | 1598 | 2705 | 3671 | 4376 | 5776 | 1229 | 2953 |
| 2100 | 3856 | 4395 | 4235 | 6352 | 3445 | 1847 | 3079 | 1607 | 2722 | 3687 | 4409 | 5818 | 1229 | 2961 |
| 2154 | 3878 | 4412 | 4244 | 6377 | 3462 | 1855 | 3079 | 1616 | 2739 | 3721 | 4451 | 5835 | 1237 | 2978 |
| 2210 | 3901 | 4412 | 4252 | 6402 | 3478 | 1863 | 3087 | 1625 | 2755 | 3746 | 4484 | 5876 | 1246 | 2995 |
| 2267 | 3924 | 4429 | 4261 | 6452 | 3495 | 1880 | 3104 | 1634 | 2772 | 3771 | 4526 | 5902 | 1254 | 3020 |
| 2326 | 3947 | 4429 | 4277 | 6469 | 3512 | 1880 | 3121 | 1643 | 2789 | 3796 | 4559 | 5935 | 1254 | 3037 |
| 2386 | 3970 | 4437 | 4286 | 6503 | 3520 | 1889 | 3121 | 1653 | 2806 | 3813 | 4601 | 5968 | 1263 | 3054 |
| 2448 | 3994 | 4445 | 4294 | 6528 | 3545 | 1897 | 3129 | 1662 | 2822 | 3838 | 4626 | 5993 | 1271 | 3070 |
| 2511 | 4017 | 4454 | 4303 | 6561 | 3562 | 1897 | 3146 | 1671 | 2839 | 3871 | 4659 | 6027 | 1288 | 3096 |
| 2576 | 4041 | 4462 | 4311 | 6594 | 3579 | 1914 | 3154 | 1681 | 2856 | 3888 | 4700 | 6060 | 1288 | 3112 |

| | | | | | | | | | | | | | | |
|------|------|------|------|------|------|------|------|------|------|------|------|------|------|------|
| 2643 | 4065 | 4471 | 4319 | 6611 | 3595 | 1931 | 3163 | 1690 | 2873 | 3921 | 4734 | 6085 | 1297 | 3129 |
| 2712 | 4089 | 4487 | 4328 | 6644 | 3620 | 1931 | 3171 | 1700 | 2889 | 3938 | 4767 | 6119 | 1305 | 3146 |
| 2782 | 4113 | 4487 | 4345 | 6669 | 3637 | 1948 | 3180 | 1709 | 2906 | 3963 | 4809 | 6144 | 1314 | 3171 |
| 2854 | 4137 | 4487 | 4345 | 6694 | 3654 | 1948 | 3196 | 1719 | 2915 | 3997 | 4850 | 6177 | 1323 | 3188 |
| 2928 | 4162 | 4504 | 4353 | 6728 | 3671 | 1956 | 3205 | 1729 | 2931 | 4013 | 4875 | 6202 | 1323 | 3205 |
| 3004 | 4186 | 4504 | 4370 | 6745 | 3687 | 1965 | 3213 | 1739 | 2956 | 4047 | 4908 | 6235 | 1340 | 3221 |
| 3082 | 4211 | 4513 | 4378 | 6778 | 3704 | 1981 | 3213 | 1749 | 2965 | 4072 | 4950 | 6260 | 1340 | 3238 |
| 3162 | 4236 | 4521 | 4387 | 6795 | 3729 | 1990 | 3230 | 1758 | 2990 | 4089 | 4983 | 6294 | 1357 | 3255 |
| 3230 | 4257 | 4529 | 4395 | 6828 | 3746 | 1990 | 3238 | 1767 | 3007 | 4122 | 5008 | 6327 | 1357 | 3280 |
| 3328 | 4286 | 4538 | 4403 | 6845 | 3763 | 2007 | 3247 | 1778 | 3015 | 4147 | 5050 | 6352 | 1374 | 3297 |
| 3414 | 4311 | 4546 | 4403 | 6861 | 3779 | 2007 | 3263 | 1788 | 3023 | 4164 | 5083 | 6386 | 1374 | 3314 |
| 3503 | 4337 | 4555 | 4420 | 6895 | 3804 | 2024 | 3272 | 1799 | 3049 | 4197 | 5125 | 6411 | 1391 | 3339 |
| 3593 | 4362 | 4563 | 4420 | 6920 | 3821 | 2024 | 3272 | 1809 | 3065 | 4222 | 5158 | 6444 | 1391 | 3347 |
| GD | 4042 | 4252 | 3990 | 6553 | 3445 | 1619 | 2890 | 1580 | 2750 | 3804 | 4790 | 5935 | 1041 | 2987 |

GD.Geri dönen deformasyon

Çizelge C.2. 25 ve 40 °C Statik Sünme Deformasyonu (10^{-6} xin./in)

| Süre | 25 °C Sıcaklık | | | | | | | 40 °C Sıcaklık | | | | | | |
|------|---------------------|------|------|------|------|------|------|---------------------|------|------|------|------|------|------|
| | Bitüm Muhtevası (%) | | | | | | | Bitüm Muhtevası (%) | | | | | | |
| | 4,50 | 5,00 | 5,50 | 6,00 | 6,50 | 5,20 | 5,26 | 4,50 | 5,00 | 5,50 | 6,00 | 6,50 | 5,20 | 5,26 |
| 1 | 218 | 320 | 455 | 614 | 668 | 606 | 453 | 686 | 558 | 713 | 842 | 814 | 393 | 705 |
| 2 | 220 | 354 | 523 | 715 | 785 | 682 | 529 | 726 | 584 | 772 | 900 | 872 | 443 | 755 |
| 3 | 225 | 388 | 573 | 791 | 876 | 741 | 570 | 752 | 610 | 814 | 942 | 923 | 493 | 789 |
| 4 | 230 | 413 | 616 | 859 | 952 | 791 | 621 | 770 | 627 | 856 | 967 | 956 | 527 | 814 |
| 5 | 235 | 430 | 658 | 909 | 1035 | 833 | 654 | 785 | 644 | 889 | 1008 | 990 | 543 | 847 |
| 6 | 252 | 447 | 691 | 960 | 1093 | 867 | 688 | 797 | 653 | 914 | 1033 | 1023 | 577 | 856 |
| 7 | 269 | 464 | 725 | 1010 | 1152 | 901 | 713 | 807 | 670 | 931 | 1050 | 1040 | 594 | 881 |
| 8 | 286 | 481 | 742 | 1061 | 1202 | 934 | 738 | 817 | 670 | 956 | 1058 | 1057 | 627 | 898 |
| 9 | 302 | 497 | 767 | 1094 | 1252 | 960 | 763 | 825 | 679 | 973 | 1075 | 1074 | 644 | 906 |
| 10 | 319 | 514 | 793 | 1128 | 1294 | 985 | 780 | 832 | 687 | 982 | 1083 | 1091 | 661 | 914 |
| 11 | 319 | 514 | 818 | 1162 | 1344 | 1002 | 797 | 839 | 696 | 990 | 1100 | 1099 | 677 | 923 |
| 12 | 336 | 531 | 835 | 1195 | 1386 | 1027 | 814 | 845 | 696 | 1007 | 1108 | 1107 | 694 | 923 |
| 13 | 345 | 540 | 852 | 1229 | 1427 | 1052 | 839 | 851 | 696 | 1023 | 1108 | 1116 | 711 | 940 |
| 14 | 353 | 548 | 868 | 1263 | 1477 | 1077 | 856 | 856 | 704 | 1023 | 1117 | 1133 | 727 | 948 |
| 15 | 361 | 556 | 894 | 1296 | 1511 | 1094 | 881 | 862 | 704 | 1040 | 1125 | 1133 | 736 | 948 |
| 16 | 370 | 565 | 911 | 1322 | 1553 | 1120 | 898 | 866 | 704 | 1049 | 1133 | 1149 | 744 | 956 |
| 17 | 378 | 573 | 927 | 1347 | 1586 | 1136 | 914 | 871 | 713 | 1049 | 1142 | 1149 | 761 | 965 |
| 18 | 395 | 590 | 944 | 1380 | 1628 | 1162 | 923 | 875 | 713 | 1065 | 1150 | 1166 | 778 | 973 |
| 19 | 395 | 590 | 953 | 1406 | 1661 | 1178 | 940 | 879 | 722 | 1065 | 1158 | 1166 | 794 | 973 |
| 20 | 404 | 599 | 970 | 1431 | 1686 | 1187 | 956 | 883 | 722 | 1074 | 1158 | 1183 | 794 | 982 |
| 21 | 412 | 607 | 987 | 1456 | 1720 | 1212 | 965 | 887 | 722 | 1082 | 1167 | 1183 | 811 | 990 |
| 22 | 412 | 607 | 1003 | 1481 | 1753 | 1229 | 982 | 890 | 730 | 1091 | 1167 | 1183 | 819 | 990 |
| 23 | 429 | 624 | 1020 | 1498 | 1786 | 1246 | 998 | 894 | 730 | 1099 | 1175 | 1200 | 836 | 990 |
| 24 | 429 | 624 | 1037 | 1532 | 1811 | 1254 | 1007 | 897 | 730 | 1099 | 1183 | 1200 | 844 | 998 |
| 25 | 437 | 632 | 1046 | 1549 | 1845 | 1279 | 1023 | 900 | 730 | 1107 | 1183 | 1208 | 853 | 1007 |
| 26 | 446 | 641 | 1062 | 1566 | 1878 | 1296 | 1032 | 903 | 730 | 1124 | 1183 | 1216 | 870 | 1015 |
| 27 | 446 | 641 | 1071 | 1591 | 1903 | 1305 | 1049 | 906 | 739 | 1124 | 1192 | 1216 | 878 | 1015 |
| 28 | 463 | 658 | 1079 | 1616 | 1937 | 1322 | 1065 | 909 | 747 | 1124 | 1192 | 1216 | 886 | 1015 |
| 29 | 463 | 658 | 1096 | 1633 | 1962 | 1338 | 1065 | 912 | 739 | 1124 | 1208 | 1233 | 895 | 1015 |
| 30 | 471 | 666 | 1113 | 1650 | 1995 | 1347 | 1082 | 914 | 747 | 1141 | 1208 | 1233 | 911 | 1015 |

| | | | | | | | | | | | | | | |
|-----|-----|------|------|------|------|------|------|------|-----|------|------|-------|------|------|
| 31 | 480 | 675 | 1121 | 1675 | 2020 | 1364 | 1091 | 917 | 747 | 1141 | 1208 | 1242 | 911 | 1032 |
| 32 | 488 | 683 | 1138 | 1700 | 2045 | 1380 | 1099 | 919 | 747 | 1158 | 1208 | 1250 | 928 | 1032 |
| 33 | 488 | 683 | 1147 | 1717 | 2078 | 1389 | 1116 | 922 | 756 | 1158 | 1217 | 1250 | 928 | 1032 |
| 34 | 496 | 691 | 1164 | 1734 | 2104 | 1406 | 1133 | 924 | 747 | 1158 | 1217 | 1258 | 936 | 1040 |
| 35 | 505 | 700 | 1172 | 1751 | 2120 | 1414 | 1133 | 927 | 747 | 1158 | 1225 | 1258 | 945 | 1040 |
| 36 | 505 | 700 | 1180 | 1776 | 2154 | 1431 | 1149 | 929 | 765 | 1166 | 1233 | 1267 | 962 | 1040 |
| 37 | 505 | 700 | 1189 | 1785 | 2179 | 1448 | 1149 | 931 | 765 | 1166 | 1225 | 1267 | 962 | 1040 |
| 38 | 522 | 717 | 1206 | 1810 | 2195 | 1456 | 1166 | 933 | 765 | 1174 | 1233 | 1275 | 978 | 1049 |
| 39 | 522 | 717 | 1206 | 1827 | 2220 | 1465 | 1183 | 935 | 756 | 1183 | 1233 | 1275 | 978 | 1057 |
| 40 | 522 | 717 | 1223 | 1835 | 2245 | 1481 | 1183 | 937 | 765 | 1183 | 1233 | 1284 | 995 | 1057 |
| 41 | 539 | 734 | 1239 | 1852 | 2270 | 1490 | 1200 | 939 | 765 | 1183 | 1250 | 1284 | 995 | 1057 |
| 42 | 539 | 734 | 1248 | 1869 | 2287 | 1507 | 1200 | 941 | 765 | 1183 | 1250 | 1292 | 1003 | 1057 |
| 44 | 547 | 742 | 1265 | 1911 | 2337 | 1532 | 1216 | 945 | 765 | 1200 | 1250 | 1292 | 1020 | 1065 |
| 45 | 555 | 750 | 1273 | 1919 | 2362 | 1540 | 1233 | 947 | 765 | 1200 | 1250 | 1300 | 1028 | 1065 |
| 46 | 555 | 750 | 1282 | 1936 | 2379 | 1549 | 1233 | 949 | 773 | 1200 | 1258 | 1300 | 1028 | 1074 |
| 47 | 564 | 759 | 1298 | 1953 | 2404 | 1557 | 1250 | 950 | 773 | 1200 | 1258 | 1309 | 1045 | 1074 |
| 48 | 572 | 767 | 1298 | 1970 | 2429 | 1574 | 1250 | 952 | 773 | 1208 | 1258 | 1309 | 1045 | 1074 |
| 50 | 581 | 776 | 1315 | 2003 | 2462 | 1591 | 1267 | 956 | 773 | 1216 | 1258 | 1309 | 1062 | 1082 |
| 51 | 581 | 776 | 1332 | 2020 | 2479 | 1599 | 1284 | 957 | 773 | 1216 | 1267 | 1317 | 1079 | 1082 |
| 52 | 589 | 784 | 1349 | 2037 | 2504 | 1616 | 1284 | 959 | 773 | 1216 | 1267 | 1326 | 1079 | 1082 |
| 54 | 598 | 793 | 1358 | 2054 | 2538 | 1641 | 1309 | 962 | 773 | 1233 | 1275 | 1326 | 1095 | 1082 |
| 55 | 598 | 793 | 1366 | 2071 | 2571 | 1641 | 1317 | 963 | 773 | 1233 | 1275 | 1334 | 1095 | 1099 |
| 56 | 606 | 801 | 1374 | 2088 | 2588 | 1658 | 1317 | 965 | 773 | 1233 | 1275 | 1334 | 1112 | 1099 |
| 58 | 614 | 809 | 1391 | 2104 | 2621 | 1667 | 1334 | 968 | 790 | 1242 | 1275 | 1342 | 1112 | 1099 |
| 59 | 614 | 809 | 1400 | 2121 | 2638 | 1684 | 1342 | 969 | 790 | 1242 | 1283 | 1342 | 1129 | 1099 |
| 61 | 623 | 818 | 1417 | 2155 | 2679 | 1709 | 1359 | 972 | 790 | 1250 | 1292 | 1351 | 1129 | 1099 |
| 63 | 631 | 826 | 1433 | 2172 | 2713 | 1726 | 1367 | 975 | 790 | 1258 | 1292 | 1351 | 1145 | 1107 |
| 64 | 631 | 826 | 1442 | 2189 | 2730 | 1734 | 1376 | 976 | 790 | 1258 | 1292 | 1359 | 1154 | 1107 |
| 66 | 648 | 843 | 1459 | 2205 | 2763 | 1751 | 1393 | 979 | 790 | 1258 | 1300 | 1359 | 1162 | 1107 |
| 68 | 648 | 843 | 1476 | 2239 | 2805 | 1759 | 1401 | 981 | 799 | 1275 | 1300 | 1359 | 1179 | 1116 |
| 69 | 657 | 852 | 1476 | 2247 | 2813 | 1768 | 1409 | 983 | 799 | 1275 | 1300 | 1359 | 1179 | 1116 |
| 71 | 665 | 860 | 1492 | 2273 | 2846 | 1785 | 1426 | 985 | 799 | 1275 | 1300 | 1376 | 1196 | 1116 |
| 73 | 673 | 868 | 1509 | 2290 | 2880 | 1793 | 1435 | 987 | 799 | 1275 | 1300 | 1376 | 1196 | 1124 |
| 75 | 682 | 877 | 1518 | 2315 | 2913 | 1818 | 1443 | 990 | 799 | 1275 | 1317 | 1376 | 1212 | 1124 |
| 77 | 690 | 885 | 1535 | 2340 | 2947 | 1835 | 1460 | 992 | 799 | 1292 | 1317 | 1384 | 1229 | 1124 |
| 79 | 690 | 885 | 1551 | 2357 | 2972 | 1852 | 1477 | 994 | 799 | 1292 | 1317 | 1393 | 1229 | 1133 |
| 81 | 707 | 902 | 1568 | 2374 | 3005 | 1860 | 1485 | 996 | 799 | 1292 | 1317 | 1393 | 1246 | 1133 |
| 83 | 707 | 902 | 1585 | 2391 | 3038 | 1877 | 1493 | 998 | 816 | 1300 | 1325 | 1393 | 1246 | 1141 |
| 85 | 716 | 911 | 1585 | 2424 | 3063 | 1894 | 1510 | 1001 | 799 | 1300 | 1325 | 1393 | 1263 | 1141 |
| 87 | 724 | 919 | 1602 | 2441 | 3088 | 1902 | 1510 | 1003 | 816 | 1309 | 1333 | 1409 | 1271 | 1141 |
| 90 | 732 | 927 | 1619 | 2475 | 3139 | 1928 | 1527 | 1006 | 816 | 1317 | 1333 | -1409 | 1288 | 1141 |
| 92 | 741 | 936 | 1636 | 2492 | 3164 | 1944 | 1544 | 1007 | 816 | 1317 | 1342 | 1409 | 1296 | 1141 |
| 95 | 749 | 944 | 1644 | 2517 | 3205 | 1970 | 1560 | 1010 | 816 | 1317 | 1342 | 1409 | 1313 | 1149 |
| 97 | 749 | 944 | 1661 | 2525 | 3230 | 1987 | 1569 | 1012 | 816 | 1326 | 1342 | 1426 | 1313 | 1158 |
| 100 | 758 | 953 | 1678 | 2559 | 3264 | 1995 | 1586 | 1015 | 816 | 1334 | 1342 | 1426 | 1329 | 1158 |
| 102 | 766 | 961 | 1695 | 2576 | 3289 | 2012 | 1586 | 1017 | 816 | 1334 | 1358 | 1426 | 1338 | 1149 |
| 105 | 775 | 970 | 1703 | 2609 | 3331 | 2037 | 1602 | 1019 | 825 | 1334 | 1358 | 1426 | 1346 | 1166 |
| 107 | 783 | 978 | 1712 | 2618 | 3356 | 2054 | 1619 | 1021 | 825 | 1334 | 1358 | 1435 | 1355 | 1166 |
| 110 | 792 | 987 | 1728 | 2643 | 3389 | 2062 | 1628 | 1023 | 825 | 1351 | 1358 | 1443 | 1363 | 1166 |
| 113 | 800 | 995 | 1745 | 2660 | 3422 | 2079 | 1636 | 1026 | 825 | 1351 | 1358 | 1443 | 1380 | 1174 |
| 116 | 808 | 1003 | 1762 | 2685 | 3456 | 2096 | 1653 | 1028 | 826 | 1351 | 1358 | 1451 | 1396 | 1183 |
| 119 | 817 | 1012 | 1779 | 2710 | 3497 | 2121 | 1669 | 1030 | 833 | 1351 | 1367 | 1451 | 1405 | 1183 |

| | | | | | | | | | | | | | | |
|-----|------|------|------|------|------|------|------|------|-----|------|------|------|------|------|
| 122 | 825 | 1020 | 1788 | 2727 | 3531 | 2138 | 1678 | 1033 | 833 | 1359 | 1367 | 1460 | 1413 | 1183 |
| 125 | 834 | 1029 | 1804 | 2761 | 3564 | 2155 | 1686 | 1035 | 833 | 1367 | 1375 | 1460 | 1430 | 1183 |
| 129 | 842 | 1037 | 1821 | 2778 | 3598 | 2172 | 1703 | 1038 | 838 | 1376 | 1383 | 1460 | 1438 | 1183 |
| 132 | 851 | 1046 | 1838 | 2803 | 3623 | 2197 | 1711 | 1040 | 840 | 1376 | 1383 | 1468 | 1455 | 1191 |
| 135 | 851 | 1046 | 1855 | 2828 | 3656 | 2205 | 1728 | 1042 | 840 | 1384 | 1383 | 1477 | 1455 | 1191 |
| 139 | 867 | 1062 | 1872 | 2845 | 3706 | 2231 | 1745 | 1044 | 840 | 1384 | 1392 | 1477 | 1472 | 1191 |
| 143 | 876 | 1071 | 1889 | 2879 | 3740 | 2256 | 1753 | 1047 | 840 | 1384 | 1392 | 1477 | 1488 | 1191 |
| 146 | 893 | 1088 | 1897 | 2896 | 3765 | 2273 | 1762 | 1049 | 845 | 1393 | 1400 | 1485 | 1497 | 1200 |
| 150 | 893 | 1088 | 1914 | 2912 | 3806 | 2281 | 1779 | 1051 | 845 | 1393 | 1400 | 1493 | 1505 | 1208 |
| 154 | 893 | 1088 | 1931 | 2929 | 3848 | 2306 | 1795 | 1054 | 845 | 1393 | 1400 | 1493 | 1522 | 1208 |
| 158 | 910 | 1105 | 1948 | 2963 | 3881 | 2323 | 1804 | 1056 | 850 | 1409 | 1408 | 1493 | 1538 | 1208 |
| 162 | 926 | 1121 | 1965 | 2980 | 3907 | 2340 | 1820 | 1058 | 850 | 1409 | 1408 | 1510 | 1538 | 1208 |
| 166 | 926 | 1121 | 1981 | 2997 | 3940 | 2365 | 1829 | 1061 | 850 | 1409 | 1408 | 1510 | 1555 | 1225 |
| 171 | 943 | 1138 | 1998 | 3030 | 3990 | 2382 | 1837 | 1063 | 855 | 1409 | 1417 | 1510 | 1564 | 1225 |
| 175 | 943 | 1138 | 2015 | 3047 | 4015 | 2407 | 1854 | 1066 | 859 | 1426 | 1425 | 1510 | 1572 | 1225 |
| 180 | 952 | 1147 | 2024 | 3081 | 4057 | 2424 | 1871 | 1068 | 859 | 1426 | 1425 | 1518 | 1589 | 1225 |
| 184 | 969 | 1164 | 2040 | 3098 | 4082 | 2449 | 1879 | 1070 | 859 | 1426 | 1425 | 1527 | 1605 | 1225 |
| 189 | 969 | 1164 | 2057 | 3114 | 4115 | 2466 | 1888 | 1073 | 862 | 1426 | 1425 | 1527 | 1614 | 1233 |
| 194 | 985 | 1180 | 2074 | 3148 | 4165 | 2475 | 1904 | 1075 | 868 | 1435 | 1433 | 1535 | 1622 | 1233 |
| 199 | 985 | 1180 | 2091 | 3165 | 4199 | 2500 | 1921 | 1078 | 868 | 1443 | 1442 | 1535 | 1630 | 1233 |
| 204 | 1002 | 1197 | 2108 | 3182 | 4224 | 2517 | 1930 | 1080 | 868 | 1443 | 1442 | 1535 | 1647 | 1242 |
| 210 | 1011 | 1206 | 2125 | 3207 | 4265 | 2542 | 1938 | 1083 | 868 | 1451 | 1442 | 1552 | 1664 | 1242 |
| 215 | 1019 | 1214 | 2133 | 3232 | 4307 | 2559 | 1955 | 1085 | 868 | 1451 | 1442 | 1552 | 1664 | 1242 |
| 221 | 1036 | 1231 | 2150 | 3258 | 4341 | 2584 | 1963 | 1088 | 876 | 1460 | 1442 | 1552 | 1681 | 1250 |
| 226 | 1036 | 1231 | 2167 | 3274 | 4366 | 2601 | 1980 | 1090 | 885 | 1460 | 1450 | 1552 | 1697 | 1250 |
| 232 | 1044 | 1239 | 2184 | 3300 | 4407 | 2626 | 1997 | 1092 | 885 | 1460 | 1450 | 1560 | 1714 | 1250 |
| 238 | 1061 | 1256 | 2201 | 3316 | 4441 | 2643 | 2005 | 1095 | 885 | 1468 | 1450 | 1569 | 1714 | 1250 |
| 244 | 1070 | 1265 | 2218 | 3342 | 4482 | 2660 | 2013 | 1097 | 885 | 1468 | 1467 | 1569 | 1731 | 1267 |
| 251 | 1078 | 1273 | 2234 | 3359 | 4516 | 2685 | 2030 | 1100 | 885 | 1468 | 1467 | 1577 | 1747 | 1267 |
| 257 | 1078 | 1273 | 2243 | 3392 | 4549 | 2710 | 2047 | 1102 | 885 | 1485 | 1467 | 1577 | 1747 | 1267 |
| 264 | 1095 | 1290 | 2260 | 3409 | 4583 | 2727 | 2064 | 1105 | 885 | 1485 | 1467 | 1586 | 1764 | 1267 |
| 271 | 1112 | 1307 | 2277 | 3426 | 4624 | 2744 | 2064 | 1107 | 885 | 1485 | 1475 | 1594 | 1781 | 1275 |
| 278 | 1112 | 1307 | 2293 | 3451 | 4658 | 2769 | 2081 | 1110 | 902 | 1485 | 1475 | 1594 | 1789 | 1275 |
| 285 | 1120 | 1315 | 2310 | 3476 | 4691 | 2786 | 2097 | 1112 | 902 | 1502 | 1483 | 1594 | 1798 | 1284 |
| 292 | 1137 | 1332 | 2327 | 3493 | 4725 | 2811 | 2106 | 1114 | 902 | 1502 | 1483 | 1602 | 1814 | 1284 |
| 300 | 1146 | 1341 | 2336 | 3519 | 4766 | 2828 | 2114 | 1117 | 902 | 1502 | 1483 | 1602 | 1831 | 1284 |
| 308 | 1154 | 1349 | 2361 | 3535 | 4800 | 2854 | 2131 | 1120 | 902 | 1502 | 1492 | 1602 | 1839 | 1292 |
| 316 | 1171 | 1366 | 2361 | 3561 | 4825 | 2870 | 2139 | 1122 | 902 | 1510 | 1492 | 1619 | 1848 | 1292 |
| 324 | 1171 | 1366 | 2378 | 3577 | 4866 | 2896 | 2156 | 1125 | 902 | 1518 | 1492 | 1619 | 1856 | 1292 |
| 332 | 1175 | 1370 | 2403 | 3603 | 4900 | 2912 | 2173 | 1127 | 911 | 1518 | 1500 | 1619 | 1873 | 1300 |
| 341 | 1205 | 1400 | 2411 | 3620 | 4942 | 2938 | 2173 | 1130 | 911 | 1527 | 1508 | 1619 | 1890 | 1292 |
| 350 | 1215 | 1410 | 2428 | 3636 | 4967 | 2955 | 2190 | 1132 | 919 | 1527 | 1508 | 1636 | 1890 | 1300 |
| 359 | 1215 | 1410 | 2445 | 3662 | 5000 | 2980 | 2206 | 1135 | 911 | 1527 | 1508 | 1636 | 1906 | 1309 |
| 368 | 1245 | 1440 | 2454 | 3678 | 5033 | 2997 | 2206 | 1137 | 919 | 1535 | 1508 | 1636 | 1923 | 1309 |
| 378 | 1265 | 1460 | 2470 | 3704 | 5067 | 3013 | 2223 | 1140 | 919 | 1544 | 1517 | 1644 | 1931 | 1309 |
| 388 | 1285 | 1480 | 2487 | 3729 | 5100 | 3039 | 2240 | 1143 | 919 | 1544 | 1517 | 1636 | 1940 | 1309 |
| 398 | 1265 | 1460 | 2504 | 3746 | 5142 | 3064 | 2248 | 1145 | 928 | 1544 | 1525 | 1653 | 1957 | 1309 |
| 408 | 1285 | 1480 | 2521 | 3763 | 5175 | 3072 | 2257 | 1148 | 928 | 1544 | 1525 | 1653 | 1973 | 1317 |
| 419 | 1295 | 1490 | 2530 | 3779 | 5209 | 3106 | 2273 | 1150 | 928 | 1544 | 1533 | 1653 | 1982 | 1326 |
| 429 | 1335 | 1530 | 2546 | 3805 | 5234 | 3123 | 2290 | 1153 | 928 | 1560 | 1533 | 1661 | 1990 | 1326 |
| 441 | 1325 | 1520 | 2563 | 3822 | 5267 | 3148 | 2299 | 1155 | 928 | 1560 | 1533 | 1669 | 1998 | 1326 |
| 452 | 1385 | 1580 | 2580 | 3838 | 5301 | 3157 | 2315 | 1158 | 928 | 1560 | 1550 | 1669 | 2015 | 1334 |

| | | | | | | | | | | | | | | |
|------|------|------|------|------|------|------|------|------|------|------|------|------|------|------|
| 464 | 1425 | 1620 | 2589 | 3864 | 5334 | 3182 | 2324 | 1161 | 945 | 1560 | 1533 | 1669 | 2023 | 1334 |
| 476 | 1395 | 1590 | 2614 | 3872 | 5367 | 3199 | 2332 | 1163 | 945 | 1569 | 1550 | 1686 | 2032 | 1342 |
| 488 | 1445 | 1640 | 2614 | 3906 | 5401 | 3215 | 2332 | 1166 | 945 | 1569 | 1550 | 1686 | 2048 | 1342 |
| 501 | 1465 | 1660 | 2639 | 3923 | 5434 | 3241 | 2349 | 1169 | 945 | 1577 | 1550 | 1686 | 2065 | 1351 |
| 514 | 1425 | 1620 | 2656 | 3939 | 5467 | 3258 | 2366 | 1171 | 945 | 1577 | 1558 | 1686 | 2074 | 1351 |
| 527 | 1475 | 1670 | 2664 | 3956 | 5492 | 3291 | 2374 | 1174 | 945 | 1586 | 1558 | 1686 | 2082 | 1351 |
| 541 | 1445 | 1640 | 2681 | 3973 | 5534 | 3300 | 2383 | 1176 | 945 | 1586 | 1558 | 1703 | 2090 | 1351 |
| 555 | 1505 | 1700 | 2690 | 3998 | 5551 | 3316 | 2399 | 1179 | 945 | 1594 | 1567 | 1703 | 2107 | 1351 |
| 569 | 1535 | 1730 | 2707 | 4015 | 5584 | 3342 | 2408 | 1182 | 954 | 1594 | 1567 | 1703 | 2115 | 1351 |
| 584 | 1535 | 1730 | 2723 | 4032 | 5618 | 3359 | 2424 | 1184 | 962 | 1602 | 1575 | 1720 | 2124 | 1359 |
| 599 | 1535 | 1730 | 2732 | 4049 | 5651 | 3384 | 2424 | 1187 | 962 | 1602 | 1575 | 1720 | 2140 | 1367 |
| 615 | 1555 | 1750 | 2749 | 4066 | 5676 | 3401 | 2441 | 1190 | 962 | 1602 | 1575 | 1720 | 2149 | 1367 |
| 630 | 1585 | 1780 | 2757 | 4082 | 5710 | 3426 | 2458 | 1192 | 962 | 1602 | 1583 | 1720 | 2157 | 1367 |
| 647 | 1605 | 1800 | 2774 | 4099 | 5743 | 3443 | 2458 | 1195 | 962 | 1611 | 1592 | 1720 | 2174 | 1367 |
| 664 | 1605 | 1800 | 2791 | 4125 | 5768 | 3460 | 2475 | 1198 | 962 | 1619 | 1592 | 1737 | 2174 | 1376 |
| 681 | 1645 | 1840 | 2799 | 4141 | 5801 | 3485 | 2492 | 1201 | 971 | 1619 | 1592 | 1737 | 2191 | 1376 |
| 698 | 1645 | 1840 | 2816 | 4158 | 5826 | 3502 | 2492 | 1203 | 971 | 1619 | 1600 | 1737 | 2199 | 1384 |
| 717 | 1625 | 1820 | 2833 | 4175 | 5860 | 3527 | 2508 | 1206 | 979 | 1619 | 1600 | 1737 | 2216 | 1384 |
| 735 | 1695 | 1890 | 2833 | 4192 | 5893 | 3544 | 2517 | 1209 | 971 | 1636 | 1600 | 1737 | 2216 | 1384 |
| 754 | 1715 | 1910 | 2850 | 4209 | 5918 | 3561 | 2525 | 1211 | 979 | 1628 | 1600 | 1745 | 2232 | 1384 |
| 774 | 1675 | 1870 | 2867 | 4226 | 5943 | 3586 | 2534 | 1214 | 979 | 1636 | 1608 | 1753 | 2232 | 1393 |
| 794 | 1735 | 1930 | 2884 | 4242 | 5977 | 3603 | 2542 | 1217 | 988 | 1636 | 1617 | 1753 | 2249 | 1393 |
| 814 | 1715 | 1910 | 2892 | 4259 | 6002 | 3620 | 2550 | 1220 | 988 | 1636 | 1617 | 1753 | 2266 | 1393 |
| 836 | 1755 | 1950 | 2909 | 4268 | 6035 | 3645 | 2567 | 1223 | 988 | 1644 | 1617 | 1762 | 2266 | 1401 |
| 857 | 1765 | 1960 | 2917 | 4293 | 6052 | 3662 | 2576 | 1225 | 988 | 1653 | 1617 | 1770 | 2283 | 1409 |
| 879 | 1803 | 1998 | 2926 | 4310 | 6085 | 3678 | 2584 | 1228 | 988 | 1653 | 1625 | 1770 | 2291 | 1409 |
| 902 | 1812 | 2007 | 2943 | 4318 | 6119 | 3704 | 2601 | 1231 | 1005 | 1653 | 1625 | 1779 | 2299 | 1409 |
| 926 | 1812 | 2007 | 2951 | 4335 | 6144 | 3721 | 2601 | 1234 | 1005 | 1653 | 1633 | 1779 | 2308 | 1409 |
| 950 | 1812 | 1990 | 2968 | 4352 | 6169 | 3737 | 2617 | 1236 | 1005 | 1661 | 1642 | 1787 | 2324 | 1409 |
| 974 | 1812 | 2032 | 2976 | 4369 | 6194 | 3763 | 2617 | 1239 | 1005 | 1661 | 1642 | 1787 | 2333 | 1409 |
| 1000 | 1812 | 2032 | 2993 | 4386 | 6227 | 3779 | 2634 | 1242 | 1005 | 1669 | 1642 | 1787 | 2341 | 1426 |
| 1025 | 1812 | 2049 | 2993 | 4402 | 6244 | 3796 | 2651 | 1245 | 1005 | 1669 | 1642 | 1795 | 2349 | 1426 |
| 1049 | 1812 | 2090 | 3010 | 4411 | 6277 | 3822 | 2651 | 1247 | 1005 | 1669 | 1650 | 1804 | 2358 | 1426 |
| 1079 | 1829 | 2100 | 3027 | 4428 | 6302 | 3838 | 2659 | 1250 | 1022 | 1678 | 1650 | 1804 | 2375 | 1426 |
| 1107 | 1829 | 2110 | 3044 | 4444 | 6319 | 3847 | 2668 | 1253 | 1022 | 1678 | 1658 | 1804 | 2375 | 1426 |
| 1136 | 1829 | 2125 | 3044 | 4461 | 6352 | 3872 | 2685 | 1256 | 1022 | 1686 | 1658 | 1804 | 2391 | 1435 |
| 1165 | 1829 | 2150 | 3061 | 4470 | 6377 | 3889 | 2685 | 1259 | 1022 | 1686 | 1658 | 1812 | 2400 | 1435 |
| 1196 | 1829 | 2167 | 3069 | 4487 | 6394 | 3906 | 2693 | 1262 | 1022 | 1686 | 1667 | 1820 | 2408 | 1443 |
| 1227 | 1838 | 2201 | 3078 | 4503 | 6427 | 3923 | 2710 | 1265 | 1031 | 1695 | 1675 | 1820 | 2416 | 1443 |
| 1258 | 1838 | 2209 | 3094 | 4512 | 6444 | 3939 | 2710 | 1268 | 1031 | 1695 | 1683 | 1820 | 2433 | 1443 |
| 1291 | 1838 | 2226 | 3103 | 4529 | 6469 | 3965 | 2727 | 1270 | 1031 | 1703 | 1683 | 1829 | 2433 | 1443 |
| 1325 | 1847 | 2226 | 3120 | 4545 | 6503 | 3981 | 2727 | 1273 | 1040 | 1703 | 1683 | 1837 | 2450 | 1451 |
| 1359 | 1847 | 2243 | 3128 | 4562 | 6519 | 3998 | 2743 | 1276 | 1040 | 1703 | 1683 | 1837 | 2450 | 1451 |
| 1394 | 1847 | 2243 | 3137 | 4571 | 6536 | 4015 | 2743 | 1279 | 1040 | 1711 | 1692 | 1837 | 2467 | 1451 |
| 1430 | 1855 | 2260 | 3153 | 4588 | 6569 | 4040 | 2760 | 1282 | 1048 | 1711 | 1700 | 1837 | 2467 | 1451 |
| 1467 | 1855 | 2268 | 3162 | 4604 | 6586 | 4049 | 2760 | 1285 | 1048 | 1711 | 1692 | 1846 | 2483 | 1460 |
| 1505 | 1855 | 2285 | 3170 | 4613 | 6619 | 4074 | 2777 | 1288 | 1048 | 1711 | 1700 | 1854 | 2483 | 1468 |
| 1544 | 1864 | 2285 | 3179 | 4630 | 6636 | 4091 | 2777 | 1291 | 1057 | 1711 | 1708 | 1854 | 2500 | 1468 |
| 1584 | 1864 | 2285 | 3187 | 4638 | 6653 | 4099 | 2794 | 1294 | 1057 | 1728 | 1708 | 1862 | 2508 | 1468 |
| 1625 | 1864 | 2302 | 3204 | 4655 | 6678 | 4116 | 2794 | 1297 | 1057 | 1728 | 1708 | 1871 | 2517 | 1468 |
| 1668 | 1872 | 2302 | 3221 | 4663 | 6711 | 4133 | 2810 | 1300 | 1065 | 1728 | 1708 | 1871 | 2525 | 1468 |
| 1711 | 1872 | 2319 | 3221 | 4680 | 6728 | 4158 | 2819 | 1303 | 1065 | 1728 | 1708 | 1871 | 2533 | 1468 |

| | | | | | | | | | | | | | | |
|------|------|------|------|------|------|------|------|------|------|------|------|------|------|------|
| 1755 | 1872 | 2319 | 3229 | 4697 | 6745 | 4175 | 2819 | 1305 | 1065 | 1728 | 1717 | 1871 | 2542 | 1485 |
| 1801 | 1881 | 2336 | 3238 | 4714 | 6761 | 4192 | 2836 | 1308 | 1074 | 1728 | 1725 | 1871 | 2559 | 1485 |
| 1847 | 1872 | 2336 | 3255 | 4731 | 6786 | 4209 | 2836 | 1311 | 1065 | 1745 | 1725 | 1879 | 2559 | 1485 |
| 1895 | 1881 | 2344 | 3263 | 4731 | 6803 | 4217 | 2844 | 1314 | 1074 | 1745 | 1725 | 1888 | 2559 | 1485 |
| 1944 | 1881 | 2352 | 3272 | 4747 | 6836 | 4234 | 2852 | 1317 | 1074 | 1745 | 1733 | 1888 | 2575 | 1485 |
| 1995 | 1889 | 2352 | 3288 | 4764 | 6853 | 4251 | 2861 | 1320 | 1082 | 1745 | 1742 | 1888 | 2575 | 1485 |
| 2046 | 1889 | 2361 | 3288 | 4781 | 6870 | 4268 | 2869 | 1323 | 1082 | 1745 | 1742 | 1888 | 2592 | 1493 |
| 2100 | 1889 | 2361 | 3297 | 4790 | 6895 | 4285 | 2869 | 1326 | 1082 | 1762 | 1742 | 1904 | 2600 | 1502 |
| 2154 | 1889 | 2369 | 3305 | 4806 | 6912 | 4293 | 2886 | 1329 | 1082 | 1762 | 1750 | 1904 | 2600 | 1502 |
| 2210 | 1889 | 2369 | 3322 | 4823 | 6928 | 4310 | 2886 | 1333 | 1082 | 1762 | 1750 | 1904 | 2617 | 1502 |
| 2267 | 1898 | 2386 | 3331 | 4832 | 6945 | 4327 | 2903 | 1336 | 1091 | 1770 | 1750 | 1913 | 2617 | 1510 |
| 2326 | 1907 | 2395 | 3339 | 4848 | 6970 | 4343 | 2903 | 1339 | 1100 | 1770 | 1750 | 1913 | 2634 | 1510 |
| 2386 | 1907 | 2395 | 3347 | 4857 | 6987 | 4360 | 2903 | 1342 | 1100 | 1779 | 1750 | 1921 | 2634 | 1510 |
| 2448 | 1907 | 2411 | 3356 | 4874 | 7003 | 4369 | 2919 | 1345 | 1100 | 1770 | 1767 | 1921 | 2651 | 1510 |
| 2511 | 1907 | 2411 | 3364 | 4891 | 7020 | 4386 | 2919 | 1348 | 1100 | 1779 | 1767 | 1921 | 2651 | 1510 |
| 2576 | 1907 | 2420 | 3381 | 4891 | 7037 | 4402 | 2928 | 1351 | 1100 | 1779 | 1775 | 1921 | 2651 | 1510 |
| 2643 | 1924 | 2428 | 3381 | 4907 | 7062 | 4419 | 2936 | 1354 | 1117 | 1779 | 1775 | 1930 | 2667 | 1510 |
| 2712 | 1915 | 2428 | 3390 | 4924 | 7070 | 4436 | 2945 | 1357 | 1108 | 1779 | 1775 | 1938 | 2676 | 1527 |
| 2782 | 1924 | 2428 | 3398 | 4924 | 7104 | 4444 | 2953 | 1360 | 1117 | 1787 | 1783 | 1938 | 2684 | 1527 |
| 2854 | 1924 | 2437 | 3398 | 4941 | 7120 | 4461 | 2961 | 1363 | 1117 | 1787 | 1783 | 1938 | 2684 | 1527 |
| 2928 | 1924 | 2445 | 3415 | 4958 | 7137 | 4478 | 2961 | 1366 | 1117 | 1787 | 1792 | 1946 | 2692 | 1527 |
| 3004 | 1924 | 2445 | 3423 | 4966 | 7154 | 4487 | 2961 | 1369 | 1117 | 1795 | 1792 | 1955 | 2701 | 1527 |
| 3082 | 1941 | 2454 | 3432 | 4975 | 7162 | 4495 | 2978 | 1373 | 1134 | 1795 | 1792 | 1955 | 2709 | 1535 |
| 3162 | 1941 | 2462 | 3432 | 4992 | 7179 | 4512 | 2978 | 1376 | 1134 | 1804 | 1792 | 1955 | 2709 | 1527 |
| 3230 | 1941 | 2462 | 3449 | 5008 | 7195 | 4529 | 2978 | 1378 | 1134 | 1804 | 1800 | 1955 | 2726 | 1535 |
| 3328 | 1941 | 2462 | 3449 | 5008 | 7212 | 4537 | 2995 | 1382 | 1134 | 1804 | 1800 | 1963 | 2726 | 1544 |
| 3414 | 1941 | 2470 | 3465 | 5025 | 7229 | 4554 | 2995 | 1385 | 1134 | 1804 | 1808 | 1971 | 2734 | 1544 |
| 3503 | 1941 | 2470 | 3482 | 5042 | 7254 | 4571 | 3003 | 1388 | 1134 | 1812 | 1808 | 1971 | 2742 | 1544 |
| 3593 | 1950 | 2496 | 3482 | 5051 | 7270 | 4579 | 3012 | 1391 | 1143 | 1820 | 1808 | 1971 | 2742 | 1544 |
| GD | 1630 | 2032 | 2892 | 4386 | 6528 | 3965 | 2685 | 1102 | 750 | 1250 | 1242 | 1342 | 2315 | 982 |

GD: Geri dönen deformasyon

Çizelge C.3.Statik Sünme Modülü (psi) (5-15-25-40 °C)

| Süre (sn) | 5 °C Sıcaklık | | | | | | |
|----------------|---------------------|----------|---------|---------|----------|----------|----------|
| | Bitüm Muhtevası (%) | | | | | | |
| 1 | 50784,3 | 71944,4 | 84522,1 | 38088,2 | 78826,1 | 64177,0 | 68544,4 |
| 3 | 44004,9 | 46368,3 | 55358,8 | 28217,9 | 55613,5 | 52474,7 | 45043,5 |
| 10 | 40423,6 | 27658,3 | 32933,7 | 19568,3 | 36737,6 | 42558,7 | 28239,9 |
| 30 | 38008,4 | 19879,4 | 23199,0 | 15033,2 | 27100,1 | 38048,3 | 23110,3 |
| 100 | 36260,0 | 14191,8 | 15861,8 | 12200,5 | 19803,4 | 32814,5 | 18157,2 |
| 1000 | 34865,4 | 8683,0 | 9318,9 | 6862,2 | 12147,4 | 22396,5 | 13057,3 |
| 3600 | 33730,2 | 7946,5 | 8203,6 | 5239,9 | 9489,7 | 17915,0 | 11081,9 |
| 15 °C Sıcaklık | | | | | | | |
| 1 | 102140,8 | 88439,0 | 72231,1 | 80399,1 | 136315,8 | 118110,7 | 107916,7 |
| 3 | 90877,2 | 74609,1 | 61043,8 | 62951,4 | 108888,9 | 106334,3 | 86539,4 |
| 10 | 84719,6 | 58483,9 | 46132,3 | 44765,4 | 77811,2 | 88439,0 | 64519,6 |
| 30 | 80399,1 | 44655,2 | 34402,3 | 30166,4 | 51874,1 | 73252,5 | 46487,2 |
| 100 | 77313,4 | 31612,9 | 23965,6 | 18248,6 | 30267,1 | 57464,3 | 31312,6 |
| 1000 | 74762,9 | 16037,2 | 12046,5 | 7515,0 | 10708,8 | 34831,9 | 14903,4 |
| 3600 | 72665,3 | 11830,3 | 8588,3 | 5626,9 | 7029,9 | 26067,6 | 10833,6 |
| 25 °C Sıcaklık | | | | | | | |
| 1 | 166330,3 | 113312,5 | 79692,3 | 59055,4 | 54281,4 | 59835,0 | 80044,2 |
| 3 | 161155,6 | 93453,6 | 63281,0 | 45840,7 | 41392,7 | 48933,9 | 63614,0 |
| 10 | 113667,7 | 70544,7 | 45725,1 | 32145,4 | 28021,6 | 36812,2 | 46487,2 |
| 30 | 76985,1 | 54444,4 | 32578,6 | 21975,8 | 18175,4 | 26919,1 | 33512,0 |
| 100 | 47836,4 | 38048,3 | 21609,1 | 14169,6 | 11109,1 | 18175,4 | 22862,5 |
| 1000 | 20011,0 | 17844,5 | 12114,9 | 8267,2 | 5823,0 | 9595,1 | 13766,1 |
| 3600 | 18594,9 | 14527,2 | 10413,6 | 7178,8 | 4987,6 | 7918,8 | 12038,5 |
| 40 °C Sıcaklık | | | | | | | |
| 1 | 52857,1 | 64982,1 | 50855,5 | 43064,1 | 44545,5 | 92264,6 | 51432,6 |
| 3 | 48218,1 | 59442,6 | 44545,5 | 38492,6 | 39284,9 | 73549,7 | 45956,9 |
| 10 | 43581,7 | 52780,2 | 36924,6 | 33481,1 | 33235,6 | 54856,3 | 39671,8 |
| 30 | 39671,8 | 48540,8 | 31779,1 | 30016,6 | 29407,9 | 39802,4 | 35724,1 |
| 100 | 35724,1 | 44436,3 | 27181,4 | 27019,4 | 25427,8 | 27283,7 | 31312,6 |
| 1000 | 29194,8 | 36079,6 | 21725,6 | 22082,8 | 20291,0 | 15489,1 | 25427,8 |
| 3600 | 26067,6 | 31723,5 | 19923,1 | 20055,3 | 18396,8 | 13223,9 | 23484,5 |



EK D. Tekrarlı Sünme Deneyi Sonuçları

Çizelge D.1 Tekrarlı Sünme Deformasyonu (in./in x 10⁶)

| Vuruş Adedi | Bitüm Muhtevası (%) | | | | | | |
|----------------|---------------------|--------|--------|--------|--------|--------|--------|
| | 4,50 | 5,00 | 5,50 | 6,00 | 6,50 | 5,20 | 5,26 |
| 1 | 170,5 | 189,6 | 83,6 | 75 | 415,8 | 60,4 | 61,6 |
| 2 | 175,3 | 384,4 | 170,8 | 194 | 752,8 | 184,6 | 162,8 |
| 3 | 185,6 | 514,4 | 262 | 296,6 | 1037,2 | 315,4 | 269,4 |
| 4 | 189,4 | 612,4 | 340,4 | 382,2 | 1273 | 424,8 | 346 |
| 5 | 195,3 | 689,8 | 405 | 463,8 | 1481,6 | 508,6 | 407 |
| 6 | 200,4 | 759 | 460 | 536 | 1657 | 580,8 | 463 |
| 7 | 205,5 | 815,8 | 510,8 | 596,6 | 1813,2 | 651 | 515,2 |
| 8 | 280,2 | 862,8 | 554,4 | 655,2 | 1963,2 | 709,6 | 564,6 |
| 9 | 293,6 | 911,8 | 603 | 706 | 2096,4 | 762,6 | 613,6 |
| 10 | 341,0 | 948,8 | 638,4 | 754,6 | 2221,2 | 815,2 | 653 |
| 11 | 383,9 | 983,8 | 675,4 | 797,2 | 2342,4 | 860 | 684,6 |
| 12 | 423,1 | 1023,4 | 714,6 | 844 | 2447,6 | 899 | 722 |
| 13 | 459,1 | 1056,2 | 744,2 | 881 | 2562,8 | 944 | 759,4 |
| 14 | 492,5 | 1081,6 | 777 | 916,2 | 2652,8 | 977,2 | 794,8 |
| 15 | 523,5 | 1103,2 | 797 | 955 | 2750,6 | 1019,8 | 814,4 |
| 16 | 552,5 | 1128,6 | 830 | 986,2 | 2840,4 | 1045,4 | 852 |
| 17 | 579,8 | 1157,8 | 857,2 | 1019,2 | 2928,2 | 1078,4 | 873,8 |
| 18 | 605,5 | 1179,4 | 878,8 | 1054 | 3014,2 | 1117,6 | 903,2 |
| 19 | 629,9 | 1199 | 900,4 | 1079,6 | 3090,4 | 1143 | 928,8 |
| 20 | 653,0 | 1222,4 | 927,8 | 1112,6 | 3167 | 1166,2 | 952,4 |
| 21 | 674,9 | 1239,8 | 953,2 | 1144 | 3242,8 | 1193,6 | 980 |
| 22 | 695,8 | 1261,4 | 968,8 | 1163,2 | 3319,2 | 1217 | 1000 |
| 23 | 715,9 | 1277,2 | 996,4 | 1192,4 | 3383,6 | 1244,2 | 1023,2 |
| 24 | 735,0 | 1298,4 | 1021,6 | 1216 | 3452,2 | 1269,8 | 1043 |
| 25 | 753,4 | 1310,2 | 1039,2 | 1247,2 | 3524,2 | 1292,8 | 1064,8 |
| 26 | 771,0 | 1330 | 1056,8 | 1266,8 | 3584,8 | 1310,6 | 1088,4 |
| 27 | 788,0 | 1347,4 | 1080,4 | 1294 | 3645,6 | 1334,2 | 1104,2 |
| 28 | 804,4 | 1365 | 1096 | 1311,2 | 3708,2 | 1353,4 | 1127,8 |
| 29 | 820,2 | 1374,8 | 1115,4 | 1332,8 | 3767 | 1380,8 | 1139,4 |
| 30 | 835,4 | 1388,4 | 1127 | 1360 | 3827,6 | 1398,4 | 1167,4 |
| 31 | 850,2 | 1398 | 1146,6 | 1381,2 | 3880,4 | 1414 | 1185 |
| 32 | 864,5 | 1419,6 | 1168 | 1395 | 3941 | 1435,2 | 1196,6 |
| 33 | 878,3 | 1425,4 | 1179,8 | 1418,4 | 3992 | 1454,8 | 1218,4 |
| 34 | 891,7 | 1439,2 | 1197,6 | 1434 | 4046,8 | 1472,2 | 1226,4 |
| 35 | 904,8 | 1456,6 | 1213 | 1447,6 | 4095,4 | 1487,8 | 1246 |
| 36 | 917,5 | 1466,6 | 1234,6 | 1474,8 | 4148,2 | 1507,2 | 1263,8 |
| 37 | 929,8 | 1476,4 | 1252 | 1488,4 | 4193,2 | 1523 | 1283,6 |
| 38 | 941,8 | 1484,2 | 1265,8 | 1506 | 4240,2 | 1538,6 | 1293,4 |
| 39 | 953,5 | 1502 | 1281,4 | 1523,6 | 4283,2 | 1552 | 1303,2 |
| 40 | 964,9 | 1513,4 | 1293,2 | 1546,8 | 4336 | 1571,4 | 1321 |
| 41 | 976,0 | 1521,4 | 1307 | 1560,6 | 4376,8 | 1587 | 1342,6 |
| 42 | 986,8 | 1533 | 1320,8 | 1574,4 | 4422,2 | 1598,8 | 1360,2 |
| 44 | 1007,8 | 1548,6 | 1349,8 | 1609,4 | 4510,2 | 1632 | 1391,8 |
| 45 | 1017,9 | 1560,6 | 1369,4 | 1623 | 4551,4 | 1647,4 | 1407,8 |
| 46 | 1027,8 | 1570 | 1379,2 | 1638,6 | 4588,6 | 1661,2 | 1423,4 |
| 47 | 1037,4 | 1579,6 | 1392,8 | 1650,4 | 4629,8 | 1670,8 | 1439,2 |
| 48 | 1046,9 | 1591,4 | 1404,4 | 1667,8 | 4673,2 | 1690,2 | 1447,2 |

| | | | | | | | |
|-----|--------|--------|--------|--------|--------|--------|--------|
| 50 | 1065,3 | 1611,2 | 1433,8 | 1696,8 | 4741,6 | 1713,8 | 1472,8 |
| 51 | 1074,2 | 1615 | 1449,2 | 1710,6 | 4784,6 | 1725,4 | 1494,6 |
| 52 | 1082,9 | 1622,8 | 1457,2 | 1728,4 | 4823,8 | 1737 | 1500,4 |
| 54 | 1099,9 | 1642,4 | 1484,8 | 1759,4 | 4892,2 | 1766,2 | 1528 |
| 55 | 1108,2 | 1654,2 | 1494,6 | 1765,4 | 4931,6 | 1772,2 | 1537,8 |
| 56 | 1116,3 | 1656,2 | 1502,2 | 1780,8 | 4959 | 1781,6 | 1551,4 |
| 58 | 1132,1 | 1673,4 | 1529,6 | 1808,2 | 5027,6 | 1803,2 | 1571,2 |
| 59 | 1139,8 | 1685,4 | 1539 | 1821,6 | 5062,6 | 1815 | 1579,2 |
| 61 | 1154,8 | 1695 | 1556,8 | 1843,2 | 5125,2 | 1840,2 | 1610,8 |
| 63 | 1169,3 | 1710,6 | 1590 | 1866,8 | 5190 | 1856 | 1628,4 |
| 64 | 1176,4 | 1718,2 | 1594 | 1880,2 | 5223,4 | 1871,2 | 1640,4 |
| 66 | 1190,2 | 1730 | 1615,4 | 1897,8 | 5282,2 | 1894,8 | 1660 |
| 68 | 1203,7 | 1745,8 | 1644,6 | 1929 | 5338,8 | 1916,2 | 1677,4 |
| 69 | 1210,2 | 1751,8 | 1648,6 | 1940,6 | 5372,2 | 1924 | 1687,4 |
| 71 | 1223,1 | 1773 | 1672 | 1962,2 | 5429 | 1941,6 | 1705,4 |
| 73 | 1235,6 | 1777 | 1685,6 | 1981,8 | 5480 | 1957,2 | 1721 |
| 75 | 1247,7 | 1790,6 | 1705,4 | 2001 | 5534,8 | 1977 | 1742,8 |
| 77 | 1259,6 | 1810,2 | 1730,4 | 2026,6 | 5585,6 | 1996,4 | 1764,4 |
| 79 | 1271,1 | 1814 | 1748 | 2051,6 | 5636,6 | 2012 | 1782 |
| 81 | 1282,4 | 1829,8 | 1761,8 | 2069,6 | 5687,6 | 2027,4 | 1795,6 |
| 83 | 1293,4 | 1837,6 | 1773,4 | 2088,8 | 5738,4 | 2045,2 | 1811,6 |
| 85 | 1304,1 | 1849 | 1800,6 | 2106,2 | 5783,6 | 2062,6 | 1823,4 |
| 87 | 1314,5 | 1860,8 | 1818,2 | 2127,6 | 5832,8 | 2080,2 | 1843,4 |
| 90 | 1329,8 | 1880,6 | 1849,8 | 2157 | 5901,6 | 2100 | 1864,8 |
| 92 | 1339,7 | 1888,2 | 1861,6 | 2172,8 | 5944,8 | 2117,6 | 1880,6 |
| 95 | 1354,1 | 1908 | 1887 | 2199,8 | 6013,4 | 2141 | 1908,4 |
| 97 | 1363,5 | 1912 | 1904,4 | 2225,2 | 6054,6 | 2154,8 | 1923,8 |
| 100 | 1377,2 | 1929,2 | 1929,8 | 2250,6 | 6107,6 | 2176 | 1941,6 |
| 102 | 1386,1 | 1945 | 1947,4 | 2262,2 | 6156,8 | 2187,8 | 1953,4 |
| 105 | 1399,2 | 1952,8 | 1965 | 2289,6 | 6213,8 | 2211,4 | 1977,2 |
| 107 | 1407,7 | 1966,6 | 1982,2 | 2306,8 | 6255 | 2223 | 1990,8 |
| 110 | 1420,1 | 1974,4 | 2010 | 2334,2 | 6313,6 | 2236,6 | 2002,6 |
| 113 | 1432,2 | 1990 | 2029,2 | 2347,8 | 6372,8 | 2260,2 | 2022,2 |
| 116 | 1444,0 | 1999,8 | 2041 | 2375,2 | 6421,8 | 2273,8 | 2044 |
| 119 | 1455,5 | 2011,6 | 2068,4 | 2408,2 | 6472,6 | 2291,4 | 2065,4 |
| 122 | 1466,7 | 2029,4 | 2093,6 | 2426 | 6525,8 | 2309 | 2079,2 |
| 125 | 1477,6 | 2037,2 | 2103,6 | 2443 | 6574,6 | 2332,4 | 2100,8 |
| 129 | 1491,8 | 2060,6 | 2136,8 | 2474,6 | 6639,4 | 2348,2 | 2116,6 |
| 132 | 1502,1 | 2068,4 | 2158 | 2494 | 6690,2 | 2368 | 2134 |
| 135 | 1512,3 | 2080,2 | 2175,8 | 2517,8 | 6733,6 | 2377,4 | 2152 |
| 139 | 1525,4 | 2097,8 | 2203,2 | 2545 | 6794,2 | 2395,2 | 2171,4 |
| 143 | 1538,2 | 2109,6 | 2220,6 | 2572 | 6854,8 | 2418,8 | 2187,2 |
| 146 | 1547,5 | 2117,4 | 2244 | 2589,8 | 6894,2 | 2434,2 | 2201,2 |
| 150 | 1559,7 | 2136,6 | 2267,4 | 2617 | 6948,8 | 2450 | 2224,6 |
| 154 | 1571,5 | 2148,6 | 2289 | 2640,4 | 7007,8 | 2473,4 | 2246,2 |
| 158 | 1583,0 | 2166,2 | 2316,6 | 2665,6 | 7054,4 | 2489 | 2259,8 |
| 162 | 1594,3 | 2178 | 2336 | 2687,4 | 7113,2 | 2514,8 | 2277,6 |
| 166 | 1605,3 | 2188 | 2361,2 | 2714,6 | 7162,2 | 2532 | 2301,4 |
| 171 | 1618,6 | 2205,2 | 2386,6 | 2740 | 7220,8 | 2559,4 | 2322,8 |
| 175 | 1629,0 | 2220,8 | 2406 | 2767,4 | 7267,8 | 2580,8 | 2338,6 |
| 180 | 1641,7 | 2231 | 2437,2 | 2790,6 | 7330,6 | 2618 | 2352 |

| | | | | | | | |
|-----|--------|--------|--------|--------|--------|--------|--------|
| 184 | 1651,6 | 2246,6 | 2447,4 | 2812 | 7375,6 | 2633,6 | 2365,8 |
| 189 | 1663,7 | 2262 | 2478,2 | 2841,4 | 7428,4 | 2664,8 | 2383,6 |
| 194 | 1675,4 | 2273,8 | 2503,6 | 2864,8 | 7483,2 | 2692,2 | 2409,4 |
| 199 | 1686,9 | 2287,6 | 2530,8 | 2890 | 7532 | 2707,6 | 2426,8 |
| 204 | 1698,0 | 2305,2 | 2550,8 | 2909,8 | 7578,8 | 2735,4 | 2444,8 |
| 210 | 1711,1 | 2320,6 | 2577,6 | 2947 | 7641,6 | 2768,6 | 2468 |
| 215 | 1721,7 | 2334,4 | 2601 | 2970 | 7688,8 | 2792 | 2487,8 |
| 221 | 1734,1 | 2352,2 | 2628,6 | 2997,6 | 7747,4 | 2821,4 | 2513,4 |
| 226 | 1744,1 | 2363,8 | 2647,6 | 3016,8 | 7794,4 | 2835 | 2532,8 |
| 232 | 1755,9 | 2379,4 | 2679 | 3046 | 7845,6 | 2880 | 2557 |
| 238 | 1767,4 | 2395 | 2701 | 3073,6 | 7898,6 | 2909,4 | 2578 |
| 244 | 1778,6 | 2408,8 | 2721,8 | 3095 | 7947,6 | 2939 | 2603,8 |
| 251 | 1791,3 | 2426,2 | 2755,2 | 3128 | 8004,8 | 2978,2 | 2631,2 |
| 257 | 1802,0 | 2436,2 | 2776,4 | 3147,8 | 8048,2 | 3007,4 | 2651 |
| 264 | 1814,1 | 2455,8 | 2800 | 3178,8 | 8107,2 | 3032,8 | 2674,4 |
| 271 | 1825,8 | 2467,4 | 2825,6 | 3204,2 | 8162,4 | 3060,2 | 2698 |
| 278 | 1837,3 | 2486,8 | 2850,8 | 3227,6 | 8205,6 | 3091,6 | 2713,8 |
| 285 | 1848,5 | 2504,6 | 2879,8 | 3252,8 | 8258,6 | 3117,2 | 2735,6 |
| 292 | 1859,4 | 2518,4 | 2901,4 | 3276,4 | 8300 | 3142,6 | 2763 |
| 300 | 1871,6 | 2534 | 2932,8 | 3301,6 | 8353,2 | 3174,2 | 2778,4 |
| 308 | 1883,4 | 2551,6 | 2956 | 3334,8 | 8406,4 | 3207,2 | 2806 |
| 316 | 1895,0 | 2555,8 | 2981,4 | 3358 | 8453,8 | 3230,6 | 2827,8 |
| 324 | 1906,2 | 2575,2 | 3010,6 | 3377,4 | 8497 | 3260,2 | 2849,2 |
| 332 | 1917,2 | 2587 | 3034,2 | 3405 | 8542,4 | 3279,8 | 2874,8 |
| 341 | 1929,2 | 2604,4 | 3059,6 | 3420,4 | 8595,6 | 3311,2 | 2906,4 |
| 350 | 1240,9 | 2620 | 3086,8 | 3449,4 | 8640,6 | 3340,4 | 2928 |
| 359 | 1252,4 | 2634 | 3112,2 | 3477 | 8682 | 3364 | 2955,6 |
| 368 | 1263,5 | 2651,6 | 3137,6 | 3496,6 | 8725,4 | 3389,6 | 2979,2 |
| 378 | 1275,6 | 2667,2 | 3170,6 | 3520,2 | 8768,6 | 3420,8 | 3002,8 |
| 388 | 1287,3 | 2669,2 | 3188,2 | 3541,4 | 8814 | 3450 | 3026,2 |
| 398 | 1298,8 | 2682,8 | 3215,6 | 3566,6 | 8857,2 | 3477,8 | 3053,8 |
| 408 | 1310,0 | 2698,6 | 3248,6 | 3588,2 | 8896,8 | 3497,4 | 3071,6 |
| 419 | 1321,9 | 2712,2 | 3266,2 | 3615,8 | 8938,2 | 3526,6 | 3095,2 |
| 429 | 1332,5 | 2729,8 | 3295,4 | 3634,8 | 8971,4 | 3554 | 3114,8 |
| 441 | 1345,0 | 2743,8 | 3322,6 | 3656,6 | 9018,6 | 3583,4 | 3132,4 |
| 452 | 1356,0 | 2747,4 | 3346 | 3672 | 9068 | 3606,8 | 3158,2 |
| 464 | 1367,8 | 2765,4 | 3375,4 | 3709,2 | 9119,4 | 3634,4 | 3177,8 |
| 476 | 1379,3 | 2773,4 | 3395 | 3736,4 | 9176,4 | 3654 | 3195,8 |
| 488 | 1390,5 | 2787 | 3424 | 3765,8 | 9220 | 3687 | 3217,2 |
| 501 | 1402,4 | 2798,8 | 3443,6 | 3793,2 | 9273 | 3709 | 3235 |
| 514 | 1413,9 | 2820,2 | 3474,4 | 3816,4 | 9318,6 | 3740 | 3250,8 |
| 527 | 1425,1 | 2839,6 | 3488 | 3849,6 | 9356,4 | 3759,4 | 3279,8 |
| 541 | 1436,9 | 2865,2 | 3521,2 | 3867,4 | 9395,6 | 3781,2 | 3301,8 |
| 555 | 1448,4 | 2886,8 | 3538,6 | 3894,4 | 9433,4 | 3800,6 | 3327,2 |
| 569 | 1459,6 | 2896,4 | 3559,8 | 3921,8 | 9465 | 3822,2 | 3356,8 |
| 584 | 1471,3 | 2912,2 | 3581,2 | 3950,8 | 9502,6 | 3839,6 | 3374,4 |
| 599 | 1482,7 | 2931,6 | 3600,8 | 3987,8 | 9533,8 | 3859,4 | 3397,8 |
| 615 | 1494,6 | 2951 | 3620,2 | 4007,4 | 9571,2 | 3874,8 | 3423,4 |
| 630 | 1505,5 | 2962,6 | 3643,2 | 4040,6 | 9614,8 | 3894,4 | 3447,2 |
| 647 | 1517,4 | 2974,2 | 3656,6 | 4060,4 | 9663,8 | 3900,2 | 3480,4 |
| 664 | 1529,1 | 2982,2 | 3681,8 | 4089,2 | 9697,2 | 3919,8 | 3506 |

| | | | | | | | |
|------|--------|--------|--------|--------|---------|--------|--------|
| 681 | 1540,5 | 2996 | 3713,2 | 4108,6 | 9736,2 | 3931,6 | 3533,4 |
| 698 | 1551,6 | 2994 | 3740,6 | 4126,4 | 9779,2 | 3953,2 | 3557 |
| 717 | 1563,7 | 3009,4 | 3771,8 | 4155,4 | 9838,4 | 3978,6 | 3580,6 |
| 735 | 1574,8 | 3019,2 | 3795,2 | 4182,4 | 9899,4 | 3998,2 | 3604,2 |
| 754 | 1586,3 | 3038,8 | 3822,6 | 4209,8 | 9956,6 | 4029,6 | 3629,6 |
| 774 | 1598,1 | 3054 | 3842 | 4237,2 | 10008,2 | 4068,6 | 3653,2 |
| 794 | 1609,6 | 3073,6 | 3861,6 | 4264,6 | 10057,4 | 4113,4 | 3670,8 |
| 814 | 1620,8 | 3105 | 3893 | 4299,6 | 10098,6 | 4143 | 3692,6 |
| 836 | 1632,8 | 3134,4 | 3920,6 | 4331 | 10147,6 | 4168,2 | 3716 |
| 857 | 1643,9 | 3158 | 3944 | 4358,4 | 10202,6 | 4197,6 | 3733,8 |
| 879 | 1655,3 | 3187,4 | 3967,6 | 4383,6 | 10249,8 | 4225,2 | 3755,2 |
| 902 | 1667,0 | 3205,2 | 3998,6 | 4412,8 | 10307,2 | 4252,4 | 3774,8 |
| 926 | 1678,8 | 3228,8 | 4041,6 | 4451,8 | 10358,6 | 4281,8 | 3808 |
| 950 | 1690,3 | 3246,6 | 4072,8 | 4491,2 | 10409,4 | 4301 | 3829,6 |
| 974 | 1701,5 | 3275,6 | 4106 | 4520,4 | 10452,8 | 4326,8 | 3853,2 |
| 1000 | 1713,4 | 3301,2 | 4135 | 4563,4 | 10500,2 | 4340,2 | 3878,8 |
| 1025 | 1724,5 | 3314,8 | 4162,6 | 4596,6 | 10545,4 | 4361,6 | 3894,4 |
| 1052 | 1736,2 | 3344,8 | 4192,2 | 4627,6 | 10598,4 | 4383,2 | 3914,2 |
| 1079 | 1747,6 | 3362 | 4225,2 | 4661,2 | 10646 | 4398,8 | 3933,6 |
| 1107 | 1759,1 | 3381,6 | 4256,6 | 4698 | 10695,4 | 4420,2 | 3961 |
| 1136 | 1770,8 | 3409,4 | 4287,8 | 4725,6 | 10741 | 4436 | 3988,6 |
| 1165 | 1782,1 | 3429 | 4309,4 | 4758,8 | 10784 | 4471,2 | 4008 |
| 1196 | 1793,9 | 3446,8 | 4339 | 4788 | 10837,6 | 4496,6 | 4030 |
| 1227 | 1805,4 | 3473,8 | 4371,6 | 4811,4 | 10873,2 | 4531,6 | 4043,6 |
| 1258 | 1816,7 | 3497,6 | 4397,4 | 4838,8 | 10916,6 | 4562,6 | 4063,2 |
| 1291 | 1828,3 | 3511,4 | 4425 | 4866,2 | 10956 | 4590,2 | 4087 |
| 1325 | 1840,0 | 3532,6 | 4459,8 | 4889,6 | 10993,6 | 4619,4 | 4110,2 |
| 1359 | 1851,4 | 3550,4 | 4493,2 | 4913 | 11031 | 4646,8 | 4127,8 |
| 1394 | 1862,8 | 3564,4 | 4512,6 | 4940,6 | 11072,6 | 4677,6 | 4143,8 |
| 1430 | 1874,3 | 3576,2 | 4540,2 | 4970 | 11120,2 | 4695,4 | 4168,8 |
| 1467 | 1885,8 | 3594,2 | 4567,4 | 4995 | 11152,2 | 4721 | 4192,8 |
| 1505 | 1897,3 | 3623,4 | 4586,8 | 5013 | 11175,4 | 4744,4 | 4208,2 |
| 1544 | 1908,8 | 3647 | 4606,4 | 5044 | 11212,8 | 4757,8 | 4232 |
| 1584 | 1920,3 | 3660,8 | 4626 | 5063,6 | 11250 | 4767,8 | 4263,2 |
| 1625 | 1931,8 | 3668,6 | 4639,4 | 5079,2 | 11274 | 4787,2 | 4282,8 |
| 1668 | 1943,6 | 3674,2 | 4668,8 | 5094,8 | 11331,2 | 4806,8 | 4306,4 |
| 1711 | 1955,1 | 3684 | 4686,4 | 5124 | 11392,2 | 4822,4 | 4327,8 |
| 1755 | 1966,5 | 3696 | 4708 | 5161,4 | 11435,8 | 4855,6 | 4343,6 |
| 1801 | 1978,1 | 3740,8 | 4737,4 | 5186,6 | 11471 | 4890,4 | 4357 |
| 1847 | 1989,5 | 3762,6 | 4764,8 | 5209,8 | 11516,6 | 4920 | 4382,8 |
| 1895 | 2001,0 | 3794,4 | 4800 | 5251,4 | 11559,8 | 4939,4 | 4404,2 |
| 1944 | 2012,5 | 3813,8 | 4829,4 | 5276,6 | 11609,2 | 4958,8 | 4423,6 |
| 1995 | 2024,2 | 3829,2 | 4856,6 | 5313,8 | 11653 | 4978,2 | 4437,4 |
| 2046 | 2035,5 | 3853 | 4882 | 5337,2 | 11694,4 | 4990 | 4461,2 |
| 2100 | 2047,2 | 3876,6 | 4907,4 | 5366,4 | 11733,6 | 5007,6 | 4482,6 |
| 2154 | 2058,7 | 3900,2 | 4938,8 | 5385,8 | 11775 | 5042,6 | 4500,4 |
| 2210 | 2070,2 | 3927,8 | 4970 | 5415,4 | 11810,4 | 5075,8 | 4510 |
| 2267 | 2081,7 | 3941,4 | 4993,4 | 5433 | 11851,8 | 5103 | 4531,6 |
| 2326 | 2093,2 | 3963,2 | 5017,2 | 5462,2 | 11885,4 | 5122,6 | 4553,2 |
| 2386 | 2104,7 | 3977,2 | 5042,4 | 5487,8 | 11918,8 | 5144,4 | 4570,6 |
| 2448 | 2116,2 | 3989 | 5073,4 | 5507,4 | 11947,8 | 5159,6 | 4586,4 |

| | | | | | | | |
|------|--------|--------|--------|--------|---------|--------|--------|
| 2511 | 2127,7 | 4022,4 | 5093 | 5530,8 | 11981,4 | 5175,6 | 4615,8 |
| 2576 | 2139,2 | 4032,2 | 5096,8 | 5538,8 | 12013,4 | 5201 | 4631,4 |
| 2643 | 2150,7 | 4026,2 | 5110,2 | 5554,6 | 12064,2 | 5212,6 | 4647,4 |
| 2712 | 2162,3 | 4042 | 5136 | 5583,4 | 12105,6 | 5226,2 | 4670,6 |
| 2782 | 2173,8 | 4079,6 | 5161,6 | 5613 | 12145 | 5267,2 | 4684,4 |
| 2854 | 2185,3 | 4101 | 5194,6 | 5649,8 | 12178,6 | 5290,8 | 4698,2 |
| 2928 | 2196,8 | 4124,6 | 5216,2 | 5673,4 | 12222 | 5300,6 | 4721,6 |
| 3004 | 2208,3 | 4146,6 | 5237,8 | 5700,8 | 12267,2 | 5321,8 | 4743,2 |
| 3082 | 2219,9 | 4170 | 5271,2 | 5722,4 | 12302,4 | 5337,6 | 4756,8 |
| 3162 | 2231,4 | 4192 | 5294,6 | 5742 | 12333,8 | 5367 | 4763 |
| 3244 | 2242,9 | 4209,6 | 5321,6 | 5761,4 | 12371 | 5392,4 | 4786,4 |
| 3328 | 2254,4 | 4229,4 | 5343,4 | 5782,8 | 12392,6 | 5410 | 4804 |
| 3414 | 2265,9 | 4231,4 | 5361,2 | 5812,4 | 12431,8 | 5431,2 | 4823,4 |
| 3503 | 2277,5 | 4264,8 | 5380,6 | 5818,2 | 12463,6 | 5460,8 | 4841,4 |
| 3593 | 2288,9 | 4266,8 | 5386,4 | 5837,8 | 12493 | 5464,6 | 4860,8 |
| 3686 | 2300,4 | 4276,6 | 5411,8 | 5863,2 | 12544,2 | 5478,2 | 4862,8 |
| 3782 | 2312,0 | 4306,2 | 5441 | 5894,2 | 12579,6 | 5507,8 | 4886,2 |
| 3880 | 2323,5 | 4333,6 | 5468,4 | 5917,6 | 12611,2 | 5527,2 | 4899,6 |
| 3981 | 2335,1 | 4355,4 | 5492 | 5941,2 | 12652,4 | 5535 | 4919,4 |
| 4084 | 2346,6 | 4375 | 5517,4 | 5964,4 | 12681,6 | 5566,4 | 4925,4 |
| 4190 | 2358,1 | 4392,8 | 5544,8 | 5984 | 12709,2 | 5583,8 | 4946,8 |
| 4298 | 2369,5 | 4406,8 | 5558,6 | 5997,8 | 12744,4 | 5603,2 | 4962,6 |
| 4410 | 2381,1 | 4420,6 | 5572,4 | 6019 | 12772,2 | 5622,8 | 4984 |
| 4524 | 2392,6 | 4432,2 | 5576,4 | 6036,6 | 12798 | 5642,4 | 4992 |
| 4641 | 2404,1 | 4440 | 5605,6 | 6060,2 | 12848,6 | 5648,4 | 5005,6 |
| 4761 | 2415,6 | 4470 | 5633 | 6087,6 | 12885,8 | 5679,8 | 5027 |
| 4885 | 2427,1 | 4493,2 | 5652,4 | 6111 | 12911,4 | 5691,4 | 5046,8 |
| 5011 | 2438,6 | 4515 | 5678 | 6136,4 | 12944,4 | 5709 | 5046,8 |
| 5141 | 2450,1 | 4536,8 | 5695,6 | 6149,8 | 12961,4 | 5732,6 | 5068,4 |
| 5274 | 2461,6 | 4544,6 | 5721,2 | 6171,6 | 13005,2 | 5749,8 | 5087,8 |
| 5411 | 2473,2 | 4564,4 | 5732,8 | 6191,2 | 13025,2 | 5777,4 | 5105,4 |
| 5551 | 2484,7 | 4565,8 | 5734,8 | 6199,2 | 13068,2 | 5783,4 | 5107,4 |
| 5695 | 2496,2 | 4595,8 | 5772 | 6232 | 13107,8 | 5806,6 | 5130,8 |
| 5843 | 2507,7 | 4615,6 | 5793,6 | 6259,4 | 13137,2 | 5816,6 | 5144,6 |
| 5994 | 2519,2 | 4639,2 | 5811,2 | 6271 | 13150,4 | 5840,2 | 5154,2 |
| 6150 | 2530,8 | 4655 | 5832,6 | 6290,8 | 13201,4 | 5853,6 | 5172 |
| 6309 | 2542,3 | 4664,8 | 5844,4 | 6306,2 | 13227,6 | 5879,2 | 5187,8 |
| 6473 | 2553,8 | 4676,4 | 5852,2 | 6320 | 13259,2 | 5894,8 | 5197,4 |
| 6640 | 2565,3 | 4696,2 | 5879,6 | 6353,2 | 13296,4 | 5900,6 | 5218,8 |
| 6812 | 2576,8 | 4716,2 | 5901,4 | 6371,2 | 13333,6 | 5920,2 | 5232,4 |
| 6989 | 2588,3 | 4735,8 | 5927 | 6398,2 | 13352,8 | 5943,6 | 5248,2 |
| 7170 | 2599,8 | 4753,6 | 5938,6 | 6413,8 | 13388,6 | 5963,2 | 5267,8 |
| 7356 | 2611,4 | 4763,2 | 5940,6 | 6425,8 | 13416,4 | 5978,8 | 5277,4 |
| 7547 | 2622,9 | 4779 | 5968 | 6451,2 | 13451,6 | 5994,6 | 5292,8 |
| 7742 | 2634,4 | 4799,2 | 5990 | 6470,8 | 13476,8 | 6008,2 | 5304,8 |
| 7943 | 2645,9 | 4814,4 | 6009,2 | 6496,4 | 13518,4 | 6024 | 5318,6 |
| 8149 | 2657,4 | 4826,8 | 6028,8 | 6505,8 | 13549,6 | 6043,6 | 5337,8 |
| 8360 | 2668,9 | 4844,4 | 6021 | 6525,4 | 13577,6 | 6064,8 | 5347,8 |
| 8576 | 2680,4 | 4866,2 | 6054,4 | 6552,6 | 13613 | 6070,8 | 5361,6 |
| 8799 | 2692,0 | 4882 | 6074,2 | 6566,8 | 13646,2 | 6090,4 | 5369,4 |
| 9027 | 2703,5 | 4903,6 | 6095,6 | 6588,2 | 13683,6 | 6108,2 | 5385 |

| | | | | | | | |
|-------|--------|--------|--------|--------|---------|--------|--------|
| 9261 | 2715,0 | 4911,6 | 6097,8 | 6607,4 | 13707,8 | 6131,6 | 5408,4 |
| 9501 | 2726,5 | 4931,2 | 6125,2 | 6629,2 | 13736,6 | 6135,6 | 5422,2 |
| 9747 | 2738,0 | 4943,4 | 6144,6 | 6654,6 | 13768,4 | 6155 | 5418,4 |
| 10000 | 2749,5 | 4962,8 | 6156,4 | 6668,2 | 13813,4 | 6170,6 | 5447,6 |
| 10259 | 2761,0 | 4968,8 | 6156,4 | 6686 | 13828 | 6186,2 | 5465,2 |
| 10525 | 2772,6 | 5000,2 | 6189,8 | 6709,4 | 13867,2 | 6196 | 5482,8 |
| 10797 | 2784,0 | 5012 | 6209,6 | 6724,8 | 13912,2 | 6212 | 5490,8 |
| 11077 | 2795,6 | 5022 | 6215,6 | 6744,6 | 13940 | 6245 | 5504,4 |
| 11364 | 2807,1 | 5035,6 | 6237 | 6764 | 13971,4 | 6250,8 | 5516 |
| 11659 | 2818,6 | 5051,8 | 6254,8 | 6793,4 | 14016,8 | 6256,8 | 5539,2 |
| 11961 | 2830,1 | 5071,6 | 6268,4 | 6805,4 | 14052,4 | 6278,2 | 5551,2 |
| 12271 | 2841,6 | 5087 | 6286 | 6826,8 | 14078,4 | 6301,6 | 5567 |
| 12589 | 2853,1 | 5101 | 6297,8 | 6852,4 | 14118,2 | 6301,6 | 5578,8 |
| 12915 | 2864,6 | 5119 | 6317,6 | 6859,8 | 14152 | 6327,2 | 5590,2 |
| 13250 | 2876,2 | 5126,4 | 6325,6 | 6883,4 | 14177,4 | 6346,6 | 5608 |
| 13593 | 2887,7 | 5144,4 | 6345 | 6907 | 14221 | 6359,2 | 5623,6 |
| 13945 | 2899,2 | 5164,2 | 6360,8 | 6928,4 | 14256,4 | 6396,8 | 5629,4 |
| 14307 | 2910,7 | 5172,2 | 6374,2 | 6944,2 | 14290,8 | 6364,6 | 5641 |
| 14677 | 2922,2 | 5189,8 | 6390 | 6961,8 | 14328,4 | 6424,2 | 5668,6 |
| 15058 | 2933,7 | 5205,6 | 6396 | 6985,2 | 14356,2 | 6411,6 | 5678,4 |
| 15448 | 2945,2 | 5231,2 | 6421,4 | 7008,8 | 14403,8 | 6439,6 | 5696 |
| 15848 | 2956,7 | 5243,2 | 6433,2 | 7026,4 | 14437,2 | 6438,4 | 5707,8 |
| 16259 | 2968,3 | 5248,8 | 6445 | 7038,2 | 14469,2 | 6450,2 | 5721,4 |
| 16681 | 2979,8 | 5270,6 | 6464,6 | 7055,6 | 14508,6 | 6473,8 | 5733 |
| 17113 | 2991,3 | 5282,4 | 6478,2 | 7077,4 | 14549 | 6493,4 | 5741,2 |
| 17556 | 3002,8 | 5308,2 | 6492 | 7096,8 | 14578,4 | 6511 | 5762,6 |
| 18011 | 3014,3 | 5312,4 | 6499,8 | 7118,6 | 14624,6 | 6534,6 | 5770,2 |
| 18478 | 3025,8 | 5336 | 6521,8 | 7132,2 | 14660 | 6544,2 | 5791,8 |
| 18957 | 3037,3 | 5348 | 6531,6 | 7157,6 | 14690,2 | 6572 | 5797,6 |
| 19448 | 3048,9 | 5373,4 | 6552,8 | 7167,4 | 14740 | 6581,6 | 5817,2 |
| 19952 | 3060,4 | 5375,4 | 6560,8 | 7187 | 14764,6 | 6603,2 | 5836,6 |
| 20469 | 3071,9 | 5399 | 6582,6 | 7208,6 | 14815,6 | 6617 | 5850,6 |
| 21000 | 3083,4 | 5411,2 | 6596,2 | 7232,2 | 14851,4 | 6644,6 | 5867,8 |
| 21544 | 3094,9 | 5426,8 | 6604,2 | 7236 | 14895 | 6654,2 | 5883,6 |
| 22102 | 3106,4 | 5434,6 | 6617,8 | 7245,8 | 14927,2 | 6670 | 5893,2 |
| 22675 | 3117,9 | 5450,6 | 6631,2 | 7279 | 14973,2 | 6699,2 | 5901 |
| 23263 | 3129,5 | 5480 | 6651 | 7287 | 15007,2 | 6715 | 5918,6 |
| 23865 | 3141,0 | 5486 | 6664,8 | 7310,4 | 15041,2 | 6736,6 | 5934,2 |
| 24484 | 3152,5 | 5510 | 6673 | 7336 | 15090,6 | 6754,2 | 5942,2 |
| 25118 | 3164,0 | 5525,4 | 6688,4 | 7343,8 | 15118,4 | 6762,2 | 5955,8 |
| 25769 | 3175,5 | 5543,4 | 6708 | 7361,2 | 15166,6 | 6787,6 | 5975,4 |
| 26437 | 3187,0 | 5555 | 6714 | 7384,8 | 15206,2 | 6809,2 | 5990,8 |
| 27122 | 3198,5 | 5567 | 6727,8 | 7390,8 | 15254,4 | 6815,2 | 6006,4 |
| 27825 | 3210,0 | 5583 | 6743,4 | 7410,2 | 15284,4 | 6842,8 | 6026 |
| 28546 | 3221,6 | 5592,8 | 6751,2 | 7426 | 15333,4 | 6864,2 | 6031,8 |
| 29286 | 3233,1 | 5614,4 | 6768,8 | 7447,6 | 15373,2 | 6878 | 6051,2 |
| 30045 | 3244,6 | 5634,2 | 6772,8 | 7467,4 | 15407,2 | 6891,6 | 6065 |
| 30823 | 3256,1 | 5642 | 6794,4 | 7482,8 | 15449 | 6915,2 | 6078,8 |
| 31622 | 3267,6 | 5656 | 6804,2 | 7488,4 | 15491 | 6924,8 | 6096,4 |
| 32442 | 3279,1 | 5677,4 | 6806,2 | 7506,4 | 15532,4 | 6944,8 | 6106,4 |
| 33282 | 3290,6 | 5687,4 | 6823,8 | 7521,8 | 15578,2 | 6968,4 | 6117,8 |

| | | | | | | | |
|-------|--------|--------|--------|--------|---------|--------|--------|
| 34145 | 3302,1 | 5711,2 | 6833,6 | 7543,8 | 15616 | 6978,4 | 6133,6 |
| 35030 | 3313,7 | 5723,2 | 6845,6 | 7561,2 | 15645,8 | 7005,4 | 6153,2 |
| 35938 | 3325,2 | 5732,8 | 6859 | 7579 | 15687,2 | 7027,2 | 6167 |
| 36869 | 3336,7 | 5744,8 | 6861,4 | 7594,8 | 15716,8 | 7044,8 | 6180,4 |
| 37824 | 3348,2 | 5758,4 | 6868,8 | 7604,2 | 15761 | 7060,6 | 6190,4 |
| 38805 | 3359,7 | 5772,6 | 6890,8 | 7614 | 15796,8 | 7076,2 | 6208 |
| 39810 | 3371,2 | 5778 | 6892,4 | 7623,8 | 15814,2 | 7080,2 | 6219,6 |
| 40842 | 3382,7 | 5796,2 | 6902,2 | 7626 | 15847,8 | 7113,6 | 6235,6 |
| 41900 | 3394,2 | 5804 | 6906,4 | 7653,8 | 15879,6 | 7143 | 6251,2 |
| 42986 | 3405,8 | 5810 | 6921,8 | 7669,2 | 15911,4 | 7154,8 | 6254,8 |
| 44100 | 3417,3 | 5821,8 | 6916,2 | 7675,2 | 15943,6 | 7178,4 | 6266,8 |
| 45243 | 3428,8 | 5831,8 | 6925,8 | 7685,2 | 15954,8 | 7203,8 | 6270,8 |
| 46415 | 3440,3 | 5847,6 | 6933,8 | 7683 | 15986,6 | 7217,6 | 6294,4 |
| 47618 | 3451,8 | 5847,6 | 6953,2 | 7706,8 | 16008,2 | 7233,4 | 6308 |
| 48852 | 3463,3 | 5863,2 | 6949,2 | 7710,6 | 16028 | 7256,8 | 6304,4 |
| 50118 | 3474,8 | 5875 | 6959,2 | 7704,8 | 16049,8 | 7276,4 | 6313,8 |
| 51417 | 3486,4 | 5884,8 | 6965 | 7736,6 | 16063,2 | 7284,2 | 6331,4 |
| 52749 | 3497,9 | 5879,2 | 6975 | 7740,6 | 16083,4 | 7309,8 | 6335,2 |
| 54116 | 3509,4 | 5894,8 | 6975 | 7742,4 | 16094,8 | 7325,6 | 6341,2 |
| 55519 | 3520,9 | 5901 | 6996,6 | 7756,2 | 16108,8 | 7343,2 | 6350,8 |
| 56958 | 3532,4 | 5914,8 | 6998,6 | 7758,2 | 16126,8 | 7360,8 | 6356,8 |
| 58434 | 3543,9 | 5914,6 | 7010,4 | 7760,2 | 16138,4 | 7382,4 | 6368,8 |
| 59948 | 3555,4 | 5926,8 | 7014,4 | 7769,8 | 16152,2 | 7401,8 | 6376,4 |
| 61501 | 3566,9 | 5934,6 | 7029,8 | 7765,8 | 16156 | 7431,4 | 6378,4 |
| 63095 | 3578,5 | 5938,6 | 7037,6 | 7779,8 | 16172 | 7421,6 | 6384,4 |
| 64730 | 3590,0 | 5939 | 7033,8 | 7789,6 | 16182 | 7447,2 | 6390,2 |
| 66408 | 3601,5 | 5940,6 | 7051,6 | 7793,6 | 16185,6 | 7460,8 | 6399,6 |
| 68129 | 3613,0 | 5960,2 | 7053,4 | 7801,4 | 16201,2 | 7474,6 | 6407,6 |
| 69894 | 3624,5 | 5950,4 | 7057,2 | 7801,6 | 16209 | 7490,4 | 6415,6 |
| 71706 | 3636,0 | 5958 | 7065 | 7809,4 | 16227 | 7502,4 | 6419,6 |
| 73564 | 3647,5 | 5956 | 7069 | 7823 | 16235,2 | 7514,4 | 6419,6 |
| 75470 | 3659,1 | 5964,2 | 7070,8 | 7827,2 | 16241 | 7526,2 | 6431,4 |
| 77426 | 3670,6 | 5978,4 | 7071 | 7831 | 16264,2 | 7577,6 | 6435,2 |

ÖZGEÇMİŞ

| | | |
|---------------|---|---|
| Doğum Tarihi | : | 16.06.1968 |
| Doğum Yeri | : | Sivas |
| İlkokul | : | Gaziosman Paşa İlkokulu, Sivas, 1979. |
| Ortaokul | : | Danişment Gazi Ortaokulu, Sivas, 1982. |
| Lise | : | Sivas Lisesi, Sivas, 1985. |
| Lisans | : | Yıldız Üniversitesi, İstanbul, 1990 |
| Yüksek Lisans | : | Yıldız Teknik Üniversitesi, İstanbul, 1993. |

Yaptığı Görevler

- 1991 - 1993 : İnşaat Mühendisi
3K İnşaat Ltd. Şirketi
- 1993 – 1995 : Araştırma Görevlisi
Cumhuriyet Üniversitesi Mühendislik Fakültesi, Fakülte İnceleme ve İnceleme Uzmanı
- 1995 - 1996 : Araştırma Mühendisi
İstanbul Büyükşehir Belediyesi
İstanbul Asfalt Fabrikaları A.Ş. (İSFALT)
- 1996 - : Araştırma Görevlisi
Yıldız Teknik Üniversitesi İnşaat Fakültesi